



UNIVERSIDADE FEDERAL DO CEARÁ - UFC
CENTRO DE CIÊNCIAS
DEPARTAMENTO DE BIOQUÍMICA E BIOLOGIA MOLECULAR - DBBM
CURSO DE PÓS-GRADUAÇÃO EM BIOQUÍMICA

ANTONIO EDSON ROCHA OLIVEIRA

**PERFIL DE EXPRESSÃO E ANÁLISE FILOGENÉTICA DOS GENES DA
PROTEÍNA DESACOPLADORA MITOCONDRIAL DURANTE O
DESENVOLVIMENTO E ESTRESSE EM SOJA [*Glycine max (L.) MERR.*]**

FORTALEZA – CE
2015

ANTONIO EDSON ROCHA OLIVEIRA

**PERFIL DE EXPRESSÃO E ANÁLISE FILOGENÉTICA DOS GENES DA
PROTEÍNA DESACOPLADORA MITOCONDRIAL DURANTE O
DESENVOLVIMENTO E ESTRESSE EM SOJA [*Glycine max (L.) MERR.*]**

Dissertação submetida à coordenação do curso de Pós-Graduação *Stricto Sensu* em Bioquímica da Universidade Federal do Ceará, como parte dos requisitos para a obtenção do grau de Mestre em Bioquímica.

Orientador: Prof. José Hélio Costa, PhD.

FORTALEZA – CE

2015

Dados Internacionais de Catalogação na Publicação
Universidade Federal do Ceará
Biblioteca de Ciências da Saúde

-
- O45p Oliveira, Antonio Edson Rocha.
Perfil de expressão e análise filogenética dos genes da proteína desacopladora mitocondrial durante o desenvolvimento e estresse em soja [*glycine max* (L.) Merr.] / Antonio Edson Rocha Oliveira. – 2015.
185 f. : il. color.
- Dissertação (Mestrado) – Universidade Federal do Ceará, Departamento de Bioquímica e Biologia Molecular, Programa de Pós-Graduação em Bioquímica, Mestrado em Bioquímica, Fortaleza, 2015.
Área de Concentração: Bioquímica Vegetal.
Orientação: Prof. Pós-Dr. José Hélio Costa.
1. Proteína Desacopladora Mitocondrial. 2. Expressão Gênica. 3. Análise *in silico*. I. Título.

CDD 633.340072

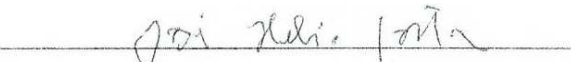
ANTONIO EDSON ROCHA OLIVEIRA

PERFIL DE EXPRESSÃO E ANÁLISE FILOGENÉTICA DOS GENES DA PROTEÍNA DESACOPLADORA MITOCONDRIAL DURANTE O DESENVOLVIMENTO E ESTRESSE EM SOJA [*Glycine max (L.) MERR.*]

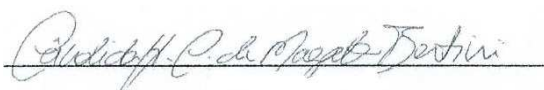
Dissertação submetida à coordenação do curso de Pós-Graduação *Stricto Sensu* em Bioquímica da Universidade Federal do Ceará, como parte dos requisitos para a obtenção do grau de Mestre em Bioquímica. Área de concentração Bioquímica Vegetal.

Aprovada em 30/04/2015

BANCA EXAMINADORA



Prof. José Hélio Costa
Departamento de Bioquímica e Biologia Molecular
Universidade Federal do Ceará - UFC



Cândida Hermínia Campos de Magalhães Bertini
Departamento de Fitotecnia
Universidade Federal do Ceará - UFC



Vânia Marilande Ceccatto
Instituto Superior de Ciências Biomédicas
Universidade Estadual do Ceará- UECE

À minha família

AGRADECIMENTOS

A **Deus**, que embora eu não acredite nele como a bíblia descreve, é onde eu busco forças para continuar a enfrentar todos os meus problemas.

À **minha família**, por todo apoio e incentivo que me dão para que eu consiga realizar meus sonhos.

Ao meu orientador **Prof. Dr José Hélio Costa**, por todo o apoio, paciência, atenção e o conhecimento transmitido. Devo ao senhor tudo o que aprendi sobre bioinformática.

À Profª **Drª Dirce Fernandes de Melo** por ter me acolhido em seu laboratório e por todo apoio e atenção que me forneceu durante todo esse tempo.

A todos os **integrantes do laboratório 2090** que estiveram presentes durante o meu período de mestrado, em especial a doutoranda **Kátia Daniella da Cruz Saraiva** por toda a ajuda fornecida até hoje, além de todos os ensinamentos sobre expressão gênica. Serei eternamente grato a você Kátia.

A todos os **colegas da pós-graduação em bioquímica** que de forma direta ou indireta ajudaram para a realização deste trabalho, em especial para meus três grandes amigos Antonio Eufrásio Viera Neto, Wallace Teixeira da Cruz e Ana Luíza Sobral Paiva, vulgarmente intitulados “**Pivetes da Bioquímica**”, sou grato por toda a amizade e apoio recebido por vocês.

Ao **Sifu Giovani Nunes** e todos os integrantes da **Moy fah**, pelos ensinamentos na arte do Kung Fu que sempre ajudaram a me manter em equilíbrio entre corpo e mente.

Aos meus **amigos de infância**, pela sincera amizade e momentos de descontração que ajudam a acalmar minha alma, coração e mente.

A **Universidade Federal do Ceará e todos os seus funcionários** que de maneira indireta contribuíram para a realização deste trabalho.

A **CAPES** por todo apoio financeiro fornecido para a pesquisa.

RESUMO

Diversos estudos têm evidenciado que a principal função da proteína desacopladora mitocondrial de plantas (pUCP) está relacionada a regulação de espécies reativas de oxigênio (EROs). Análises *in silico* sugerem a existência de famílias multigênicas para a codificação de pUCPs, porém novos estudos ainda são necessários para estabelecer o perfil de expressão gênica das pUCPs, assim como a quantidade de genes em cada espécie e suas relações filogenéticas. O presente trabalho teve como objetivo caracterizar, analisar filogeneticamente e avaliar o perfil de expressão da família multigênica da pUCP em diferentes tecidos durante o desenvolvimento da soja [*Glycine max* (L.) MERR.] e em condições de estresse. Foi realizada uma análise *in silico* no genoma da soja e de outras leguminosas disponíveis no banco de dados WGS, revelando uma família multigênica codificadora da pUCP, UCP1 e 2 com nove exons, UCP 3 com 2 exons, e UCP 4 e 5 com apenas um exon. Dentre as leguminosas analisadas a soja se destacou com o maior número de genes, 10 genes no total, sendo quatro genes *GmUCP1*, uma *GmUCP2*, uma *GmUCP3*, dois *GmUCP4* e dois *GmUCP5*, além da presença de um splicing alternativo no gene *GmUCP1b1*. Primers específicos foram desenhados para cada membro da *GmUCP* a fim de analisar os perfis de expressão em diferentes tecidos (semente seca e embebida, flores, vagens, cotilédones, folhas unifolioladas e trifolioladas, raízes, hipocótilos e epicótilos) durante o desenvolvimento da soja. Para os ensaios em condições de estresse foram utilizadas folhas e raízes de soja com treze dias após a semeadura (DAS) que foram submetidas a estresse osmótico promovido pela aplicação de polietileno glicol (PEG) e estresse biótico através de ácido salicílico (AS). O RNA total de cada amostra foi extraído para a realização de RT-qPCR. Os valores de ct foram obtidos pelo programa realplex e analisados pelo programa GeNorm. O perfil de expressão gênica mostrou que todos os genes *GmUCP* foram expressos em todos os tecidos/órgãos analisados durante o desenvolvimento da soja, com exceção de alguns genes em semente seca e epicótilo. Os diferentes perfis de expressão de cada gene durante o desenvolvimento de cada tecido/órgão sugerem que ocorra uma regulação gênica espacial/temporal entre os membros da *GmUCP*. Os perfis de expressão dos genes *GmUCP* em soja durante as condições de estresses foi diversificado, visto que 2 genes apresentaram expressão estável em ambos tecidos/estresse, 7 genes apresentaram queda do perfil de expressão, enquanto apenas 4 genes apresentaram aumento dos níveis de transcritos.

Palavras - chave: Proteína desacopladora mitocondrial; Expressão gênica; Análise *in silico*.

ABSTRACT

Several studies have evidenced that the main function of the mitochondrial uncoupling protein in plants (pUCP) is related to reactive oxygen species (ROS) regulation. *In silico* analysis suggests the existence of multigenic families to pUCPs codification, however further studies are yet needed to establish the pUCPs genetic expression profile, just like the gene amount in each species and their phylogenetic relations. The current work had as objective to characterize, analyze phylogenetically and evaluate the expression profile of the pUCP multigenic family in different tissues during the soybean development [*Glycine max* (L.) MERR.] and in stress conditions. It has been performed an *in silico* analysis on the soybean genome and on other legumes available in the database WGS, revealing a codifier multigenic family for pUCP, UCP1 and 2 with 9 exons, UCP3 with 2 exons, and UCP4 and 5 with only 1 exon. Amongst the legumes analyzed, the soybean stood out with the greater number of genes, 10 genes in total, giving four *GmUCP1* genes, one *GmUCP2*, one *GmUCP3*, two *GmUCP4* and two *GmUCP5*, along with the presence of an alternative splicing on *GmUCP1b1* gene. Specific primers have been designed for each *GmUCP* member in order to analize the expression profiles in different tissues (dry and doused seed, flowers, pods, cotyledons, unifoliate and trifoliate leaves, roots, hypocotyl and epicotyl) during the soybean development. For the assays in stress conditions have been used soybean leaves and roots with thirteen days after sowing (DAS) which have been subjected to osmotic stress caused by the application of polyethylene glycol (PEG) and biotic stress caused by salicylic acid (SA). The total RNA from each sample has been extracted in order to perform the RT-qPCR. The ct values have been obtained through the realplex program and analyzed through the GeNorm program. The genetic expression profile has shown that all genes were expressed in every tissue/organ analyzed during the soybean development, with the exception on some genes in dry seeds and epicotyl. The different expression profiles of each gene during the development of each tissue/organ suggest that occurs a spatial/temporal gene regulation among the *GmUCP* members. The expression profiles of the *GmUCP* genes in soybean during the stress conditions have varied, once 2 genes have shown steady expression in both tissues/ stress, 7 genes have shown a drop in the expression profile, while only 4 genes have shown an increase of the transcript levels.

Key words: Uncoupling protein; Gene expression; In silico analysis

LISTA DE ILUSTRAÇÕES

Figura 1 – Principais partes que compõem a planta de soja	21
Figura 2 – Flor, vagem e semente da soja	21
Figura 3 – Relação filogenética da família das UCPs e carreadores mitocondriais com alta homologia	30
Figura 4 – Características estruturais da família de carreadores mitocondriais	31
Figura 5 – Estrutura da UCP2	32
Figura 6 – Comparação da UCP2 e ANT1	32
Figura 7 – Mecanismos de regulação para o transporte de protón através das UCPs mediados por ácidos graxos	34
Figura 8 – Esquema representativo da proteína AtPUMP1 contendo os motivos conservados	37
Figura 9 – Estrutura gênica das pUCPs de arroz e <i>Arabidopsis</i>	38
Figura 10 – Árvore filogenética não enraizada para UCPs/PUMPs e outras sequências de proteínas carreadoras mitocondriais	39
Figura 11 – Árvore filogenética de sequências de aminoácidos de transportadores mitocondriais de vários organismos	40
Figura 12 – Árvore filogenética das pUCPs em leguminosas	73
Figura 13 – Representação esquemática dos genes UCP1b1 e UCP1b1Spl	74
Figura 14 – Eletroforese em gel de agarose do RNA total	78
Figura 15 – Produto da PCR	79
Figura 16 – Curvas de dissociação	82

LISTA DE GRÁFICOS

Gráfico 1 – Perfil de expressão das GmUCPs durante o desenvolvimento da soja.....	87
Gráfico 2 – Perfil de expressão das GmUCPs durante estresse com PEG e AS em folhas	93
Gráfico 3 – Perfil de expressão das GmUCPs durante estresse com PEG e AS em raízes	95

LISTA DE TABELAS

Tabela 1 – Classificação botânica da soja (USDA)	19
Tabela 2 – Estadios de desenvolvimento da soja	22
Tabela 3 - Órgãos coletados e idade das plantas usadas para os ensaios durante o desenvolvimento	44
Tabela 4 – Componentes e volumes usados nas reações de transcrição reversa	50
Tabela 5 – Caracterização dos genes da UCPS em leguminosas e arabidopsis	54
Tabela 6 – Localização das UCPs nos cromossomos de leguminosas	57
Tabela 7 – Tamanho dos exons das UCPs1 em leguminosas e arabidopsis	59
Tabela 8 – Tamanho dos exons das UCPs2 em leguminosas e arabidopsis	60
Tabela 9 – Tamanho dos exons das UCPs3 em leguminosas e arabidopsis	61
Tabela 10 – Tamanho dos exons das UCPs4 em leguminosas e arabidopsis	61
Tabela 11 – Tamanho dos exons das UCPs5 em leguminosas e arabidopsis	62
Tabela 12 – Tamanho dos transcritos, cDNAs e proteínas das UCPs do tipo 1 em leguminosas e arabidopsis	63
Tabela 13 – Tamanho dos transcritos, cDNAs e proteínas das UCPs do tipo 2 em leguminosas e arabidopsis	64
Tabela 14 – Tamanho dos transcritos, cDNAs e proteínas das UCPs do tipo 3 em leguminosas e arabidopsis	64
Tabela 15 – Tamanho dos transcritos, cDNAs e proteínas das UCPs do tipo 4 em leguminosas e arabidopsis	65
Tabela 16 – Tamanho dos transcritos, cDNAs e proteínas das UCPs do tipo 5 em leguminosas e arabidopsis	65
Tabela 17 – Análises das sequências de cDNAs em soja	66
Tabela 18 – Análises das sequências de proteínas em soja	67
Tabela 19 – Análises dos promotores dos cDNAs das UCPs em soja	67
Tabela 20 – Classificação do grupamento R de cada aminoácido	69
Tabela 21 – Comparação do tamanho dos transcritos, cDNAs e proteínas entre as UCP1b1 e UCP1b1Spl	74
Tabela 22 – Características dos iniciadores utilizados nas reações de PCR	75
Tabela 23 – Valores médios das concentrações e relações de absorbâncias dos RNAs	80
Tabela 24 – Genes normalizadores necessários para cada condição	83

Tabela 25 – Genes mais expressos durante o desenvolvimento da soja	86
Tabela 26 – Resumo das respostas dos genes GmUCPs aos estresses PEG e AS	92
Tabela 27 – Pefil de expressão de AtUCP1-2 no Genevestigator em condições de estresse	98
Tabela 28 – Membros de pUCP correspondendo a expressão do tecido e/ou estresse relacionado	101

LISTA DE ABREVIATURAS E SIGLAS

- ANTs - Proteína carreadora de ADP/ATP
AOX - Oxidase Alternativa
AS - Ácido salicílico
BLAST - Basic Local Alignment Search Tool
cDNA - DNA complementar
DAS - Dias após a semeadura
DAF - Dias após a floração
DICs - dicarboxilato
DNA - Ácido desoxirribonucleotídeo
EROs - Espécies Reativas do Oxigênio
EST - Expressed sequence tags
FCM - Família de carreadores mitocondriais
NCBI - National Center for Biotechnology Information
PCR - Reação em cadeia da polimerase
PEG - Polietilenoglicol
PNBD - Domínio de Ligação aos Nucleotídeos Purínicos
pUCP - Proteína desacopladora de planta
PUMP - Proteínas Mitocondriais Desacopladoras de Plantas
REFSEQ_RNA- Reference mRNA sequences
RNA- Ácido ribonucleotídeo
RT- Transcrição reversa
RT-qPCR- Transcrição reversa seguida de PCR quantitativa
SPTE- Sinal Protéico de Transferência de Energia
TSA - Transcriptome shotgun assembly

SUMÁRIO

1 INTRODUÇÃO	14
2 REVISÃO DE LITERATURA	16
2.1 Glycine max (L.) MERR	16
2.1.1 <i>Origem e importância</i>	16
2.1.2 Classificação botânica e características da planta	18
2.2 Condições de estresse	22
2.2.1 Estresse abiótico hídrico e polietileno glicol (PEG)	24
2.2.2 Estresse biótico e ácido salicílico (AS)	27
2.3 Proteína desacopladora mitocondrial (UCP)	28
2.4 Proteína desacopladora mitocondrial em plantas	35
3 OBJETIVOS	42
3.1 Objetivo geral	42
3.2 Objetivos específicos	42
4 MATERIAIS E MÉTODOS	43
4.1 Material vegetal	43
4.2 Condições de crescimento	43
4.2.1 Condições de crescimento em estresse e desenho experimental	44
4.3 Análises in silico	44
4.3.1 Identificação in silico dos genes da proteína desacopladora mitocondrial em Glycine max e outras leguminosas	44
4.3.2 Alinhamento das sequências e análise filogenética	45
4.3.3 Desenho dos oligonucleotídeos iniciadores	45
4.4 Análise da expressão gênica pela Reação em Cadeia da DNA Polimerase quantitativa em tempo real (RT- qPCR)	48
4.4.1 Extração de RNA total	47
4.4.2 Quantificação e pureza do RNA total	48
4.4.3 Integridade do RNA total e eletroforese do gel de RNA	48
4.4.4 Tratamento com DNase	49
4.4.5 Síntese de DNA complementar (cDNA)	49
4.4.6 Padronização para as reações de qPCR	49

4.4.6.1 Quantificação dos iniciadores específicos (PRIMERS)	50
4.4.6.2 Gradiente de temperatura	50
4.4.6.3 PCR	50
4.4.6.4 Eletroforese do cDNA amplificado	51
4.4.6.5 RT – qPCR	51
4.4.7 RT – qPCR	52
4.4.8 Análise dos dados de expressão por RT-qPCR	52
5 RESULTADOS E DISCUSSÃO	53
5.1 Caracterização da família multigênica da UCP em soja e outras leguminosas	53
5.2 Análises do tamanho dos transcritos, cDNAs e proteínas	58
5.3 Análises das sequências de cDNAs, proteínas e promotores das UCPs em soja	66
5.4 Análises das sequências específicas das UCPs	68
5.5 Análises das relações filogenéticas entre as UCPS de leguminosas	72
5.6 Splicing alternativo	74
5.7 Oligonucleotídeos iniciadores e temperatura de anelamento	75
5.8 Qualidade do RNA	76
5.9 Qualidade do cDNA obtido pela reação de transcrição reversa	77
5.10 Especificidade dos primers	77
5.11 Perfil de expressão da família multigênica da UCP em Glycine max .	83
5.11.1 Desenvolvimento	84
5.11.2 Estresse	91
6 CONCLUSÃO	102
REFERÊNCIAS	103
APÊNDICES	118

1 INTRODUÇÃO

A energia necessária para a manutenção da estrutura e função celular provém do catabolismo de carboidratos, lipídeos e aminoácidos. Nas células eucarióticas estas fontes de energia passam por uma série de rotas metabólicas, iniciando-se no compartimento citosólico e dando continuidade nas mitocôndrias. Essas organelas são formadas por duas membranas, uma externa, responsável por controlar o fluxo de íons e metabólitos para o espaço intermembranas, e a membrana interna, altamente especializada e rica em proteínas, dentre as quais, componentes da cadeia respiratória e proteínas responsáveis pelo transporte de metabólitos.

No processo de oxidação biológica, substratos como carboidratos são oxidados para formar água e CO₂. A oxidação biológica envolvendo o transporte de ATP ocorre na mitocôndria pela cadeia transportadora de elétrons (PLAXTON, 1996), utilizando o elétron na forma conservada de NADH (Nicotinamida-Adenina-Dinucleotídeo) e FADH₂ (Flavina-Adenina-Dinucleotídeo). Estes compostos são transferidos para a membrana mitocondrial interna, onde entram na cadeia transportadora de elétrons, doando elétrons.

O gradiente eletroquímico de prótons gerado pela cadeia transportadora de elétrons não é totalmente acoplado com a síntese de ATP, já que os prótons podem retornar para a matriz mitocondrial por intermédio de uma proteína presente na membrana mitocondrial interna, a proteína desacopladora mitocondrial (UCP; do inglês *Uncoupling Protein*).

Em eucariotos, as UCPs pertencem a um grupo distinto de proteínas dentro da família de carreadores mitocondriais (FCM), apresentando uma estrutura tripartida consistindo de três domínios repetidos, cada qual contendo duas regiões hidrofóbicas que formam α- hélices transmembranas, e também um motivo altamente conservado denominado *Energy Transfer Proteins Signature* – P-x-[DE]-x-[LIVAT]-[RK]-x-[LRH]-[LIVMFY] (BORECKÝ *et al.*, 2001a). De maneira geral, as proteínas desacopladoras dissipam o gradiente eletroquímico de prótons gerados na respiração na forma de calor (NICHOLLS, 1999), sendo dependentes de ácidos graxos e sensíveis aos nucleotídeos purínicos.

Em plantas, a existência de uma proteína desacopladora mitocondrial só foi evidenciada a partir do isolamento de tubérculos de batata (*Solanum tuberosum*) por Vercesi *et al.*(1995), sendo atualmente conhecida pela comunidade científica pela sigla pUCP (do inglês *plant uncoupling protein*). Embora a função termogênica nunca tenha sido evidenciada como no caso da UCP1 de mamíferos, um estudo da co-expressão das proteínas dissipadoras de energia (oxidase alternativa-AOX e UCP) nos espádices da planta termogênica *Symplocarpus* seria

responsável pela produção de calor nesse órgão especializado (ONDA *et al.*, 2008), evidenciando um possível envolvimento dessas proteínas com a geração de calor. Além disso, diversas linhas de pesquisa têm evidenciado que a principal função do desacoplamento da respiração mitocondrial mediado pelas pUCPs é relacionada à regulação de espécies reativas de oxigênio (EROs) (KOWALTOWSKI *et al.*, 1998; PASTORE *et al.*, 2000).

Borecky e colaboradores (2006) identificaram uma família multigênica de pUCPs composta por seis membros (denominados de *AtPUMPI-6*) através da análise detalhada do genoma de *Arabidopsis thaliana*. Em uma análise similar utilizando esses seis genes de *Arabidopsis* como isca, os autores identificaram no transcriptoma de cana de açúcar, cinco sequências não redundantes (denominadas *SsPUMPI-5*) contendo regiões codificadoras cujos produtos eram altamente similares às UCPs/PUMP já descritas (BORECKÝ *et al.*, 2006). Tais análises *in silico* sugerem a existência de famílias multigênicas para a decodificação de pUCPs.

Diante do exposto é possível concluir que a função fisiológica das pUCPs ainda não está totalmente estabelecida, havendo indícios de sua participação em diferentes processos fisiológicos que vão desde a geração de calor ao controle indireto da produção de EROs, sendo então necessários vários estudos sobre a expressão gênica da proteína desacopladora mitocondrial em plantas, assim como análises *in silico* sobre a quantidade de genes em cada espécie e sua relação filogenética.

Portanto, o presente estudo visa caracterizar a família multigênica da proteína desacopladora mitocondrial da soja, identificando o número de genes pertencentes a esta família, bem como analisar filogeneticamente estes genes, comparando-os com genes homólogos de espécies pertencentes a outras leguminosas, espécies estas, com genoma sequenciado e disponível nos bancos de dados. Além desta caracterização *in silico*, ensaios de RT-qPCR em situações de estresse e durante o desenvolvimento da soja serão executados com o intuito de identificar quais genes se expressam mais em qual fase de desenvolvimento e quais as implicações em nível de expressão gênica quando submetidos a estresse.

2 REVISÃO DE LITERATURA

2.1 Glycine max (L.) MERR

2.1.1 *Origem e importância*

A soja é um importante alimento funcional utilizado no oriente há mais de cinco mil anos, constituindo a base alimentar do povo chinês e sendo considerada um dos cinco “grãos sagrados” essenciais à estabilidade desta civilização, demonstrando ter grande importância ao consumo desde aqueles tempos (BERGEROT, 2003).

Originada da Ásia, mais precisamente da China Antiga, foi disseminada para o ocidente através de navegações e iniciou o seu cultivo na América Latina somente no século passado, apresentando-se como um dos principais produtos agrícolas nacionais e ocupando lugar de destaque no país (CHUNG; SINGH, 2008; ITO; TANAKA, 1993).

O primeiro relato sobre o cultivo da soja deu-se em 1882 no estado da Bahia (BLACK, 2000), sendo posteriormente levada por imigrantes japoneses para São Paulo e somente em 1914 introduzida ao município de Santa Rosa no estado do Rio Grande do Sul por pequenos criadores como fonte de proteínas na alimentação de suínos e como adubo, sendo por fim este o estado onde a planta melhor se adaptou às condições edafoclimáticas, principalmente ao fotoperíodo (BONETTI, 1981; EMBRAPA, 2004).

Segundo Embrapa (2004), o cultivo da soja foi impulsionado pela política de subsídios ao trigo visando a autossuficiência a partir de 1960 e estabeleceu-se como cultura economicamente importante para o Brasil. Nessa década, a sua produção multiplicou-se por cinco (passou de 206 mil toneladas em 1960 para 1.056 milhões de toneladas em 1969), sendo que 98% desse volume eram produzidos nos três estados da região Sul. Tal concentração da produção deu-se pelo fato desta região ser o único local possível para o plantio da soja até 1970 por conta da necessidade dos climas temperados e subtropicais, porém com a evolução tecnológica foi possível a disseminação da soja ao longo dos estados da região Norte e Nordeste do país.

A implantação de programas de melhoramento de soja no Brasil possibilitou o avanço da cultura para as regiões de baixas latitudes, através do desenvolvimento de cultivares mais adaptados por meio da incorporação de genes que atrasam o florescimento mesmo em

condições de fotoperíodo indutor, conferindo a característica de período juvenil longo (KIIHL; GARCIA, 1989).

Dentre as oleaginosas produzidas no Brasil, a soja destaca-se como a mais importante desde 1951, com a primeira “Campanha da Soja”, nota-se uma expansão de sua cultura e desde então tem apresentado crescimento constante em virtude da demanda crescente (GRAZIANO, 1997, p. 457).

Segundo Black (2000), do total mundial de produção das sete oleaginosas: soja, algodão, amendoim, girassol, colza, linho e palma, estimada em 280 milhões de toneladas, a soja participa com cerca de 56% ou seja, cerca de 157 milhões de toneladas, sendo a leguminosa de maior expressão econômica do planeta, com teor de óleo compreendido entre 20 e 22% e apresentando alto teor de proteína, de 40 a 42% nas variedades difundidas, características essas que levaram à formação de um complexo industrial destinado ao seu processamento.

Atualmente a soja (*Glycine max* (L.) Merrill) é uma das mais importantes culturas na economia mundial. Seus grãos são muito usados pela agroindústria (produção de óleo vegetal e rações para alimentação animal), indústria química e de alimentos. Recentemente, vem crescendo também o uso como fonte alternativa de biocombustível (COSTA NETO; ROSSI, 2000).

Grande incremento na produção mundial de soja pode ser atribuído a diversos fatores, dentre os quais merecem destaque: o elevado teor de óleo (ao redor de 20%) e proteínas (em torno de 40%) de excelentes qualidades encontradas no grão; a soja é uma commodity padronizada e uniforme, podendo, portanto, ser produzida e negociada por produtores de diversos países, apresentando alta liquidez e demanda; e sobretudo nas últimas décadas, houve expressivo aumento da oferta de tecnologias de produção, que permitiram ampliar significativamente a área cultivada e a produtividade da oleaginosa (LAZZAROTTO; HIRAKURI, 2010).

Há ainda a utilização de variedades transgênicas na produção, que geram maior rendimento e resistência da planta a doenças, como forma de aumentar a qualidade da produção, a fim de expandir a produtividade por unidade de planta e gerar maior aproveitamento das sementes (PAULA; FAVERET, 2005).

Dentre os fatores que contribuem para o aumento no consumo mundial de soja está principalmente o crescente poder aquisitivo da população nos países em desenvolvimento, o que vem provocando uma mudança no hábito alimentar. Assim, observa-se cada vez mais a

troca de cereais por carne bovina, suína e de frango. Tudo isso, resulta numa maior demanda de soja, ingrediente que compõe 70% da ração para esses animais (VENCATO *et al.*, 2010).

Apesar de tudo, dentre os grandes produtores mundiais (Estados Unidos o maior produtor, Brasil na segunda posição e em terceiro a Argentina), o Brasil apresenta a maior capacidade de multiplicar a atual produção, tanto pelo aumento da produtividade, quanto pelo potencial de expansão da área cultivada. O cenário otimista de um país que tem para onde e como crescer a sua produção, projeta um salto produtivo na cultura de mais de 40% até 2020, enquanto que nos Estados Unidos, o crescimento no mesmo período deverá ser no máximo de 15%. Até 2020, a produção brasileira deve ultrapassar a barreira dos 100 milhões de toneladas, podendo assumir a liderança mundial na produção do grão (VENCATO *et al.*, 2010). Segundo a Associação Brasileira das Indústrias de Óleos Vegetais – ABIOVE, o Brasil deve estar exportando em torno de 48,7 milhões de toneladas de soja no ano de 2015.

2.1.2 Classificação botânica e características da planta

De acordo com Sediyyama (2009), a soja é uma leguminosa dicotiledônea pertencente ao reino Plantae, divisão Magnoliophyta, classe Magnoliopsida, ordem Fabales, família Fabaceae (Leguminosae), subfamília Faboideae (Papilionoideae), gênero Glycine, espécie Glycine max e forma cultivada Glycine max (L.) Merrill (TABELA 1).

A soja é uma planta considerada como pertencente a uma cultura anual, herbácea, ereta, autógama, apresentando variabilidade em relação as características morfológicas, que ainda podem ser influenciadas pelo ambiente, como a altura que pode variar de 30 a 200 cm, apresentando mais ou menos ramificações (SEDIYAMA, 2009).

As cultivares de soja possuem ciclos que podem variar de 75 a 200 dias, contados da emergência até a maturação. São reunidas em grupos de maturação de acordo com o ciclo (precoce, semiprecoce, médio, semitardio e tardio), porém quanto ao número de dias estes grupos são divergentes entre as cultivares e as diversas regiões de adaptação, sendo assim, uma mesma cultivar pode alcançar diferentes ciclos dependendo das condições de manejo e principalmente das condições edafoclimáticas entre regiões distintas, a respeito da latitude e a altitude (EMBRAPA, 2006). A maioria das cultivares adaptadas para as condições brasileiras apresentam ciclo de 90 a 150 dias (SEDIYAMA, 2009).

Tabela 1 – Classificação botânica da soja (USDA)

Classificação botânica	
Reino	Plantae
Divisão	Magnoliophyta
Classe	Magnoliopsida
Ordem	Fabales
Família	Fabaceae
Subfamília	Faboideae
Tribo	Phaseolae
Subtribo	Phaseolinae
Gênero	Glycine
Espécie	Glycine max

Fonte: Departamento de Agricultura dos Estados Unidos – USDA

O sistema radicular da soja (FIGURA 1) é constituído de raiz axial principal (pivotante) bem desenvolvida e de raízes secundárias distribuídas em quatro ordens, (FEHR; CAVINESS, 1977; MÜLLER, 1981). Suas raízes também são ricas em nódulos, resultantes da simbiose com bactérias do gênero *Bradirhizobium*, que fixam o nitrogênio do ar presente no solo e repassam para planta na forma de nitrato em troca de hidratos de carbono, reduzindo então os gastos com adubação nitrogenada (MASCARENHAS *et al.*, 2005).

O caule (FIGURA 1) é do tipo herbáceo, ereto com porte variável de 0,60 cm a 1,50 m, ramificado e pubescente, desenvolvendo-se a partir do eixo embrionário, após o início da germinação. Na maioria das cultivares seu crescimento é do tipo ortótropo, podendo sofrer influências das condições externas. Quanto ao seu hábito de crescimento, este pode variar de acordo com as características do ápice do caule principal, podendo ser de crescimento determinado ou indeterminado (FEHR; CAVINESS, 1977; EMBRAPA, 2004; MÜLLER, 1981).

As folhas (FIGURA 1) são alternadas, longas pecioladas, compostas de três folíolos ovalados ou lanceolados, de comprimento variável entre 0,5 a 12,5 cm. Ao longo do ciclo de

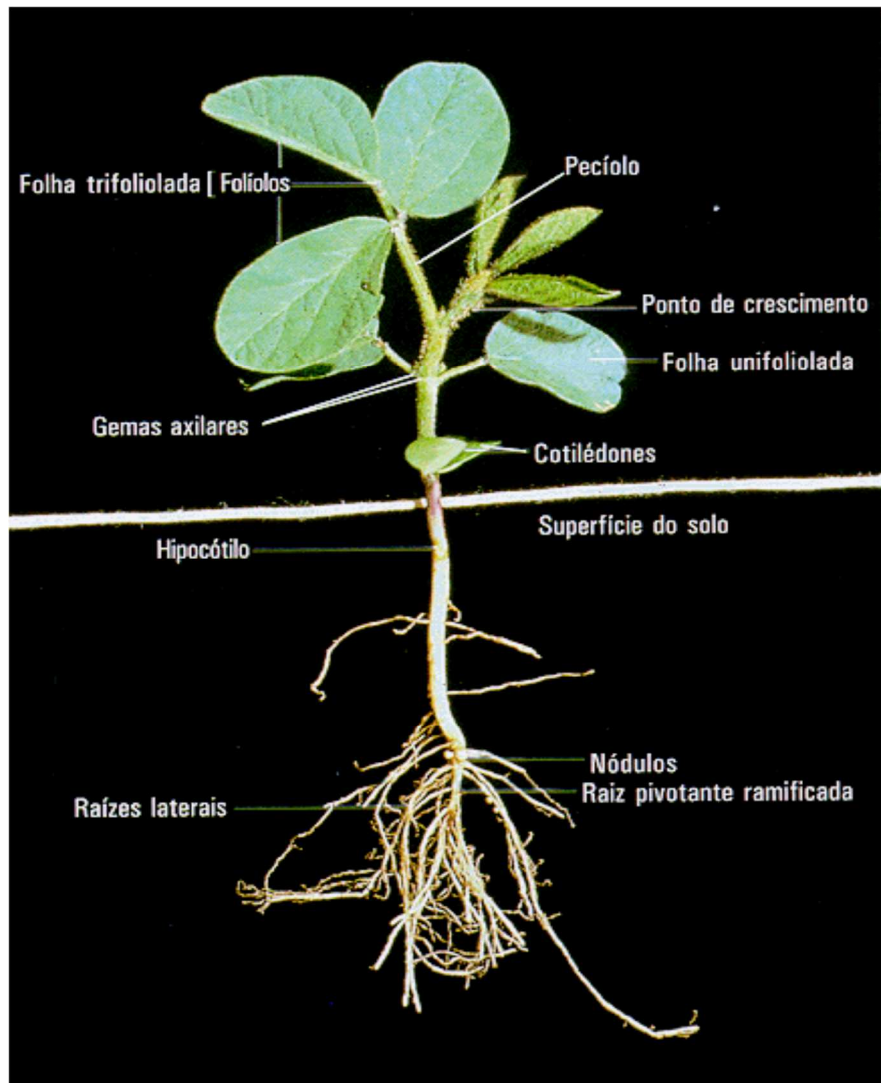
vida a soja possui três tipos de folhas: as cotiledonares, as simples ou unifolioladas e as compostas ou trifoliadas; todas com tamanho, formato e posicionamentos diferentes. Na maioria das variedades as folhas amarelam à medida que os frutos amadurecem e caem quando as vagens estão maduras (EMBRAPA, 2004; SEDIYIAMA, 2009).

Segundo Sedyiyama (2009) e Embrapa (2004), a soja possui flores completas e ocorrem em racíños curtos, terminais ou axilares, de coloração branca, amarela ou violácea, dependendo da variedade, variando de 2 a 35 por racemo (FIGURA 2a). Sua abertura ocorre pela manhã, de acordo com condições de temperatura e umidade. O fruto é do tipo vagem achatada, pubescentes, de cor cinza, amarela palha ou preta, dependendo da variedade, e pode chegar a 400 por planta, com número de grãos variando de um a cinco por vagem (FIGURA 2b). Contudo, a maioria das cultivares apresenta vagens com dois ou três grãos. Suas sementes (FIGURA 2c) possuem variações quanto à forma (arredondada, achatada ou alongada), tamanho e cor (o comércio prefere as sementes amarelas).

A soja é classificada como planta de dias curtos, ou seja, precisa de um mínimo de horas de noite ou escuro para indução floral, mas existe uma ampla variabilidade genética de resposta às exigências fotoperiódicas (EMBRAPA, 2004). As cultivares convencionais, na grande maioria, são altamente sensíveis a mudanças entre latitudes ou datas de semeadura, devido às suas respostas às variações no fotoperíodo (BONATO; VELLO, 1999). Nas regiões tropicais, os fotoperíodos mais curtos durante a estação de crescimento da soja reduzem o período vegetativo (florescimento precoce) e causam reduções no porte das plantas e consequentemente na produtividade. Há relatos de alguns genótipos insensíveis ou neutros aos efeitos do fotoperíodo (ALMEIDA *et al.*, 1999), porém esses genótipos são muito precoces para serem usados no desenvolvimento de cultivares para as médias e baixas latitudes no Brasil.

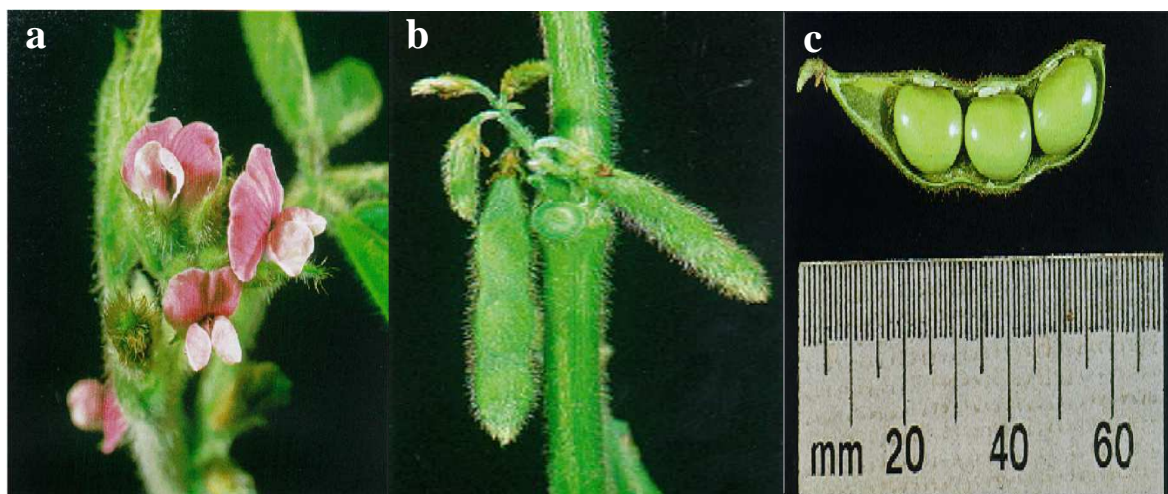
Ferh e Caviness (1977) propuseram uma metodologia, utilizada mundialmente, para descrição dos dois estádios fenológicos da soja (vegetativo e reprodutivo) durante todo o ciclo da planta. O vegetativo, compreendido entre a emergência e o início do florescimento, e o reprodutivo, correspondente ao período entre o início do florescimento e à maturação (TABELA 2).

Figura 1 – Principais partes que compõem a planta de soja



Fonte: Associação Brasileira para Pesquisa da Potassa e do Fosfato

Figura 2 – Flor, vagem e semente da soja



Fonte: Associação Brasileira para Pesquisa da Potassa e do Fosfato

Tabela 2 – Estadios de desenvolvimento da soja

Estádio	Denominação	Descrição
VE	Emergência	Cotilédones acima da superfície do solo
VC	Cotilédone	Cotilédones completamente abertos
V1	Primeiro nó	Folhas unifolioladas completamente desenvolvidas
V2	Segundo nó	Primeira folha trifoliolada completamente desenvolvida
V3	Terceiro nó	Segunda folha trifoliolada completamente desenvolvida
V4	Quarto nó	Terceira folha trifoliolada completamente desenvolvida
V5	Quinto nó	Quarta folha trifoliolada completamente desenvolvida
V6	Sexto nó	Quinta folha trifoliolada completamente desenvolvida
V...
Vn	Enésimo nó	Anti-enésima folha trifoliolada completamente desenvolvida
R1	Início do florescimento	Uma flor aberta em qualquer nó do caule (haste principal)
R2	Florescimento pleno	Uma flor aberta num dos dois últimos nós do caule com folha completamente desenvolvida
R3	Início da formação da vagem	Vagem com 5 mm de comprimento num dos quarto últimos nós do caule com folha completamente desenvolvida
R4	Vagens completamente desenvolvidas	Vagem com 2 cm de comprimento num dos quarto últimos nós do caule com folha completamente desenvolvida
R5	Início do enchimento do grão	Grão com 3 mm de comprimento em vagem num dos quarto últimos nós do caule com folha completamente desenvolvida
R6	Grão cheio ou completo	Vagem contendo grãos verdes preenchendo as cavidades da vagem um dos quarto últimos nós do caule com folha completamente desenvolvida
R7	Início da maturação	Uma vagem normal no caule com coloração madura
R8	Maturação plena	95% das vagens com coloração madura

Fonte: Fehr e Caviness, 1977

Observações:

1. Nô cotiledonar não é considerado.
2. Uma folha é considerada completamente desenvolvida quando as bordas do trifólio da folha seguinte não mais se tocam.
3. Caule significa a haste principal da planta.
4. A expressão “últimos nós” refere-se aos últimos nós superiores.

2.2 Condições de estresse

As plantas, assim como todos os outros seres vivos, podem sofrer agressões causadas por diversos fatores ambientais, sejam eles agentes bióticos ou abióticos. Apesar dos vegetais não apresentarem defesas através de movimentos ágeis diante do seu modo de vida séssil, podem ocorrer adaptações e profundas alterações no metabolismo da célula vegetal, entre elas a síntese de proteínas de defesas, expressa por genes específicos, ativados através de

mecanismos complexos (BUSAM; KASSEMEYER; MATTERN, 1997; PINHEIRO *et al.*, 1999).

Estes diversos fatores ambientais podem levar ao estresse oxidativo e consequentemente, a produção descontrolada de espécies reativas de oxigênio (EROs), que são extremamente tóxicas aos vegetais. Para combater essas EROs as plantas dispõem de um sistema de defesa composto por antioxidantes enzimáticos e não enzimáticos, que trabalham em conjunto e em sincronia limpando as EROs produzidas e desintoxicando as células, fazendo com que os vegetais superem a situação de estresse e recuperem a homeostase celular (ROSSI, 2012). Em plantas, as EROs podem ser produzidas em reações ocorridas nas mitocôndrias, cloroplastos e peroxissomos (FOYER; NOCTOR, 2000).

Radicais livres são formados tanto sob condições de estresse oxidativo quanto pelas reações normais da cadeia de transporte de elétrons, mas que são altamente reguladas (CHAOUI *et al.*, 1997; GREGGAINS *et al.*, 2000; MAZHOUDI *et al.*, 1997), contudo esta regulação pode ser perdida se o estresse for mais severo, aumentando então consideravelmente a produção de radicais livres que podem levar a uma cascata de eventos que, começando com a peroxidação de lipídeos, avançam para degradação de membranas e para morte celular (GREGGAINS *et al.*, 2000).

No estado molecular o O₂ é pouco reativo, porém o metabolismo aeróbico produz inevitavelmente EROs como o radical superóxido (O₂^{•-}), dotado de baixa capacidade oxidativa, peróxido de hidrogênio (H₂O₂), capaz de romper a membrana nuclear e causar danos ao DNA, radical hidroxil (•OH), com baixa capacidade de difusão, porém alta reatividade, provocando lesões em uma série de moléculas em meio celular e o oxigênio “singlet” (1O₂) (SCANDALIOS; ACEVEDO; RUZSA, 2000).

Todas as EROs são extremamente reativas e citotóxicas, o •OH e o 1O₂ são tão reativos que suas produções devem ser minimizadas rapidamente, o H₂O₂ quando em alta concentração na célula inibe a fixação de carbono, uma vez que muitas enzimas do ciclo de Calvin são extremamente sensíveis ao H₂O₂ (SCANDALIOS; ACEVEDO; RUZSA, 2000).

Quando comparado aos demais radicais o O₂^{•-} e o H₂O₂ são relativamente pouco reativos, mas quando em presença de íons metálicos como o Fe, por exemplo, ativam uma sequência de reações que levam a formação de •OH na reação de Haber-Weiss (BOWLER; VANMONTAGU; INZÉ, 1992).

O •OH tem um grande potencial oxidativo atacando sem discriminação qualquer macromolécula, levando a sérios danos celulares, causando peroxidação lipídica, desnaturação

protéica, e mutação no DNA, podendo levar a disfunções metabólicas irreparáveis e até morte celular (BOWLER; VANMONTAGU; INZÉ, 1992; SCANDALIOS; ACEVEDO; RUZSA, 2000). O 1O_2 , formado a partir da transferência da energia de ativação para o O_2 , também produz efeitos deletérios (BOWLER; VANMONTAGU; INZÉ, 1992).

De acordo com Foyer *et al.* (1997) o aumento nos oxidantes celulares pode levar a super expressão de genes de enzimas de desintoxicação como as superóxido dismutases (SOD) (GIANNOPOLITIS; RIES, 1977), catalase (CAT), peroxidase (PRX) e enzimas do ciclo ascorbato-glutationa (BAILLY *et al.*, 1998; SUNG; JENG, 1994) como parte de uma estratégia requerida para superar o estresse oxidativo.

São inúmeros os fatores que podem contribuir para o aumento dos níveis de EROS, radiação UV, luminosidade intensa, herbicidas, ataque de patógenos, certas injúrias, hiperoxia, ozônio, flutuações na temperatura (SCANDALIOS; ACEVEDO; RUZSA, 2000), seca, metais pesados, concentração elevada de sais, extremos de temperatura, poluição do ar (MALLICK; MOHN, 2000).

2.2.1 Estresse abiótico hídrico e polietileno glicol (PEG)

A água constitui aproximadamente 90% do peso da planta, atuando praticamente em todos os processos fisiológicos e bioquímicos de uma planta, desempenhando um papel importante na regulação térmica de calor, além de características funcionais de preenchimento, meio de transporte, solvente para reações celulares e processos entre outros (CAMPBELL, 1991; EMBRAPA, 2008).

A seca é um estresse abiótico que pode diminuir o rendimento médio da maioria das culturas em mais de 50% (BRAY, 2004), e está relacionada à diminuição do conteúdo de água no solo, submetendo as plantas ao déficit hídrico (PAIVA; OLIVEIRA, 2006). A resposta das plantas frente à falta de água é considerada uma síndrome, ou seja, um grupo de respostas simultâneas (LAWLOR, 2002; MITTLER, 2006).

A capacidade da planta para manter suas atividades metabólicas enquanto desidratada é mediada por respostas celulares que incluem mudanças: no seu ciclo, no sistema de endomembranas e vacuolização; bem como alterações na arquitetura da parede celular (MENESES *et al.*, 2006).

A série de respostas (mudanças) causada pela seca nas plantas é de ordem fisiológica, bioquímica, morfológica e molecular (LEI; TONG; SHENGYAN, 2006; WANG *et al.*, 2001),

por alterações em seu metabolismo, crescimento e desenvolvimento (BARTELS; SUNKARS, 2005). Quando a regulação por meio dessas respostas é inadequada e o metabolismo não se ajusta para a manutenção das funções, estas podem resultar em danos e eventual morte (LAWLOR, 2002).

As plantas alteram o metabolismo de diferentes maneiras, para acomodarem-se ao estresse ambiental (TAIZ; ZEIGER, 2004), como aumentando a produção de ácido indol-acético, oxidorredutases e acumulando sacarose no interior dos vacúolos celulares. Além disso, a eficiência no uso de água é de grande importância para a sobrevivência em condições de baixa disponibilidade hídrica, uma vez que a absorção contínua de água é determinante para o crescimento e desenvolvimento vegetal (PIMENTEL, 2004).

As respostas das plantas ao déficit hídrico mudam dependendo da espécie e genótipo, do comprimento e intensidade de perda de água, idade e estádio de desenvolvimento, do órgão e do tipo e compartimento celular (BARTELS; SUNKARS, 2005; RAMPINO *et al.*, 2006; ZHU *et al.*, 2005). Tais respostas ocorrem dentro de poucos segundos ou em minutos e horas, dependendo se a ocorrência do déficit é rápida ou gradual (SANTOS; CARLESSO, 1998). Adaptações incluem processos a curto (bioquímico) e longo prazo, como mudanças morfológicas do hábito da planta (BARTELS; SUNKAR, 2005; BECK *et al.*, 2007).

Sob estresse hídrico as plantas também podem alterar a espessura, a área foliar e características anatômicas (LAMBERS; CHAPIN; PONS, 1998), assim como, a taxa de transpiração, a condutância estomática e a taxa fotossintética (CALBO; MORAES, 2000).

A limitação da fotossíntese, que reduz o consumo de elétrons liberados da água, causa o excesso de energia de excitação, que se não for eliminado com segurança pode ocasionar danos (LAWLOR, 2002; MULLER; LI; NIYOGI, 2001). Quando a energia armazenada nas clorofitas, ou seja, o estado excitado da clorofila não é rapidamente dissipado pela transferência de excitação ou fotoquímica, ela pode reagir com o oxigênio, formando as chamadas espécies reativas de oxigênio (ROS, do inglês reactive oxygen species), que incluem o singuleto (1O_2), ânions radicais de superóxidos ($\text{O}_2^{\bullet-}$), radicais hidroxilas (OH^{\bullet}) e peróxidos de hidrogênio (H_2O_2) (APEL; HIRT, 2004; ASADA, 1999; BARTELS, 2001; CHAVES; MAROCO; PEREIRA, 2003; SMIRNOFF; BRYANT, 1999). Estas espécies são as responsáveis por danos fotooxidativos, principalmente em proteínas (D1) do centro de reação do fotossistema II, por destruírem componentes da membrana dos tilacoides, em especial os lipídeos (LAWLOR;

CORNIC, 2002). A fotoinibição chega a ocorrer somente em condições de estresse hídrico muito severo e com quase completamente os estômatos fechados (FLEXAS; MEDRANO, 2002).

Diferentes espécies têm desenvolvido fascinantes mecanismos para enfrentar a baixa quantidade de água no substrato, evitando-a ou tolerando-a (LAMBERS; CHAPIN; PONS, 1998), através de modificações na morfologia externa, na histologia, na citologia e na fisiologia da planta (DICKISON, 2000).

Compreender como as plantas respondem ao déficit hídrico e a identificação dos mecanismos de tolerância à seca é fundamental para predizer os impactos na produção das culturas (BARTELS; SUNKAR, 2005), além de ser crucial no desenvolvimento de cultivares de soja mais tolerantes (CASAGRANDE *et al.*, 2001).

Alguns compostos como o polietileno glicol-6000 e o manitol estão sendo comumente utilizados para simular condições de déficit hídrico por serem compostos quimicamente inertes e não tóxicos (TAMBELINI; PEREZ, 1998).

O polietilenoglicol (PEG-6000) tem sido utilizado com sucesso em trabalhos de pesquisa para simular os efeitos do déficit hídrico nas plantas, especialmente por não penetrar nas células, não ser degradado e não causar toxidez, devido ao seu alto peso molecular. Ele atua como um agente osmótico que simula um determinado potencial osmótico (Ψ_{os}) que pode ser estabelecido pela equação de Van't Hoff (HARDEGREE; EMMERICH, 1994; SOUZA; CARDOSO, 2000).

Segundo Tobe, Li e Omasa (2000), os sais ocasionam inibição do crescimento, tanto pelo efeito osmótico, ou seja, a seca fisiológica produzida, como pelo efeito tóxico, resultante da concentração de íons no protoplasma. A deficiência hídrica provoca alterações no comportamento vegetal cuja irreversibilidade vai depender do genótipo, da duração, da severidade e do estágio de desenvolvimento da planta. Assim, pesquisas têm sido direcionadas a fim de compreender as respostas das plantas ao déficit hídrico; sendo necessário um programa amplo, multidisciplinar, que possa entender tais respostas (SANTOS; CARLESSO, 1998).

2.2.2 Estresse biótico e ácido salicílico (AS)

As plantas produzem uma grande variedade de metabólitos secundários baseados em um grupo fenol (um grupo hidroxila funcional em um anel aromático). Tais substâncias são classificadas como compostos fenólicos, os quais constituem um grupo quimicamente heterogêneo, com aproximadamente 10000 compostos, alguns solúveis em solventes orgânicos, outros são ácidos carboxílicos e glicosídeos solúveis em água e há ainda, aquele que são grande polímeros insolúveis (TAIZ; ZEIGER, 2004).

Os compostos fenólicos apresentam uma variedade de funções nos vegetais, muitos agem como compostos de defesa contra herbívoros e patógenos (estresse biótico). Outros têm função de suporte mecânico, como atrativo de polinizadores ou dispersores de frutos, na proteção contra a radiação ultravioleta ou reduzindo o crescimento de plantas competidoras adjacentes (TAIZ; ZEIGER, 2004).

A rápida produção de espécies reativas de oxigênio (EROS), chamado de "explosão oxidativa" é uma estratégia bem-sucedida da planta para o reconhecimento de patógenos (LAMB; DIXON, 1997; TORRES; JONES; DANGL, 2006).

Existem diversas teorias sobre as funções para a produção de EROS em resposta à patógenos. No entanto, evidências sugerem que as EROS possuem uma função de sinalização mediando a ativação de genes de defesa e criação de defesas adicionais, pelo controle redox de fatores transcricionais ou pela interação com outros componentes de sinalização, como cascata de fosforilação (KOVTUN *et al.* 2000, MOU; FAN; DONG, 2003).

Outra característica da sinalização de EROS é sua interação com outros sinais e hormônios vegetais. EROS formam complexos circuitos de regulação com sinalização de cálcio e cascatas de fosforilação. Muitas funções regulatórias das EROS durante a defesa da planta têm sido associadas com hormônios como o ácido salicílico (AS) e o óxido nítrico (ON) (TORRES; JONES; DANGL, 2006).

O ácido salicílico pertence ao grupo bastante diverso dos compostos fenólicos usualmente definidos como substâncias com um anel aromático ligado a um grupo hidroxil ou ao seu derivado funcional. O ácido salicílico, denominado após ser encontrado na casca de *Salix*, é amplamente distribuído nas plantas tanto nas folhas quanto nas estruturas reprodutivas, (KERBAUY, 2008) é um regulador de crescimento vegetal, derivado do ácido benzoico, que está envolvido na resistência sistêmica a patógenos vegetais, assim como na defesa das plantas

contra o ataque de microrganismos como fungos, bactérias e vírus (METRAUX, 2001; TAIZ; ZEIGER, 2004).

A aplicação exógena do ácido salicílico (AS) pode influenciar uma série de processos em diversas plantas, incluindo a germinação das sementes, taxa de crescimento, condutância estomática, absorção e transporte de íons, permeabilidade da membrana, dentre outros (HORVATH *et al.* 2007). O ácido salicílico também é usado para prolongar a duração de flores de corte a partir da inibição da biossíntese do etileno (KERBAUY, 2008).

O ácido salicílico, quando aplicado em baixas concentrações, causa estresse oxidativo em plantas, atuando como um elicitador biológico e aumentando a capacidade antioxidante de plantas (HORVATH ; SZALAI; JANDA, 2007).

O termo elicitador biológico, usualmente se refere a macromoléculas, originadas tanto das plantas, como dos patógenos, as quais são capazes de estimular as respostas das plantas a patógenos. Uma ampla gama de compostos, incluindo oligossacarídeos, glicoproteínas e peptídeos, pode mediar a indução das reações de defesa nas plantas (JUNG *et al.*, 2000, KÚC, 2000). Diante disto fica possível utilizar o ácido salicílico como um simulador de estresse biótico a fim de permitir pesquisas das implicações que este estresse possui em determinados tecidos da planta.

2.3 Proteína desacopladora mitocondrial (UCP)

As proteínas decacopladoras mitocondriais (UCPs) são encontradas em diversos organismos, de mamíferos a plantas. As UCPs foram inicialmente denominadas de termoginina ou proteína de ligação ao GDP (guanosina-difosfato) (NICHOLLS, 2001). Porém, após a identificação de uma proteína de 32 kDa em tecido adiposo marrom de camundongos por Ricquier e Kader (1976), sua devida caracterização com a sigla UCP (uncoupling protein) passou a ser oficialmente empregada, sendo esta chamada de UCP1 (*uncoupling protein 1*).

Até o momento foram descobertas cinco isoformas (proteínas com a mesma função, mas codificadas por genes distintos) em mamíferos, as quais foram numeradas de acordo com a ordem de suas descobertas, UCP1-5 (DONATELLI *et al.*, 2013).

Transcritos da UCP1 foram encontrados em tecido adiposo marrom, UCP2 em vários tecidos (fígado, cérebro, pâncreas, tecido adiposo, células imunitárias, baço, rim e sistema nervoso central), UCP3 em músculo e tecido adiposo (ANDREWS; DIANO; HORVATH, 2005; ARSENIJEVIC *et al.*, 2000; KONG *et al.*, 2010; KRAUSS; ZHANG; LOWELL, 2005;

LEDESMA; DE LACOBA; RIAL, 2002; SIMON-ARECES *et al.*, 2012). Os outros dois membros, UCP4 e 5, são expressos em uma forma específica do tecido e estão envolvidos na redução do potencial de membrana mitocondrial (YU *et al.*, 2000).

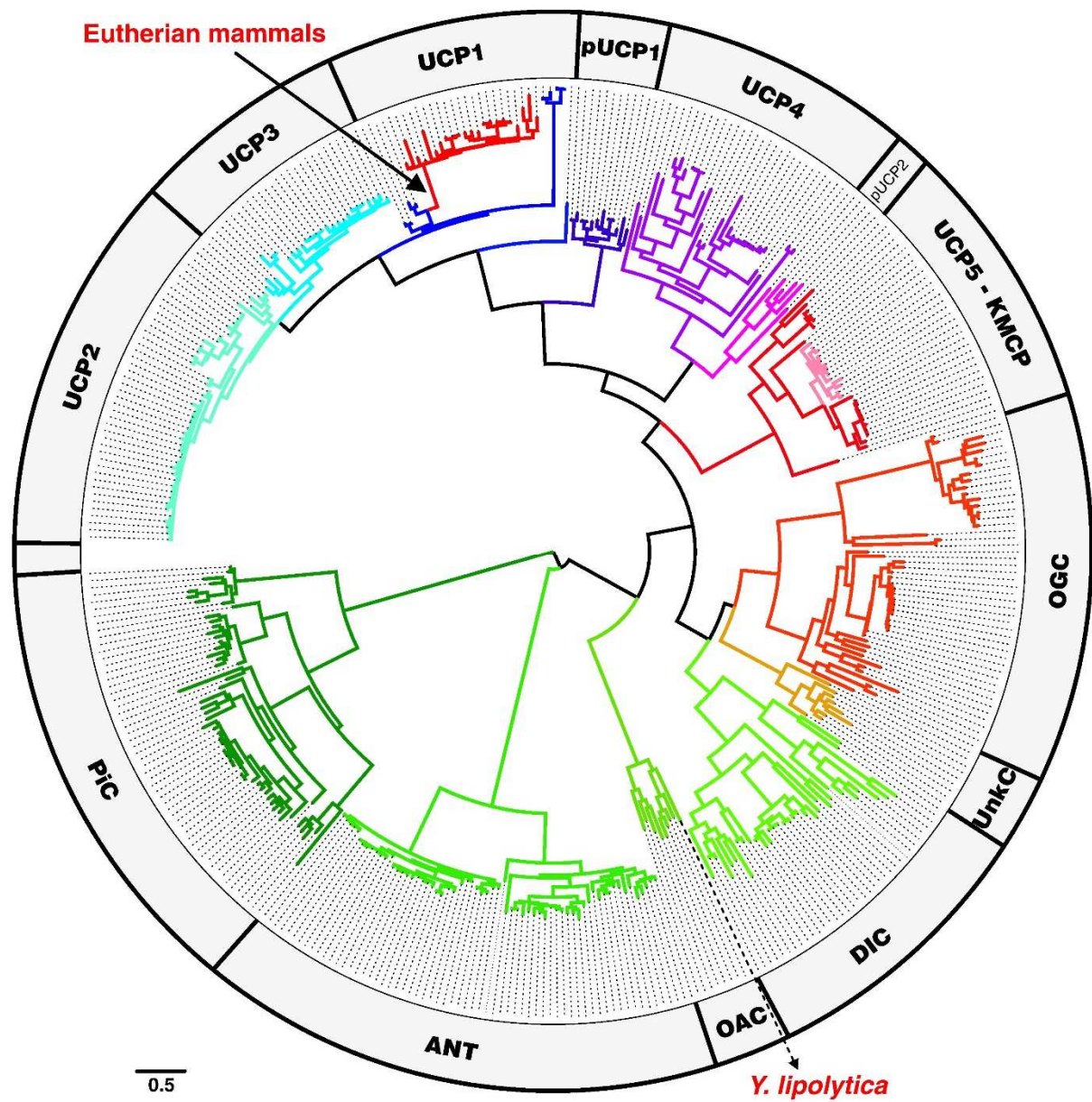
Quando comparadas em relação à identidade, a UCP2 e a UCP3 apresentam 59 e 57% de identidade com a UCP1, respectivamente, e 73% de identidade entre si (KRAUSS; ZHANG; LOWELL, 2005), já as UCP4 e UCP5 apresentam em torno de 30% de identidade com a UCP1 (HANÁK; JEŽEK, 2001).

As UCPs pertencem a um grupo de proteínas carreadoras integrais de membrana denominado Família dos Carreadores Mitocondriais – FCM (do inglês Mitochondrial Carrier Family – MCF), onde todas as proteínas possuem um peso molecular entre 28-34 kDa e são codificadas exclusivamente por genes nucleares, a qual transportam vários metabólitos aniónicos através da membrana mitocondrial interna, como ácidos graxos, ADP, ATP, fosfato, oxoglutarato, malato, aspartato, glutamato, citrato ou piruvato ou ainda substratos na forma zwitteriônica, como ornitina, carnitina ou glutamina (LALOI, 1999; BORECKÝ *et al.*, 2001a; PICAUT *et al.*, 2004; RIAL; ZARDOYA, 2009). Entretanto, esses carreadores não são exclusivos do compartimento mitocondrial, uma vez que membros da FCM já foram identificados em peroxissomos (PALMIERI *et al.*, 2001; VISSER *et al.*, 2002) e hidrogenossomos (ARCO; SASTRÚSTEGUI, 2005).

As UCPs são consideradas membros da superfamília gênica de carreadores de ânions por possuírem alta homologia de sequência com outros carreadores e transportarem formas aniónicas de ácidos graxos ou outros ânions (BORECKÝ *et al.*, 2001a). Tais transportadores foram distribuídos numa árvore filogenética, com destaque para as UCPs, além da presença de DICs e ANTs, dentre outros carreadores mitocondriais (RIAL *et al.*, 2010) (FIGURA 3).

Todos os representantes da FCM, consistem de uma estrutura monomérica funcional contendo de 295 a 320 resíduos de aminoácidos, correspondendo a seis α -hélices (I-VI) transmembranares e cinco segmentos hidrofílicos, que podem ser divididos em três domínios de 100 aminoácidos homólogos, formando uma estrutura tripartida (FIGURA 4). As pequenas alças hidrofílicas (a e b) estão localizadas no lado do espaço intermembranar, enquanto os longos giros hidrofílicos estão localizados no lado da matriz (A, B e C) contendo o Sinal Protéico de Transferência de Energia Mitocondrial (SPTE): P-x-(DE)-x(LIVAT)-(RK)-x-(LRH)-(LIVMFY)-(QGAIYM) (BORECKÝ *et al.*, 2001a; LALOI, 1999; PICAUT *et al.*, 2004).

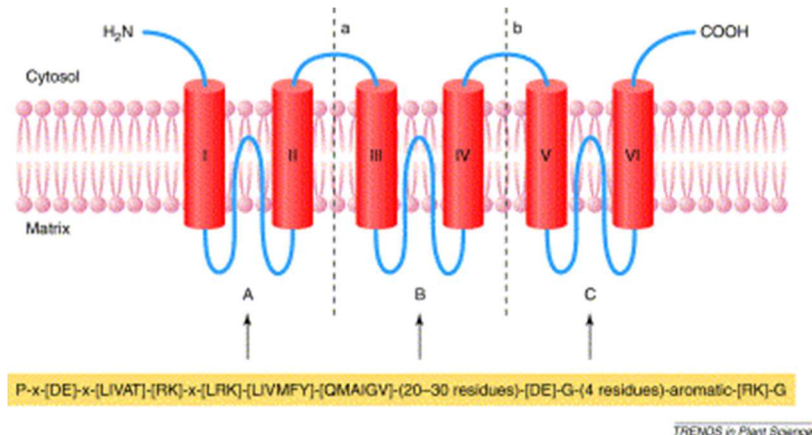
Figura 3 – Relação filogenética da família das UCPs e carreadores mitocondriais com alta homologia



Fonte: Rial *et al.*, 2010

400 sequências protéicas não redundantes de tamanho completo correspondentes aos carreadores de fosfato (PIC), nucleotídeos adenina (ANT), oxaloacetato (OAC), dicarboxilato (DIC), oxoglutarato (OGC), proteínas desacopladoras (UCP) e um conjunto de carreadores não definidos (UnkC) foram obtidos a partir do NCBI e alinhados com banco de dados públicos ENSEMBL. Outras abreviações: BMCP1: proteína carreadora mitocondrial cerebral 1 (também chamada de UCP5); KMCP: proteína carreadora mitocondrial cerebral do rim; pUCP: proteína desacopladora de planta. O ramo que conduz a UCP1 de eutérios e a posição do carreador OAC de *Y. lipolytica* estão indicados na figura.

Figura 4 – Características estruturais da família de carreadores mitocondriais

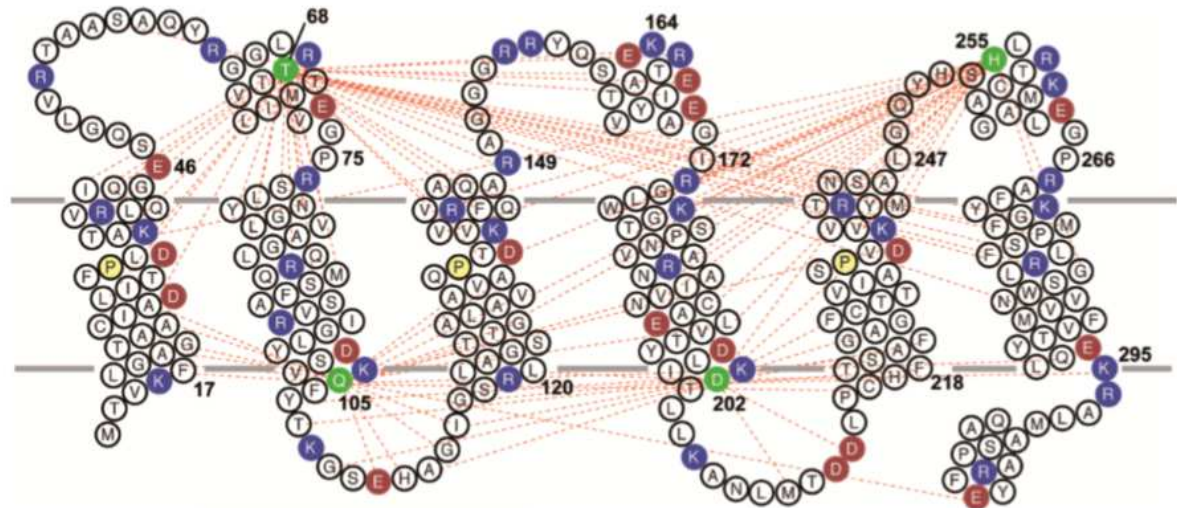


Fonte: Picaut *et al.*, 2004

Cada domínio consiste de duas α -hélices transmembranares separados por um extensivo giro hidrofílico (A, B e C). Os três domínios estão ligados por pequenos segmentos hidrofílicos (a e b). Ambos C e N terminal estão localizados no lado citosólico da membrana mitocondrial interna, dentro do espaço intermembranar. A sequência motivo característica, presente em cada giro da matriz, está mostrada no quadro amarelo; x representa um aminoácido variável.

Berardi *et al.* (2011) através de trabalhos realizados com a UCP2 utilizando a técnica de ressonância magnética nuclear propuseram que a estrutura das UCPs (FIGURA 5) pode ser comparável com a da proteína carreadora de ADP/ATP (ANT) descrita por Pebay-Peyroula *et al.* (2003). Todas as UCP e ANT (FIGURA 6) compartilham uma estrutura tripartida comum que consiste em três domínios repetidos, ligados através de um “loop”, cada qual contendo dois subdomínios hidrofóbicas que formam α -hélices transmembranares abrangendo a membrana interna mitocondrial, com a diferença que nas UCPs as orientações relativas dos segmentos helicoidais são diferentes, resultando em uma maior abertura do lado da matriz da membrana interna (BERARDI *et al.*, 2011; ECHTAY, 2007;). Uma análise do alinhamento das sequências dos domínios transmembranares das UCPs sugerem que as UCP1-3 e UCP4-5 pertencem a subfamílias diferentes (KELLER *et al.* 2005).

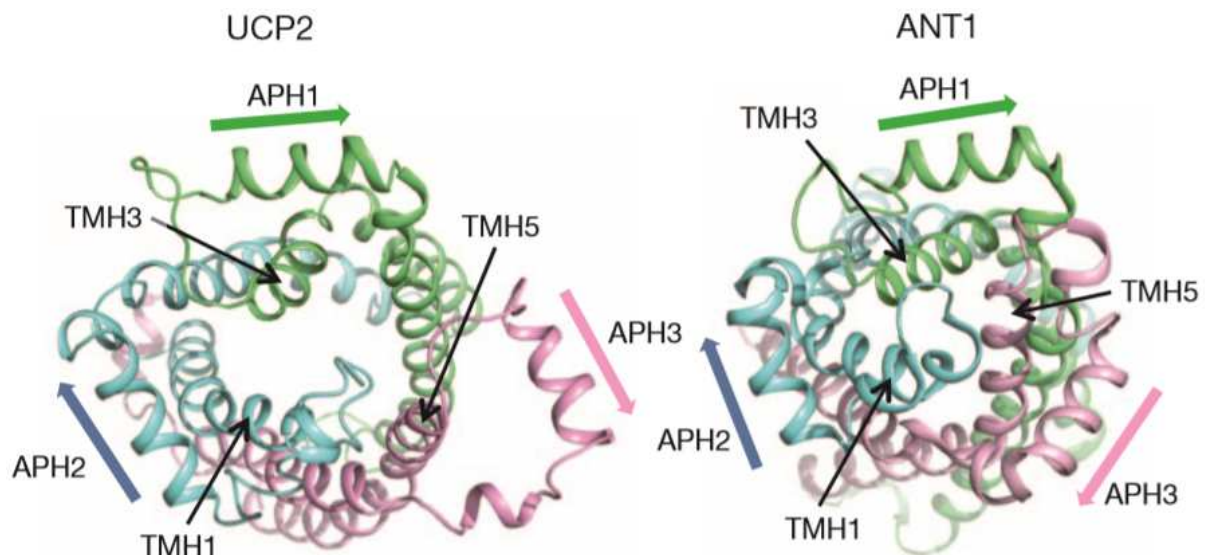
Figura 5 – Estrutura da UCP2



Fonte: BERARDI et al., 2011

Sequência da UCP2 e topologia membranar com resíduos básicos e ácidos mostrados em azul e vermelho, respectivamente. As prolinas conservadas nas torções de prolina do TMHs 1, 3 e 5 são mostradas em amarelo. As posições rotacionais marcadas estão destacadas em verde. As linhas tracejadas em vermelho representam a distância de longo alcance ou distância PRE interhelicoidais (<19 Å) entre as alças e o esqueleto estrutural de protóns de amida.

Figura 6 – Comparação da UCP2 e ANT1



Fonte: BERARDI et al., 2011

Visão da UCP2 e ANT1 do lado da matriz dos transportadores mostrando a perda tripla da pseudo simetria na UCP2 como um resultado de diferentes estruturas na repetição 3. As orientações das hélices anfipáticas estão indicadas pelas setas.

As UCPs catalisam o desacomplamento da cadeia transportadora de elétrons da fosforilação oxidativa (RICQUIER; KADER, 1976). Como consequência, o potencial de membrana é ligeiramente reduzido e a energia derivada da oxidação dos substratos é perdida na forma de calor. De maneira geral, as proteínas desacopladoras dissipam o gradiente eletroquímico de prótons gerados na respiração na forma de calor (NICHOLLS, 2001), sendo que duas características peculiares desta atividade são a dependência de ácidos graxos e a sensibilidade para inibição por nucleotídeos purínicos (GDP, GTP, ADP e ATP) (BRAND *et al.*, 2004; CANNON *et al.*, 2006; JEZEK *et al.*, 1996; SLUSE *et al.*, 2006; VERCESI *et al.*, 1995).

Tais características foram inicialmente identificadas em mitocôndrias de tecido adiposo marrom, associadas aos processos termogênicos (NICHOLLS; LOCKE, 1984), revelando maior ativação pelos ácidos graxos insaturados (BORECKÝ *et al.*, 2001b; BORECKÝ; VERCESI, 2005).

A inibição das UCPs/pUCPs por nucleotídeos de purina pode ser regulada pelo pH devido a ocorrência de grupos ionizados que vão interferir nos respectivos sítios de ligação (BORECKÝ; VERCESI, 2005; NAVET *et al.*, 2005; SAVIANI *et al.*, 1997; VERCESI *et al.*, 2006). No caso da interação com nucleotídeos livres o pH ótimo é 6,7 e existe um sítio de ligação específico denominado Sítio de Ligação a Nucleotídeos Purínicos, do inglês Putative Nucleotide Binding Site - PNBD, localizado no final da terceira alça da matriz.

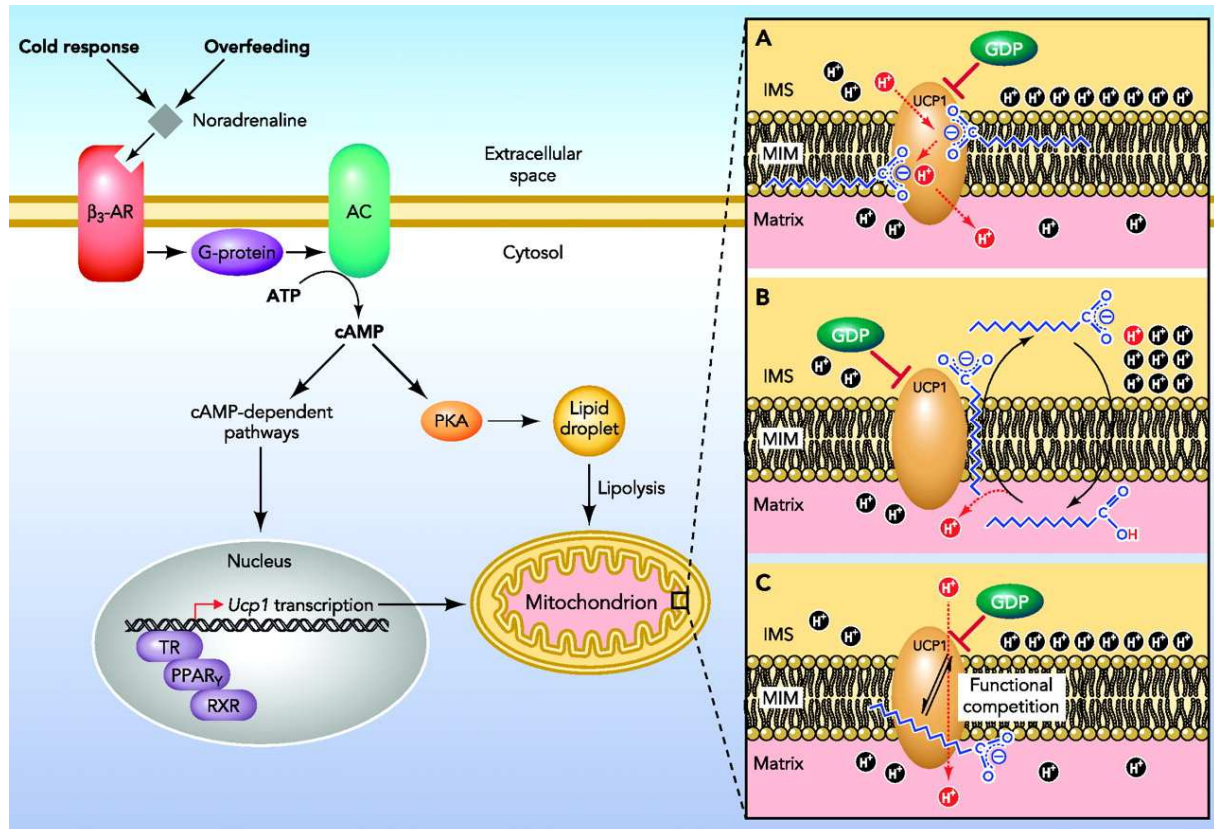
O mecanismo de regulação para o transporte de H⁺ através das UCPs pelos ácidos graxos é um assunto controverso e três mecanismos foram propostos até então (DIVAKARUNI; BRAND, 2011):

a) modelo tamponante (FIGURA 7A), onde os ácidos graxos se ligam a sítios específicos (asparagina e glutamina) que estão junto ao canal de prótons da proteína, criando grupos carboxila aceptores/doadores de elétrons que facilitariam o transporte de H⁺ (KLINGENBERG, 1990; WINKLER; KLINGENBERG, 1994).

b) modelo protonoforético proposto por Garlid *et al.* (1996) (FIGURA 7B), o qual propõe que ácidos graxos protonados penetrem na monocamada interna através de um mecanismo denominado “flip-flop” e liberam um próton H⁺ na matriz mitocondrial, posteriormente o ácido graxo livre desprotonado seria exportado para a monocamada externa através da proteína desacopladora mitocondrial que atuaria como uma carreadora de ânions (SKULACHEV, 1996).

c) modelo de interação alostérica (FIGURA 7C), o terceiro modelo defende que os ácidos graxos não são necessários para o transporte de prótons, mas induzem uma mudança alostérica para superar a inibição persistente dos nucleotídeos de uma UCP inerentemente ativa. Diante da não alteração da cinética de ligação dos nucleotídeos na presença de ácidos graxos, Divakaruni e Brand (2011) sugeriram que esta competição funcional não é alcançada através de uma simples ligação competitiva.

Figura 7 – Mecanismos de regulação para o transporte de protón através das UCPs mediados por ácidos graxos



Fonte: DIVAKARUNI; BRAND, 2011

Três modelos procuram explicar o mecanismo de condução de protóns catalizado pela UCP1. A: Modelo tamponante; B: Modelo protonoforético; C: Modelo de interação alostérica.

β 3-AR, receptor β 3-adrenérgicos; AC, adenilato ciclase; PKA, proteína quinase A cíclica dependente de AMP; PPAR, receptores γ ativados por proliferador de peroxissoma; ; TR, receptor de hormônio da tireóide; RXR, receptor do ácido 9-cis retinóico; IMS, espaço intermembranar; MIM, membrana interna mitocondrial.

Quanto as funções de cada UCP, a UCP1 apresenta-se como uma importante reguladora da termogênese em mamíferos (RICHARD; PICARD, 2011), enquanto que as UCP2 e 3 estão relacionadas com a dissipação do gradiente de prótons, evitando o excesso de força próton-motriz, diminuindo assim as EROs produzidas pela cadeia transportadora de elétrons (GARLID

et al., 2000). Quanto as UCP4 e 5, através da superexpressão destes genes em células neurais, foi possível identificar um importante papel neuroprotetor contra o dano oxidativo, além da identificação de suas expressões em tecidos não neurais, especialmente em células epiteliais mamárias de bovinos (YONEZAWA *et al.*, 2009). Embora ainda sejam pouco exploradas, as UCP4 e 5 se tornam interessantes como potenciais intervenientes no desencadeamento de doenças (RAMSDEN *et al.*, 2012).

Entre 1999 e 2004, vários homólogos da UCP1 foram identificados em mamíferos [UCP2 em vários tecidos (STUART *et al.*, 1999), UCP3 em tecido adiposo marrom e músculos esqueléticos, UCP4 e UCP5 em cérebro], pássaros (RAIMBAULD *et al.*, 2001), vertebrados ectodérmicos, como sapo (KLEIN *et al.*, 2002), no marsupial carnívoro *Sarcophilus harrisii* (KABAT *et al.*, 2004), peixes (STUART *et al.*, 1999), em insetos (FRIDELL *et al.*, 2004), no organismo eucariótico primitivo *Caenorhabditis elegans* (CeUCP, número de acesso AAB54239), ameba (JARMUSZKIEWICZ *et al.*, 1999), *Dictyostelium discoideum* (JARMUSZKIEWICZ *et al.*, 2002), fungos (JARMUSZKIEWICZ *et al.*, 2000), e em trofozoítos do parasita da malária *Plasmodium berghei* (UEMURA *et al.*, 2000). Tais evidências sugerem que as UCPs possam ser encontradas em todos os eucariotos.

2.4 Proteína desacopladora mitocondrial em plantas

Em 1995, Vercesi *et al.* descobriam uma enzima em mitocôndrias de tubérculo de batata com propriedades bioquímicas e fisiológicas semelhantes à *UCP1* encontrada em tecido adiposo marrom de animal e a nomearam PUMP (Plant Uncoupling Mitochondrial Protein). A nomenclatura PUMP para proteína desacopladora de planta vem sendo substituída por pUCP (Proteína desacopladora de planta) (BORECKÝ *et al.*, 2001a). A descoberta dessa enzima no Reino Plantae impulsionou a busca por novas UCPs homólogas em plantas, animais e demais eucariontes (BORECKÝ *et al.*, 2001a; CAVALHEIRO *et al.*, 2004; FLEURY *et al.*, 1997; JARMUSZKIEWICZ *et al.*, 1999, 2002;).

De 1997 até 1999, 4 UCPs adicionais de animais e uma segunda PUMP foram identificadas (*UCP2*, FLEURY *et al.*, 1997; *UCP3*, BOSS *et al.*, 1997; *UCP4*, MAO *et al.*, 1999; BMCP1/*UCP5*, SANCHIS *et al.*, 1998; *AtUCP2* em planta, WATANABE *et al.*, 1999). Além do achado de Hanaček e Jezek, (2001) de uma sequência codificadora encontrada no genoma de *Arabidopsis* para outra possível PUMP (*AtUCP4*). Uma revisão dos membros das UCPs foi realizada por Ledesma *et al.* (2002).

Borecký *et al.*, (2006) fizeram uma provável caracterização de toda a família dos genes codificadores da UCP em uma monocotiledônea (cana de açúcar) e uma dicotiledônea (*Arabidopsis*). Em *Arabidopsis*, além da identificação já descrita da *AtPUMP1* (Maia *et al.*, 1998), *AtPUMP2* (Watanabe *et al.*, 1999), e do possível gene de pUCP (*AtPUMP4*) divulgado por Hanaček e Jezek (2001) e classificado por Borecký como *AtPUMP3*, três novos membros foram descritos, *AtPUMP4*, *AtPUMP5* e *AtPUMP6*. Em cana de açúcar foram identificados 5 genes codificantes da UCP, os quais foram nomeados como *SsPUMP1*, *SsPUMP2*, *SsPUMP3*, *SsPUMP4*, e *SsPUMP5*.

Ainda no mesmo trabalho de Borecký *et al.*, (2006) foi realizada uma análise das sequências de várias UCPs de animais e vegetais, assim como a inclusão de DIC e M2OM a fim de identificar os motivos específicos da UCP através do programa MEME-MAST (BAILEY; ELKAN, 1994; BAILEY; GRIBSKOV, 1998).

De acordo com esse programa, oito motivos preditos foram associados com alguns grupos completos e específicos de UCPs/pUCPs (FIGURA 8). Assim, os motivos 1 e 2 são longos (50 e 30 aminoácidos, respectivamente) e ocorrem em todas as UCPs. Estes motivos formam um conjunto em “*tandem*” dentro de cada domínio do polipeptídeo e os três conjuntos correspondem aproximadamente a 80% da pUCP. Sugere-se que estes motivos em conjunto em “*tandem*” foram conservados ao longo da evolução para manter a conformação das UCPs. Os motivos 5 e 6 são específicos para pUCPs e estão localizados dentro de duas alças externas, isto é, voltadas para o espaço intermembranar. Além disso, uma inserção específica de uma região rica no aminoácido alanina foi encontrada perto do primeiro ETPS em pUCPs de cana-de-açúcar, milho, trigo e arroz, aparentando estar ausente em dicotiledôneas (BORECKY *et al.*, 2001a; VERCESI *et al.*, 2006).

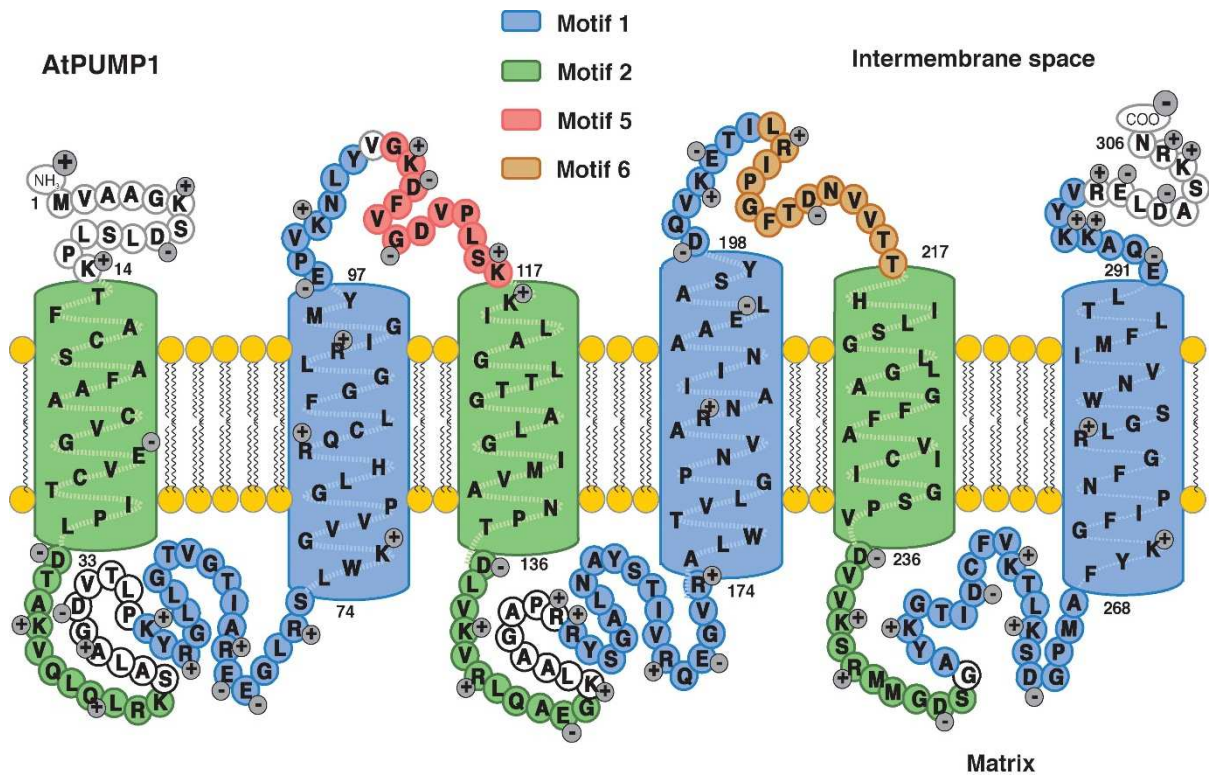
Curiosamente, a proteína desacopladora do repolho do tipo skunk (*SfUCPb*) revela ausência do quinto motivo transmembranar, sugerindo regulação fisiológica diferente de desacoplamento desta isoforma (ITO, 1999; ZHU *et al.*, 2011).

Todas as proteínas desacopladoras analisadas apresentaram três cópias das assinaturas ETPS, enquanto outros membros da família dos carreadores mitocondriais apresentaram apenas uma ou duas cópias desta assinatura (M2OM apresentaram a ausência da segunda assinatura). Estas assinaturas ETPS exibiram variações específicas para todas as pUCPs analisadas (BORECKY *et al.* 2001a; VERCESI *et al.*, 2006).

Todas as pUCPs também foram analisadas quanto a presença das quatro assinaturas específicas para UCP proposta por Jezek e Urbánková (2000). Todas as pUCPs apresentaram

as quatro assinaturas completas localizadas na primeira, segunda, quarta e sexta α -hélice (BORECKY *et al.* 2006). Vale ressaltar, que a sexta α -hélice é parcialmente específica para as UCPs, já que contém resíduos de aminoácidos pertencentes ao domínio de ligação para nucleotídeos purínicos (PNBD), este, presente em outros membros da família de carreadores mitocondriais Bouillaud *et al.* (1994).

Figura 8 – Esquema representativo da proteína AtPUMP1 contendo os motivos conservados



Fonte: Vercesi *et al.*, 2006, pg. 387

Os motivos 1 e 2 são comuns a todos os membros dessa subfamília e envolvem o primeiro domínio transmembranar da proteína (motivo 2) ou o segundo domínio (motivo 1) de cada repetição na proteína. Os motivos 5 e 6 são específicos para pUCPs e ambos estão expostos no espaço intermembranar.

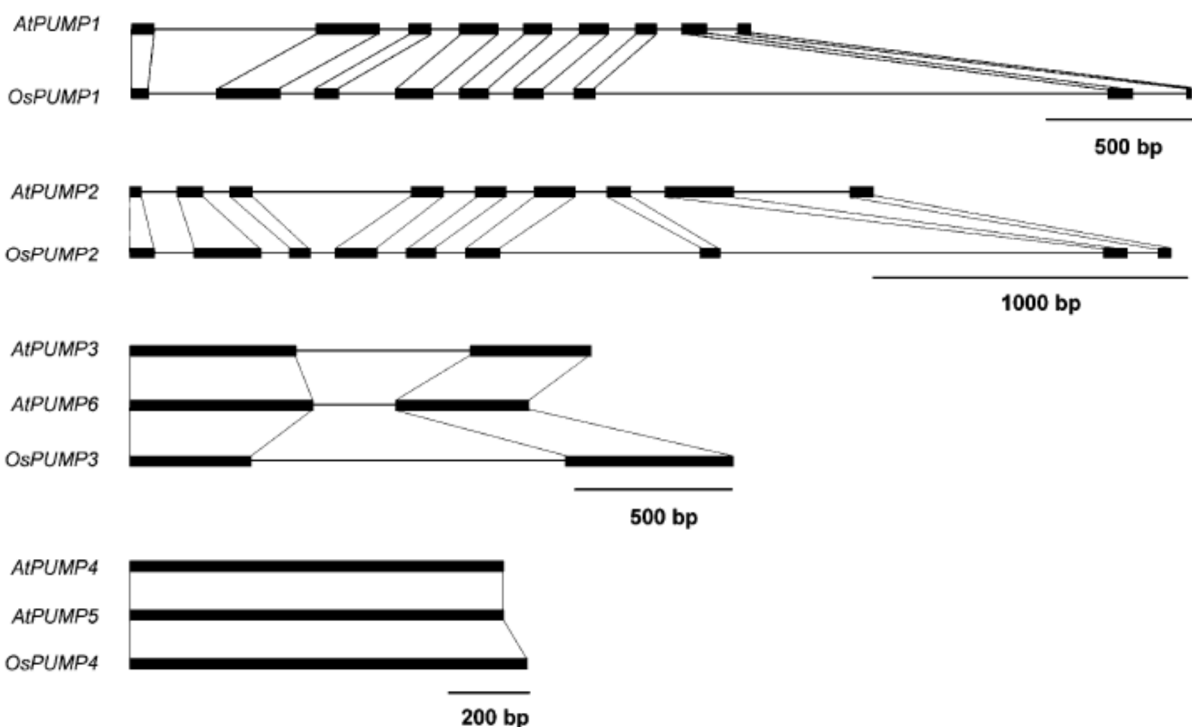
Além disso, a predição de um motivo adicional pelo programa MEME-MAST revelou um motivo específico para os M2OM/DIC localizado na extremidade C-terminal da molécula. Este motivo não foi detectado em nenhuma UCP analisada (BORECKY *et al.* 2006).

A localização dos genes AtUCP1-6 estão distribuídas em diferentes cromossomos (3, 5, 1, 4, 2 e 5, respectivamente) e apresentam diferentes estruturas genômica. *AtUCP1* e 2 apresentam estruturas gênicas quase idênticas, consistindo de 9 exons e 8 intróns, porém os

genes *AtUCP3* e *AtUCP6* possuem somente dois exons, enquanto que *AtUCP4* e *AtUCP5*, não possuem íntrons (NOGUEIRA *et al.*, 2005) (FIGURA 9).

Os ortólogos pUCPs de arroz (*OsUCP1*, *OsUCP2*, *OsUCP3* e *OsUCP4*) localizados também em diferentes cromossomos (1, 11, 4 e 2, respectivamente) mostraram uma estrutura gênica similar para seus correspondentes em *Arabidopsis*, com os genes *OsUCP1* e *OsUCP2* apresentando 9 exons, *OsUCP3* apresentando 2 exons, enquanto o gene *OsUCP4* apresentou um único exon (NOGUEIRA *et al.*, 2005) (FIGURA 9).

Figura 9 – Estrutura gênica das pUCPs de arroz e *Arabidopsis*.



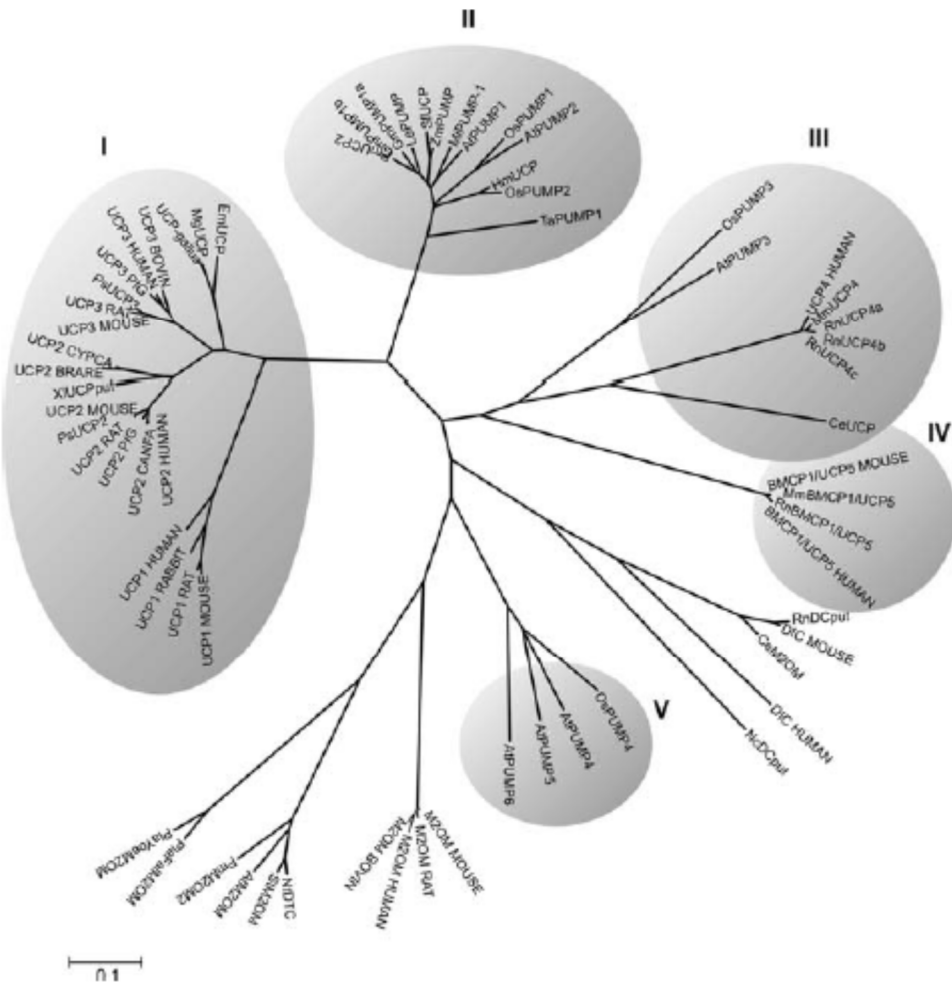
Fonte: NOGUEIRA *et al.*, 2005

Os retângulos preenchidos representam os exons e as linhas entre esses retângulos representam os íntrons. As barras indicam bp (pares de bases) do DNA cromossômico.

As relações filogenéticas de seqüências de aminoácidos de UCPs provenientes de mamíferos, plantas e outros organismos, assim como a inclusão de seqüências dos carreadores mitocondriais malato-/2-oxoglutarato (M2OM) e a do dicarboxilato (DIC) de vários organismos, revelaram a presença de 5 subfamílias bem definidas de UCPs (FIGURA 10). As pUCPs estão distribuídas em três subfamílias: a subfamília II contendo pUCPs dos tipos 1 e 2; a subfamília V agrupando pUCPs dos tipos 4, 5 e 6 e a subfamília III, que inclui pUCPs dos

tipos 3 de mono e dicotiledôneas, a UCP4 de mamíferos e a UCP de um eucarioto primitivo *Caenorhabditis elegans* (*CeUCP*) (NOGUEIRA *et al.*, 2005).

Figura 10 – Árvore filogenética não enraizada para UCPs/PUMPs e outras sequências de proteínas carreadoras mitocondriais

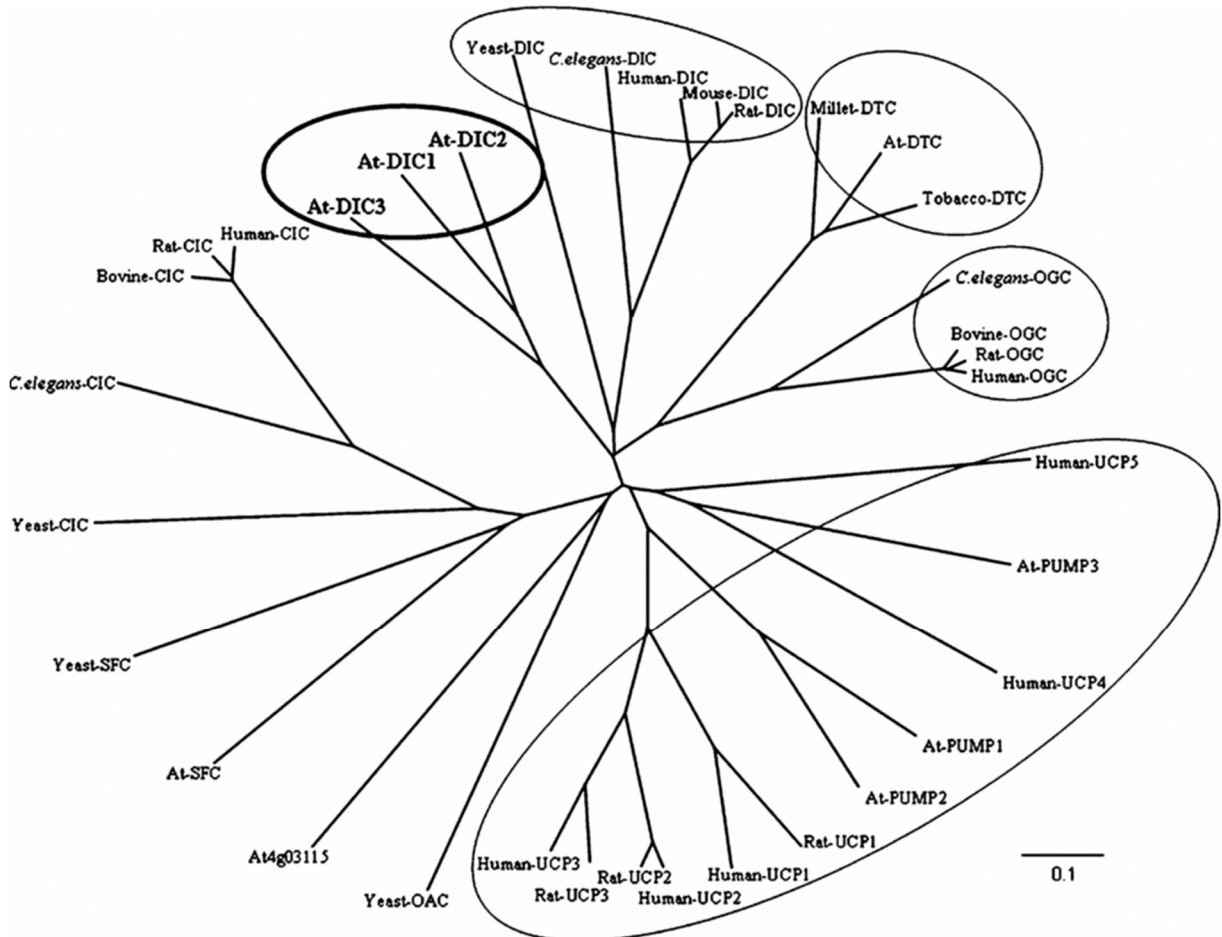


Fonte: NOGUEIRA *et al.*, 2005

Árvore filogenética não enraizada para UCPs/PUMPs e outras sequências de proteínas carreadoras mitocondriais obtida pelo programa MEGA2. As sequências foram alinhadas utilizando o programa CLUSTALX e a topologia da árvore e distância evolucionária foram estimadas usando o método neighbor-joining (1000 bootstraps).

Palmieri *et al.* (2008) identificaram em *Arabidopsis* que as *AtUCP4-6* identificadas por Borecký *et al.* (2006) na verdade sejam isoformas de DICS, nomeadas *DIC1*, *DIC2* e *DIC3*. De acordo com a árvore filogenética de sequências de aminoácidos de transportadores mitocondriais de vários organismos, os referidos autores mostraram que os *DICs* (*DIC1*, *DIC2* e *DIC3*), apresentavam maior similaridade com os transportadores de dicarboxilato encontrados em animais e leveduras do que com as pUCPs (FIGURA 11).

Figura 11 – Árvore filogenética de sequências de aminoácidos de transportadores mitocondriais de vários organismos



Fonte: Palmieri *et al.* (2008)

Dendograma não enraizado proveniente de um alinhamento realizado pelo software ClustalX (1.75) utilizando os parâmetros padrões e visualizado através do programa Phydodendron TreePrint (<http://www.es.embnet.org/Doc/phydodendron/treeprint-form.html>). Os comprimentos dos ramos são desenhados proporcionalmente à quantidade de mudanças na sequência. A barra indica o número de substituições por resíduo, sendo 0.1 correspondente a uma distância de 10 substituições a cada 100 resíduos.

Devido a presença generalizada da UCP em eucariotos, diversas funções foram propostas para a pUCPs (NOGUEIRA; SASSAKI; MAIA, 2011) como a regulação do potencial de membrana da mitocôndria (JEZEK *et al.*, 1996) regulação do metabolismo energético na mitocôndria (RICQUIER; BOUILLAUD, 2000), redução das EROS (CONSIDINE *et al.*, 2003; POPOV *et al.*, 2011) e manutenção da homeostase redox (VERCESI *et al.*, 2006), além de influenciar no fluxo do ciclo do ácido tricarboxílico (SMITH., 2004).

Em plantas, a ativação ou superexpressão da UCP parece aliviar a produção de EROS e aumentar a tolerância ao estresse oxidativo (BRANDALISE *et al.* 2003; KOWALTOWSKI *et al.* 1998). O fato da atividade da UCP na mitocôndria ser estimulada por superóxidos e/ou produtos da peroxidação lipídica (CONSIDINE *et al.*, 2003; SMITH *et al.*, 2004) é consistente com a função de proteção contra o estresse oxidativo e indica que a UCP media o controle da formação de EROS através de um mecanismo de feedback negativo (PASTORE *et al.*, 2007).

De fato, EROS são um dos principais componentes produzidos pelo estresse biótico e abiótico, além da mitocôndria ser a principal fonte intracelular para a produção de EROS (MOLLER, 2001). O que suporta o fato de UCPS e AOXs protegerem a célula contra a alta produção de EROS durante estresses bióticos e abióticos (BRANDALISE *et al.* 2003; MAXWELL; WANG; McINTOSH, 1999; VAN AKEN *et al.* 2009). Por outro lado, a expressão constitutiva de pUCPs podem regular o fluxo energético da mitocondria e alguns estágios de desenvolvimento de tecidos e órgãos da planta (VERCESI *et al.*, 2006).

Contrastando as funções fisiológicas relativamente bem conhecidas das UCPS em resposta aos estresses, pouco se sabe sobre seu possível papel durante o desenvolvimento da planta. Além disso, a modulação da expressão dos genes durante o estresse e/ou em resposta a estresse ambientais ou bióticos é pouco conhecida (NOGUEIRA *et al.*, 2011).

3 OBJETIVOS

3.1 Objetivo geral

Caracterizar, analisar filogeneticamente e avaliar o perfil de expressão da família multigênica da proteína desacopladora mitocondrial (UCP) em diferentes tecidos durante o desenvolvimento da soja (*Glycine max*) e em condições de estresse.

3.2 Objetivos específicos

- Caracterizar a família multigênica da UCP de soja (*Glycine max*), bem como de outras leguminosas (*Cajanus cajan*, *Phaseolus vulgaris*, *Medicago truncatula*, *Cicer arietinum*, *Lupinus angustifolius*, *Vigna angularis*, *Vigna radiata*, *Arachis duranensis* e *Arachis ipaensis*) através de buscas em bancos de dados e anotação gênica;
- Analisar filogeneticamente a família multigênica da UCP de soja (*Glycine max*), bem como de outras leguminosas (*Cajanus cajan*, *Phaseolus vulgaris*, *Medicago truncatula*, *Cicer arietinum*, *Lupinus angustifolius*, *Vigna angularis*, *Vigna radiata*, *Arachis duranensis* e *Arachis ipaensis*) utilizando *Arabidopsis thaliana* como grupo externo;
- Desenhar os iniciadores específicos referentes aos genes da família multigênica da UCP em soja (*Glycine max*).
- Avaliar a expressão gênica da família multigênica da UCP em diferentes tecidos durante o desenvolvimento da soja (*Glycine max*).
- Avaliar a expressão gênica da família multigênica da UCP em diferentes tecidos da soja (*Glycine max*) sob condições de estresse (Polietileno glicol - PEG, Ácido salicílico - AS).

4 MATERIAIS E MÉTODOS

4.1 Material vegetal

As sementes de soja (*Glycine max*) cultivar (BRS Pala – Safra de 2009), utilizadas para obtenção do material vegetal usado nos estudos de expressão gênica, foram doadas pela Empresa Brasileira de Pesquisa Agropecuária (EMBRAPA Trigo, Passo Fundo, Rio Grande do Sul) e encaminhadas ao Laboratório de Bioenergética da Universidade Federal do Ceará (UFC) onde foram transferidas para frascos hermeticamente fechados e armazenadas em geladeira a 10⁰C.

4.2 Condições de crescimento

As sementes de soja (*Glycine max*), livres de danos mecânicos aparentes foram selecionadas e esterilizadas em solução de Hipoclorito de Sódio (NaClO) 1% durante cinco minutos, visando eliminar possíveis patógenos presentes em seu tegumento. Posteriormente as sementes foram deixadas em água destilada durante 2 horas. Transcorrido esse tempo as sementes foram lavadas em água corrente e em água destilada (ddH₂O).

As sementes esterilizadas foram germinadas em papel de filtro embebido com solução nutritiva de Hoagland (KNO₃ 1M, MgSO₄ 1M, Ca (NO₃)₂ 1M, NH₄H₂PO₄ 1M e 0.5 % Fe-EDTA) contendo micronutrientes (H₃BO₃ 2,86 g L⁻¹, MnCl₂ 1,86 g L⁻¹, ZnSO₄ 0,22 g L⁻¹, CuSO₄.5H₂O 0,08 g L⁻¹ e Na₂MoO₄ 0,20 g L⁻¹) e concentrada a 25%. Esse procedimento de germinação em solução de Hoagland foi adotado para evitar sintomas de deficiência nutricional que foram observadas quando as sementes eram germinadas apenas em água destilada. Seis dias após a semeadura, as mudas foram transferidas para hidroponia contendo a solução nutritiva de Hoagland e Arnon (1950) concentrada a 100%.

As coletas dos órgãos/tecidos para extração de RNA total durante os estágios de desenvolvimento da soja foram feitas com 10, 22, 45 dias após a semeadura (DAS) - início da floração, 54 dias (nove dias após a floração - DAF) e 63 dias (dezoito DAF). Foram coletadas raízes, folhas unifolioladas e trifolioladas, cotilédones, hipocótilos, epicótilos, flores e vagens. Também foram coletadas sementes no início da germinação (semente seca e a semente

embebida 24 horas na solução de Hoagland). Em todos os tecidos foram coletadas amostras de três plantas diferentes (Tabela 3).

Tabela 3 - Órgãos coletados e idade das plantas usadas para os ensaios durante o desenvolvimento

Órgão extraído	Idade da planta					
	0 h	24 h	10 DAS	22 DAS	45 DAS	9 e 18 DAF
Sementes secas						
Sementes embebidas						
Folhas unifolioladas						
Cotilédones						
Raízes						
Folhas trifolioladas						
Epicótilos						
Hipocótilos						
Flores						
Vagens						

DAS – dias após semeadura; DAF – dias após a floração

Após as coletas dos órgãos, as amostras foram congeladas imediatamente em nitrogênio líquido e armazenadas em freezer -80 °C até o momento da extração de RNA total.

4.2.1 Condições de crescimento em estresse e desenho experimental

Para os ensaios em condições de estresse, plantas de soja (BRS PALA) com treze dias após a semeadura (DAS) foram submetidas a estresse osmótico, promovido pelo polietileno glicol (PEG - 100 g/L) aplicado diretamente na solução hidropônica, e estresse através da aplicação exógena de ácido salicílico nas folhas (AS - 0,5 mM). Folhas e raízes foram coletadas nos tempos 0, 6, 12 e 24 h de submissão aos estresses, as amostras foram congeladas imediatamente em nitrogênio líquido e armazenadas em freezer -80 °C para posterior extração de RNA total. Cada grupo (controle e estresse) continha três plantas em cada tempo analisado.

4.3 Análises in silico

4.3.1 Identificação in silico dos genes da proteína desacopladora mitocondrial em *Glycine max* e outras leguminosas.

As sequências da família multigênica da UCP em *Cajanus cajan*, *Glycine max*, *Glycine soja*, *Phaseolus vulgaris*, *Vigna angularis*, *Vigna radiata*, *Medicago truncatula*, *Cicer arietinum*, *Lupinus angustifolius*, *Arachis duranensis* e *Arachis ipaensis* foram identificadas pela ferramenta BLAST (Basic Local Alignment Search Tool) (Altschul et al., 1997) utilizando sequências de UCP de *Arabidopsis thaliana* [número de acesso: UCP1(NM_115271), UCP2 (NM_125287), UCP3 (AEE29110), UCP4 (AAK68799), UCP5 (NM_127816) e UCP6 (AED91400)] como referência contra o banco de dados WGS (whole-genome shotgun) do GenBank (NCBI).

As sequências genômicas identificadas foram manualmente anotadas através da comparação destas contra os bancos de dados de sequências expressas REFSEQ_RNA (reference mRNA sequences), EST (expressed sequence tags) e TSA (transcriptome shotgun assembly) para determinar a estrutura dos exons e íntrons de cada gene, bem como a obtenção do cDNA deduzido através da simulação do splicing (retirada dos íntrons e junção dos exons). O cDNA deduzido foi então traduzido para a sequência de aminoácidos através da ferramenta de tradução do servidor da web Expasy (<http://www.expasy.org/>) e as proteínas deduzidas foram então checadas contra as sequências de proteínas de UCPs disponíveis no GenBank (<http://www.ncbi.nlm.nih.gov>) utilizando a ferramenta BLASTp.

4.3.2 Alinhamento das sequências e análise filogenética

Após a anotação dos genes das espécies citadas anteriormente procedeu-se a análise filogenética a partir das sequências de proteínas obtidas. Estas sequências, juntamente com as sequências de proteínas citadas anteriormente de *Arabidopsis thaliana* da ordem Brassicales (usada como grupo externo) foram alinhadas através do programa CLUSTAL W e a relação evolucionária determinada pelo programa MEGA 5.2 empregando o método neighbor-joining (SAITOU e NEI, 1987) com valores de bootstrap (1.000 replicatas) (TAMURA et al., 2011).

4.3.3 Desenho dos oligonucleotídeos iniciadores

As sequências de cDNAs deduzidos obtidas para as UCPs em soja foram alinhadas através da ferramenta de alinhamento múltiplo no programa ClustalW2 (<http://www.ebi.ac.uk/Tools/msa/clustalw2/>) para verificar os nucleotídeos não conservados

entre a família multigênica da UCP a fim de auxiliar na verificação da especificidade durante o processo de confecção dos oligonucleotídeos iniciadores (*primers*).

Os oligonucleotídeos iniciadores específicos usados para as reações de PCR quantitativa foram desenhados com o auxílio do programa Perl primer V1.1.20 (MARSHALL, 2011) levando em consideração os seguintes parâmetros: temperatura de melting (Tm) de 57-65 °C com diferença de 2 °C entre o *primer* senso (*forward*) e o antisenso (*reverse*), comprimento do *primer* de 19-23, tamanho do produto (*amplicon*) de 100-200 pares de base, percentual do conteúdo de GC entre 40-60%, não produção de ligações secundárias heterodímeras 3' extensíveis e produção de ligações secundárias não extensíveis com valores de delta G > -3,0 kcal/mol.

Os *primers* obtidos foram então checados no alinhamento múltiplo entre as UCPs para checar sua especificidade, sendo então realizadas modificações manuais quando necessário. Após a especificação dos primers, estes eram verificados quanto à formação de estruturas secundárias [grampos (*hairpins*), homodímeros (self-dimers) e heterodímeros (hetero-dimers)] na ferramenta IDT OligoAnalyzer (<http://www.idtdna.com/calc/analyzer>). Para serem aprovados os primers deveriam ter valor de Tm menor que 35 °C para a produção de grampos e valores de delta G máximo maior que -5,0 kcal/mol.

Outras características a seguir foram seguidas para o desenho dos primers tais como: nucleotídeo da extremidade 3' do *primer* ser específico para o gene de interesse a fim de se garantir a sua especificidade, duas entre as três últimas bases serem um G ou C para garantir o anelamento da extremidade 3' e posição dos primers *forward* e *reverse* em exons diferentes com no mínimo um íntron entre eles para possível identificação de contaminação com DNA genômico ou posição de um dos primers na junção exon-exon para evitar a ligação dos primers com DNA genômico.

As sequências para os pares de primers dos genes de referência EF1 β , SKIP16, MTP e UKN1 para verificação da expressão relativa foram obtidos de Hu *et al.* (2009), enquanto que para os genes EF1 α foram obtidos de Saraiva *et al.* (2014).

4.4 Análise da expressão gênica pela Reação em Cadeia da DNA Polimerase quantitativa em tempo real (RT- qPCR)

4.4.1 Extração de RNA total

Para a extração de RNA total dos órgãos coletados, 200 mg do material vegetal foi macerado em nitrogênio líquido, utilizando-se almofariz e pistilo. Do produto macerado obtido foi realizada a extração de RNA total através do *RNeasy plant mini Kit* (Qiagen) de acordo com as instruções do fabricante.

As amostras maceradas foram adicionados 700 µL do tampão RLT e 10 µL de β – mercaptoetanol, homogeneizadas usando-se o vórtex, e a solução obtida foi transferida através de pipetagem para uma mini coluna do kit (*QIAshredder spin column* - lilás, acoplada a um tubo coletor de 2 mL) e centrifugada a 25 °C por 2 minutos a 14.000 RPM. O sobrenadante foi recuperado e transferido para um novo tubo *eppendorf*, onde foram adicionadas 0,5 vezes do volume inicial de etanol 95% e a solução obtida foi misturada por inversão.

A solução obtida anteriormente (em torno de 700 µL) foi transferida para uma nova coluna do kit (*RNeasy mini spin column* – rósea, acoplada a um tubo coletor de 2 ml) e centrifugada a temperatura ambiente (25 °C) por 15 segundos a 10.000 RPM. O eluído foi descartado sendo adicionado na coluna rósea 350 µL de tampão RW1, centrifugando-se a temperatura ambiente por 15 segundos a 10.000 RPM. Foram aplicados 80 µL de desoxirribonucleases (DNase) na coluna, sendo esta deixada a temperatura ambiente durante 15 minutos. Transcorrido este tempo, adicionou-se novamente 350 µL de RW1 e foi feita uma nova centrifugação à temperatura ambiente por 15 segundos a 10.000 RPM. Após a última lavagem com RW1 a coluna foi transferida para um novo tubo coletor e adicionados 500 µL de RPE na coluna, sendo esta submetida a uma centrifugação a temperatura ambiente por 15 segundos a 10.000 RPM. O eluído foi descartado e adicionados mais 500 µL de RPE na coluna, submetendo-a a uma nova centrifugação a temperatura ambiente por 2 minutos a 10 mil RPM, a fim de eliminar qualquer resíduo de etanol que possa interferir em reações posteriores.

O eluído e o tubo coletor foram descartados e a coluna foi transferida para um novo tubo coletor de 1,5 mL. Em sequência foram adicionados 40 µL de água livre de RNases diretamente na coluna, submetendo a nova centrifugação por 1 minuto a 10.000 RPM para eluição do RNA. O RNA eluído foi armazenado a -20 °C para posterior quantificação, análises eletroforéticas, reações de transcrição reversa (RT) e ensaios de RT- qPCR.

4.4.2 Quantificação e pureza do RNA total

Após extração do RNA total a concentração e pureza das amostras foram determinadas através do espectrofotômetro Nanodrop 2000 (Thermo Scientific) em comprimentos de onda de 260nm. Para estimar a pureza do RNA extraído a razão de 260/280 nm de absorbância foi utilizada para identificar contaminações por proteínas (razão deve estar entre 1,8 a 2) e a razão de 260/230 nm de absorbância utilizada para contaminações por polissacarídeos (razão deve estar acima de 2).

4.4.3 Integridade do RNA total e eletroforese do gel de RNA

A integridade do RNA total e contaminação com DNA genômico foram verificadas usando-se 0,5 µg de RNA total em uma eletroforese em gel de agarose a 1,5% em um volume total de 30 ml seguindo a proporção de 1g de agarose/100ml.

Para isto, 0,30 g de agarose foram diluídas em 30 ml de MOPs 1x [41,86g de MOPS - (3-(Nmorpholino)-propanesulfonic acid], 50 mM de acetato de sódio, EDTA 0,5M, 1 litro de H₂O mili-q, 1ml de água tratada com DEPC) e aquecidas no microondas a fim de uma total solubilização da agarose. A agarose solubilizada (ainda em estado líquido) foi colocada em uma bandeja apropriada para inserção de pentes, o que possibilitou a formação de canaletas (poços). Após solidificação, o gel de agarose foi colocado em uma cuba eletroforética que foi preenchida com tampão MOPs 1x.

Em cada poço foi aplicado um volume total de 5 µL contendo 1,5 µL do tampão da amostra (Azul de bromofenol) e 3,5 µL referentes a amostra mais água DEPC (água livre de RNases). A cuba de eletroforese foi ligada a uma fonte que polarizou a cuba com amperagem constante de 35 mA e a corrida eletroforética durou aproximadamente 30 minutos à temperatura ambiente (25 °C). Devido ao RNA possuir carga elétrica negativa em pH neutro, esta molécula migra entre os poros do gel em direção ao polo positivo da cuba, o que permite a formação de bandas separadas de acordo com o tamanho molecular do fragmento de RNA.

Após a corrida eletroforética o gel foi corado com brometo de etídeo (0,5 µg/mL) durante 10 minutos, atuando este como um agente intercalante de RNA/DNA que permite a visualização das bandas de DNA/RNA quando exposto à luz ultravioleta.

Para visualização do RNA ribossomal (18S e 28S) no gel de agarose foi utilizado o transiluminador de luz UV, sendo o RNA fotodocumentado por meio do sistema Mini BIS Pro (Bio-Imaging Systems) com auxílio do software GEICapture™.

4.4.4 Tratamento com DNase

A fim de se obter amostras de RNA desprovidas de contaminação genômica, estas foram submetidas a uma digestão por DNase utilizando o kit RQ1 RNase-Free DNase (Promega, Estados Unidos) com algumas modificações nos volumes indicados pelo fabricante.

Para cada amostra foram adicionados 6,5 µL de H₂O livre de RNase + RNA total (1 µg), 1 µL do tampão e 2,5 µL da DNase. Após leve homogeneização, o mix (10 µL) foi incubado à 37 °C por 30 minutos para digestão de possíveis contaminações com DNA genômico. Após a digestão foi adicionado 1 µL da solução de parada e o novo mix (11 µL) foi incubado à 65 °C por 10 minutos para inativar a DNase e terminar a reação. Logo em seguida as amostras foram submetidas a reação de transcrição reversa (RT).

4.4.5 Síntese de DNA complementar (cDNA)

Após as análises de pureza e integridade descritas anteriormente, o RNA total foi utilizado para a síntese do DNA complementar (cDNA), utilizando o Kit da IMPromII™ Transcriptase Reverse (Promega, Estados Unidos) de acordo com as instruções do fabricante. Na reação foram adicionados aproximadamente 0,5 µg de RNA total, oligodT₁₈, MgCl₂ 25 mM, dNTPs 10 mM, tampão de reação 5X e água livre de RNases (Quiagen). A Tabela 4 mostra os reagentes utilizados para esta reação, bem como os seus respectivos volumes.

A solução obtida após a adição dos reagentes supracitados (19 µL) foi submetida a 65 °C por 5 minutos para desnaturação e, posteriormente, transferidos para o gelo. Logo após, 1 µL da enzima transcriptase reversa foi adicionada em cada tubo de reação, completando o volume para 20 µL.

A reação de síntese da fita complementar ocorreu a 42 °C por 1 hora, seguida de 75 °C por 15 minutos. O cDNA obtido foi armazenado a -20 °C para posteriores reações de PCR.

4.4.6 Padronização para as reações de qPCR

Tabela 4 – Componentes e volumes usados nas reações de transcrição reversa

Reagentes	Volumes
RNA total	5,5 µL (0,5 µg de RNA total)
Tampão 5X	4 µL
MgCl ₂ (25 mM)	1,6 µL
dNTPs (10 mM)	1,0 µL
OligodT18 (20 pmols/µL)	1,5 µL
H ₂ O livre de RNases	5,4 µL
Transcriptase reversa (160 µ/µL)	1,0 µL

4.4.6.1 Quantificação dos iniciadores específicos (PRIMERS)

Inicialmente os *primers* foram diluídos para uma concentração de 500 µM, sendo posteriormente, quantificados em triplicata usando-se o espectrofotômetro Nanodrop 2000 (Thermo Scientific). Da média das concentrações obtidas das leituras será calculada a concentração real de cada *primer*, sendo estes, posteriormente diluídos para uma concentração de 6 µM, a fim de se obter uma concentração final de 300 nM/uL, concentração esta que será utilizada nas reações de qPCR.

4.4.6.2 Gradiente de temperatura

A fim de determinar a temperatura ótima para cada par de *primer* foi feito um gradiente de temperatura usando um *pool* das amostras de cDNA. O procedimento foi realizado em termociclador Mastercycler ep realplex 4S (Eppendorf®) a partir da reação de RT-PCR quantitativa descrita posteriormente. As temperaturas usadas foram (52,9; 55,5; 57,3; 59,4; 61,6; 63,6; 65,4 e 68 °C). Foram selecionadas as temperaturas de menor Ct e com as curvas mais típicas (sigmoides).

4.4.6.3 PCR

A reação de PCR foi realizada para testar a qualidade do cDNA, produzido como descrito anteriormente. Utilizou-se para tal procedimento o par de *primers* referente ao gene de interesse a uma concentração de 500 µM. Para cada reação foi utilizado 1 µL de cDNA,

acrescido de 5 µL do tampão de reação 5x, 1 µL de dNTPs (5 mM), 1 µL de cada iniciador específico (500 µM) e 0,1 µL da enzima Go Taq DNA polimerase. O volume total foi completado com água milli-q autoclavada totalizando 25 µL.

4.4.6.4 *Eletroforese do cDNA amplificado*

O resultado da amplificação do cDNA foi visualizado em gel de agarose 2% utilizando-se 8 µL do produto da PCR utilizando os mesmos padrões descritos anteriormente para a eletroforese de RNA diferindo apenas na utilização de tampão TBE 0,5x.

4.4.6.5 *RT – qPCR*

As reações de amplificação por PCR quantitativa foram realizadas a partir do cDNA obtido das reações de transcrição reversa das amostras de RNA e diluídos para uma concentração de 25 ng/µL. A diluição das amostras de cDNA foi feita considerando-se a concentração de 1000 ng/µL. Nas reações de qPCR foram utilizados 4 µL de cDNA para cada reação, totalizando 100 ng/µL por poço. Alíquotas da mesma amostra de cDNA foram utilizadas para todas as reações gene-específicas.

A qPCR foi realizada de acordo com o seguinte protocolo: para cada reação (poço da placa) foram adicionados 10 µL do Power SYBR Green PCR Master Mix 2X (*Applied Biosystems*), 4 µL de cDNA (100 ng), 1 µL de cada oligonucleotídeo iniciador (senso e anti-senso) em uma concentração de 300 ng/µL, e 4 µL de água ultrapura (Milli-Q) autoclavada e livre de nucleases, totalizando 20 µL de reação. O monitoramento em tempo real da PCR foi realizado em um termociclador Mastercycler ep realplex 4S (Eppendorf®) através da detecção dos níveis de fluorescência do SYBR Green. As análises dos dados de fluorescência obtidas foram realizadas pelo *Realplex Software*. As reações ocorreram em placas com 96 poços e foram realizadas em triplicata e conduzidas de acordo com os seguintes parâmetros: 1) 95 °C por 10 minutos; 2) 40 ciclos: 15 segundos de desnaturação a 95 °C, 15 segundos de anelamento, variando a temperatura de acordo com cada par de *primer*, e 20 segundos de extensão a 60 °C. Também foi realizada a curva de dissociação (Melting), que consistiu de 15 segundos de incubação a 95 °C, 15 segundos de incubação a 60 °C e uma subida de 95 °C com duração de 20 minutos.

4.4.7 Análise dos dados de expressão por RT-qPCR

Após a realização das reações de PCR em tempo real, os níveis de expressão gênica foram determinados pelo número de ciclos de amplificação necessários para a fluorescência (emitida pelo SYBR Green) ultrapassar um limiar durante a fase exponencial da reação de PCR, determinado pelo C_t (*Cycle threshold*). Os Cts utilizados para as análises foram obtidos através da média aritmética entre as triplicatas de reações para cada condição e gene. Para normalização dos resultados, foi utilizada a equação $\Delta Ct = Ct$ (gene alvo) – Ct (controle endógeno). Os valores brutos de C_t foram convertidos em dados de expressão relativa utilizando-se o método delta C_t e delta-delta C_t (LIVAK; SCHMITTGEN, 2001) com o auxílio do programa GeNorm (VANDESOMPELE *et al.*, 2002).

5 RESULTADOS E DISCUSSÃO

5.1 Caracterização da família multigênica da UCP em soja e outras leguminosas

A análise in silico dos genomas das espécies leguminosas *Cajanus cajan*, *Glycine max*, *Glycine soja*, *Phaseolus vulgaris*, *Vigna angularis*, *Vigna radiata*, *Medicago truncatula*, *Cicer arietinum*, *Lupinus angustifolius*, *Arachis duranensis* e *Arachis ipaensis* mostram que a UCP é codificada por uma família multigênica em todas as espécies analisadas (APÊNDICE 1).

Vários genes da UCP foram identificados nas leguminosas revelando 10 genes para *Glycine max*, 7 genes para *Vigna radiata*, *Medicago truncatula*, *Cicer arietinum*, *Lupinus angustifolius*, *Arachis duranensis* e *Arachis ipaensis*, e 6 genes para *Cajanus cajan*, *Glycine soja*, *Phaseolus vulgaris* e *Vigna angularis* (TABELA 5).

Todas as pUCPs das 10 leguminosas analisadas revelaram que assim como em cana de açúcar, arroz e arabidopsis (BORECKÝ *et al.* 2001a; NOGUEIRA *et al.*, 2005), esta proteína é codificada por uma família multigênica.

Quanto a ausência da UCP4 e 5 em *Glycine soja*, tais genes não puderam ser anotados diante da fragmentação do genoma nas posições onde estes genes se encontravam. Já para *Vigna angularis* nenhuma região foi identificada para a codificação da UCP4.

Constrastando com os achados de Borecký *et al.* (2001a) em arabidopsis, modelo de dicotiledônea utilizado, nenhuma das espécies leguminosas analisadas apresentaram o gene UCP6 (TABELA 5), o que nos dá evidência que talvez esse gene tenha sido perdido durante os eventos de especiação da ordem fabales, apresentando então apenas as cinco isoformas de SsUCPs presentes na monocotiledônea (Cana de açúcar) analisada pelo mesmo autor e semelhante as UCPs encontradas em animais (DONADELLI *et al.*, 2014).

Outra característica distinta quando comparamos as pUCPs de leguminosas com arabidopsis, arroz e cana de açúcar, se refere à duplicação ocorrida na UCP1 de todas as leguminosas, da UCP4 em *Glycine max* e *Lupinus angustifolius* e da UCP5 em *Glycine max*, *Vigna angularis*, *Vigna radiata*, *Medicago truncatula*, *Cicer arietinum* e *Arachis ipaensis* (TABELA 5).

Tabela 5 – Caracterização dos genes da UCPS em leguminosas e arabadopsis

Família	Tribo	Espécie (Nome comum)	Cobertura do genoma e cultivar	Nº de genes	UCP1	UCP2	UCP3	UCP4	UCP5	UCP6
Brassicaceae	Camelineae	<i>Arabidopsis thaliana</i> (Arabeta)	-----	6	UCP1	UCP2	UCP3	UCP4	UCP5	UCP6
		<i>Cajanus cajan</i> (Feijão guandu)	160,00x AFSP	6	UCP1a UCP1b	UCP2	UCP3	UCP4	UCP5	-----
	Phaseoleae	<i>Glycine max</i> (Soja)	8,02x Williams 82	10	UCP1aI UCP1a2 UCP1b1 UCP1b2 UCP1aI	UCP2	UCP3	UCP4a UCP4b	UCP5a UCP5b	-----
		<i>Glycine soja</i> (Soja Silvestre)	63,10x W05	6	UCP1a2 UCP1b1 UCP1b2	UCP2	UCP3	-----	-----	-----
		<i>Phaseolus vulgaris</i> (Feijão comum)	21,02X G19833	6	UCP1a UCP1b	UCP2	UCP3	UCP4	UCP5	-----
		<i>Vigna angularis</i> (Feijão azuqui)	65,00x IT213134	6	UCP1a UCP1b	UCP2	UCP3	-----	UCP5a UCP5b	-----
		<i>Vigna radiata</i> (Feijão da china)	300,00x VC1973A	7	UCP1a UCP1b	UCP2	UCP3	UCP4	UCP5a UCP5b	-----
	Trifolieae	<i>Medicago truncatula</i> (Luzerna cortada)	90,00x A17	7	UCP1a UCP1b	UCP2	UCP3	UCP4	UCP5a UCP5b	-----
		<i>Cicer arietinum</i> (Grão de bico)	13,00X ICC4958	7	UCP1a UCP1b	UCP2	UCP3	UCP4	UCP5a UCP5b	-----
	Genisteae	<i>Lupinus angustifolius</i> (Tremoceiro azul)	26,90x Tanjil	7	UCP1a UCP1b	UCP2	UCP3	UCP4a UCP4b	UCP5	-----
	Dalbergieae	<i>Arachis duranensis</i> (Amendoim silvestre)	100,00x V14167	7	UCP1aI UCP1aII UCP1b	UCP2	UCP3	UCP4	UCP5	-----
		<i>Arachis ipaensis</i> (Arachis)	100,00x K30076	7	UCP1a UCP1b	UCP2	UCP3	UCP4	UCP5a UCP5b	-----

Fonte: Produção do próprio autor

Em amarelo os genes duplicados.

--- = sequência não identificada

Tal duplicação também já foi encontrada nas monocotiledôneas *Symplocarpus foetidus* (*SfUCPa* e *SfUCPb*) e *Triticum aestivum*, esta última pertencente a mesma ordem de cana de açúcar (*WhUCP1a* e *WhUCP1b*) (ITO, 1999; MURAYAMA; HANNA, 2000). É interessante

o fato da cana de açúcar e do trigo pertencerem a ordem poales, porém apenas o trigo apresentar duplicação do gene UCP1.

Nas dicotiledôneas a duplicação da UCP1 já foi evidenciada em *Vigna unguiculata* (*VuUCP1a* e *VuUCP1b*) e *Glycine max* (*GmUCP1a* e *GmUCP1b*, aqui classificadas como *GmUCP1a1* e *GmUCP1b1*), ambas exemplares de leguminosas (GARANTIZADO *et al.*, 2011; NOGUEIRA *et al.*, 2005).

A presença de 4 UCPs do tipo 1 e de todas as outras GmUCPs do tipo 2 ao 5, encontradas neste trabalho em *Glycine max*, é um achado inédito para a literatura científica, além de ser a espécie com mais genes codificantes da UCP encontrada até o presente momento (10 genes).

Em plantas, ainda não foi encontrado nenhum indício de duplicação em UCPs do tipo 4 e 5, porém Nogueira *et al.* (2005) já tinha evidenciado a presença de três membros do tipo 4 em *Rattus norvegicus* (*RnUCP4a*, *RnUCP4b* e *RnUCP4c*).

Os eventos de duplicação do genoma da soja e a presença de vários genes parálogos em soja, codificadores da pUCP, indicam que estes genes podem ter surgido tanto por eventos de duplicação gênica chamados neofuncionalização (uma cópia pode adquirir uma nova função que beneficia o organismo e persiste pela ação da seleção natural, mantendo na outra cópia a função original), geralmente envolvido no processo de poliploidia (NI *et al.*, 2009), quanto por subfuncionalização (ambas as cópias podem dividir as funções entre si de modo que a sua função conjunta é a mesma que a do gene ancestral) (SANTOS, 2007).

Genes duplicados pertencentes a mesma espécie são considerados genes parálogos, enquanto genes encontrados em espécies diferentes são considerados genes ortólogos (MAGADUM *et al.*, 2013). Como exemplos de genes parálogos temos os genes *GmUCPs* de *Glycine max*, enquanto para gene ortólogo podemos citar o gene *UCP2* de *Glycine max* e *Glycine soja*.

Há uma forte evidência para um evento de duplicação do genoma após a divergência das eudicotiledôneas e um segundo evento de poliploidização algum tempo depois da divergência de *Arabidopsis* e *Brassica* do seu ancestral comum com as Malvaceae, representado pela planta de algodão (ADAMS; WENDEL, 2005).

A soja tem sido considerada um tetraplóide estável com genomas diploidizados (GURLEY *et al.*, 1979). Em plantas, o processo de poliploidia pode ter ocorrido na linhagem de pelo menos 70% das angiospermas (MASTERSON, 1994). Poliploidia é um processo evolucionário onde dois ou mais genomas são trazido para o mesmo núcleo por hibridização seguida pela duplicação do cromossomo (MAGADUM *et al.*, 2013).

A presença de dois genes com função idêntica no genoma é improvável de ser mantida no cromossomo a não ser que a presença de uma quantidade extra do produto deste gene seja vantajosa para a espécie (NOWAK *et al.*, 1997). Após a duplicação, ambos genes filhos são mantidos no genoma por um período de tempo até eles se diferenciarem em alguns aspectos de suas funções, este processo intitulado subfuncionalização, é caracterizado por ambos genes filhos adotarem parte das funções do seu gene parental (MAGADUM *et al.*, 2013). Como exemplo temos o gene *engrailed-1* e *engrailed-1b*, pares de genes do fator de transcrição em peixe zebra gerados por uma duplicação de um segmento cromossomal (FORCE *et al.*, 1999).

Também foi possível estabelecer as localizações dos genes nos cromossomos para as espécies leguminosas *Glycine max*, *Phaseolus vulgaris* e *Vigna radiata* pelo banco de dados WGS no NCBI e para *Medicago truncatula* a partir do Phytozome (<http://www.phytozome.net/>). Os genes das pUCPs estão distribuídos entre 8 cromossomos em *Glycine max*, 6 cromossomos em *Phaseolus vulgaris*, 5 cromossomos e 1 scaffold em *Vigna radiata* e entre 5 cromossomos e 2 contigs em *Medicago truncatula* (TABELA 6). A não identificação dos cromossomos para *UCP1a* de *Vigna radiata* e *UCP1b* e 2 de *Medicago truncatula* foi devido a montagem final dos genomas dessas espécies ainda não ter sido concluída.

Um mapeamento das pUCPs em arábido revelou que cada gene está localizado em diferentes cromossomos, exceto pelo gene *AtUCP2* (9 éxons) e *AtUCP6* (1 éxon), encontrados em extremidades opostas do cromossomo 5 (BORECKÝ *et al.*, 2006).

De maneira similar todas as pUCPs analisadas nas leguminosas mostraram estar localizadas em cromossomos diferentes, exceto pelos genes *GmUCP2* (9 éxons) e *GmUCP5b* (1 éxon) de *Glycine max* e os genes *VrUCP1b* (9 éxons) e *VrUCP5b* (1 éxon), ambos da tribo Phaseoleae.

A localização dos genes *AtUCP1*, *AtUCP2*, *AtUCP4* e *AtUCP5* dentro ou perto de regiões duplicadas no genoma de Arabidopsis (BLANC *et al.*, 2000) e as similaridades estruturais entre seus membros da família multigênica de *AtUCP* sugerem que estes genes foram originados através de eventos de duplicação. Estas observações dão suporte as subfamílias definidas na árvore filogenética na figura 10, corroborando com a existência de três grupos distintos de pUCPs (BORECKÝ *et al.*, 2006).

Análises das regiões no genoma da soja devem ser realizadas para saber se as *GmUCPs* também podem ter se duplicado por se localizarem em regiões duplicadas ou foi em decorrência de outro evento.

Tabela 6 – Localização das UCPs nos cromossomos de leguminosas

Espécie	2n	Banco de dados	Gene	Cromossomo
<i>Glycine max</i>	40	WGS-NCBI	UCP1a1	3
			UCP1a2	1
			UCP1b1	18
			UCP1b2	7
			UCP2	8
			UCP3	10
			UCP4a	2
			UCP4b	1
			UCP5a	4
			UCP5b	8
<i>Phaseolus vulgaris</i>	20	WGS-NCBI	UCP1a	10
			UCP1b	8
			UCP2	6
			UCP3	7
			UCP4	2
<i>Vigna radiata</i>	22	WGS-NCBI	UCP5	9
			UCP1a	scaffold_133
			UCP1b	6
			UCP2	10
			UCP3	8
			UCP4	11
			UCP5a	5
			UCP5b	6
			UCP1a	4
			UCP1b	contig_53621
<i>Medicago truncatula</i>	16	Phytozome	UCP2	contig_52859
			UCP3	1
			UCP4	5
			UCP5a	3
			UCP5b	8

Fonte: Produção do próprio autor

Em amarelo os genes encontrados no mesmo cromossomo.

A análise das estruturas dos éxons entre todas as sequências de cDNA obtidas neste trabalho nos mostra estruturas semelhantes entre as espécies quando comparadas com *arabidopsis*. Para a *UCP1*, com exceção da *UCP1b* de *Cicer arietinum*, que teve 10 éxons e 9 íntrons, todas as outras *UCPs1* de leguminosas apresentaram 9 éxons e 8 íntrons em sua estrutura, assim como para todas as *UCPs2* (TABELAS 7 e 8).

Para a *pUCP3*, com exceção de *Medicago truncatula*, que apresentou apenas 2 éxons e 1 íntron, todas as outras *UCPs3* de leguminosas apresentaram 3 éxons e 2 íntrons (TABELA

9). As estruturas das *UCPs4* e *5* foram similares em todas as espécies de leguminosas estudadas neste trabalho apresentando apenas 1 éxon (TABELAS 10 e 11).

5.2 Análises do tamanho dos transcritos, cDNAs e proteínas

A análise do número de aminoácidos das UCPs do tipo 1, 2 e 3 revelam semelhança entre as espécies leguminosas da tribo phaseoleae (marcadas em amarelo), (305, 297 e 305, respectivamente), excetuando *CcUCP3* com 303 aa e apresentando pequenas variações entre os tamanhos das demais espécies, 303 a 306 para UCP1, 300 a 307 para UCP2 e 302 a 305 para UCP3. Para as UCPs dos tipos 4 e 5 os tamanhos variaram entre 313 a 325 e 300 a 315, respectivamente (TABELAS 12, 13, 14, 15 e 16).

Quanto a análise do cDNA, transrito primário e íntrons, as UCPs de todos os tipos mostraram possuir tamanhos variados, porém é importante tentar relacionar tais dados com a expressão do seu gene já que quanto maior for o transrito primário maior será o gasto energético no processo de transcrição (CASTILLO-DAVIS et al., 2002) (TABELAS 12, 13, 14, 15 e 16).

Tabela 7 – Tamanho dos éxons das UCPs1 em leguminosas e arabidopsis

Espécie	Gene	5'UTR/Éxon 1	Éxon 1	Éxon 2	Éxon 3	Éxon 4	Éxon 5	Éxon 6	Éxon 7	Éxon 8	Éxon 9	3'UTR/Éxon 9
<i>Arabidopsis thaliana</i>	UCP-1	210	78	216	79	134	99	105	78	87	42	217
<i>Cajanus cajan</i>	UCP-1a	146	84	219	79	134	99	105	75	87	33	269
	UCP-1b	138	84	219	79	134	99	105	75	87	33	377
<i>Glycine max</i>	UCP-1a1	314	84	219	79	134	99	105	75	87	33	282
	UCP-1a2	180	84	219	79	134	99	105	75	87	33	278
	UCP-1b1	216	84	219	79	134	99	105	75	87	33	307
	UCP-1b2	96	84	219	79	134	99	105	75	87	33	306
<i>Glycine soja</i>	UCP-1a1	314	84	219	79	134	99	105	75	87	33	325
	UCP-1a2	240	84	219	79	134	99	105	75	87	33	324
	UCP-1b1	154	84	219	79	134	99	105	75	87	33	325
	UCP-1b2	200	84	219	79	134	99	105	75	87	33	306
<i>Phaseolus vulgaris</i>	UCP-1a	217	84	219	79	134	99	105	75	87	33	369
	UCP-1b	12	84	219	79	134	99	105	75	87	33	178
<i>Vigna angularis</i>	UCP-1a	120	84	216	79	134	99	105	75	87	33	136
	UCP-1b	136	84	216	79	134	99	105	75	87	33	258
<i>Vigna radiata</i>	UCP-1a	114	84	216	79	134	99	105	75	87	33	203
	UCP-1b	399	84	216	79	134	99	105	75	87	33	242
<i>Medicago truncatula</i>	UCP-1a	106	78	219	79	134	99	105	75	87	33	290
	UCP-1b	32	84	219	79	134	99	105	75	87	33	101
<i>Cicer arietinum</i>	UCP-1a	177	87	219	79	134	99	105	75	87	33	317
	UCP-1b	123-2 *	84	216	79	134	99	105	75	87	33	316
<i>Lupinus angustifolius</i>	UCP-1a	3	84	216	79	134	99	105	75	87	33	154
	UCP-1b	42	84	213	79	134	99	105	75	87	33	181
<i>Arachis duranensis</i>	UCP-1aI	204	84	219	79	134	99	105	75	87	33	161
	UCP-1aII	122	84	219	79	134	99	105	75	87	33	172
	UCP-1b	309	84	219	79	134	99	105	75	87	33	247
<i>Arachis ipaensis</i>	UCP-1a	6	84	216	79	134	99	105	75	87	33	174

UCP-1b	314	84	216	79	134	99	105	75	87	33	360
--------	-----	----	-----	----	-----	----	-----	----	----	----	-----

Fonte: Produção do próprio autor

Em azul os valores mais diferenciados

* = possui um ítron no final do éxon subdividindo-o em 123 e 2 pb antes do códon de iniciação

Tabela 8 – Tamanho dos éxons das UCPs2 em leguminosas e arabidopsis

Espécie	Gene	5'UTR/Éxon 1	Éxon 1	Éxon 2	Éxon 3	Éxon 4	Éxon 5	Éxon 6	Éxon 7	Éxon 8	Éxon 9	3'UTR/Éxon 9
<i>Arabidopsis thaliana</i>	UCP-2	240	81	219	79	134	99	105	75	87	36	184
<i>Cajanus cajan</i>	UCP-2	128	72	219	79	134	99	105	75	87	21	485
<i>Glycine Max</i>	UCP-2	180	72	219	79	134	99	105	75	87	21	418
<i>Glycine soja</i>	UCP-2	193	72	219	79	134	99	105	75	87	21	446
<i>Phaseolus vulgaris</i>	UCP-2	---	72	219	79	134	99	105	75	87	21	---
<i>Vigna angularis</i>	UCP-2	123	72	219	79	134	99	105	75	87	21	440
<i>Vigna radiata</i>	UCP-2	165	72	219	79	134	99	105	75	87	21	434
<i>Medicago truncatula</i>	UCP-2	106	78	222	79	134	99	105	75	87	21	432
<i>Cicer arietinum</i>	UCP-2	68	78	243	79	134	99	105	75	87	21	442
<i>Lupinus angustifolius</i>	UCP-2	5	81	219	79	134	99	105	75	87	21	222
<i>Arachis duranensis</i>	UCP-2	137	81	219	79	134	99	105	75	87	21	407
<i>Arachis ipaensis</i>	UCP-2	195	81	219	79	134	99	105	75	87	21	346

Fonte: Produção do próprio autor

Em azul os valores mais diferenciados

--- = região não encontrada

Tabela 9 – Tamanho dos éxons das UCPs3 em leguminosas e arabidopsis

Espécie	Gene	5'UTR/Éxon 1	5'UTR/Éxon 2	Éxon 2	Éxon 3	3'UTR/Éxon 3
Arabidopsis thaliana	UCP-3	---	71	387	528	249
Cajanus cajan	UCP-3	123	58	369	540	178
Glycine Max	UCP-3	118	115	375	540	176
Glycine soja	UCP-3	116	115	375	540	207
Phaseolus vulgaris	UCP-3	147	104	375	540	167
Vigna angularis	UCP-3	491	121	375	540	204
Vigna radiata	UCP-3	229	94	375	540	198
Medicago truncatula	UCP-3	-----	78	366	540	65
Cicer arietinum	UCP-3	76	147	375	540	140
Lupinus angustifolius	UCP-3	148	9	375	540	98
Arachis duranensis	UCP-3	297	110	375	537	12
Arachis ipaensis	UCP-3	297	110	375	537	183

Fonte: Produção do próprio autor

Em azul os valores mais diferenciados

--- = região não encontrada

Tabela 10 – Tamanho dos éxons das UCPs4 em leguminosas e arabidopsis

Espécie	Gene	5'UTR/Éxon 1	Éxon 1	3'UTR/Éxon 1
Arabidopsis thaliana	UCP-4	131	939	154
Cajanus cajan	UCP-4	230	948	125
Glycine Max	UCP-4a	183	954	157
	UCP-4b	177	954	146
Phaseolus vulgaris	UCP-4	232	948	382
Vigna angularis	UCP-4	---	---	---
Vigna radiata	UCP-4	257	948	375
Medicago truncatula	UCP-4	269	966	223
Cicer arietinum	UCP-4	301	960	182
Lupinus angustifolius	UCP-4a	229	948	73
	UCP-4b	282	954	150
Arachis duranensis	UCP-4	191	927	210
Arachis ipaensis	UCP-4	335	927	125

Fonte: Produção do próprio autor

--- = região não encontrada

Tabela 11 – Tamanho dos éxons das UCPs5 em leguminosas e arabidopsis

Espécie	Gene	Éxon-1/5'UTR	Éxon-1	Éxon-1/3'UTR
Arabidopsis thaliana	UCP-5	279	939	290
Cajanus cajan	UCP-5	257	942	25
Glycine Max	UCP-5a	22	900	221
	UCP-5b	266	942	38
Phaseolus vulgaris	UCP-5	186	906	256
Vigna angularis	UCP-5a	185	900	111
	UCP-5b	108	903	198
Vigna radiata	UCP-5a	185	900	111
	UCP-5b	126	903	204
Medicago truncatula	UCP-5a	141	939	118
	UCP-5b	354	945	239
Cicer arietinum	UCP-5a	148	945	202
	UCP-5b	432	933	280
Lupinus angustifolius	UCP-5	59	918	86
Arachis duranensis	UCP-5	228	975	589
Arachis ipaensis	UCP-5	225	975	605

Fonte: Produção do próprio autor

Tabela 12 – Tamanho dos transcritos, cDNAs, íntrons e número de aminoácidos das proteínas das UCPs do tipo 1 em leguminosas e arabadopsis

Espécie	Gene	Nº aa	cDNA (pb)	Transcrito primário (pb)	Íntrons (pb)
<i>Arabidopsis thaliana</i>	UCP1	306	1345	2531	1186
<i>Cajanus cajan</i>	UCP1a	305	1330	3718	2388
	UCP1b	305	1430	4995	3565
<i>Glycine max</i>	UCP1a1	305	1511	4642	3131
	UCP1a2	305	1373	4344	2971
	UCP1b1	305	1438	4538	3100
	UCP1b2	305	1317	4592	3275
<i>Glycine soja</i>	UCP1a1	305	1554	4682	3128
	UCP1a2	305	1479	4413	2934
	UCP1b1	305	1394	4558	3164
	UCP1b2	305	1421	4648	3227
<i>Phaseolus vulgaris</i>	UCP1a	305	1501	3920	2419
	UCP1b	305	1105	3454	2349
<i>Vigna angularis</i>	UCP1a	305	1168	3957	2789
	UCP1b	305	1306	3496	2190
<i>Vigna radiata</i>	UCP1a	305	1229	3916	2687
	UCP1b	305	1553	3739	2186
<i>Medicago truncatula</i>	UCP1a	303	1305	4381	3076
	UCP1b	305	1048	3992	2944
<i>Cicer arietinum</i>	UCP1a	306	1412	5062	3650
	UCP1b	304	1228	4582	3354
<i>Lupinus angustifolius</i>	UCP1a	304	1069	4210	3141
	UCP1b	303	1132	4078	2946
<i>Arachis duranensis</i>	UCP1aI	305	1280	4008	2728
	UCP1aII	305	1209	3727	2518
	UCP1b	305	1471	3808	2337
<i>Arachis ipaensis</i>	UCP1a	305	1092	13599	12507
	UCP1b	305	1586	3972	2386

Fonte: Produção do próprio autor

Tabela 13 – Tamanho dos transcritos, cDNAs, íntrons e número de aminoácidos das proteínas das UCPs do tipo 2 em leguminosas e arabadopsis

Espécie	Gene	Nº aa	cDNA (pb)	Transcrito primário (pb)	Íntron (pb)
<i>Arabidopsis thaliana</i>	UCP2	305	1339	2798	1459
<i>Cajanus cajan</i>	UCP2	297	1504	4423	2919
<i>Glycine max</i>	UCP2	297	1489	4498	3009
<i>Glycine soja</i>	UCP2	297	1530	4472	2942
<i>Phaseolus vulgaris</i>	UCP2	297	891	5392	4501
<i>Vigna angularis</i>	UCP2	297	1454	5022	3568
<i>Vigna radiata</i>	UCP2	297	1490	5115	3625
<i>Medicago truncatula</i>	UCP2	300	1438	4282	2844
<i>Cicer arietinum</i>	UCP2	307	1431	3816	2385
<i>Lupinus angustifolius</i>	UCP2	300	1127	4704	3577
<i>Arachis duranensis</i>	UCP2	300	1444	4590	3146
<i>Arachis ipaensis</i>	UCP2	300	1441	4587	3146

Fonte: Produção do próprio autor

Tabela 14 – Tamanho dos transcritos, cDNAs, íntrons e número de aminoácidos das proteínas das UCPs do tipo 3 em leguminosas e arabadopsis

Espécie	Gene	Nº aa	cDNA (pb)	Transcrito primário (pb)	Íntron (pb)
<i>Arabidopsis thaliana</i>	UCP3	305	1235	1789	554
<i>Cajanus cajan</i>	UCP3	303	1268	2187	919
<i>Glycine max</i>	UCP3	305	1324	2801	1477
<i>Glycine soja</i>	UCP3	305	1353	2834	1481
<i>Phaseolus vulgaris</i>	UCP3	305	1333	2688	1355
<i>Vigna angularis</i>	UCP3	305	1731	2620	889
<i>Vigna radiata</i>	UCP3	305	1436	2624	1188
<i>Medicago truncatula</i>	UCP3	302	1049	1959	910
<i>Cicer arietinum</i>	UCP3	305	1278	2446	1168
<i>Lupinus angustifolius</i>	UCP3	305	1170	2518	3040
<i>Arachis duranensis</i>	UCP3	304	1331	2050	719
<i>Arachis ipaensis</i>	UCP3	304	1502	2235	733

Fonte: Produção do próprio autor

Tabela 15 – Tamanho dos transcritos, cDNAs, ítrons e número de aminoácidos das proteínas das UCPs do tipo 4 em leguminosas e arabadopsis

Espécie	Gene	Nº aa	cDNA (pb)	Transcrito primário (pb)	Ítron (pb)
Arabidopsis thaliana	UCP4	313	1224	1224	0
Cajanus cajan	UCP4	316	1303	1303	0
Glycine max	UCP4a	317	1294	1294	0
	UCP4b	317	1277	1277	0
Phaseolus vulgaris	UCP4	316	1562	1562	0
Vigna angularis	UCP4	----	----	----	----
Vigna radiata	UCP4	316	1580	1580	0
Medicago truncatula	UCP4	322	1458	1458	0
Cicer arietinum	UCP4	320	1443	1443	0
Lupinus angustifolius	UCP4a	316	1250	1250	0
	UCP4b	318	1386	1386	0
Arachis duranensis	UCP4	325	1328	1328	0
Arachis ipaensis	UCP4	325	1387	1387	0

Fonte: Produção do próprio autor

Tabela 16 – Tamanho dos transcritos, cDNAs, ítrons e número de aminoácidos das proteínas das UCPs do tipo 5 em leguminosas e arabadopsis

Espécie	Gene	Nº aa	cDNA (pb)	Transcrito primário (pb)	Ítron (pb)
Arabidopsis thaliana	UCP5	313	1508	1508	0
Cajanus cajan	UCP5	314	1224	1224	0
Glycine max	UCP5a	300	1143	1143	0
	UCP5b	314	1246	1246	0
Phaseolus vulgaris	UCP5	302	1348	1348	0
Vigna angularis	UCP5a	300	1196	1196	0
	UCP5b	301	1209	1209	0
Vigna radiata	UCP5a	300	1196	1196	0
	UCP5b	301	1233	1233	0
Medicago truncatula	UCP5a	313	1198	1198	0
	UCP5b	315	1538	1538	0
Cicer arietinum	UCP5a	315	1295	1295	0
	UCP5b	311	1645	1645	0
Lupinus angustifolius	UCP5	306	1063	1063	0
Arachis duranensis	UCP5	309	1792	1792	0
Arachis ipaensis	UCP5	309	1805	1805	0

Fonte: Produção do próprio autor

5.3 Análises das sequências de cDNAs, proteínas e promotores das UCPs em soja

Os cDNAs, proteínas e promotores deduzidos de *Glycine max* foram alinhados usando o programa CLUSTAL W (<http://www.ebi.ac.uk/Tools/msa/clustalw2/>). A identidade foi dividida em três categorias diferentes: alta em verde (71-99%), moderada em amarelo (41-70%) e baixa em vermelho (1-40%).

Entre os 10 genes analisados, a identidade entre as sequências de cDNAs deduzidas foi bem variável, mostrando alta identidade de 77 -93% entre as UCPs do tipo 1 e moderada a alta identidade (61-92%) entre as do tipo 4 e 5. As UCPs dos tipos 2 e 3 apresentaram identidade moderada quando comparadas com as outras UCPs, sendo de 51-70% para o tipo 2 e de 49-57% para o tipo 3 (TABELA 17).

Para as sequências de aminoácidos pode-se notar alta identidade (75-93%) entre as UCPs dos tipos 1 e 2 , assim como entre as UCPs dos tipos 4 e 5 (72-92%). Quando comparadas as demais UCPs com as do tipo 3 todas apresentaram baixa identidade (32-40%). A análise das sequências de promotores apresentou identidade moderada entre todas as UCPs (TABELAS 18 e 19).

Tabela 17 – Análises das sequências de cDNAs em soja

	UCP1a1	UCP1a2	UCP1b1	UCP1b2	UCP2	UCP3	UCP4a	UCP4b	UCP5a	UCP5b
UCP1a1	-----	91%	79%	77%	65%	57%	53%	55%	58%	54%
UCP1a2	91%	-----	75%	75%	70%	56%	53%	51%	55%	51%
UCP1b1	79%	75%	-----	93%	70%	54%	50%	50%	57%	51%
UCP1b2	77%	75%	93%	-----	69%	55%	50%	50%	56%	50%
UCP2	65%	70%	70%	69%	-----	56%	51%	52%	59%	54%
UCP3	57%	56%	54%	55%	56%	-----	49%	50%	54%	52%
UCP4a	53%	53%	50%	50%	51%	49%	-----	92%	70%	74%
UCP4b	55%	51%	50%	50%	52%	50%	92%	-----	72%	73%
UCP5a	58%	55%	57%	56%	59%	54%	70%	72%	-----	61%
UCP5b	54%	51%	51%	50%	54%	52%	74%	73%	61%	-----

Fonte: Produção do próprio autor

Tabela 18 – Análises das sequências de proteínas em soja

	UCP1a1	UCP1a2	UCP1b1	UCP1b2	UCP2	UCP3	UCP4a	UCP4b	UCP5a	UCP5b
UCP1a1	-----	97%	90%	89%	77%	36%	38%	37%	40%	36%
UCP1a2	97%	-----	89%	88%	78%	36%	38%	37%	39%	35%
UCP1b1	90%	89%	-----	96%	76%	37%	37%	37%	40%	35%
UCP1b2	89%	87%	96%	-----	75%	36%	36%	37%	39%	35%
UCP2	76%	76%	74%	74%	-----	36%	34%	34%	35%	32%
UCP3	33%	33%	34%	33%	34%	-----	32%	32%	35%	35%
UCP4a	37%	37%	36%	36%	35%	31%	-----	96%	75%	84%
UCP4b	36%	37%	36%	36%	35%	31%	96%	-----	76%	83%
UCP5a	38%	39%	38%	38%	36%	34%	80%	81%	-----	74%
UCP5b	34%	34%	35%	34%	33%	33%	84%	84%	77%	-----

Fonte: Produção do próprio autor

Tabela 19 – Análises dos promotores dos cDNAs das UCPs em soja

	UCP1a1	UCP1a2	UCP1b1	UCP1b2	UCP2	UCP3	UCP4a	UCP4b	UCP5a	UCP5b
UCP1a1	-----	53%	55%	52%	52%	49%	54%	52%	56%	53%
UCP1a2	53%	-----	44%	44%	46%	49%	47%	48%	43%	46%
UCP1b1	55%	44%	-----	62%	53%	50%	56%	52%	58%	51%
UCP1b2	52%	44%	62%	-----	53%	52%	51%	53%	52%	50%
UCP2	52%	46%	53%	53%	-----	52%	55%	53%	50%	50%
UCP3	49%	49%	50%	52%	52%	-----	50%	51%	54%	52%
UCP4a	54%	47%	56%	51%	55%	50%	-----	69%	51%	56%
UCP4b	52%	48%	52%	53%	53%	51%	69%	-----	50%	56%
UCP5a	56%	43%	58%	52%	50%	54%	51%	50%	-----	50%
UCP5b	53%	46%	51%	50%	50%	52%	56%	56%	50%	-----

Fonte: Produção do próprio autor

5.4 Análises das sequências específicas das UCPs

Alinhamentos de todas as sequências de proteínas das UCPs (tipo 1-6) foram obtidos através do CLUSTALW para a análise e identificação dos três SPTE (Sinal Proteico de Transferência de Energia) presentes em todas as UCPs, bem como a identificação das quatro assinaturas específicas das UCPs presentes nas α -hélices transmembranares (apêndices 02, 03 e 04).

Em todas as UCPs analisadas foi possível localizar a presença das três cópias da assinatura SPTE, enquanto que outros membros FCAM possuem apenas uma ou duas cópias como proposto por Borecky *et al.* (2001a). Também foi possível localizar os quatro domínios α -hélices específicos das UCPs presentes no primeiro, segundo, quarto e sexto segmento α -hélice transmembranar, assim como a presença do *doublet* (Cys/Thr-His) específico da UCP no quinto segmento α -hélice transmembranar (JEZEK; URBANKOVÁ, 2000).

As três cópias da assinatura SPTE e as quatro assinaturas específicas das UCPs encontradas em todas as UCPs analisadas mostraram variações específicas em algumas espécies e tipos de UCP. As UCPs analisadas foram comparadas com as sequências de arabidopsis thaliana (*AtUCP1*, *AtUCP3* e *AtUCP5*) para as UCPs dos tipos 1 e 2, tipo 3 e tipos 4, 5 e 6 respectivamente, e os aminoácidos variáveis foram marcados em rosa. A tabela 20 mostra a legenda de cada aminoácido, sua abreviatura, assim como suas características relacionadas ao grupo R (afinidade a água, polaridade e a natureza).

Para as UCPs do tipo 1 e 2 as sequências do SPTE variaram para as três assinaturas respectivamente em: (Pro-Leu-Asp-Thr-Ala/Val-Lys/Gln-Val-Arg-Leu-Gln-Leu-Gln), (Pro-Thr-Asp-Leu/Ile-Val-Lys/Glu-Val-Arg-Leu-Gln-Ala/Ser/Thr-Glu/Asp) e (Pro-Val/Ile-Asp-Val-Val-Lys-Ser/Leu-Arg/Ser-Met-Met-Gly-Asp). Para as UCPs do tipo 3 em: (Pro-Leu/Ile/Val-Asp-Leu/Ala-Ile/Val/Thr-Lys-Thr-Arg-Leu/Met-Gln-Leu-His), (Pro-Ala-Asp-Leu-Met/Val/Ile-Lys-Val-Arg-Met-Gln-Ala-Asp) e (Pro-Ala-Asp-Val-Ile/Val-Lys-Thr-Arg-Met-Met-Asn-Gln). E para as UCPs do tipo 4, 5 e 6 em: (Pro-Leu-Asp-Leu-Ile-Lys-Val-Arg-Met/Leu-Gln-Leu-Gln/His), (Pro-Ala-Asp-Val/Leu-Ala/Ser-Met-Val-Arg-Met-Gln-Ala-Asp) e (Pro-Val/Ile-Asp-Val-Ile/Val-Lys-Thr-Arg-Val/Met-Met-Asn/Ser-Met/Ala).

Tabela 20 – Classificação do grupamento R de cada aminoácido

Afinidade à água	Polaridade	Natureza	Aminoácido
Hidrofóbicos	Apolar	Alifático	Glicina (Gly/G)
			Alanina (Ala/A)
			Valina (Val/V)
			Leucina (Leu/L)
			Isoleucina (Ile/I)
	Apolar	Aromático	Fenilalanina (Phe/F)
			Triptofano (Trp/W)
	Apolar	Amina secundária	Prolina (Pro/P)
			Metionina (Met/M)
		Sulfonado	Cisteína (Cys/C)
			Tirosina (Tyr/Y)
		Hidroxilado	Serina (Ser/S) Treonina (Thr/T)
Hidrofílicos	Polar não carregado	Dicarboxílico	Asparagina (Asn/N) Glutamina (Gln/Q)
			Histidina (His/H)
	Polar carregado positivamente	Básico	Lisina (Lys/K) Arginina (Arg/R)
			Ácido aspártico (Asp/D) Ácido glutâmico (Glu/E)

Fonte: Produção do próprio autor

Em soja, as três sequências SPTE das GmUCPs dos tipos 1 e 2 foram totalmente conservadas. Nas *GmUCPs* do tipo 3 apenas o primeiro SPTE teve duas substituições quando comparadas com arabidopsis, treonina (polar não carregado) para isoleucina (não polar) e metionina para leucina (ambos não polares). Para as *GmUCPs* dos tipos 4 e 5, com exceção de *GmUCP4b* e *5a* que tiveram uma substituição no terceiro SPTE do aminoácido valina para isoleucina (ambos não polares), todas *GmUCPs* destes tipos apresentaram os três SPTE bem conservados.

Quanto as quatro assinaturas específicas das UCPs dos tipos 1 e 2 ocorreram as seguintes variações nas sequências analisadas respectivamente: (Ala-Cys-Val/Phe-Gly/Ala-Glu-Val/Phe/Ile/Ala/Leu-Cys/Thr/Ser-Thr-Ile/Leu), (Gly-Leu/Ile/Met-His/Gln-Arg/His-Gln-

Cys/Phe-Leu/Val/Ile-Phe/Tyr/Asn-Gly-Gly-Leu-Arg-Ile-Gly/Arg-Met/Leu), (Pro/Ala-Asn-Val/Ile-Ala/Thr-Arg-Asn-Ala/Gly-Ile-Ile/Val-Asn-Ala-Ala-Glu-Leu-Ala-Ser) e (Glu-Gln-Ala/Thr/Val-Ly/Gln/Arg-Lys/Arg/Asn/Met-Tyr/Phe/Val/Ile/Leu-Val/Phe/Ile/Leu/Ala). Para as UCPs do tipo 3 em: (Ser-Ala-Met-Val/Met-Ala-Glu-Ser/Thr/Ala-Val/Thr/Ser-Thr-Phe/Tyr), (Ala-Ile/Val-Ile/Leu/Phe-Arg-His-Leu/Met-Phe/Met-Tyr-Thr/Ser-Pro-Ile/Leu-Arg-Ile-Ile/Val-Gly), (Pro-Asn-Ile/Val/Ala-Gln-Arg-Ala-Phe-Leu-Val-Asn-Met-Gly-Glu-Leu-Ala/Thr-Cys/Val) e (Glu-Lys-Phe/Leu-Arg-Leu/Lys/Gln/Asn-Leu/Phe/Ile-Ala/Ser). E para as UCPs dos tipos 4, 5 e 6 em: (Ser/Ala-Ile/Val-Val/Ile-Ala-Gly-Cys/Ser/Ala-Ser/Thr/Leu-Thr-His), (Thr-Val/Met/Ile/Leu-Leu-Arg-Gln-Thr/Leu/Met/Ala/Cys/Val-Leu-Tyr-Ser-Thr/Ala-Thr-Arg-Met-Gly-Leu/Ile), (Leu-Thr-Ile/Val-Asn-Arg-Ala-Met-Leu/Ile-Val-Thr-Ser/Ala-Ser/Ala-Gln-Leu-Ala-Ser/Thr) e (Glu-Gln-Val/Leu-Lys/Gly-Leu/Val-Phe/Leu).

Em soja, as quatro sequências específicas das *GmUCPs* dos tipos 1 e 2 apresentaram variações dos resíduos quando comparadas com arabidopsis. Na primeira assinatura ocorre duas substituições em todas as *GmUCPs*, valina e glicina por fenialalina e alanina respectivamente (todos apolares), além de uma substituição apenas nas *GmUCPs1b* de isoleucina por leucina (ambas apolares) e outra apenas na *GmUCP2*, valina por fenilalanina (ambas apolares). Na segunda assinatura tanto as *GmUCPs1a* quanto *GmUCP2* sofreram substituição de fenilalanina (apolar) por tirosina (polar não carregado) enquanto que nas *GmUCPs1b* a substituição ocorreu por arparagina (também polar não carregado). Todas as *GmUCPs* sofreram a substituição do último resíduo metionina por uma leucina (ambas apolares). Na terceira assinatura todas as *GmUCPs* sofreram substituições entre aminoácidos apolares, no terceiro resíduo de valina por isoleucina e substituição específica do primeiro resíduo prolina por alanina na *GmUCP2* e do sétimo resíduo alanina por glicina nas *GmUCPs* do tipo 1. Na quarta assinatura todas as *GmUCPs1* sofreram substituição no terceiro resíduo alanina (apolar) por tirosina (polar não carregado) e todas *GmUCPs* sofreram substituição do sexto resíduo tirosina (polar não carregado) por fenilalanina no tipo 1 e por valina no tipo 2 (ambos apolares), além da substituição específica apenas do tipo 2 do oitavo resíduo valina por isoleucina (ambos apolares).

Quando analisamos as modificações ocorridas nas quatro assinaturas específicas no tipo 3, para a primeira assinatura podemos ver duas substituições no sétimo e oitavo resíduo serina (polar não carregado) e valina (apolar), respectivamente, por duas treoninas (polar não carregado). Na segunda assinatura ocorrem três substituições sem alterar a polaridade no terceiro, nono e décimo quarto resíduo leucina, treonina e isoleucina respectivamente por

metionina, serina e valina. Não ocorreu modificação na terceira assinatura e a quarta apresentou apenas substituição de duas leucinas (apolares) no quinto e sexto resíduo por lisina (polar não carregado) e fenilalanina (apolar).

Por último, quando analisamos as *GmUCPs* dos tipos 4, 5 e 6 podemos notar na primeira assinatura a substituição do segundo resíduo isoleucina por valina na GmUCP5b (ambas apolares), do terceiro resíduo valina por isoleucina em GmUCP4 (ambas apolares) e 5b, bem como do sétimo resíduo serina por treonina em GmUCP5a (ambas polares não carregadas). Na segunda assinatura aconteceu apenas uma substituição do sexto resíduo treonina (polar não carregado) por leucina (apolar). Na terceira assinatura todas as GmUCPs sofreram substituição do terceiro resíduo isoleucina (apolar) e o décimo primeiro resíduo serina (polar não carregado) por valina e alanina respectivamente (ambos apolares), apenas GmUCP5a sofreu uma substituição adicional do oitavo resíduo leucina por isoleucina (ambos apolares). Na quarta assinatura ocorreram modificações no quarto resíduo lisina por arginina em todas as GmUCPs e no sétimo resíduo fenilalanina por leucina com exceção da GmUCP5a.

As mudanças de aminoácidos encontradas entre os genes ortólogos das GmUCPs são decorrentes de substituições ocorridas nos genes codificantes da UCP, o que acaba provocando mudanças nas sequência de aminoácidos da cadeia polipeptídica.

O efeito mais evidente causado por essas mudanças de aminoácidos é na estabilidade proteica (KOUKOURITAKI *et al.*, 2007; ODE *et al.*, 2007). A explicação física disto pode variar desde restrições geométricas (substituição de uma cadeia lateral pequena para uma volumosa no interior da proteína), a efeitos físico-químicos (substituição de um resíduo hidrofóbico para um polar), e o rompimento de ligações de hidrogênio (SHIRLEY *et al.*, 1992).

Também é possível que a substituição do aminoácido não afete a estabilidade da proteína, mas que cause uma alteração na flexibilidade da proteína. É sabido que a capacidade das proteínas submeterem-se a mudanças conformacionais é essencial para suas funções (SONG *et al.*, 2005). Uma mutação que torna a proteína muito rígida ou que afeta conformações alostéricas, pode afetar significativamente a função proteica (SONG *et al.*, 2005). Por outro lado, uma mutação que desestabiliza e torna a proteína muito flexível, poderia levar à agregação e a formação de fibrilas (BOARD *et al.*, 1990).

A substituição de um resíduo de aminoácido catalítico ou próximo de um grupo catalítico certamente afeta a função proteica (YAMADA *et al.*, 2006). A substituição de tal

resíduo pode não cessar completamente a reação, mas poderia alterar sua cinética (KOUKOURITAKI *et al.*, 2007).

A substituição de um resíduo de aminoácido na estrutura de um peptídeo sinalizador poderia resultar em uma localização subcelular deste peptídeo diferente daquela da proteína nativa que interage com o peptídeo (TIEDE *et al.*, 2006; KRUMBHOLZ *et al.*, 2006). Isto poderia causar uma grande redução na concentração da proteína no compartimento onde ela evoluiu para funcionar. Além disso, a presença desta proteína em um compartimento “não-desejado” poderia afetar o funcionamento de outras proteínas que ali atuam (HANEMANN *et al.*, 2000).

Uma substituição de um resíduo de aminoácido localizada em uma interface, ou dentro de um sítio de ligação, poderia afetar dramaticamente a ligação entre moléculas que interagem (tais como proteína-ligante, proteína-proteína, proteína-DNA, ou proteína-membrana) (UNG *et al.*, 2006). Isto poderia ser causado simplesmente por um efeito geométrico, como por exemplo no caso de uma cadeia lateral volumosa ser introduzida em um *pocket* de ligação estreito, podendo bloquear a entrada de um ligante no sítio ativo (VAN WIJK *et al.*, 2003). A substituição de um resíduo de aminoácido que leva a uma alteração na geometria do sítio ativo poderia afetar o reconhecimento do ligante e reduzir, ou alterar a especificidade (HARDT; LAINE, 2004). Quase todas as substituições de resíduos de aminoácidos localizadas na interface de ligação afetam a ligação entre as moléculas que interagem (ORTIZ *et al.*, 1999). A afinidade de ligação poderia diminuir ou aumentar por causa da substituição, o que levaria a uma alteração da afinidade obtida com a proteína nativa, podendo afetar outros processos celulares (JONES *et al.*, 2007).

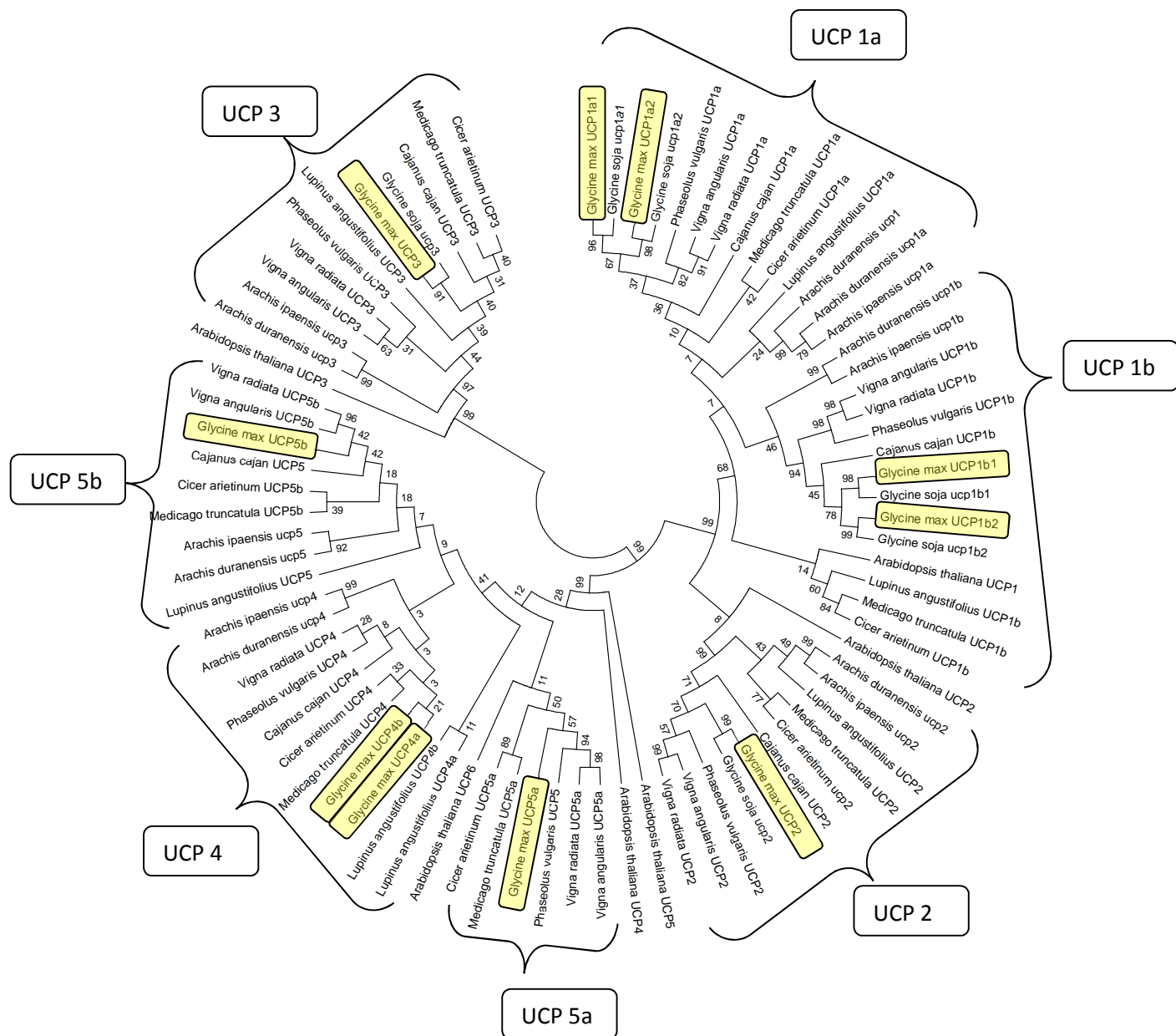
5.5 Análises das relações filogenéticas entre as UCPS de leguminosas

A análise filogenética demonstrou que os genes membros da família multigênica das UCPS das espécies leguminosas (família fabaceae) analisadas estão divididos em quatro clados de genes órtologos (Figura 12). O primeiro clado das UCPS do tipo 1, subdividindo-se em dois ramos (UCP1a e 1b), o segundo das UCPS do tipo 2, o terceiro das UCPS dos tipos 4, 5 e 6 e o quarto ramo das UCPS do tipo 3.

A divisão dos clados foi realizada levando em consideração os valores de bootstrap obtidos na divisão dos ramos da árvore filogenética. Os quatro clados obtiveram valor de 99%, indicando que em 1000 replicatas, em 99% delas seriam formadas aquela ramificação.

Após as análises filogenéticas foi proposta uma classificação para os genes analisados. Nenhuma UCP do tipo 6 foi localizada dentre as leguminosas. As UCPs de *Glycine max* estão marcadas em caixas amarelas.

Figura 12 – Árvore filogenética das pUCPs em leguminosas



Fonte: Produção do próprio autor

Árvore filogenética não enraizada para pUCPs de leguminosas obtida pelo programa MEGA5.2. As sequências foram alinhadas utilizando o programa CLUSTALX e a topologia da árvore e distância evolucionária foram estimadas usando o método neighbor-joining (1000 bootstraps). Chaves indicam a separação de cada subtipo de pUCP. As pUCPs de soja estão marcadas dentro de caixas amarelas.

5.6 Splicing alternativo

A análise da sequência genômica de *Glycine max* contra o banco de EST mostrou a possibilidade de um splicing alternativo para a produção do transcrito primário da UCP1b1. Em virtude deste achado, uma análise mais rebuscada foi realizada entre os dois transcritos, cDNAs e proteínas obtidas.

A estrutura do gene *GmUCP1b1* ao realizar o splicing reduz de 9 éxons para 8 éxons (FIGURA 13 e TABELA 21). Tal modificação altera o tamanho do cDNA em 94 pb, 776 pb no transcrito e 682 no tamanho dos íntrons, possuindo identidade de 85,64% entre os dois cDNAs. A região promotora continua sendo a mesma, embora o oitavo éxon tenha se tornado maior na *GmUCP1b1Spl*. Quanto à proteína podemos ver um aumento de 26 resíduos para a proteína codificada pela *GmUCP1b1Spl*, o que produz um aumento do quarto segmento citosólico e modificações a partir do segundo resíduo da quarta assinatura específica da *GmUCP1b1*.

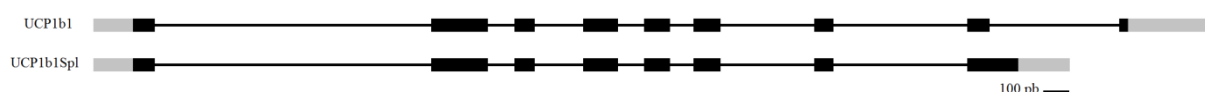
Embora não tenham ocorrido modificações tão relevantes na proteína codificada pelo gene *GmUCP1b1Spl*, novas abordagens devem ser feitas para elucidar o papel biológico do splicing alternativo ocorrido neste gene.

Tabela 21 – Comparaçāo do tamanho dos transcritos, cDNAs e proteínas entre as UCP1b1 e UCP1b1Spl

Espécie	Gene	Nº aa	cDNA	Transcrito primário	Íntrons
<i>Glycine max</i>	UCP1b1	305	1438	4538	3100
	UCP1b1Spl	331	1344	3762	2418

Fonte: Produção do próprio autor

Figura 13 – Representação esquemática dos genes UCP1b1 e UCP1b1Spl



Fonte: Produção do próprio autor

O éxons estão representados em retângulos (região traduzida em preto e UTR em cinza) e os íntrons em linhas contínuas de cor preta.

A ocorrência do splicing alternativo permite que informações específicas de um único gene se modifiquem dependendo de sinais do ambiente, gerando transcritos maduros distintos,

e conferindo assim uma maior plasticidade à expressão gênica (LAREAU *et al.*, 2004; SHARP, 2009).

Este tipo de splicing alternativo ocorrido se caracteriza como uma retenção de ítron (*intron retention*). Kim *et al.* (2007) ainda propõem que, de uma forma geral na evolução dos animais, o intron retention seria o tipo mais raro. Já no caso da angiosperma *Arabidopsis thaliana*, o tipo de splicing com freqüência mais alta seria o intron retention, que, curiosamente, também é a forma mais comum de splicing alternativo em eucariotos unicelulares.

Modrek e Lee (2003) propuseram uma hipótese para a importância do splicing alternativo na evolução: o mecanismo aumentaria a taxa de mudanças evolutivas em exons específicos. Pois o éxon pertencente ao splicing estaria sujeito a possíveis mutações enquanto o éxon “principal” ainda continuaria ativo, possibilitando uma variadade maior.

5.7 Oligonucleotídeos iniciadores e temperatura de anelamento

Os primers desenhados (TABELA 22) variaram em comprimento de 17 a 24 pb, com temperatura de anelamento entre 55,5 a 65,4 °C e tamanho do fragmento a ser amplificado entre 74 a 435 bp. Os primers desenhados são mostrados na Tabela 22. Nesta mesma tabela também são mostrados os genes MTP, EF1 β , SKIP 16 e UKN1 (HU *et al.*, 2009) e os genes referentes a família multigênica do EF1 α (SARAIWA *et al.*, 2014) que foram usados como genes de referência para verificação da expressão relativa dos genes da família multigênica da UCP durante o desenvolvimento e condições de estresse. O alinhamento múltiplo usado para o desenho dos *primers* pode ser encontrado no apêndice 05.

Tabela 22 – Características dos iniciadores utilizados nas reações de PCR

Gene	Proteína	Sequência do primer (5' → 3')	Temperatura de anelamento (°C)	Amplicon (bp)
UCP1a1	UCP1	Fwd GCAATACATTCCGATTCCAG Rev GTTGAGTCCTCCCTTCTCT	63.6	97
UCP1a2	UCP1	Fwd TAAGTCAAATCCGACCTCTCT Rev CCACATAGAAAGTCTAACAGGG	65.4	309
UCP1b1	UCP1	Fwd CGTCAATGTTGAATGGTGGT Rev CTTTCACAAGATCAGTTGGATT	59.4	169
UCP1b1	UCP1 Spl	Fwd TGAGACAGGAAGGAGTTGGA Rev GAGATAGGTGATAAGAAGGAAAGG	61.6	435
UCP1b2	UCP1	Fwd GTGGCAATTCCAATCCGAT	59.4	181

		Rev GTTCCCAGCAAACCCCTATATC		
UCP2	UCP2	Fwd AAGAAGGTAGGGATTGATGATGG Rev CTCTAGCAATGGTCTTAACTGTG	63.6	79
UCP3	UCP3	Fwd TCGTGCTGAAGGATTCAAGGA Rev CGTTGCCGCTAACACCTGAC	63.6	187
UCP4a	UCP4	Fwd GTACGACCAGTTCAAAGAAC Rev CCTCATGTTCATCACCCCTC	61.6	151
UCP4b	UCP4	Fwd TCCCATTAGTTACCTCTTCCTG Rev GAAGCGATGCCCTCTCA	55.5	100
UCP5a	UCP5	Fwd TCCCCTCCAATGCCTCC Rev GTCCCTCCGACTGAACGAT	57.3	74
UCP5b	UCP5	Fwd TAGTCCAACAAGAAGGCGTG Rev CGTAGAGTCCCATGCGA	61.6	96
EF1 β^a	Fator de elongação 1 β	Fwd CCACTGCTGAAGAAGATGATGATG Rev AAGGACAGAAAGACTTGCCACTC	63.6	134
UKN1 a	Proteína hipotética	Fwd TGGTGCTGCCGCTATTTACTG Rev GGTGGAAGGAAGTGTAAACAATC	63.6	74
SKIP 16 a	SKP1/Ask- Interacting Protein 16	Fwd CCACTGCTGAAGAAGATGATGATG Rev AAGGACAGAAAGACTTGCCACTC	50.7	60
MTP a	Metalloprotease, Insulin degrading enzyme	Fwd CGCTCCAAGTGCTCCTCATTAG Rev TGAAGTAACCGACGCCAACG	63.6	71
EF1 α 1a1 a	Fator de elongação 1 α	Fwd GATTCATGTAGCCGTAGCC Rev ATTTAAGACATCCCTCCTCAG	59.8	182
EF1 α 1a2 a	Fator de elongação 1 α	Fwd ATCATCGTGGTTACTCCTTAT Rev TCAGACTCTTCTTACCATCA	59.8	199
EF1 α 1b a	Fator de elongação 1 α	Fwd ATGCGATCATAGTTACATTTATAG Rev AGTTCTCATACAGCTTATAAAATAG	63.6	198
EF1 α 2a a	Fator de elongação 1 α	Fwd GGATGTCGTTCTTATGGT Rev CAAACACACACATTAAAACAG	57.5	189
EF1 α 2b a	Fator de elongação 1 α	Fwd TTTCTGTACTCTTGTGTCTTCT Rev ACAAACACACACATTAAAACAC	57.5	159
EF1 α 3 a	Fator de elongação 1 α	Fwd TGTAGGGAACTTGTCTTATCA Rev ACTATGCAGCTTATTGTTCT	63.6	140

Fonte: Produção do próprio autor

^aAs sequências de primers dos genes EF1 β , SKIP16, MTP e UKN1 foram obtidas de Hu et al. (2009), enquanto que as dos genes EF1 α foram obtidas de Saraiva *et al.* (2014).

5.8 Qualidade do RNA total

O RNA total foi extraído de vários tecidos (flores, sementes, vagens, cotilédones, folhas unifolioladas, folhas trifolioladas, raízes, hipocótilos e epicótilos) em diferentes estádios de desenvolvimento. O RNA total também foi isolado de folhas e raízes de plantas com treze dias após a semeadura em duas condições de estresse (AS e PEG).

A quantificação em espectrofotômetro mostrou que as relações 260/280 e 260/230 ficaram entre 2 e 2,03 e 1,0 e 2,29, respectivamente. Com base nas relações 260/280 e 260/230, a qualidade do RNA extraído foi considerada boa. A média de concentração do RNA total foi de 136,9 e 1149 $\mu\text{g}/\mu\text{L}$. (TABELA 23).

Em relação à integridade, os perfis observados no gel de agarose demonstram a integridade dos RNAs analisados, já que foram visualizadas as bandas do RNA ribossomal referentes às subunidades 18S e 28S (FIGURA 14).

5.9 Qualidade do cDNA obtido pela reação de transcrição reversa

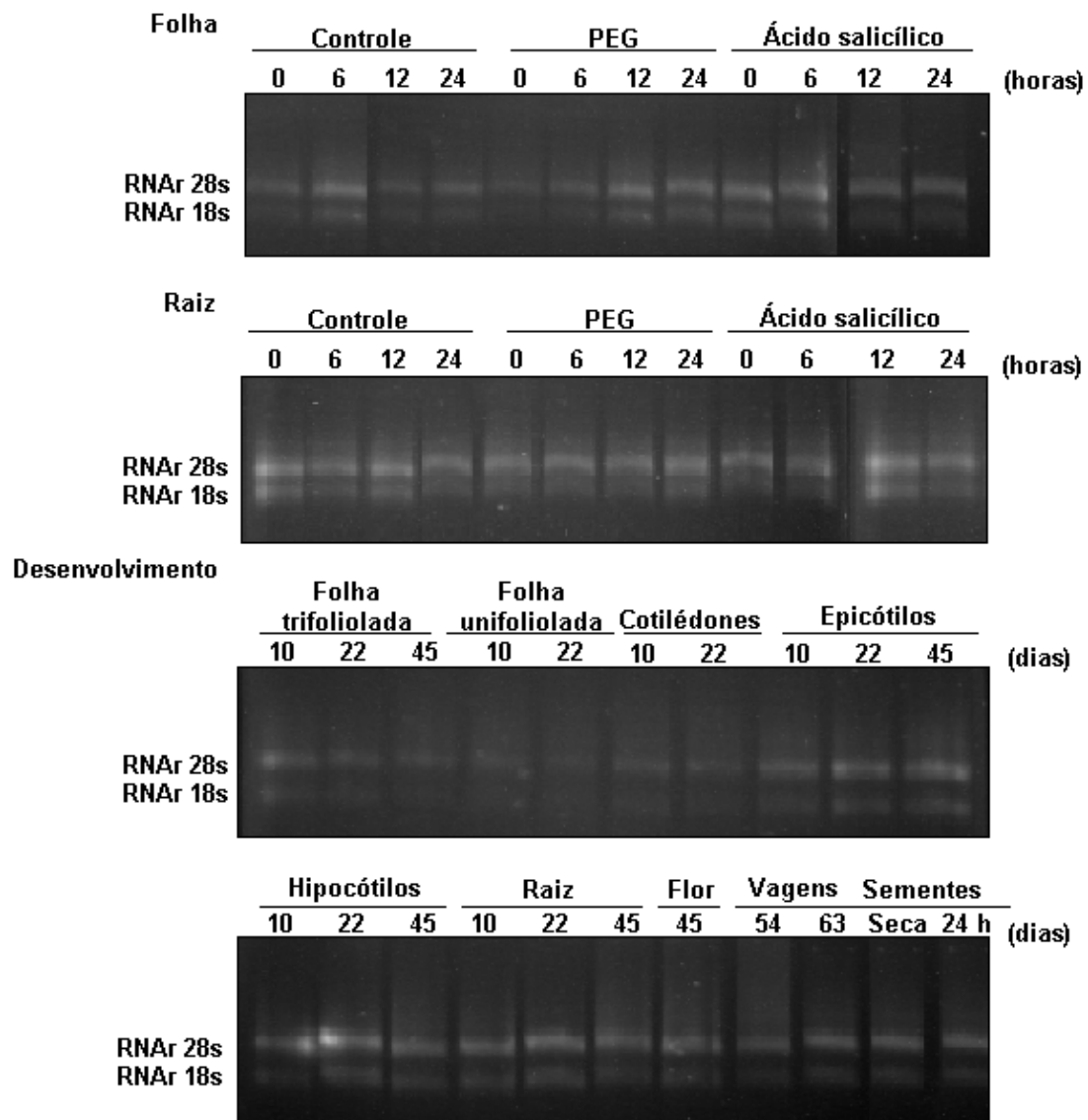
A qualidade do cDNA produzido via transcrição reversa foi verificada através da PCR, usando todas as amostras de cDNA produzido. A banda referente ao *amplicon* do gene *EF1 α 1a*, usado para as reações, foi evidenciada nas diferentes amostras analisadas, demonstrando boa qualidade do cDNA produzido (FIGURA 15).

5.10 Especificidade dos *primers*

Neste estudo, 10 genes referentes a família multigênica da UCP (UCP1a1, UCP1a2, UCP1b1, UCP1b2, UCP2, UCP3, UCP4a, UCP4b, UCP5a e UCP5b), assim como o splicing alternativo no gene *UCP1b1* (*UCP1b1Spl*) tiveram sua expressão avaliada por RT-qPCR em vários tecidos durante o desenvolvimento e em condições de estresse (PEG e AS). A especificidade dos onze pares de *primers* da UCP foram avaliadas por RT-qPCR.

As análises das curvas de dissociação mostraram a presença de um único pico, evidenciando, desta forma, que um único produto foi amplificado e que não houve formação de dímeros de *primers* (Figura 16). A especificidade também foi confirmada através de eletroforese em gel de agarose 2%, onde se observou a presença de um único fragmento com o tamanho do amplicon esperado para todos os genes testados.

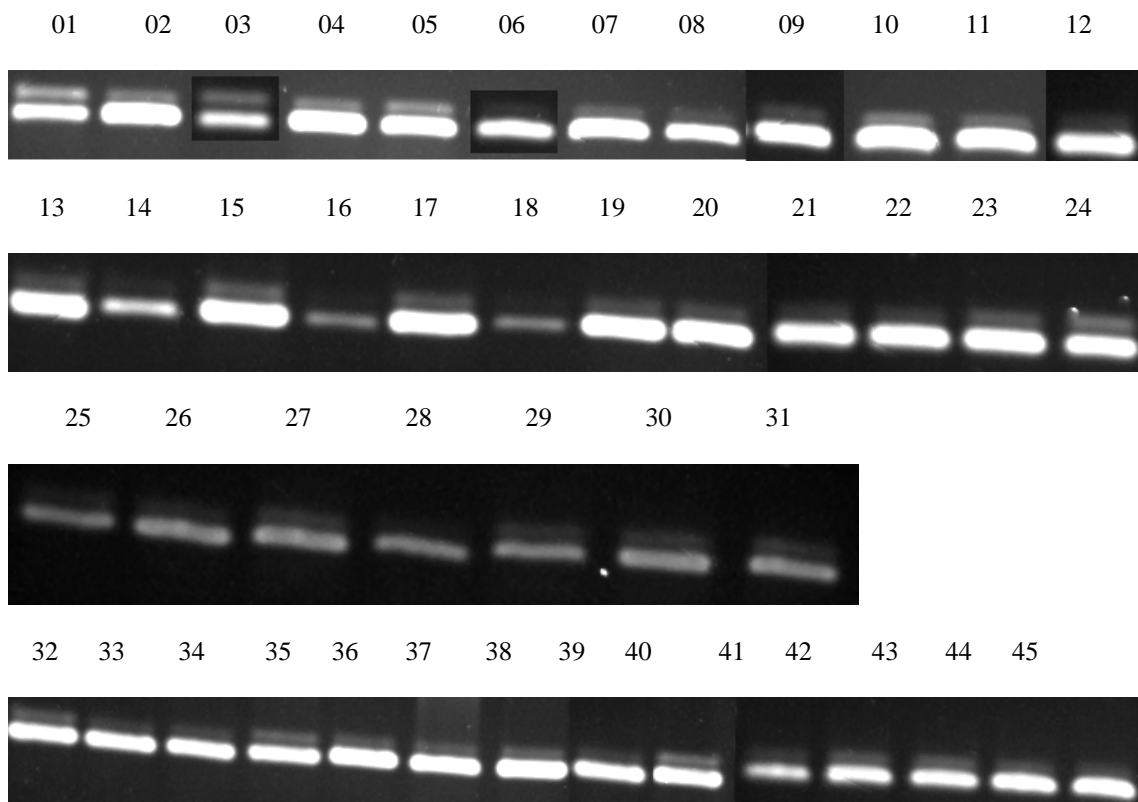
Figura 14 – Eletroforese em gel de agarose do RNA total



Fonte: Produção do próprio autor

Análise da integridade do RNA extraído em gel de agarose (1,5%), evidenciando as bandas do RNA ribossomal 18S e 28S. A definição das amostras está mostrada no gel.

Figura 15 – Produto da PCR



Fonte: Produção do próprio autor

Eletroforese em gel de agarose (2%) dos produtos de amplificação do gene do fator de elongação 1 alfa 1a (*EF1α 1a*) para avaliação da qualidade do cDNA produzido na PCR. Raias 01-12: folhas de soja de plantas controle e tratadas com polietileno glicol (PEG 100g/L) e ácido salicílico (AS 0,5mM); Raias 13-24: raízes de plantas controle e tratadas com polietileno glicol (PEG 100g/L) e ácido salicílico (AS 0,5mM); Raias 25-45: amostras de vários tecidos (Semente seca, semente embebida na solução nutritiva de Hoagland por 24 horas, raiz, folha unifoliolada, folha trifoliolada, cotilédones, hipocótilo, epicótilo, flores e vagens) da planta em vários estágios de desenvolvimento, compreendendo estágios vegetativos (10 e 22 dias após a germinação – DAG) e reprodutivos 45 DAG (início da floração), 54 DAG (nove dias após o início da floração) e 63 DAG (dezoito dias após o início da floração).

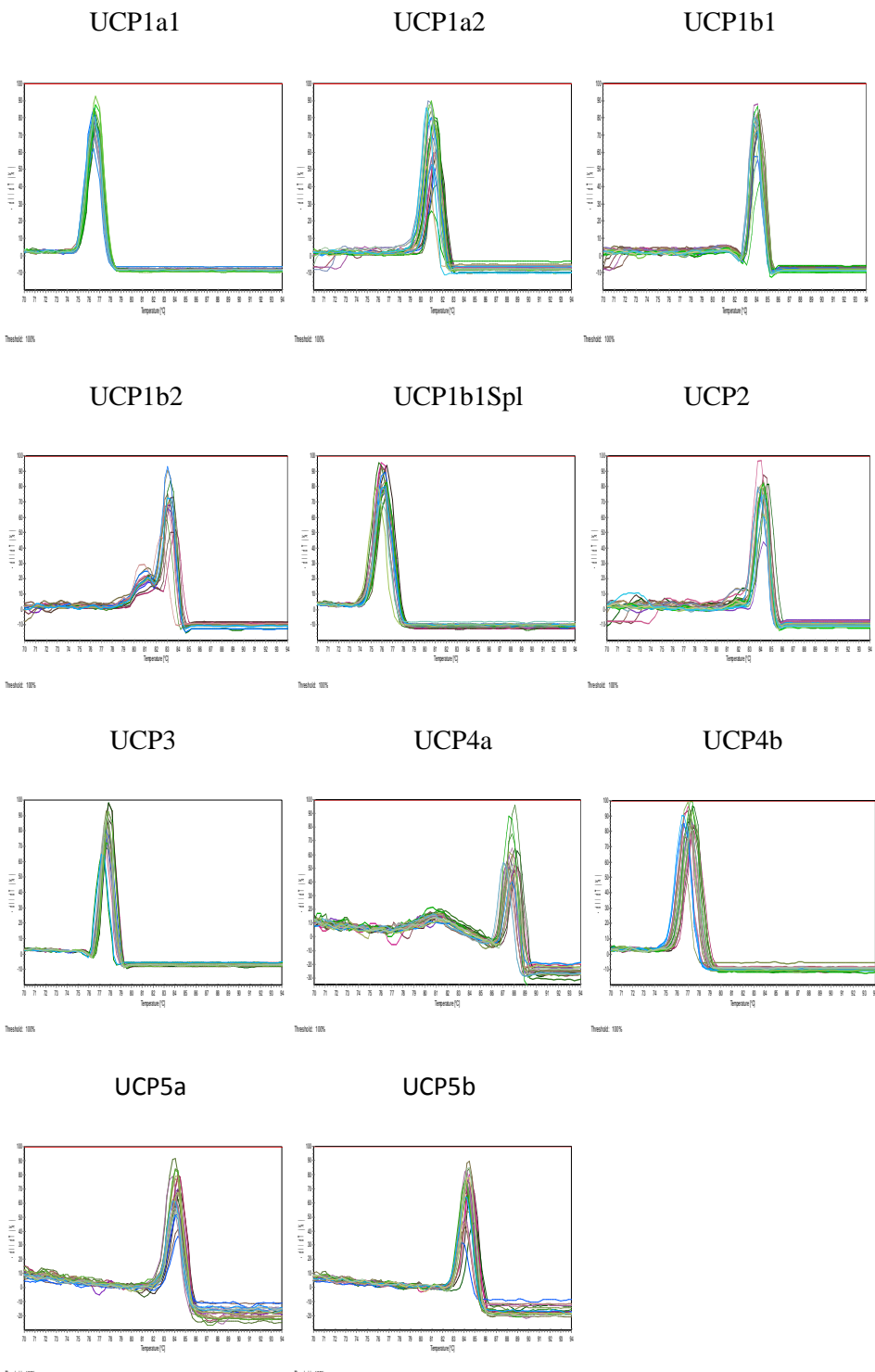
Tabela 23 – Valores médios das concentrações e relações de absorbâncias dos RNAs

Tratamentos	Média das concentrações (ng/µL)	Relação 260/280	Relação 260/230
Controle 0h ft	313,8	2,13	1,49
Controle 6h ft	523	2,11	2,0
Controle 12h ft	361	2,0	1,5
Controle 24h ft	462,3	2,15	2,1
Controle 0h raiz	346,7	2,0	1,62
Controle 6h raiz	587	2,09	2,21
Controle 12h raiz	407,2	2,13	1,65
Controle 24h raiz	592,7	2,04	1,42
PEG 0h ft	426,2	2,1	1,51
PEG 6h ft	569,1	2,12	2,29
PEG 12h ft	589,1	2,09	2,0
PEG 24h ft	551,9	2,13	1,80
PEG 0h raiz	559	2,11	1,23
PEG 6h raiz	369,6	2,12	1,75
PEG 12h raiz	363,1	2,1	2,07
PEG 24h raiz	248,2	2,11	2,05
AS 0h ft	620,2	2,10	2
AS 6h ft	371,9	2,10	1,7
AS 12h ft	381,5	2,13	2,24
AS 24h ft	341,26	2,12	1,39
AS 0h raiz	449,7	2,12	1,5
AS 6h raiz	610,2	2,08	2,17
AS 12h raiz	682,26	2,11	2,16
AS 24h raiz	417,2	2,12	1,7
Flores	420,4	2,11	1,53

Vagens 9 dias	1149,7	2,15	2,04
Vagens 18 dias	758,0	2,12	2,21
Semente seca	592,4	2,11	2,3
Semente embebida 24 h	238,0	2,15	2,07
Cotilédones 10 dias	841,1	2,14	2,31
Cotilédones 22 dias	136,9	2,11	1,52
Folha trifoliolada 10 dias	783,65	2,1	2,3
Folha trifoliolada 22 dias	545	2,09	2,26
Folha trifoliolada 45 dias	246,5	2,13	2,13
Folha unifoliolada 10 dias	591,95	2,10	1,8
Folha unifoliolada 22 dias	370,2	2,14	2,06
Raiz 10 dias	788,4	2,12	1,88
Raiz 22 dias	529,6	2,11	1,76
Raiz 45 dias	330,7	2,12	1,45
Hipocótilo 10 dias	260,5	2,11	1,9
Hipocótilo 22 dias	159,9	2,14	1,54
Hipocótilo 45 dias	409,4	2,13	1,96
Epicótilo 10 dias	817,7	2,13	1,43
Epicótilo 22 dias	382,3	2,13	1
Epicótilo 45 dias	578,3	2,11	1,78

Fonte: Produção do próprio autor

Figura 16 – Curvas de dissociação



Fonte: Produção do próprio autor
Curvas de dissociação obtidas por RT-qPCR usando *primers* específicos das UCPs.

5.11 Perfil de expressão da família multigênica da UCP em *Glycine max*

Para as análises de expressão gênica através de qPCR os genes *MTP*, *UKN1*, *EF1 β* e *SKIP 16*, validados em estudos prévios (HU *et al.*, 2009) e os genes *EF1 α* (*1a1*, *1a2*, *1b*, *2a*, *2b* e *3*) provenientes do trabalho de Saraiva *et al.* (2014) foram utilizados como controles internos para normalizar as possíveis diferenças nas concentrações iniciais de transcritos.

Os genes alvos e constitutivos foram inicialmente avaliados no programa realplex para a obtenção da média dos valores de Ct dos mesmos. Os valores de Ct obtidos foram convertidos para um arquivo no formato qbase para serem avaliados a média de estabilidade de expressão gênica pelo programa Genorm para a identificação de quantos e quais genes normalizadores foram necessários para cada tecido (TABELA 24). Este programa recomenda a utilização de um valor M abaixo do limite de 1,5 identificando (conjuntos de) genes de referência com expressão estável. Após a identificação dos genes normalizadores para cada condição os genes alvos foram avaliados pelo programa qbasePLUS.

Tabela 24 – Genes normalizadores necessários para cada condição

Tecido	Genes
Flores e vagens	EF1 α 2a e UKN1
Sementes	EF1 β e MTP
Cotilédones	EF1 α 2a e SKIP16
Folhas unifolioladas	EF1 α 1a1, EF1 α 1a2, EF1 α 1b, EF1 α 2a e EF1 α 3
Folhas trifolioladas	EF1 α 2a, EF1 α 2b, EF1 β , SKIP16 e UKN1
Raízes	EF1 α 1a2 e EF1 α 2b
Hipocótilos	EF1 α 1a1, EF1 α 1a2 e EF1 α 2b
Epicótilos	EF1 α 1a1 e EF1 α 1b
PEG folhas	EF1 α 2a, EF1 α 2b e MTP
AS folhas	EF1 α 2a, EF1 α 2b e SKIP16
PEG raízes	EF1 β , MTP e UKN1/
AS raízes	MTP e UKN1

Fonte: Produção do próprio autor

5.11.1 Desenvolvimento

A análise de expressão gênica durante o desenvolvimento mostrou que com exceção do gene *GmUCP5b* em epicótilo, todos os genes da família multigênica da UCP foram expressos nos diferentes tecidos durante o desenvolvimento da soja (GRÁFICO 1).

Durante o desenvolvimento de cotilédones, folhas, raízes, hipocótilos e epicótilos, os genes *GmUCP* apresentaram padrões similares entre si para as análises feitas no mesmo conjunto de tecidos, além de apresentarem alguns padrões mais elevados de expressão em alguns tempos específicos analisados (GRÁFICO 1b-f).

Em cotilédones e folhas unifolioladas podemos ver um padrão semelhante de crescimento da expressão de 10 para 22 dias em ambos tecidos nos genes *GmUCP1a1, 1a2, 3, 4a, 4b, 5a* e *5b*, embora o gene *5b* não tenha apresentado expressão em fu 22 dias. Vale salientar o elevado nível de expressão obtido para o gene *UCP4b* e *5a* em fu 22 dias e *5a* em cotilédones 22 dias. Já os genes *GmUCP1b1, 1b1Spl, 1b2* e *2*, apresentaram um padrão mais estável de expressão variando pouco de 10 para 22 dias em ambos tecidos, embora o genes *UCP1b1* e *1b2* tenham apresentado ausência de expressão em fu 10 dias (GRÁFICO 1b).

Em folhas trifolioladas os genes *GmUCP 1a1, 1a2, 1b1, 1b1Spl, 1b2* e *4a* apresentaram um crescimento constante nos diferentes dias analisados, enquanto que os genes *GmUCP2, 4b, 5a* e *5b* apresentaram uma queda na expressão de 22 para 45 dias. Já o gene *GmUCP3* apresentou um perfil de expressão mais estável, sofrendo leves alterações durante o desenvolvimento do tecido (GRÁFICO 1c).

Em raízes os genes *GmUCP1b1, 1b2, 2, 3* e *4a* apresentaram aumento e queda de expressão simultâneos durante os tempos analisados, enquanto que os genes *GmUCP1a1, 5a* e *5b* apresentaram uma leve queda de 22 para 45 dias, diferente de *GmUCP1b1Spl* e *4b* que apresentaram um aumento de expressão. Também podemos notar um alto nível de expressão no gene *GmUCP4a* e *4b* em raiz 22 dias e 45 dias, respectivamente (GRÁFICO 1d).

Em hipocótilos, excetuando o gene *GmUCP1a2* que apresentou queda de expressão durante o desenvolvimento e o gene *GmUCP1b1Spl* que apresentou queda e leve aumento de expressão em 45 dias, todos os outros genes apresentaram um aumento em 22 dias e uma queda aos 45 dias, salientando os altos níveis de expressão dos genes *GmUCP2, 4a* e *5a* sempre em hipocótilo 22 dias (GRÁFICO 1e).

Em epicótilos foi predominante dois padrões de expressão, o de aumento e queda dos genes *GmUCP1a2, 1b1Spl, 1b2, 2* e *4a* e o padrão de leve queda seguida de forte aumento nos

níveis de expressão dos genes *GmUCP1a1*, *1b1*, *4b* e *5a*, destacando-se os altos níveis de expressão dos genes *GmUCP2* e *4a* em epicótilo 22, e *GmUCP1a1*, *1b1* e *5a* em 45 dias. O gene *GmUCP3* apresentou uma expressão estável enquanto que o gene *UCP5b* não apresentou expressão em nenhum tempo analisado (GRÁFICO 1f).

Durante o ciclo reprodutivo (GRÁFICO 1a), a análise de expressão em flores, vagens (9 e 18 dias) e na germinação das sementes (seca e embebida) também revelaram padrões semelhantes entre si. Em flores, com exceção do gene *GmUCP5b* que apresentou alto nível de expressão, todos os genes restantes apresentaram expressão similar. Em vagem, os genes *GmUCP1a2*, *1b1*, *2* e *5a* tiveram níveis de expressão semelhantes, enquanto todos os outros genes apresentaram uma queda na expressão, destacando-se o elevado nível de expressão do gene *GmUCP3* em vagens 9 dias. Para sementes, enquanto que o gene *GmUCP2* manteve sua expressão estável, todos os genes apresentaram aumento de expressão em sementes embebidas, exceto *GmUCP5a* que apresentou uma queda.

Um resumo dos genes mais expressos durante o desenvolvimento da soja pode ser visualizado na tabela 25.

Quando analisada a presença dos genes *SsUCP1-5* em cana de açúcar em *pools* de bibliotecas de ESTs em vários tecidos da planta foi possível encontrar o gene *SsUCP1* apenas em flores, *SsUCP2* em flores, caules, meristemas e raízes, *SsUCP3* apenas em caule, *SsUCP4* e *SsUCP5* em meristemas, folhas, raízes, semente e caule. Análises extras utilizando RNA gel-blots (Northern Blot) para os genes *SsUCP2* e *4* mostraram que *SsUCP2* foi preferencialmente expressa em raízes e somente vestígios de transcritos foram encontrados em flores, folhas e caules, enquanto que *SsUCP4* indicou um alto nível de expressão em tecidos não reprodutores, especialmente em folhas e raízes (BORECKÝ *et al.*, 2006).

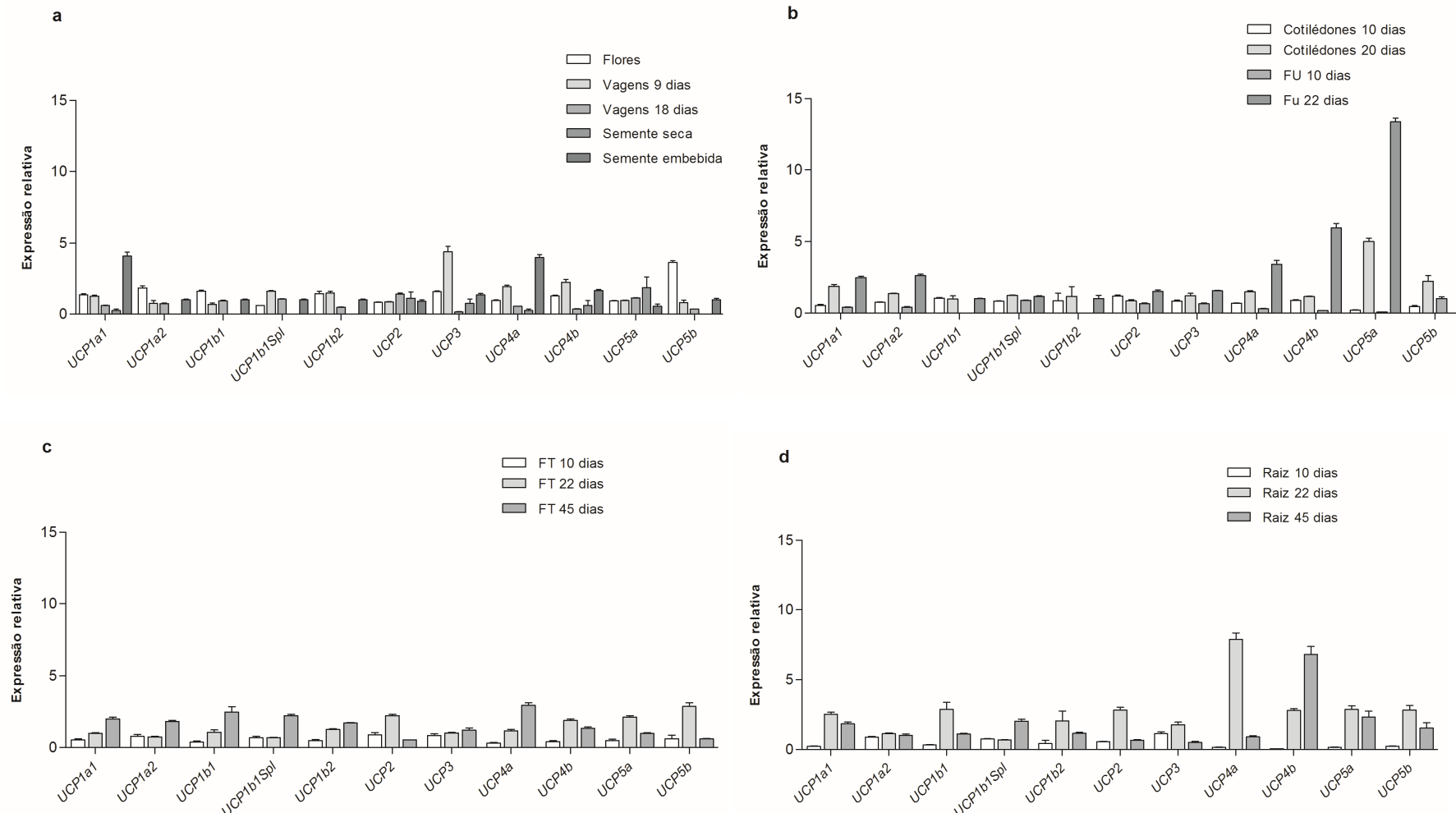
Para os genes *AtUCP1-6* em arábido, com exceção do gene *AtUCP6* que não foi encontrado em nenhum tecido/órgão, sugerindo que ele seja um pseudogene ou expresso em baixos níveis, transcritos de todas *AtUCP* foram encontrados em raízes, porém nenhuma foi encontrada em flores. *AtUCP1* foi encontrada em vários tecidos (parte aérea, raízes, siliques verdes e sementes) em acordo com os achados de Maia *et al.* (1998). *AtUCP2* foi detectado em raízes e silica verde, enquanto que a expressão de *AtUCP3* só foi encontrada em raízes. *AtUCP4* mostrou altos níveis de expressão em raízes e sementes, enquanto que *AtUCP5* se expressou predominantemente em parte aéreas e raízes, e menos em silica verde. Análises extras de RT-PCR realizadas para os genes *AtUCP4-5* mostraram que estes genes se expressaram ubliquamente em altos níveis de expressão em folhas, flores e raízes.

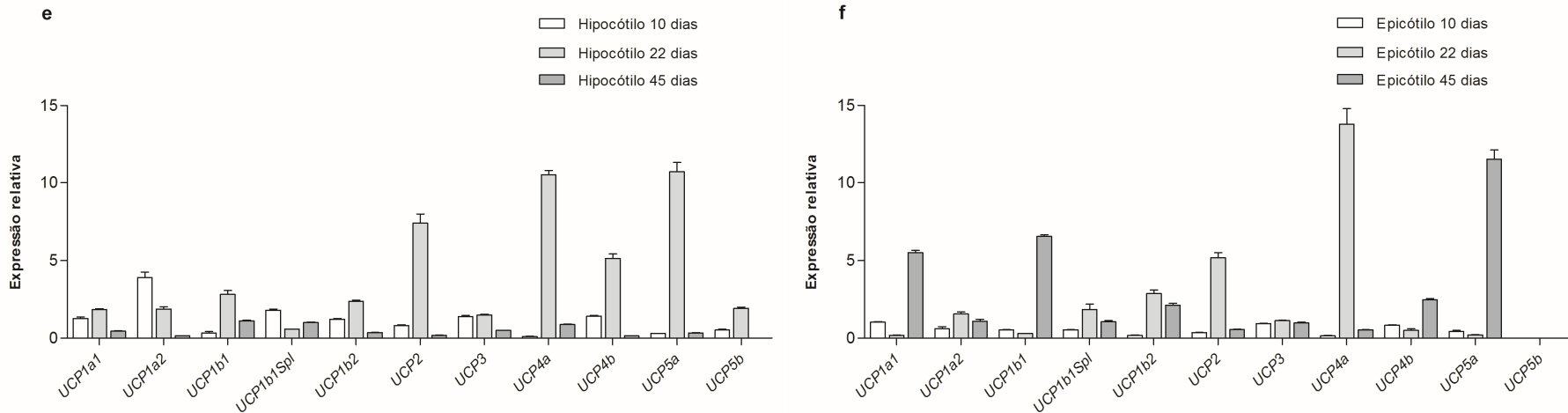
Tabela 25 – Genes mais expressos durante o desenvolvimento da soja

Órgão/tempo	Gene
Cotilédones 10 dias	-----
Cotilédones 22 dias	GmUCP5a
FU 10 dias	-----
FU 22 dias	GmUCP4b GmUCP5a
FT 10 dias	-----
FT 22 dias	-----
FT 45 dias	-----
Raiz 10 dias	-----
Raiz 22 dias	GmUCP4a
Raiz 45 dias	GmUCP4b
Hipocótilos 10 dias	-----
Hipocótilos 22 dias	GmUCP2 GmUCP4a GmUCP5a
Hipocótilos 45 dias	-----
Epicótilos 10 dias	-----
Epicótilos 22 dias	GmUCP2 GmUCP 4a
Epicótilos 45 dias	GmUCP1a1 GmUCP1b1 GmUCP5a
Flores	GmUCP5b
Vagens 9 dias	GmUCP3
Vagens 18 dias	-----
Semente seca	GmUCP5a
Semente embebida	GmUCP1a1 GmUCP4a

Fonte: Produção do próprio autor

Gráfico 1 – Perfil de expressão das GmUCPs durante o desenvolvimento da soja





As diferenças encontradas usadas nas duas técnicas provavelmente estão relacionadas com os diferentes estágios de desenvolvimento dos tecidos utilizados (BORECKÝ *et al.*, 2006).

Os altos níveis de expressão de *GmUCP4* em folhas unifolioladas, raízes e hipocótilos, *GmUCP1* e 2 em epicótilos e *GmUCP5* em folhas unifolioladas, hipocótilos, epicótilos e flores estão parcialmente de acordo com os resultados de expressão encontrados por Borecký et al. (2006) nas duas espécies estudadas, embora estes resultados mostrem várias diferenças quando comparados com este trabalho. Porém o fato da utilização de diferentes espécies e técnicas utilizadas deve ser levado em consideração.

Assim como os achados apresentados neste trabalho, os resultados das análises *in silico* e experimentais de Borechý et al. (2006) em cana de açúcar e arábido, sugerem que os genes *pUCP4* e 5 foram os mais expressos durante os estágios de desenvolvimentos dos diversos órgãos analisados.

A existência de múltiplos membros da família da UCP sugere que estes genes podem estar sob controle de fatores celulares, teciduais, ou de uma maneira específica para cada órgão. No entanto, precauções devem ser tomadas quando interpreta-se as respostas fisiológicas e metabólicas baseando-se apenas nos perfis transcricionais (Borecký *et al.*, 2006).

Outro trabalho mais recente realizado por Nogueira, Sasaki e Maia (2011), utilizou o banco de dados Genevestigator (www.genevestigator.com) e Bio-Array Resource for Plant Funcional genomes (BAR; Winter et al, 2007) para avaliar a expressão dos genes *AtUCP1-3* durante os estágios de desenvolvimento de arábido. Uma análise do desenvolvimento da semente mostrou claramente que as pUCPs são menos expressas nos estágios finais do desenvolvimento da semente. Todas as três AtUCPs mostraram ser expressas em baixos níveis durante os estágios finais (NOGUEIRA; SASSAKI; MAIA, 2011). A redução do número de transcritos durante estes estágios provavelmente está associada a uma mudança nos níveis de RNA resultante de uma paralização dos processos transcricionais quando a semente entra em dormência (WALLING *et al.*, 1986). Estes resultados da análise de sementes próximas ao estado de dormência corroboram com os baixos níveis de expressão encontradas em todas as *GmUCPs* analisadas, com exceção do gene *GmUCP5a*.

Durante análises da germinação das sementes de Arábido os genes *AtUCP2* e *AtUCP3* foram pouco expressos tanto em sementes secas e embebidas, enquanto que o gene *AtUCP1* sofreu um aumento gradativo de sua expressão atingindo seu pico após 12 horas de embebição em água e mantendo este nível de expressão em 24 horas (NOGUEIRA; SASSAKI;

MAIA, 2011). Mitocôndrias maduras, com a formação da membrana interna e da crista, foram detectadas somente após 12-24 horas de embebição da semente (HOWELL *et al.* 2006).

Tem sido demonstrado que as reações não enzimáticas são susceptíveis de ocorrer em sementes secas e embebidas, incluindo a produção de EROs. Neste contexto, EROs podem ser produzidos para libertar a semente da dormência através da carbonilação de proteínas específicas do embrião (ORACZ *et al.* 2007).

No entanto, após a liberação da dormência, a contínua produção de EROs pode ser prejudicial para a germinação da semente. O aumento da expressão dos genes *AtUCP1* e *AtAOX* sugere que ambas proteínas desempenham um papel de atenuadores dos efeitos das EROS no metabolismo celular durante o começo da embebição (NOGUEIRA; SASSAKI; MAIA, 2011).

Dados não publicados de sementes transgênicas de plantas de tabaco, com o gene *AtUCP1* sendo super expresso constitutivamente, germinaram mais rápido que o tipo selvagem, sugerindo que a produção de EROs produzida durante a germinação pode ser atenuada pela super expressão de uma pUCP (NOGUEIRA; SASSAKI; MAIA, 2011).

Dados obtidos do Genevestigator também revelaram que os genes *AtUCP1-3* investigados são co-expressos em vários órgãos/tecidos, mas com expressão distinta durante nove estágios diferentes do desenvolvimento de aradiopsis (NOGUEIRA; SASSAKI; MAIA, 2011).

AtUCP1 foi expressa nos maiores níveis detectados em sementes germinadas (1-6 dias após germinação- DAG) e nos níveis de expressão mais baixos em siliques maduras (45-50 DAG). Após os estágios de germinação, os níveis de transcritos de *AtUCP1* diminuíram nas plântulas (6-14 DAG) até a abertura dos botões de flores (29-36 DAG). Outra queda na expressão do gene *AtUCP1* também foi observada durante a transição de flor/ siliqua (36-45 DAG) para o estágio de siliqua madura (45-50 DAG). *AtUCP2* e *AtUCP3* foram expressas em baixos níveis durante todos os estágios de desenvolvimento e ambos foram menos expressos durante estágios florais jovens (25-29 DAG). Os níveis mais altos de expressão de *AtUCP2* foram observados em plântulas recém germinadas e no estágio flor/siliqua (36-45 DAG), enquanto que o menor nível de expressão foi observado em siliques maduras (45-50 DAG). O nível mais alto de expressão de *AtUCP3* foi detectado durante a formação dos botões florais (21-25 DAG) (NOGUEIRA; SASSAKI; MAIA, 2011).

Vale ressaltar que além de sementes germinadas, dois outros órgãos (pólen maduro e estames) também mostraram aumento nos níveis de expressão de *AtUCP1*. A respeito das

sementes germinadas, transcriptos de *AtUCP2* foram encontrados altamente concentrados no segundo entrenó e em estágios de sílica (SCHIMD *et al.*, 2005).

Embora tenham atingido diferentes níveis de expressão, a sobreposição da expressão gênica de *AtUCP1-3* ao longo dos diversos estágios de desenvolvimento de arábido analisados podem ser indicativos de uma ação combinatória destas proteínas na mitocôndria, porém se estas proteínas atuam de forma redundante ainda é algo indeterminado. Os dados acima mencionados, também apontam para a existência de modulação específica da expressão dos genes de *AtUCP*, especialmente para *AtUCP1*. Neste último caso, uma expressão espaço/temporal do gene *AtUCP1* sugere funções fisiológicas relevantes em certos estágios de desenvolvimento, como a germinação da semente e após a germinação (NOGUEIRA; SASSAKI; MAIA, 2011).

5.11.2 Estresse

A análise de expressão gênica relativa durante os estresses com PEG e ácido salicílico mostrou que todos os genes da família multigênica da UCP foram expressos em folhas e raízes durante a submissão de estresse nos tempos analisados.

Os genes foram então analisados quanto ao perfil de expressão em resposta aos estresses submetidos (positiva- aumento da expressão, ou negativa- redução da expressão) (TABELA 26).

Em folha, os genes *GmUCP2* e *GmUCP3* mostraram um perfil de expressão estável durante os tempos analisados, enquanto em raiz os genes *GmUCP1b2* e *GmUCP2* mostraram esse perfil (GRÁFICO 2e e 2f; GRÁFICO 3d e 3e).

Em folhas, nenhum gene teve aumento da expressão pelo estímulo do PEG, porém os genes *GmUCP1a1*, *GmUCP4a*, *GmUCP4b* mostraram uma queda no perfil de expressão quando submetidas a este estresse. Em raízes houve genes responsivos tanto com resposta positiva (*Gm1b1*, *4a* e *5b*), quanto para respostas negativas (*1a2* e *4b*) para a presença de PEG.

Para o estímulo de estresse com ácido salicílico, em folhas, apenas um gene teve resposta positiva (*GmUCP1a1*), enquanto os genes *GmUCP1b1*, *GmUCP4b*, *GmUCP5a* e *GmUCP5b* apresentaram uma redução nos níveis de expressão. Em raízes, os genes *GmUCP4a* e *GmUCP5b* apresentaram resposta positiva, enquanto que os genes *GmUCP1a2* e *GmUCP3* apresentaram resposta negativa ao estresse.

Tabela 26 – Resumo das respostas dos genes GmUCPs aos estresses PEG e AS

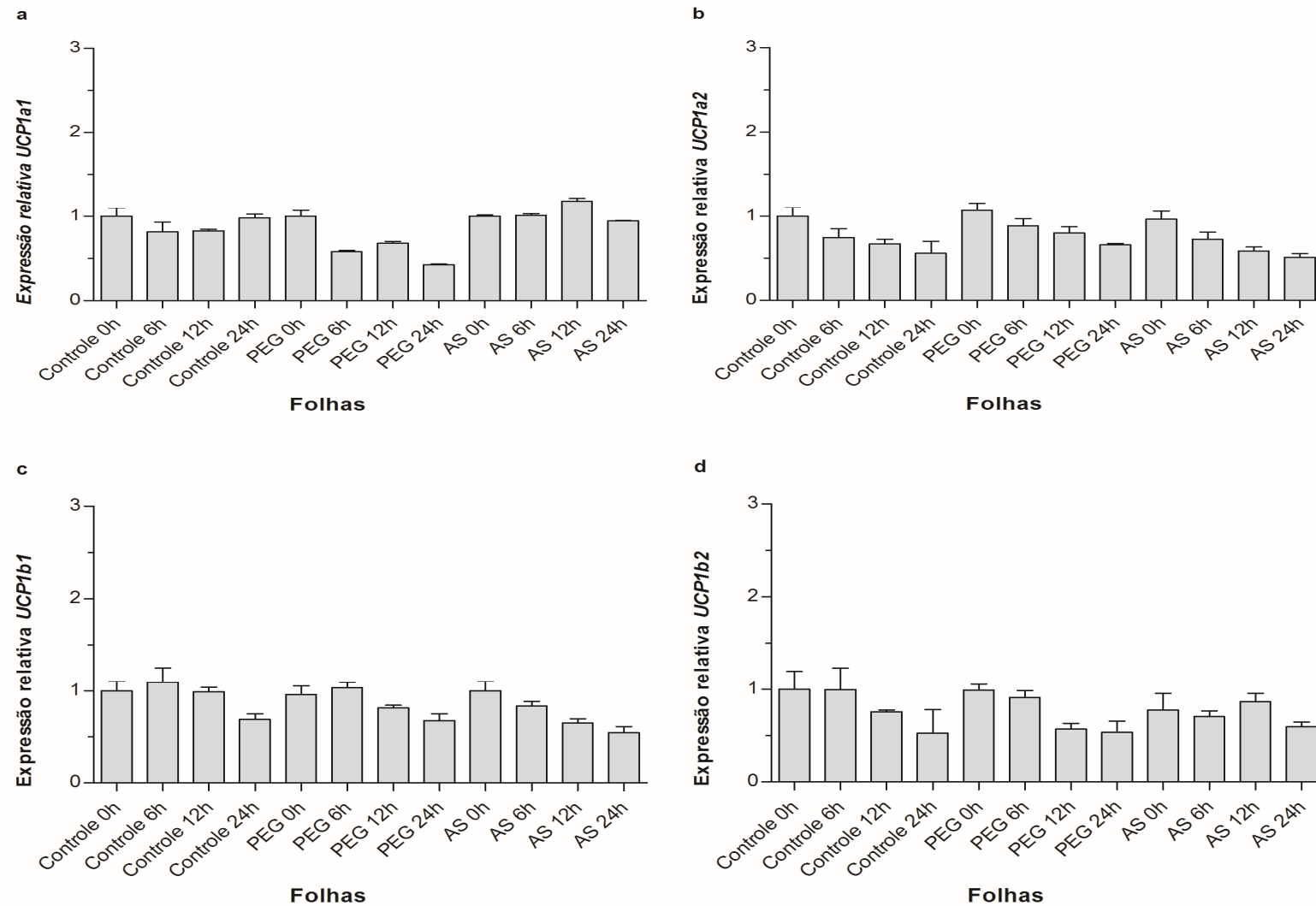
Estresse:	PEG		AS	
Resposta:	Positiva	Negativa	Positiva	Negativa
Folhas	-----	GmUCP1a1		GmUCP1b1
		GmUCP 4a	GmUCP1a1	GmUCP4b
		GmUCP4b		GmUCP5a
Raízes	GmUCP1b1			GmUCP5b
	GmUCP4a	GmUCP1a2	GmUCP4a	
	GmUCP5b	GmUCP4b	GmUCP5b	GmUCP1a2

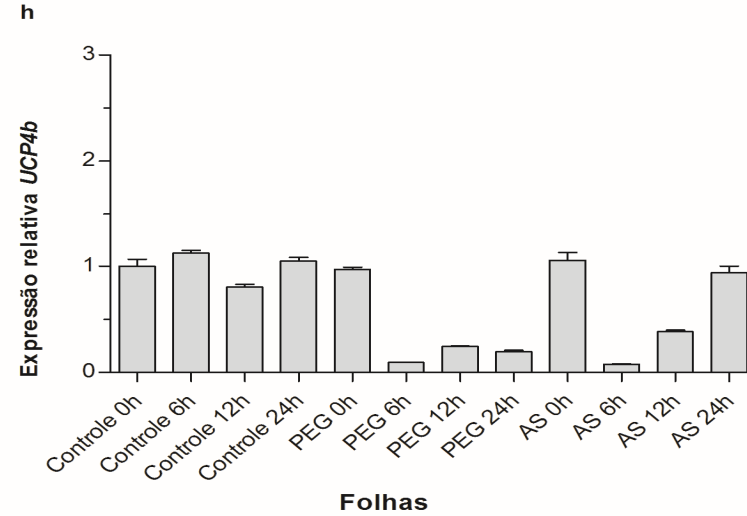
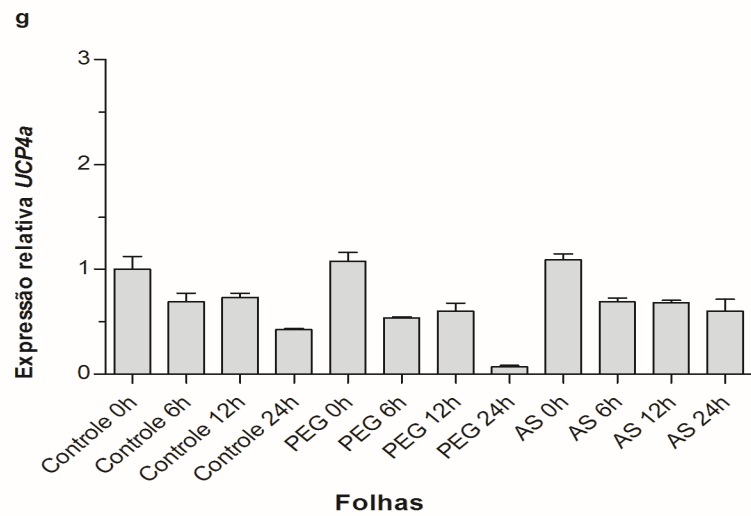
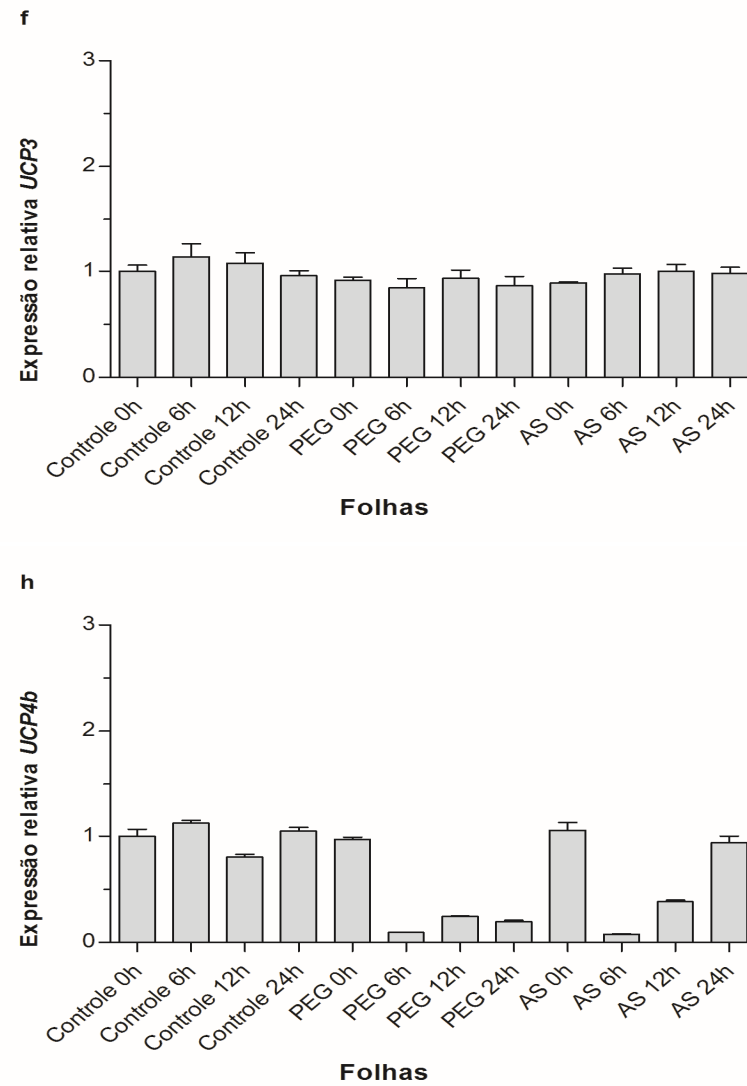
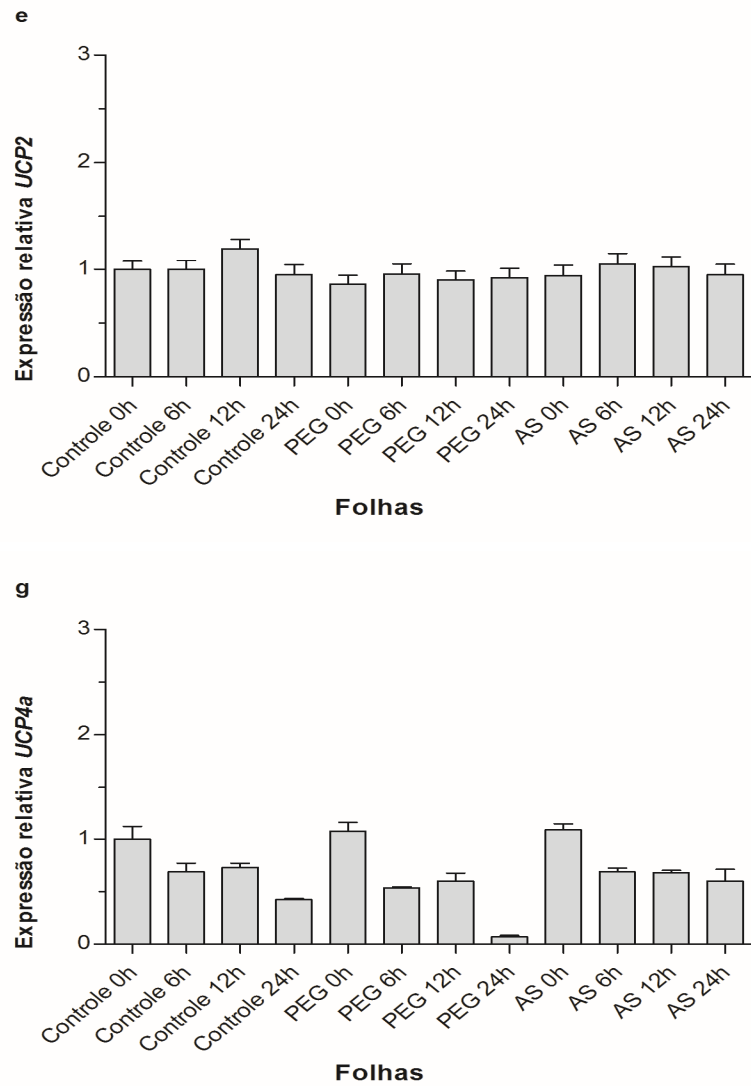
Fonte: Produção do próprio autor

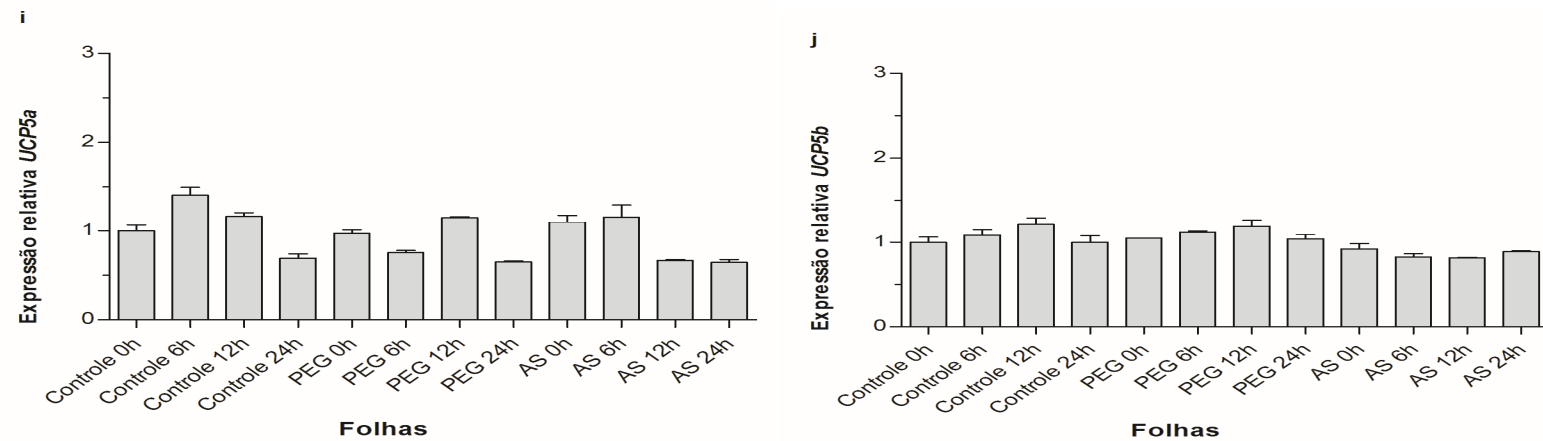
O acúmulo de transcritos analisados em RT-PCR do gene *SsUCP2* foi inalterado quando plântulas de cana de açúcar foram submetidas a estresse por frio (4 °C) até 48 horas. Transcritos de *SsUCP1* e *SsUCP3* não foram detectados durante o tratamento por frio, sugerindo que estes genes não sejam induzidos por baixa temperatura. Em contraste, os genes *SsUCP4* e *SsUCP5* foram fortemente induzidos, atingindo níveis máximos de transcritos em ambos os genes após 48 horas de submissão ao estresse (BORECKÝ *et al.*, 2006). Analogamente à outras UCPs/pUCPs (LALOI *et al.*, 1997; MAIA *et al.*, 1998), estas proteínas devem estar envolvidas na redução de EROs durante estresse por frio em mono e dicotiledôneas (BORECKÝ *et al.*, 2006).

De maneira interessante, a frequência de ESTs dos genes *SsUCP4* e *SsUCP5* foi elevada em bibliotecas de ESTs preparadas de plântulas de cana de açúcar inoculadas com bactérias fixadoras de nitrogênio *Acetobacter diazotrophicans* e *Herbaspirillum rubrisubalbicans* (VETTORE *et al.*, 2003), sugerindo que estes genes possam responder tanto a estresse biótico, quanto abiótico.

Gráfico 2 – Perfil de expressão das GmUCPs durante estresse com PEG e AS em folhas

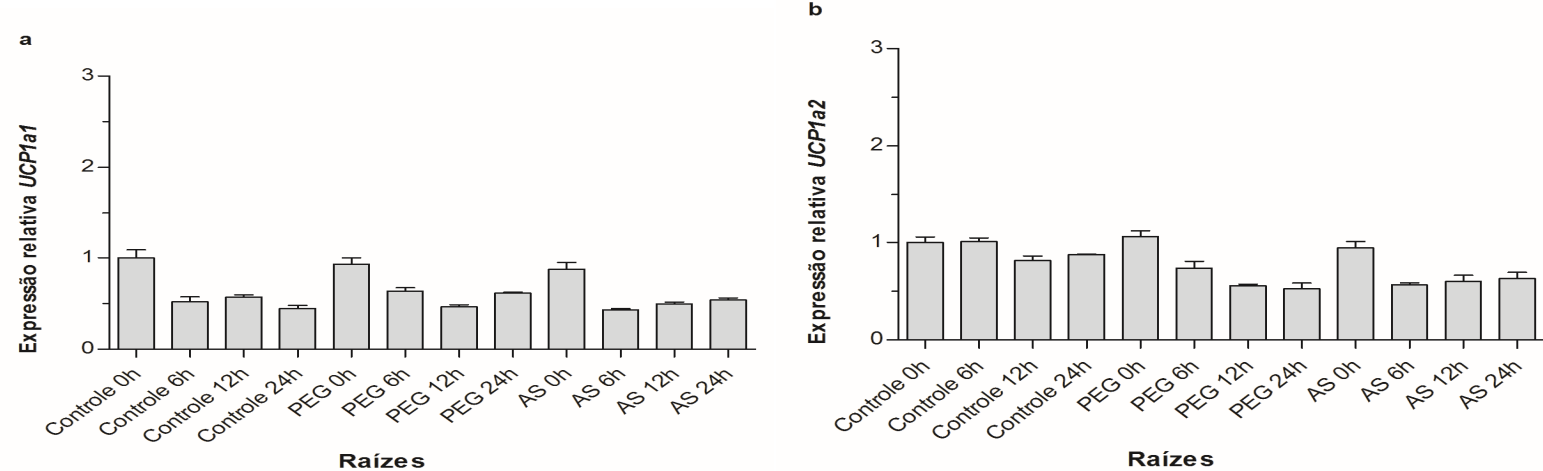


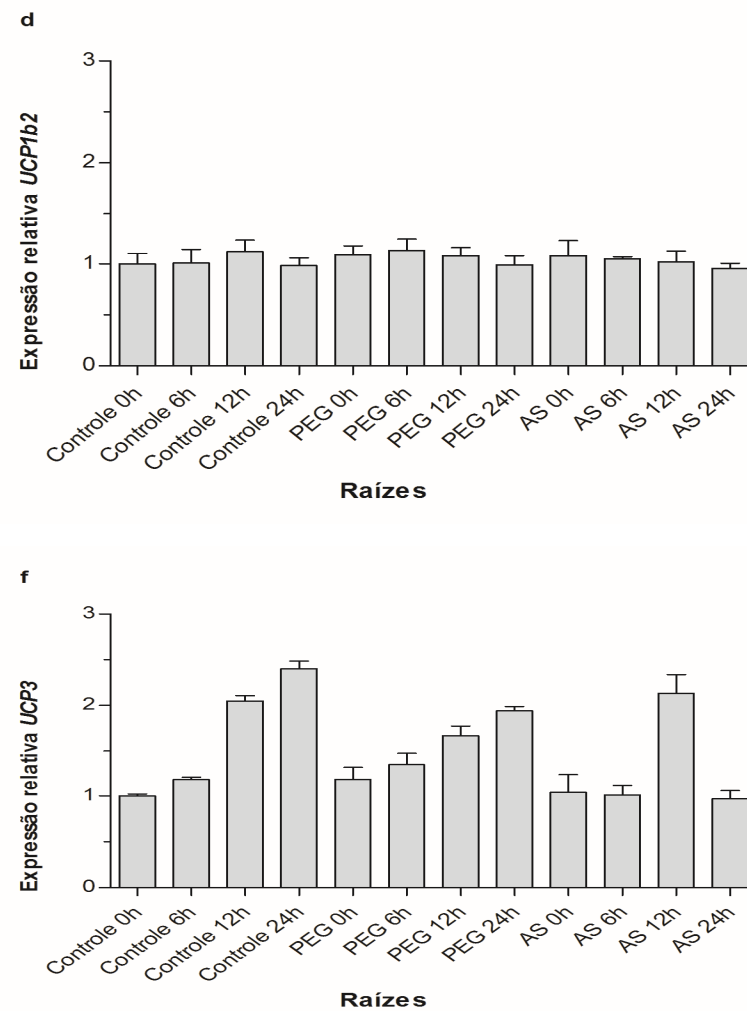
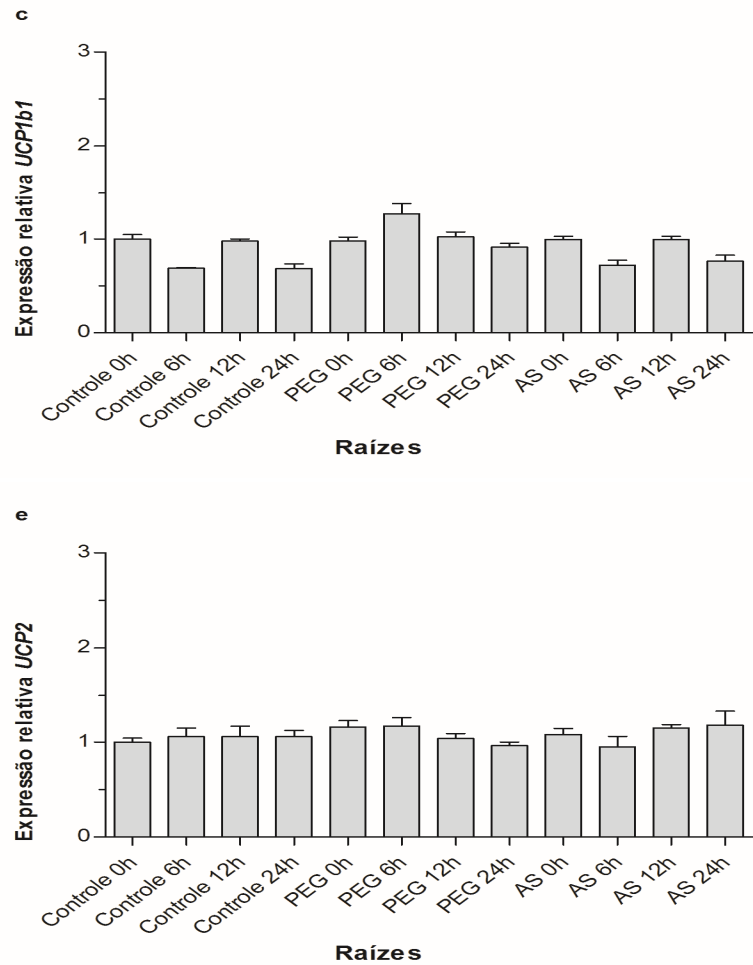


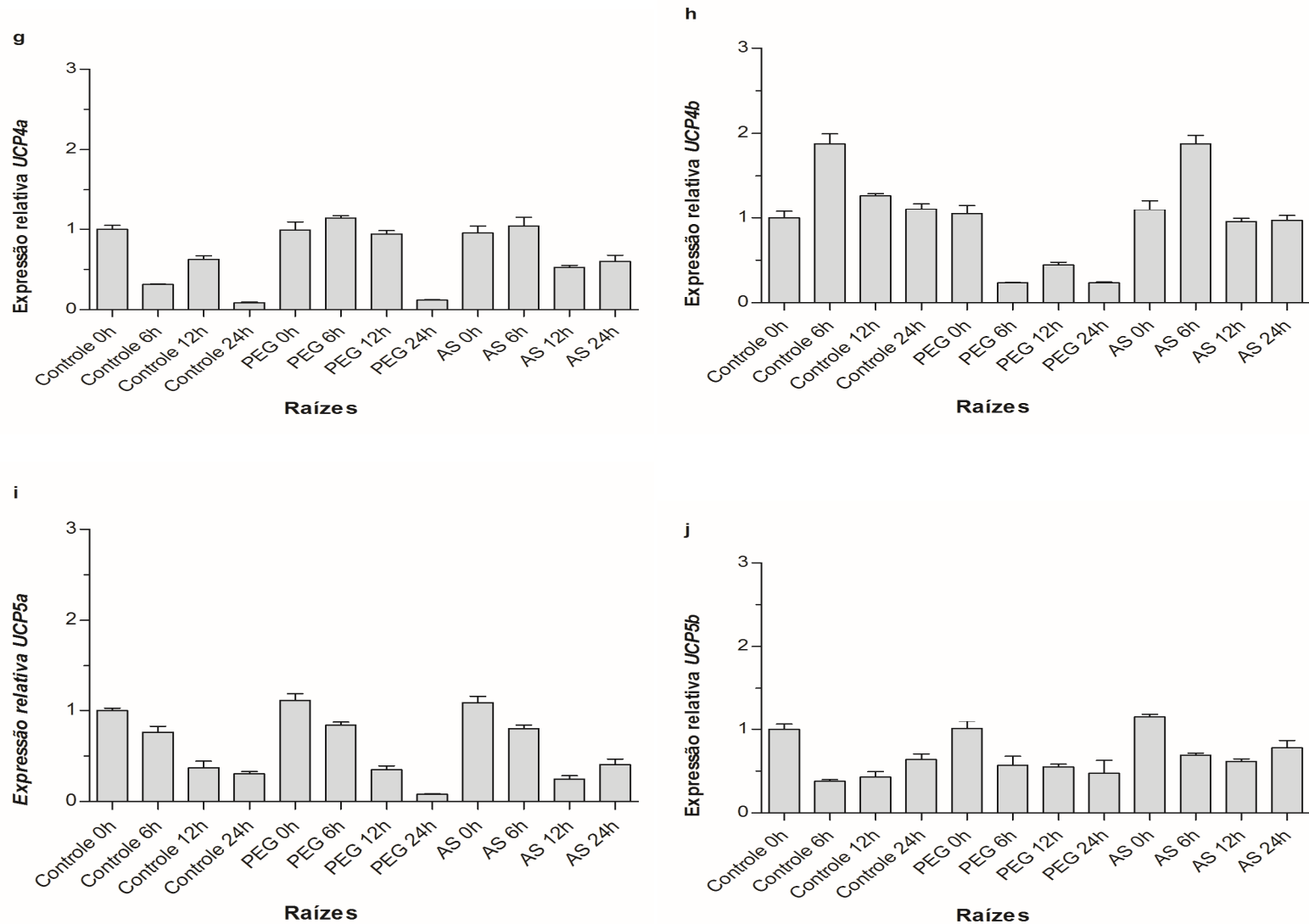


Fonte: Produção do próprio autor

Gráfico 3 – Perfil de expressão das GmUCPs durante estresse com PEG e AS em raízes







Fonte: Produção do próprio autor

AtUCP1 já foi bem descrito como sendo um gene induzido pelo frio (Maia et al., 1998). Borecký et al. (2006) estudaram a expressão de *AtUCP2-6* por RT-PCR em arabadopsis. *AtUCP2* não foi induzida por tratamento com frio de acordo com os achados de Watanabe et a. (1999). A expressão de *AtUCP3* também pareceu não ser regulada por baixa temperatura.

Em contraste, *AtUCP4* e *AtUCP5* foram fortemente induzidas após 3 horas de tratamento por baixa temperatura e retornaram aos níveis basais depois de 12 horas de exposição a este tratamento. Embora seus perfis de expressão sejam similares, os níveis de acumulação de transcritos para ambas *AtUCPs* foram diferentes. Finalmente, para o gene *AtUCP6*, não foram detectados transcritos durante toda a exposição ao estresse por baixa temperatura (BORECKÝ et al., 2006).

Similar aos resultados descritos no trabalho de Borecký et al (2006), os resultados obtidos neste trabalho com os genes *GmUCP* quando submetidos a estresse abiótico e biótico também mostraram que apenas os membros dos tipos 1, 4 e 5 tiveram um aumento na expressão quando expostos ao estresse de PEG e AS, enquanto que o gene *GmUCP2* manteve um perfil de expressão estável similar aos genes *SsUCP2* e *AtUCP2*.

Tabela 27 – Pefil de expressão de AtUCP1-2 no Genevestigator em condições de estresse

Regulação	AtUCP1	AtUCP2
Ascendente (Up-regulated)	Baixa temperatura Fome de potássio Disponibilidade de sacarose Flg22 Bactéria <i>P. syringae</i>	Flg22 Metil jasmonato
Descendente (Down-regulated)	Seca Baixo suprimento de nitrogênio 6-benziladenina	Hipoxia Morte celular programada Pacllobutrazol 6-benziladenina Bactéria <i>P. syringae</i> Flg22

Fonte: NOGUEIRA; SASSAKI; MAIA, 2011

Uma pesquisa com diferentes dados de microarranjos em *Arabidopsis* utilizando o programa Genevestigator revelou que a expressão de *AtUCP1* e *AtUCP2* é diferencialmente afetada por um modesto número de estímulos ou condições. A redução da expressão do gene *AtUCP1* foi observada sob condições de seca e baixa disponibilidade de nitrogênio. Já as condições que reduziram a expressão de *AtUCP2* incluíram hipóxia, indução de morte celular programada e tratamentos com paclobutrazol. Ambos os genes também foram negativamente modulados por 6-benziladenina, uma citocinina sintética. Aumento da expressão do gene *AtUCP1* foi observada sob deficiência de potássio, disponibilidade de sacarose, baixa temperatura, e em plântulas do cultivar Col-0 tratadas com flg22, um peptídeo sintético derivado da porção N-terminal da flagelina de *Pseudomonas aeruginosa*. Curiosamente, *AtUCP2* mostrou um aumento dos níveis em um mutante insensível a ácido giberélico tratado com flg22 ou metil jasmonato. Em contraste, este gene foi menos expresso pelo elicitador flg22 em Col-0 *background*. Mais notável ainda foi o aumento de expressão do gene *AtUCP1* em resposta a bactéria virulenta e avirulenta *P. syringae*, e a redução da expressão do gene *AtUCP2* nas mesmas condições, contudo essas mudanças foram moderadas. *AtUCP3*, por outro lado, é suscetível de ser expresso constitutivamente diante do fato da sua expressão ter permanecido quase invariável quando analisada sob o conjuntos de estresses disponíveis no banco de dados do Genevestigator (NOGUEIRA; SASSAKI; MAIA, 2011).

Os resultados da análise no Genevestigator com estresse biótico (Flg22 e *P. syringae*) mostraram o aumento da expressão do gene *AtUCP1* e com estresse abiótico (seca) mostraram redução na expressão do mesmo gene, estando em conformidade com nossos resultados diante da regulação positiva de *GmUCP1a1* em AS e da regulação negativa de *GmUCP1a1* e *GmUCP1a2* em PEG. Além do fato do gene *GmUCP3* não ter apresentado resposta ao estresse de PEG e AS, tanto em folhas quanto em raízes.

Em outro banco de dados contendo perfis de expressão de 670 genes codificadores de proteínas mitocondriais em resposta a estresses, a quantidade de transcritos de *AtUCP1* foi regulada (*up* e *down*) em apenas 10 de 219 condições de estresse investigadas. É importante ressaltar que a expressão do gene *AtUCP2* permaneceu invariável em todas as condições testadas (CLIFTON; MILLAR.; WHELAN, 2006). Tal análise dá suporte aos resultados obtidos com o gene *GmUCP2*, mostrando novamente que os membros do tipo 2 geralmente apresentam um perfil de expressão mais estável.

A tabela 28 mostra a expressão de vários membros de pUCPs em diversas plantas, correlacionando a expressão ao tecido e ao estresse submetido (VERCESI *et. al.*, 2006). Nesta tabela também pode ser visualizado os resultados dos dados de microarranjos, os quais revelaram que os genes *AtUCP1* e *AtUCP5* são induzidos por estresse de seca/osmótico (KREPS, *et al.*, 2002; SEKI, *et al.*, 2002) e por infecção com o fungo *Alternaria brassicicola* e vírus de RNA (VAN WEES, *et al.*, 2003; WHITHAM, *et al.*, 2003). *AtUCP5* também revelou ter um aumento de expressão por ferimentos causados por fatores abióticos, tais como vento, chuva, granizo, e por fatores bióticos, particularmente pela alimentação da planta por insetos (CHEONG, *et al.*, 2002), indicando então um possível papel fisiológico do gene *AtUCP5* em resposta ao estresse. Uma redução do perfil de expressão promovida por estresse de alta salinidade também foi observada para os genes *AtUCP4* e *AtUCP5* (SEKI, *et al.*, 2002).

Coletivamente, estes dados indicam que em *Arabidopsis*, quando uma regulação transcricional da expressão das pUCPs está presente, ocorre apenas uma resposta muito específica ao estímulo. Levando em consideração o importante papel fisiológico da UCP de proteger as células contra o estresse oxidativo, seus níveis de expressão quase invariáveis sob condições de estresse indicam que o pool de proteínas constitutivas é suficiente para sustentar esta proteção, e sugere a existência de mecanismos regulatórios que atuam a níveis pós-transcpcionais (NOGUEIRA; SASSAKI; MAIA, 2011).

Tabela 28 – Membros de pUCP correspondendo a expressão do tecido e/ou estresse relacionado

Gene	Espécie	Tecido	Estresse/condição
StUCp	<i>Solanum tuberosum</i>	Ubíquo (flores)	Frio
AtPUMP1	<i>Arabidopsis thaliana</i>	Ubíquo (flores e raízes)	Frio, sal, osmótico, ataque patogênico, morte celular programada induzida (MCP)
AtPUMP2	<i>Arabidopsis thaliana</i>	Silica verde	MCP
AtPUMP3	<i>Arabidopsis thaliana</i>	Raízes	---
AtPUMP4	<i>Arabidopsis thaliana</i>	Ubíquo	Frio, seca, estresse oxidativo, ácido abscísico (ABA)
AtPUMP5	<i>Arabidopsis thaliana</i>	Ubíquo	Frio, seca, ABA, osmótico, fermento, ataque patogênico
SfUCPa e b	<i>Symplocarpus fetidus</i>	Espádice	Frio
HmUCPa	<i>Helicodiceros muscivorus</i>	Ubíquo	n.d.
WhUCP1ae 1b	<i>Triticum aestivum</i>	Ubíquo	---
MnUCP	<i>Mangifera indica</i>	n.d. (fruto)	Amadurecimento do fruto
LeUCP	<i>Lycopersicum esculentum</i>	n.d. (fruto)	Frio, amadurecimento do fruto
ZmPUMP	<i>Zea mays</i>	Ubíquo	Estresse oxidativo
OsUCP1 e 2	<i>Oriza sativa</i>	n.d. (folhas)	---
SsPUMP1	<i>Saccharum sp.</i>	Flores (d.d.)	n.d.
SsPUMP2	<i>Saccharum sp.</i>	Ubíquo (raízes)	---
SsPUMP3	<i>Saccharum sp.</i>	Caule (d.d.)	----
SsPUMP4	<i>Saccharum sp.</i>	Ubíquo (folhas e raízes)	Frio
SsPUMP5	<i>Saccharum sp.</i>	Ubíquo (folhas e raízes)	Frio

Fonte: Vercesi et. al., 2006, pg.392

d.d., determinado digitalmente; n.d., não determinado

6 CONCLUSÃO

Todas as 10 leguminosas da ordem fabales analisadas apresentaram uma família multigênica de 5 tipos diferentes de genes codificantes para a proteína desacopladora mitocondrial em planta e uma duplicação do gene *UCP1*. Foram encontrados em soja 10 genes codificantes da pUCP, além da presença de um splicing alternativo no gene *GmUCP1b1*.

O perfil de expressão gênica mostrou que todos os genes *GmUCP* foram expressos em todos os tecidos/órgãos analisados durante o desenvolvimento da soja, com exceção dos genes *GmUCP1a2*, *GmUCP1b1*, *GmUCP1b1Spl*, *GmUCP1b2* e *GmUCP5b* em semente seca e *GmUCP5b* em epicótilo. Os diferentes perfis de expressão de cada gene durante o desenvolvimento de cada tecido/órgão sugerem que ocorra uma regulação gênica espacial/temporal entre os membros da GmUCP.

Os perfis de expressão dos genes *GmUCP* em soja durante as condições de estresses foi diversificado, visto que 2 genes apresentaram expressão estável em ambos tecidos/estresse, 7 genes apresentaram redução do perfil de expressão, enquanto apenas 4 genes apresentaram aumento dos níveis de transcritos.

REFERÊNCIAS

- ADAMS K. L.; WENDEL J. F. 2005 Allele-specific, bi-directional silencing of an alcohol dehydrogenase gene in different organs of interspecific diploid cotton hybrids. *Genetics* 171, 2139–2142.
- ALMEIDA, L.A.; KIIHL, R.A.S.; MIRANDA, M.A.C.; CAMPELO, G.J.A. Melhoramento da soja para regiões de baixas latitudes, In Recursos genéticos e melhoramento de plantas para o nordeste brasileiro. (M.A. Queiroz, C.O. Goedert e S.R.R. Ramos, eds.) 1999.
- APEL, K.; HIRT, H. Reactive oxygen species: metabolism, oxidative stress, and signal transduction. *Annual Review of Plant Biology*, Palo Alto, v. 55, p. 373-399, 2004.
- ANDREWS, Z. B.; DIANO, S.; HORVATH, T. L. (2005) Mitochondrial uncoupling proteins in the CNS: in support of function and survival. *Nat Rev Neurosci* 6:829–840
- ARCO, A.; SASTRÚSTEGUI, J. New mitochondrial carriers: an overview. *Cell. Mol. Life Sci.* v. 62, p. 2204–2227, 2005.
- ARSENIEVIC, D.; ONUMA, H.; PECQUEUR, C.; RAIMBAULT, S.; MANNING, B. S.; MIROUX, B.; COUPLAN, E.; ALVES-GUERRA, M. C.; GOUBERN, M.; SURWIT, R. et al. (2000) Disruption of the uncoupling protein-2 gene in mice reveals a role in immunity and reactive oxygen species production. *Nat Genet* 26:435–439
- ASADA, K. The water-water cycle in chloroplasts: scavenging of active oxygens and dissipation of excess photons. *Annual Review of Plant Physiology and Plant Molecular Biology*, Palo Alto, v. 50, p. 601-639, 1999.
- BAILEY; T.L.; ELKAN, C. Fitting a mixture model by expectation maximization to discover motifs in biopolymers. (1994) *Proc. Second Intl. Conf. Intell. Syst., Mol. Biol.* pp. 28-36, Menlo Park , Calif: AAAI Press.
- BAILLY, C.; BENAMAR, A.; CORBINEAU, F.; CÔME, D. Free radical scavenging as affected by accelerated ageing and subsequent priming in sunflower seeds. *Physiologia Plantarum*, Lund, v.104, p.626-652, 1998.
- BAILEY; T.L.; GRIBSKOV, M. Combining evidence using p-values: application to sequence homology searches. *Bioinformatics*, v. 14, p. 48-54, 1998.
- BARTELS, D. Targeting detoxification pathways: an efficient approach to obtain plants with multiple stress tolerance? *Trends in Plant Science*, Kidlington, v. 6, p. 284-286, 2001.
- BARTELS, D.; SUNKAR, R. Drought and salt tolerance in plants. *Critical Reviews in Plant Sciences*, Boca Raton, v. 24, p. 23-58, 2005.
- BECK, E.H.; FETTIG, S.; KNAKE, C.; HARTING, K.; BHATTARAI, T. Specific and unspecific responses of plants to cold and drought stress. *Journal of Biosciences*, Bangalore, v. 32, n. 3, p. 501-510, 2007.

BERARDI, Marcelo J. et al. Mitochondrial uncoupling protein 2 structure determined by NMR molecular fragment searching. **Nature**, v. 476, n. 7358, p. 109-113, 2011.

BERGEROT, Caroline. Cozinha Vegetariana: A soja no seu dia-a-dia. São Paulo: Cultrix, 2003, 383 p.

BLACK, R. J. Complexo soja: fundamentos, situação atual e perspectiva. In: CÂMARA, G. M. S. (Ed.). Soja: tecnologia de produção II. Piracicaba: ESALQ, p.118, 2000.

BLANC G, BARAKAT A, GUYOT R, COOKE R, DELSENY M. 2000. Extensive duplication and reshuffling in the *Arabidopsis* genome. *The Plant Cell* 12, 1093–1101.

BOARD, P.G.; PIERCE, K.; COGGAN, M. Expression of functional coagulation factor XIII in *Escherichia coli*. **Thromb Haemost**. 1990;63(2):235-40.

BONATO, Emídio Rizzo; VELLO, Natal Antonio. Aspectos genéticos do tempo para o florescimento em variantes naturais de soja. *Pesquisa Agropecuária Brasileira*. 1999, v. 34, n. 6, pp. 988-993.

BONETTI, L. P. Distribuição da soja no mundo: origem, história e distribuição. In: MIYASAKA, S.; MEDINA, J.C. (Ed.). A soja no Brasil. Campinas: ITAL, p. 1-6, 1981.

BORECKÝ J.; MAIA, I.G.; ARRUDA, P. Mitochondrial uncoupling proteins in mammals and plants, **Biosci Rep**, v.21, p.201-212, 2001a.

BORECKÝ, J., MAIA, I.G.;COSTA, A.D.; JEŽEK, P.; CHAIMOVICH, H. Functional reconstitution of *Arabidopsis thaliana* plant uncoupling mitochondrial protein (AtPUMP1) expressed in *Escherechia coli*. *FEBS Lett.*, v. 505, p. 240-44, 2001b.

BORECKÝ, J.; NOGUEIRA, F.T.S.; DE OLIVEIRA, K.A.P.; MAIA, I.G.; VERCESI, A.E.; ARRUDA, P. The plant energy-dissipating mitochondrial systems: depicting the genomic structure and expression profiles of the gene families of uncoupling protein and alternative oxidase in monocots and dicots, **J Exp Bot**, v.57, p.849-864, 2006.

BORECKÝ, J., VERCESI, A.E. Plant Uncoupling Mitochondrial Protein and Alternative Oxidase: Energy Metabolism and stress. *Biosc. Rep.*, v. 25, p. 3-4, 2005.

BOSS, O.; SAMEC, S.; PAOLONI-GIACONINO, A.; ROSSIER, C.; DULOO, A.; SEYDOUX, J.; MUZZIAN, P.; GIACOBINO, J.P. Uncoupling protein-3: a new member of the mitochondrial carrier family with tissue-specific expression. *FEBS Lett*, v. 408, p. 39-42, 1997.

BOUILLAUD, F.; ARECHAGA, I.; PETIT, P.X.; RAIMBAULT, S.; LEVIMEYRUEIS, C.; CASTEILLA, L.; LAURENT, M.; RIAL, E.; RICQUIER, D. A sequence related to a DNA recognition element is essential for the inhibition by nucleotides of proton transport through the mitochondrial uncoupling protein. *The EMBO J.* v.13 (8), p. 1990-1997, 1994.

BOWLER, C.; VANMONTAGU, M.; INZÉ, D. Superoxide dismutase and stress tolerance. *Annual Review of Plant Physiology and Plant Molecular Biology*, 43:83-116, 1992.

BRAND, M. D. AFFORTIT, C.; ESTEVES, T.C.; GREEN, K.; LAMBERT, A.J.; MIWA, S. PAKAY, J.L.; PARKER, N. Mitochondrial superoxide: Production, biological effects, and activation of uncoupling proteins. *Free Rad. Biol. Med.* v. 37, p. 755-767, 2004.

BRANDALISE, M., MAIA, I.G., BORECKÝ, J., VERCESI, A.E., ARRUDA, P. Overexpression of Plant Uncoupling Mitochondrial Protein in Transgenic Tobacco Increases Tolerance to Oxidative Stress. *J.Bioenerg. Biomemb.*, v. 35 (3), 2003

BRAY, E. Genes commonly regulated by water-deficit stress in *Arabidopsis thaliana*. *Journal of Experimental Botany*, Oxford, v. 55, n. 407, Nov. 2004.

BUSAM, G.; KASSEMEYER, H. H.; MATTERN, U. Differential expression of chitinases in *Vitis vinifera* L. responding to systemic acquired resistance activators of fungal challenge. *Plant Physiology*, Rockville, v.115, p.1029-1038, 1997.

CALBO, M. E. R.; MORAES, J. A. 2000. Efeitos da deficiência de água em plantas de *Euterpe oleracea* (açaí). *Revta brasil. Bot.*, **23**: 225-230.

CAMPBELL, M.K. Biochemistry. Fort Worth, USA: Harcourt Brace Jovanovich College Publishers, 1991. 622 p.

CANNON, B.; SHABALINA, I.G.; KRAMAROVA, T. V. PETROVIC, N.; NEDERGAARD. Uncoupling protein: a role in protection against reactive oxygen species – or not? *Biochim. Bioph. Acta*. v. 1757(5-6), p. 449-458, 2006.

CASAGRANDE, E. C.; FARIAS, J. R. B.; NEUMAIER, N.; OYA, T.; PEDROSO, J.; MARTINS, P. K.; BRETON, M. C.; NEPOMUCENO, A. L. Expressão gênica diferencial durante déficit hídrico em soja. *Revista Brasileira de Fisiologia Vegetal* [online], Campinas, v. 13, n. 2, p. 168-184, 2001.

CASTILLO-DAVIS, C. I.; MEKHEDOV, S. L.; HARTL, D. L. KOONIN, E. V.; KONDRAHOV, F. A. Selection for short introns in highly expressed genes. *Nat Genet.* v. 31, p. 415-418, 2002.

CAVALHEIRO, R.A.; FORTES, F.; BORECKÝ, J.; FAUSTINONI, V.C.; SCHREIBER, A.Z.; VERCESI, A.E. Respiration, oxidation phosphorylation, and uncoupling protein in *Candida albicans*. *Braz. J. Med. Biol. Res.* v. 37, p. 1455-61, 2004.

CHAQUI, A.; MAZHOUDI, S.; GHORBAL, M.H.; EL FERZANI, E. Cadmium and zinc induction of lipid peroxidation and effects on antioxidant enzymes activities in bean (*Phaseolus vulgaris* L.). *Plant Science*, Madison, v.127, p.139-147, 1997.

CHAVES, M.M.; MAROCO, J.P.; PEREIRA, J.S. Understanding plant responses to drought – from genes to the whole plant. *Functional Plant Biology*, Victoria, v. 30, p. 239-264, 2003.

CHEONG, Y. H.; CHANG, H. S.; GUPTA, R.; WANG, X.; ZHU, T. *et al.* 2002. Transcriptional profiling reveals novel interactions between wounding, pathogen, abiotic stress, and hormonal responses in *Arabidopsis*. *PlantPhysiol.* 129:661-77

- CHUNG, G.; SINGH, R.J. Broadening the Genetic Base of Soybean: A Multidisciplinary Approach. *Critical Reviews in Plant Sciences*, Boca Raton, v. 27, n.5, p. 295-341, 2008.
- CLIFTON, R.; MILLAR, A. H.; WHELAN, J. (2006) *Biochim Biophys Acta* 1757:730–741
- CONSIDINE, M.J.; GOODMAN, M.; ECHTAY, K.S.; LALOI, M. WHELAN, J. Superoxide stimulates a proton leak in potato mitochondria that is related to the activity of uncoupling protein. *J. Biol. Chem.* v. 278, p. 22298-302, 2003.
- COSTA NETO, P. R.; ROSSI, L. F. S. Produção de biocombustível alternativo ao óleo diesel através da transesterificação de óleo de soja usado em fritura. *Química Nova*, v.23, p. 4, 2000.
- DICKISON, W.C. 2000. **Integrative Plant Anatomy**. USA, Academic Press. 533p.
- DIVAKARUNI; A.S.; BRAND, M.D. The Regulation and Physiology of Mitochondrial Proton Leak. *Physiol.* v. 26, p. 192-205, 2011.
- DONADELLI, M.; DANDO, I.; FIORINI, C.; PALMIERI, M. (2014) UCP2, a mitochondrial protein regulated at multiple levels. *Cell Mol Life Sci* 71: 1171-90.
- ECHTAY, K. S. (2007) Mitochondrial uncoupling proteins—what is their physiological role? *Free Radic Biol Med* 43:1351–1371
- EMBRAPA - Empresa Brasileira de Pesquisa Agropecuária; Tecnologias de Produção de Soja Região Central do Brasil 2004 - A soja no Brasil. Embrapa Soja, Sistema de Produção, N° 1. Disponível em: <www.cnpso.embrapa.br/producaosoja/SojanoBrasil.htm> Acesso em: 02/04/2015.
- EMBRAPA. Sistema de produção 11: Tecnologias de produção de soja – região central do Brasil 2007. Londrina: EMBRAPA SOJA, 2006, 225p.
- EMBRAPA. Tecnologias de Produções de Soja - Região Central do Brasil 2008. Londrina: Embrapa Soja: Embrapa Cerrados: Embrapa Agropecuária Oeste, 2008. 208 p. (Embrapa Soja, Sistema de Produções, 12).
- FEHR, W.R.; CAVINESS, C. E. Stages of soybean development. Ames: Iowa State University of Science and Technology, 1977, 11p.
- FLEURY, C.; NEVERONA, M.; COLLINS, S.; RAIMBAULT, S. CHAMPIGNY, O. Uncoupling protein-2: a novel gene linked to obesity and hyperinsulinemia. *Nat. Genet.* v. 15, p. 269-272, 1997.
- FLEXAS, J.; MEDRANO, H. Drought-inhibition of photosynthesis in C3 plants: stomatal e non-stomatal limitations revisited. *Annals of Botany*, Oxford, v. 89, p. 183-189, 2002.
- Force A., Cresko W. A., Pickett F. B., Proulx S. R., Amemiya C. and LynchM.1999 The origin of subfunctions and modular gene regulation. *Genetics* 170,433–446.

FOYER, C.H.; LOPEZ-DELGADO, H.; DAT, J.F.; SCOTT, I.M. Hydrogen peroxide and glutathione-associated mechanisms of acclimatory stress tolerance and signalling. *Physiologia Plantarum*, Lund, v.100, p.241-254, 1997.

FOYER, C.H; NOCTOR, G. Oxygen processing in photosynthesis: regulation and signalling. *New Phytologist*, 146:359-388, 2000.

FRIDELL, Y-W. C.; SÁNCHEZ-BLANCO, A.; SILVIA, B. A.; HELFAND, S. L. (2004) Functional characterization of a *Drosophila* mitochondrial uncoupling protein. *J. Bioenerg. Biomembr.* 36:219–28

GARANTIZADO, F.E.A.; COSTA, J.H.; MAIA, I.G.; FERNANDES DE MELO, D. Expressão diferencial dos genes *VuUCP1a* e *VuUCP1b* em caupi sob estresse salino. *Rev. Ciênc. Agron.* v.42 (2), p. 404-408, 2011.

GARLID, K. D.; OROSZ, D.E.; MODRIANSKÝ, M.; VASSANELLI, S. JEZEK, P. On the mechanism of fatty acid-induced proton transport by mitochondrial uncoupling protein. *J. Biol. Chem.* v. 270, p. 2615-2620, 1996.

GARLID, K. D.; JABUREK, M.; JEZEK, P.; VARECHA, M. (2000) How do uncoupling proteins uncouple? *Biochim Biophys Acta* 1459:383–389

GIANNOPOLITIS, C.N.; RIES, S.K. Superoxide dismutases. 1. Occurrence in higher plants. *Plant Physiology*, Rockville, v.59, p.309-314, 1977.

GRAZIANO, J. R. Manual Técnico das Culturas – CATI, 2^a ed., Graça D'Auria, 1997, p. 457 - 516.

GREGGAINS, V.; FINCH-SAVAGE, W.E.; QUICK, W.P.; ATHERTON, N.M. Metabolism-induced free radical activity does not contribute significantly to loss of viability in moist-stored recalcitrant seeds of contrasting species. *New Phytologist*, Lancaster, v.148, p.267-276, 2000.

GURLEY, T. 1979. Sequence organization of the soybean genome. *Biochem. Biophys. Acta* 561:167-183.

HANÁK, Petr; JEŽEK, Petr. Mitochondrial uncoupling proteins and phylogenesis–UCP4 as the ancestral uncoupling protein. *FEBS letters*, v. 495, n. 3, p. 137-141, 2001.

HARDEGREE, S. P.; EMMERICH, W. E. Seed germination response to polyethylene glycol solution depth. *Seed Science and Technology*, v. 22, n. 1, p. 1-7, 1994.

HARDT, M.; LAINE, R. A. Mutation of active site residues in the chitin-binding domain ChBDChiA1 from chitinase A1 of *Bacillus circulans* alters substrate specificity: use of a green fluorescent protein binding assay. *Arch Biochem Biophys.* 2004;426(2):286-97.

HOAGLAND D, ARNON DI. The water culture method for growing plants without soil. California Agriculture Experimental Station Circular 1950. 347 p.

HORVÁTH, E.; PÁL, M.; SZALAI, G.; PÁLDI, E.; JANDA, T. Exogenous 4-hydroxybenzoic acid and salicylic acid modulate the effect of short-term drought and freezing stress on wheat plants, *Biol. Plant.* 51, 480–487, 2007.

HORVATH, E.; SZALAI, G.; JANDA, T. Induction of abiotic stress tolerance by salicylic acid signaling. *Journal Plant Growth Regulation*, v. 26, p. 290-300, 2007.

HU, R.; FAN, C.; LI, H.; ZHANG, Q. F.; FU, Y. F. (2009) Evaluation of putative reference genes for gene expression normalization in soybean by quantitative real-time RT-PCR. *BMC Mol Biol* 10:93

ITO, K. Isolation of two distinct cold-inducible cDNAs encoding plant uncoupling proteins from the spadix of skunk cabbage (*Symplocarpus foetidus*). *Plant Sci.* v. 149, p. 167-73, 1999.

ITO, M.F.; TANAKA, M.A. de S. Soja: principais doenças causadas por fungos, bactérias e nematóides. Campinas: Fundação Cargill, 1993. 234p.

JARMUSZKIEWICZ, W.; BEHRENDT, M.; NAVET, R.; SLUSE, F. E. 2002. Uncoupling protein and alternative oxidase of *Dictyostelium discoideum*: occurrence, properties and protein expression during vegetative life and starvation-induced early development. *FEBS Lett.* 532:459–64

JARMUSZKIEWICZ, W.; MILANI, G.; FORTES, F.; SCHREIBER, A. Z.; SLUSE, F. E.; *et al.* (2000) First evidence and characterization of an uncoupling protein in fungi kingdom: CpUCP of *Candida parapsilosis*. *FEBS Lett.* 467:145–49

JARMUSZKIEWICZ, W.; SLUSE-GOFFART, C. M.; HRYNIEWIECKA, L.; SLUSE, F. E. 1999. Identification and characterization of a protozoan uncoupling protein in *Acanthamoeba castellanii*. *J. Biol. Chem.* 274:23198–220

JEŽEK, P.; COSTA, A.D.T.; VERCESI, A.E. Evidence for anion-translocating plant uncoupling mitochondrial protein in potato mitochondria. *J. Biol. Chem.* v.. 271, p. 32743-48, 1996.

JEZEK, P.; URBÁNKOVÁ, E. Specific sequence motifs of mitochondrial uncoupling proteins. *IUBMB Life* v. 49, p. 63-70, 2000.

JONES R, RUAS M, GREGORY F, MOULIN S, DELIA D, MANOUKIAN S, ROWE J, BROOKES S, PETERS G. A CDKN2A mutation in familial melanoma that abrogates binding of p16INK4a to CDK4 but not CDK6. *Cancer Res.* 2007;67(19):9134-41.

JUNG, S.; KIM, J.S.; CHO, K.Y.; TAE, G.S.; KANG, B.G. Antioxidant responses of cucumber to photoinhibition and oxidative stress induced by norflurazon under high and low PPFDs. *Plant Science*, Madison, v.153, p.145-154, 2000.

KABAT, A.P.; ROSE, R.W. Molecular identification of uncoupling proteins 2 and 3 in carnivorous marsupial, Tasmanian devil (*Sarcophilus harrisii*). *Physiol. Biochem Zool.* v. 77 (1), p. 109-115, 2004.

- KELLER, P. A.; LEHR, L.; GIACOBINO, J. P.; CHARNAY, Y.; ASSIMACOPOULOSJEANNET, F.; GIOVANNINI, N. (2005) Cloning, ontogenesis, and localization of an atypical uncoupling protein 4 in *Xenopus laevis*. *Physiol Genomics* 22:339–345
- KERBAUY, G. B. *Fisiologia vegetal*. Rio de Janeiro: Guanabara Koogan, 2008.
- KIIHL, R.A.S.; GARCIA, A. The use of the long-juvenile trait in breeding soybean cultivars. In: WORLD SOYBEAN RESERACH CONFERENCE, 4, p. 994-1000, 1989.
- Kim, E., Goren, A., Ast, G. (2007). Alternative splicing: current perspectives. *BioEssays*. 30(1), 38-47.
- KLEIN, S. L.; STRAUSBERG, R. L.; WAGNER, L.; PONTIUS, J.; CLIFTON, S. W.; RICHARDSON, P. 2002. Genetic and genomic tools for *Xenopus* research: the NIH *Xenopus* initiative. *Dev. Dyn.* 225:384–91
- KLINGENBERG, M. Mechanism and evolution of the uncoupling protein of brown adipose tissue. *Trends Biochem. Sci.* v. 15, p. 108-12, 1990.
- KONG, D.; VONG, L.; PARTON, L. E.; YE, C.; TONG, Q.; HU, X.; CHOI, B.; BRUNING, J. C.; LOWELL, B. B. (2010) Glucose stimulation of hypothalamic MCH neurons involves K(ATP) channels, is modulated by UCP2, and regulates peripheral glucose homeostasis. *Cell Metab* 12:545–552
- KOUKOURITAKI SB, POCH MT, HENDERSON MC, SIDDENS LK, KRUEGER SK, VANDYKE JE, WILLIAMS DE, PAJEWSKI NM, WANG T, HINES RN. Identification and functional analysis of common human flavincontaining monooxygenase 3 genetic variants. *J Pharmacol Exp Ther.* 2007;320(1):266-73
- KOVTUN, Y.; CHIU, W-L.; TENA, G., SHEEN, J. (2000) Functional analysis of oxidative stress-activated mitogen-activated protein kinase cascade in plants. *Proc Natl Acad Sci USA* 97: 2940–2945
- KOWALTOWSKI, A.J.; COSTA, A.D.T.; VERCESI, A.E. Activation of the potato plant uncoupling mitochondrial protein inhibits reactive oxygen species generation by the respiratory chain, **FEBS Lett**, v.425, p.213-216, 1998.
- KRAUSS, S.; ZHANG, C. Y.; LOWELL, B. B. (2005) The mitochondrial uncoupling-protein homologues. *Nat Rev Mol Cell Biol* 6:248–261
- KREPS, J. A.; WU, Y.; CHANG, H. S.; ZHU, T.; WANG, X.; *et al.* 2002. Transcriptome changes for *Arabidopsis* in response to salt, osmotic, and cold stress. *PlantPhysiol.* 130:2129–41
- KRUMBHOLZ, M.; KOEHLER, K.; HUEBNER, A. Cellular localization of 17 natural mutant variants of ALADIN protein in triple A syndrome - shedding light on an unexpected splice mutation. *Biochem Cell Biol.* 2006;84(2):243-9.

- KÚC, J. Development and future direction of induced systemic resistance in plants. *Crop Protection*, Oxford, v.19, p.859-861, 2000.
- LALOI, M. Plant mitochondrial carrier: an overview. *Cell. Mol. Life. Sci.* v. 56, p. 918944, 1999.
- LALOI, M.; KLEIN, M.; RIESMEIER, J.W.; MULLER-ROBER, B.; FLEURY, C.; BOUILLAUD, F.; RICQUIER, D. A plant cold-induced uncoupling protein. *Nature*. v. 389, p. 135-136, 1997.
- LAMB, C.; DIXON, R. A. (1997) The oxidative burst in plant disease resistance. *Annu Rev Plant Physiol Plant Mol Biol* 48: 251–275
- LAMBERS, H; CHAPIN, F.S; PONS, T.L. 1998. **Plant Physiological Ecology**. New York, Springer-Verlag. 540p.
- Lareau, L.F., Green, R.E., Bhatnagar, R.S., Brenner, S.E. (2004). The evolving roles of alternative splicing. *Current Opinion in Structural Biology*.14(3), 273–282.
- LAWLOR, D.W. Limitation to photosynthesis in water-stressed leaves: stamata vs metabolism and the role of ATP. *Annals of Botany*, Oxford, v. 89, p. 871-885, 2002.
- LAWLOR, D.W.; CORNIC, G. Photosynthetic carbon assimilation and associated metabolism in relation to water deficit in higher plants. *Plant, Cell and Environment*. Oxford, v. 25, p. 275-294, 2002.
- LAZZAROTTO, J. J.; HIRAKURI, M. H. Evolução e perspectivas de desempenho econômico associadas com a produção de soja nos contextos mundial brasileiro. Londrina: Embrapa Soja, p. 46, 2010. (Embrapa Soja. Documentos, 319).
- LEDESMA, A.; DE LACOBA, M. G.; RIAL, E. (2002) The mitochondrial uncoupling proteins. *Genome Biol* 3:RevIewS3015
- LEI, W.; TONG, Z.; SHENGYAN, D. Effect of drought and rewetting on photosynthetic physioecological characteristics of soybean. *Acta Ecologica Sinica*, Amsterdam, v. 26, n. 7, p. 2073-2178, 2006.
- LIVAK KJ, SCHMITTEN TD. Analysis of gene expression data using real-time quantitative PCR and the 2(-Delta Delta C (T)) method. *Methods* 2001; 25: 402-408.
- MAGADUM, S.; BANERJEE, U.; MURUGAN, P.; GANGAPUR, D.; RAVIKESAVAN, R. (2013). Gene duplication as a major force in evolution. *Journal of genetics*,92(1), 155-161.
- MAIA, I.G.; BENEDETTI, C.E.; LEITE, A.; TURCINELLI, S.R.; VERCESI, A.E.; ARRUDA, P. AtPUMP: an *Arabidopsis* gene encoding a plant uncoupling mitochondrial protein. *FEBS Lett.*, v. 429, p. 403-406, 1998.
- MALLICK, N; MOHN, F.H. Reactive oxygen species: response of alga cells. *Journal of Plant Physiology*, 157:183-193, 2000.

MAO, W.G.; YU, X.X.; ZHONG, A.; BRUSH, J.; SHERWOOD, S.W.; ADAMS, S.H.; PAN, G. UCP4, a novel brain-specific mitochondrial protein that reduces membrane potential in mammalian cells. *FEBS Lett.* v. 443, p. 326-330, 1999.

MARSHALL O. Per primer v 1. 1. 20. 2003-2011.

MASCARENHAS, H.A.A.; TANAKA, R.T.; WUTKE, E.B.; KIKUTI, H. Nitrogênio: a soja aduba a lavoura da cana. *O Agronômico*. Campinas, 2005, n. 57, v. 1.

MASTERSON, J. 1994 Stomatal size in fossil plants: evidence for polyploidy in majority of angiosperms. *Science* 264, 421-423.

MAXWELL, D.P.; WANG, Y.; McINTOSH, L. The alternative oxidase lowers mitochondrial reactive oxygen production in plant cells. *Proced. Nat. Acad. Scienc. USA*. V. 96, p. 8271-8276, 1999.

MAZHOUDI, S.; CHAOUI, A.; GHORBAL, M.H.; EL FERZANI, E. Response of antioxidant enzymes excess copper in tomato (*Lycopersicon esculentum* Mill). *Plant Science*, Madison, v.127, p.129-137, 1997.

MENESES, C. H. S. G., LIMA L. H. G. M.; LIMA M. M. A.; VIDAL M. S. Aspectos genéticos e moleculares de plantas submetidas ao déficit hídrico. *Revista Brasileira de Oleaginosas e Fibrosas*, Campina Grande. v. 10, n. 1/2, p. 1039-1072, ago. 2006.

METRAUX, J. P. Systemic acquired resistance and salycilic acid: current state of knowledge. *European Journal of Plant Pathology*, v. 107, p. 13-18, 2001.

MITTLER, R. Abiotic stress, the field environment and stress combination. *Trends in Plant Science*, Kidlington, v. 11, n. 1, p. 15-19, Jan. 2006.

Modrek, B.; Lee, C.J. (2003). Alternative splicing in the human, mouse and rat genomes is associated with an increased frequency of exon creation and/or loss. *Nature Genetics*. 34(2), 177-180.

MOLLER, I.M. Plant mitochondria and oxidative stress: electron transport , NADPH turnover, and metabolism of reactive oxygen species. *Annu. Rev. Plant. Physiol. Mol. Biol.* v. 52, p. 561-591, 2001

MOU, Z.; FAN, W.; DONG, X. (2003) Inducers of plant systemic acquired resistance regulate NPR1 function through redox changes. *Cell* 113: 935-944

MÜLLER, L. Morfologia, anatomia e desenvolvimento. In: MIYASAKA, S.; MEDINA, J.C., (Eds). *A soja no Brasil*. 1981, 1 ed. P. 65-104.

MULLER, P.; LI, X-P.; NIYOGI, K.K. Non-photochemical quenching: a response to excess light energy. *Plant Physiology*, Rockville, v. 125, p. 1558-1566, 2001.

MURAYAMA, S.; HANDA, H. 2000. Isolation and characterization of cDNAs encoding mitochondrial uncoupling proteins in wheat: wheat UCP genes are not regulated by low temperature. *Mol. Gen. Genet.* 264:112-18

- NAVET, R.; DOUETTE, P.; PUTTINE-MARIQUE, F. ; SLUSE-GOFFART, C.M.; SLUSE, F.E. Activation and regulation of plant uncoupling protein in potato tuber mitochondria . FEBS Lett. v. 579, p. 4437-4442, 2005.
- NI Z., KIM E. D. , HA M., LACKEY E., LIU J., ZHANG Y. et al. 2009 Altered circadian rhythms regulate growth vigour in hybrids and allopolyploids.Nature457,327–331
- NICHOLLS, D. G. A history of UCP1. Biochem. Soc. Trans 29, 751–755 (2001).
- NICHOLLS;, D.G.; LOCKE, R. Thermogenic mechanisms in brown fat. Physiol. Rev. V. 64, P. 1–64, 1984.
- NICHOLLS, D.G.; RIAL, E. A history of the first uncoupling protein, UCP1, **J Bioenerg Biomembr**, v.31, p.399-406, 1999.
- NOGUEIRA, F.T.S.; BORECKÝ, J.; VERCESI, A.E.; ARRUDA, P. Genomic structure and regulation of mitochondrial uncoupling protein genes in mammals and plants. Biosc. Rep. v. 25, p. 209-225, 2005.
- NOGUEIRA, F.T..S.; SASSAKI, F.T.; MAIA, I.G. Arabidopsis thaliana Uncoupling Proteins (AtUCPs): insights into gene expression during development and stress response and epigenetic regulation. **J Bioenerg Biomembr.** v. 43, p. 71–79, 2011.
- NOWAK M. A., BOERLIJST M. C.; SMITH J. M. 1997 Evolution of genetic redundancy. Nature388,167–171.
- ODE H, MATSUYAMA S, HATA M, NEYA S, KAKIZAWA J, SUGIURA W, HOSHINO T. Computational characterization of structural role of the non-active site mutation M36I of human immunodeficiency virus type 1 protease. **J Mol Biol.** 2007;370(3):598-607.
- ONDA, Y.; KATO, Y.; ABE, Y.; ITO, T.; MOROHASHI, M.; ITO, Y.; ICHIKAWA, M.; MATSUKAWA, K.; KAKIZAKI, Y.; KOIWA, H.; ITO, K. Functional coexpression of the mitochondrial alternative oxidase and uncoupling protein underlies thermoregulation in the thermogenic florets of skunk cabbage, **Plant Physiol.** v.146, p.636-645, 2008.
- ORACZ, KRYSTYNA *et al.* ROS production and protein oxidation as a novel mechanism for seed dormancy alleviation. **The Plant Journal**, v. 50, n. 3, p. 452-465, 2007.
- Ortiz MA, Light J, Maki RA, Assa-Munt N. **Mutation analysis of the Pip interaction domain reveals critical residues for protein-protein interactions.** Proc Natl Acad Sci U S A. 1999;96(6):2740-5.
- PAIVA, R.; OLIVEIRA, L. M. Fisiologia e Produção Vegetal. Lavras: UFLA, 2006. 104 p.
- PALMIERI, L.; ROTTENSTEINER, H.; GIRZALSKY, W.; SCARCIA, P.; PALMIERI, F.; ERDMANN, R. Identification and functional reconstitution of the yeast peroxisomal adenine nucleotide transporter. **EMBO J.** v. 20, p. 5049–5059, 2001.

PALMIERI, L.; PICAULT, N.; ARRIGONI, R.; BESIN, E.; PALMIERI, F.; HODGES, M. Molecular identification of three *Arabidopsis thaliana* mitochondrial dicarboxylate carrier isoforms: organ distribution, bacterial expression, reconstitution into liposome sans functional characterization. *Biochem. J.* v. 410, p. 621-629, 2008.

PAULA, S. R. de, FAVERET, P. Panorama do Complexo Soja. 1998

PASTORE, D.; FRATIANNI, A.; DI PEDE, S.; PASSARELLA, S. Effects of fatty acids, nucleotides and reactive oxygen species on durum wheat mitochondria, **FEBS Lett**, v.470, p.88-92, 2000.

PEBAY-PEYROULA, E., DAHOUT-GONZALEZ, C., KAHN, R., TRÉZÉGUET, V., LAUQUIN, G. J. M., & BRANDOLIN, G. (2003). Structure of mitochondrial ADP/ATP carrier in complex with carboxyatractyloside. *Nature*, 426(6962), 39-44.

PICAULT, N.; HODGES, M.; PALMIERI, L.; PALMIERI, F. The growing family of mitochondrial carriers in *Arabidopsis*. *TRENDS in Plant Sci.* v.9 (3), p. 1360-1385, 2004.

PIMENTEL, C. A relação da planta com a água. Seropédica: Edur, 2004. 191p.

PINHEIRO, M. M.; SANDRONI, M.; LUMMERZHEIM, M.; OLIVEIRA, D.E. A defesa das plantas contra as doenças. Revista Ciência Hoje, São Paulo, v.147, n.1, p. 25-31, 1999.

PLAXTON, W. The organization and regulation of plant glycolysis. *Annual Review of Plant Physiology*, v. 47, p.185-214, 1996.

POPOV, V. N.; EPRINTSEV, A. T.; MALTSEVA, E. V. Activation of Genes Encoding Mitochondrial Proteins Involved in Alternative and Uncoupled Respiration of Tomato Plants Treated with Low Temperature and Reactive Oxygen Species. *Russ. J. Plant Physiol.*, 2011, v.58 (5), pp. 914–920, 2011.

RAIMBAULD, S.; DRIDI, S.; DENJEAN, F.; LACHUER, J.; COUPLAN, E.; *et al.* 2001. An uncoupling protein homologue putatively involved in facultative muscle thermogenesis in birds. *Biochem. J.* 353:441–44

RAMPINO, P.; PATALEO, S.; GERERDI, C.; MITA, G.; PERROTTA, C. Drought response in wheat: physiological and molecular analysis of resistant and sensitive genotypes. *Plant, Cell and Environment*, Oxford, v. 29, p. 2143-2152, 2006.

RIAL, R.; ZARDOYA, R. Oxidative stress, thermogenesis and evolution of uncoupling proteins. *J. Biol.* v, 8(58), p. 1-5, 2009.

RIAL, E.; RODRÍGUEZ-SÁNCHEZ, L.; GALLARDO-VARA, E.; ZARAGOZA, P.; MOYANO, E.; GONZÁLEZ-BARROSO, M. M. Lipotoxicity, fatty acid uncoupling and mitochondrial carrier function. *Bioch. Biophys. Acta*, V. 1797, p. 800–806, 2010.

RICHARD, D.; PICARD, F. (2011) Brown fat biology and thermogenesis. *Front Biosci* 16:1233–1260

RICQUIER, D., BOUILAUD, F., The uncoupling protein homologue: UCP1, UCP2, UCP3, StUCP e AtUCP. Biochem. J., v. 345, p. 161-179, 2000.

RICQUIER, D.; KADER, J.C. Mitochondrial protein alteration in active brown fat: a sodium dodecyl sulfate-polyacrylamide gel electrophoretic study. Biochem. Biophys. Res. Commun. v. 73, p. 577-83, 1976.

ROSSI, V.S. Mecanismo antioxidante em plantas.10º mostra acadêmica UNIMEP.10º Simpósio de ensino de graduação, 2012. <www.unimep.br/phpg/mostraacademica/anais/10mostra/4/31.pdf> visualizado em 06.04.2015

SANCHIS, D.; FLEURY, C.; CHOMIKI, N.; GOUBERN, M.; HUANG, Q.L.; NEVEROVA, M.; GREGOIRE, F.; EASLICK, J.; RAIMBAULT, S.; LEVIMEYRUEIS, C.; MIROUX, B.; COLLINS, S.; SELDIM, M.; RICHARD, D.; WARDEN, C.; BOUILAUD, F.; RICQUIER, D. BMCP1, a novel mitochondrial carrier with high expression in the central nervous system of humans and rodents, and respiration uncoupling protein activity in recombinant yeast. J. Biol. Chem. v. 273, p. 34611-34615, 1998.

SAITOU N, NEI M. The Neighbor-Joining method-a new method for reconstructing phylogenetic trees. Mol Biol Evol 1987; 4: 406-25.

SANTOS, M. E. P. **Evolução por duplicação génica: estrutura e função da classe FoxP.** Dissertação (Mestrado em Biologia Evolutiva e do Desenvolvimento) – Faculdade de Ciências, Universidade de Lisboa, 2007.

SANTOS, R.F.; CARLESSO, R. Déficit hídrico e os processos morfológicos e fisiológicos das plantas. Revista Brasileira de Engenharia Agrícola e Ambiental, Campina Grande, v. 2, n. 3, p. 287-294, 1998.

SARAIWA, K. D., DE MELO, D. F., MORAIS, V. D., VASCONCELOS, I. M., COSTA, J. H. (2014). Selection of suitable soybean EF1 α genes as internal controls for real-time PCR analyses of tissues during plant development and under stress conditions. *Plant cell reports*, 33(9), 1453-1465.

SAVIANI, E.E.; da SILVA Jr., A. MARTINS, I.S. Photoaffinity labelling of the uncoupling protein from potato tuber mitochondria. Plant Physiol. Biochem. v. 35, p. 701-706, 1997.

SCANDALIOS, J.G.; ACEVEDO, A.; RUZSA, S. Catalase gene expression in response to chronic high temperature stress in maize. Plant Science, 156:103-110, 2000.

SHARP, P.A. (2009). The Centrality of RNA. Cell, 136(4), 577580.

SHIRLEY BA, STANSSENS P, HAHN U, PACE CN. Contribution of hydrogen bonding to the conformational stability of ribonuclease T1. Biochemistry. 1992;31(3):725-32.

SKULACHEV, V.P. Role of uncoupled and non-uncoupled oxidations in maintenance of safely levels of oxygen and its one-electron reductants. Quart. Rev. Biophys. v. 29, p. 169-202, 1996.

SLUSE, F.E., JARMUSZKIEWICZ, W., NAVET, R., DOUETTE, P., MATHY, G., SLUSE-GOFFART, C.M. Mitochondrial UCPs: New insights into regulation and impact. *Bioq. Et. Biophys. Acta.*, v. 20, p. 1-6, 2006.

SEDIYAMA, T. (Org.). *Tecnologias de produção e usos da soja*. 1. ed. Londrina, PR: Mecenas, 2009, v. 1. 314 p.

SEKI, M.; NARUSAKA, M.; ISHIDA, J.; NANJO, T.; FUJITA, M., et al. 2002. Monitoring the expression profiles of 7000 *Arabidopsis* genes under drought, cold and high-salinity stresses using a full-length cDNA microarray. *PlantJ.* 31:279–92

SIMON-ARECES, J.; DIETRICH, M. O.; HERMES, G.; GARCIA-SEGURA, L. M.; AREVALO, M. A.; HORVATH, T. L. (2012) UCP2 induced by natural birth regulates neuronal differentiation of the hippocampus and related adult behavior. *PLoS ONE* 7:e42911

SCHIMD M, DAVISON TS, HENZ SR, PAPE UJ, DEMAR M, VINGRON M, SCHÖLKOPF B, WEIGEL D, LOHMANN JU (2005) *Nat Genet* 37:501– 506

SMIRNOFF, N.; BRYANT, J.A. DREB takes the stress out of growing up. *Nature Biotechnology*, New York, v. 17, p. 229-230. 1999.

SMITH, A.M.; RANCLIFFE, R.G.; SWEETLOVE, L.J.; Activation and function of mitochondrial uncoupling protein in plants. *J. Biol. Chem.* v. 279, p. 51944-52, 2004.

SONG ES, DAILY A, FRIED MG, JULIANO MA, JULIANO L, HERSH LB. Mutation of active site residues of insulin-degrading enzyme alters allosteric interactions. *J Biol Chem.* 2005;280(18):17701-6.

SOUZA, G. M.; CARDOSO, V. J. M. 2000. Effects of different environmental stress on seed germination. *Seed Science Technology*, 28(3): 621–630.

STUART, J. A.; HARPER, J. A.; BRINDLE, K. M.; BRAND, M. D. (1999) Uncoupling protein 2 from carp and zebrafish, ectothermic vertebrates. *Biochim.Biophys.Acta* 1413:50–54

SUNG, J.M.; JENG, T.L. Lipid peroxidation and peroxide-scavenging enzymes associated with accelerated aging of peanut seed. *Physiologia Plantarum*, Lund, v.91, p.51-55, 1994.

TAIZ, L.; ZEIGER, E. *Fisiologia vegetal*. 4.ed. Porto Alegre: Artmed, 2004. 819p.

TAMBELINI, M.; PEREZ, S. C. J. G. Efeitos do estresse hídrico simulado com peg (6000) ou manitol na germinação de sementes de barbatimão (*Stryphnodendron polypyllum* Mart.). *Revista Brasileira de Sementes*, Pelotas, v. 20, n. 1, p. 226-232, 1998.

TAMURA K, PETERSON D, PETERSON N, STECHER G, NEI M, AND KUMAR S (2011) MEGA5: Molecular Evolutionary Genetics Analysis using Maximum Likelihood, Evolutionary Distance, and Maximum Parsimony Methods. *Molecular Biology and Evolution* 28: 2731-2739.

TIEDE S, CANTZ M, SPRANGER J, BRAULKE T. Missense mutation in the N-acetylglucosamine-1phosphotransferase gene (GNPTA) in a patient with mucolipidosis II induces changes in the size and cellular distribution of GNPTG. *Hum Mutat.* 2006;27(8):830-1.

TOBE, K.; LI, X.; OMASA, K. Seed germination and radicle growth of a halophyte, *Kalidium capsicum* (Chenopodiaceae). *Annals of Botany*, Oxford, v. 85, n. 3, p. 391-396, Mar. 2000.

TORRES, M. A.; JONES, J. D. G.; DANGL, J. L. (2006) Reactive oxygen species signaling in response to pathogens. *Plant Physiol* 141: 373–378

UNG MU, LU B, MCCAMMON JA. E230Q mutation of the catalytic subunit of cAMP-dependent protein kinase affects local structure and the binding of peptide inhibitor. *Biopolymers*. 2006;81(6):428-39.

UEMURA, S. A.; LUO, S.; MORENO, S. N. J.; DOCAMPO, R. 2000. Oxidative phosphorylation, Ca^{2+} transport, and fatty acid-induced uncoupling in malaria parasites mitochondria. *J. Biol. Chem.* 275:9709–15

VAN AKEN O; ZHANG, B, CARRIE C, UGGALLA V, PAYNTER E, GIRAUD E, WHELAN J (2009) Mol Plant 2:1310–1324

VANDESOMPELE J, DE PRETER K, PATTYN F, et al. Accurate normalization of real-time quantitative RT-PCR data by geometric averaging of multiple internal control genes. *Genome Biol* 2002; 3: 18.

VAN WEES, S. C.; CHANG, H. S.; ZHU, T.; GLAZEBROOK, J. 2003. Characterization of the early response of *Arabidopsis* to *Alternaria brassicicola* infection using expression profiling. *Plant Physiol.* 132:606–17

VAN WIJK R, RIJKSEN G, HUIZINGA EG, NIEUWENHUIS HK, VAN SOLINGE WW. HK Utrecht: missense mutation in the active site of human hexokinase associated with hexokinase deficiency and severe nonspherocytic hemolytic anemia. *Blood*. 2003;101(1):345-7.

VENCATO, A. Z., et al. Anuário Brasileiro da Soja 2010. Santa Cruz do Sul: Ed. Gazeta Santa Cruz, p. 144, 2010.

VERCESI, A.E.; MARTINS, I.S.; SILVA, M.A.P.; LEITE, H.M.F.; CUCCOVIA, I.M.; CHAIMOVICH, H. PUMPing plants, **Nature**, v.375, p.24, 1995.

VERCESI, A.E., BORECKY, J., MAIA, I.G., ARRUDA, P., CUCCOVIA, I.M., CHAIMOVICH, H. Plant Uncoupling Mitochondrial Protein. *Annun. Rev. Plant. Biol.*, v. 57, p. 383-404, 2006.

VISSEER, W.; F., VAN ROERMUND C. W., WATERHAM H. R.; WANDERS R. J. Identification of human PMP34 as a peroxisomal ATP transporter. *Biochem. Biophys. Res. Commun.* v. 299, p. 494–497, 2002.

VETTORE AL, DA SILVA FR, KEMPER EL, et al. 2003. Analysis and functional annotation of an expressed sequence tag collection for tropical crop sugarcane. *Genome Research* 13, 2725–2735.

WALLING, L.; DREWS, G. N.; GOLDBERG, R. B. (1986) *Proc Natl Acad Sci USA* 83:2123–2127

WANG, W.; VINOCUR, B.; SHOSEYOV, O.; ALTMAN, A. Biotechnology of plant osmotic stress tolerance: physiological and molecular considerations. *Acta Horticulturae*, The Hague, v. 560, p. 285-292, 2001.

WATANABE, A.; NAKAZONO, M.; TSUTSUMI, N.; HIRAI, A. AtUCP2: a novel isoform of the mitochondrial uncoupling protein of *Arabidopsis thaliana*. *Plant and Cell Physiol.* . v. 40, p. 1160-1166, 1999.

WHITHAM, S. A.; QUAN, S.; CHANG, H. S.; COOPER, B.; ESTES, B. 2003. Diverse RNA viruses elicit the expression of common sets of genes in susceptible *Arabidopsis thaliana* plants. *PlantJ.* 33:271–283

WINKLER, E.; KLINGENBERG, M. Effect of fatty acids on H⁺ transport activity of the reconstituted uncoupling protein. *J. Biol. Chem.* v. 269, p. 2508-2515, 1994.

YAMADA Y, BANNO Y, YOSHIDA H, KIKUCHI R, AKAO Y, MURATE T, NOZAWA Y. Catalytic inactivation of human phospholipase D2 by a naturally occurring Gly901Asp mutation. *Arch Med Res.* 2006;37(6):696-9.

YU, X. X.; BARGER, J. L.; BOYER, B. B.; BRAND, M. D.; PAN, G.; ADAMS, S. H. (2000) Impact of endotoxin on UCP homolog mRNA abundance, thermoregulation, and mitochondrial proton leak kinetics. *Am J Physiol endocrinol Metab* 279:e433–e446

ZHU, X.; GONG, H.; CHEN, G.; WANG, S.; ZHANG, C. Different solute levels in two spring wheat cultivars induced by progressive field water stress at different developmental stages. *Journal of Arid Environments*, London, v. 62, p. 1-14, 2005.

ZHU, Y.; LU, J.; CHEN, F.; LENG, F.; LI, H. Regulation of Thermogenesis in Plants: The interaction of Alternative Oxidase and Plant Uncoupling Mitochondrial Protein. *J. Int. Plant Biol.* v. 53 (1), p. 7-13, 2011.

APÊNDICES

Apêndice 01: Sequências genômicas anotadas com os genes da família multigênica das UCPs em soja (*Glycine max*), bem como de outras leguminosas (*Cajanus cajan*, *Glycine soja*, *Phaseolus vulgaris*, *Medicago truncatula*, *Cicer arietinum*, *Lupinus angustifolius*, *Vigna angularis*, *Vigna radiata*, *Arachis duranensis* e *Arachis ipaensis*), assim como os seus cDNAs deduzidos e as sequências das proteínas deduzidas.

Legenda:

CINZA = região UTR (não traduzida).

VERDE = codón de iniciação.

TURQUESA = codón de terminação.

VERMELHO = junção exon/exon.

SUBLINHADO = localização dos iniciadores

>Glycine_max_UCP1a1 (proteína deduzida)
MVADSKNSDLSFGKIFASSAFSACFAEVCTIPLDTAKVRLQLQKQAVAGDVVS LPKYKGMLGTVGTI
AREEGLSALWKGIVPGLHRQCLYGGRLIGLYEPVKTFYVGKDHDGVPLSKKILAATTGAFAIAAVAN
PTDIVKVRLQAFGKTI PPGVPRRYSGSI NAYSTIVROEGVGAT WTGTI GPNTARNGT TNAAEI LASYDOK

QTILKIPGFTDNVVTHLLAGLGAGFFAVCIGSPDVVKSRMMGDSSYKNTLDCFIKTLKNDGPLAFYK
GFLPNFGRGLGSWNVIMFLTLEQTKKFVKSLESS

>Glycine_max_UCP1a2 (cDNA deduzido)

aataaaggagaacaacctaaaaaaaaaaaaacagcaaagt cagccaagagcaaaaaaccacgtaatcaa
acacccaaacaacgaaaaaaaaaggatatactggaaagaagct caaaacatggggacaaccaccgaat
cacacctttagtcgaggaaggtaaagagaaaagtgaagaaggagaagaaggactcaaatttg
cacacgtaaccttggttcttccaaacactcacc **atg**gtggcagatt **ctaagtccaaatccgac**
ctctttcgccaaaaccttgcagcagt gcttctgtcatgttgcgtgagggtgtactattcctt
tggacactgc当地taggttaggcttcagcttcaaaagcaagctgcaactggatgttagtctccttacct
aaatataaggatgctggaaacagttgcaaccattggcaggaaagaaggcttgcactctggaa
gggcattgtgccagggttacatgtcaatgttgcgttatggaggcttaagaattgggttatatgac**ccctg**
ttaagactttctatgtggggaaagaccatgttggagatgttccattgtcaaagaaaattcttgc
tttacaact **gg**tgctttcaattgcagtggcaatccactgtatcttgcattgtcaaagtttagacttcaagc
agaaggaaaattacctcctgggtttccaggcggtactctggatctttaatgttattcaacaattg
tgagacaggaaaggagttgggctttggactgggcttggcccaatatacgcaagaaatggatcatc
aatgtctgtgaatttagccagctatgtcaagtgaacacagactatttgaaaattccggattcactga
caatgttgcactcatctccttgcgtctgggtttggcagggttttgcggctgtattggctccccag
ttgatgt**gg**taagtcaagaatgtggagattcttagtacaggaacacccttgcattttatcaaa
acattgaagaatgt**gg**gacccttagccttataaagggttcccccattttggacggctggatc
ttggaatgtgatcatgttctaacat**actaa**agggttgcgtcaaagtttagagttgtcc**t**
gagctgagttatcttgagaattttctatgggactgggtgcattgcattgcggatgtggcaacacatttttagggagaaaa
aattggatagtaaatgataatatgttattcatatatactagcttttagcaattgcattatatttgt
gggattgcattgcagtttcatatgattctttaacttattatgacccgagcttggacatgccatgc
cgatt

>Glycine_max_UCP1a2 (proteína deduzida)

MVADSKSKSDLSFGKTFASSAFSACFAEVCTIPLDTAKVRLQLQKQAATGDDVSLPKYKGMLGTVATI
AREEGLSALWKGIVPGLHRQCLYGGLRIGLYDPVKTFYVGKDHDVPLSKKILAFTTGAFIAAVAN
PTDLVKVRLQAEGLPVGVRYYSGSLNAYSTIVRQEGVGALWTGLGPNIARNGIINAAELASYDQVK
QTILKIPGFTDNVVTHLLAGLGAGFFAVCIGSPDVVKSRMMGDSSYRNTLDCFIKTLKNDGPLAFYK
GFLPNFGRGLGSWNVIMFLTLEQTKRFVKSLELS

>Glycine_max_UCP1b1 (cDNA deduzido) Splicing alternativo

cttgtcttgaacttcaactgtcgtaacgc当地aaaaaccattttttcttccctgtgaagccatttt
tcttccttcctttgggtttccatttcatttcattatctcttcatttagttgtgaacatttt
tcggctcgtaacgc**atg**gtggccgggtggcaattccaaatccgacatctccttgcgtggactac
gctagcagtgc当地cgcatgttgc当地ggagggtgtactcttc当地ggacaccgc当地aaatgg
gcttc当地caaaaacaagctgttagttgtgatgtgggaccccttacctaaatatagggttgc当地gg
gaacgggttggaccattgc当地ggagaaggcttgc当地ggactctggaaagggttgc当地gg
catcgtaatgttgaatgggtttaagaattgc当地tatgtggacttgc当地ggatgttgc当地gg
gcctgaccatgttggagatgttccattgtttaaaaaattctcgctggattacaact**gg**gtctatgg
caattgc当地gggaatccactgtatcttgc当地ggatgttgc当地ggacttcaaggc当地gg
ggtgtggccaggcgtaactctggatcattaaatgttgc当地ggatgttgc当地gg
agcacttggactgggattggccaaacatagcaagaaatggcatcattatgtgtactagcc
gctatgtcaagtaaaacagactatttgaaaattctggattcaccgacaatgttgc当地gg
cttgc当地ggacttgc当地ggatgttgc当地ggatgttgc当地gg
aatgtgggagattcgagttacaaacgacccttgc当地ggatgttgc当地gg
ctttgc当地ggatgttgc当地ggacttgc当地gg
ctaactctagaacacagatcataactttgtgatgttgc当地ggatgttgc当地gg
cctatctcatggaaattcttagttatgttgc当地ggatgttgc当地gg
aaaatttgcaaaacaatttttatgtatcaagatgtcaatgtattgtataatgggtttaggaagc
atcttgc当地ggactatgagctgcttcaagataaaacccttccaaactcacttcaacttt
ggcttcatattcataataactcacacttacctttcctatcctataactttca

>Glycine_max_UCP1b1 Splicing alternativo (proteína deduzida)
MVAGGNNSKSDISFAGTYASSAFAACFAEVCTLPLDTAKVRLQLQKQAVVGDVVTLPKYRGLLGTVGTI
AREEGLSALWKGIVPGLHRQCLNGGLRIALYEPVKNFYVGPDHVGDVPLFKKILAGFTTGAMAIAVAN
PTDLVKVRLQAEGKLPPGVPRRYSGSLNAYSTIVRQEVGALWTGIGPNIARNGIINAELASYDQVK
QTILKIPGFTDNVVTHLLAGLGAGFFAVCVGSPDVVKSRMMGDSSYKSTLDCFVKTLKNDGPFAFYK
GFIPNFGRLGSWNVIMFLTLEQVQVEYFVIAFHFSFPSYHLSHGILVVFYSILVCCGRG

>Glycine_max_UCP1b1 (proteína deduzida)
MVAGGNNSKSDISFAGTYASSAFAACFAEVCTLPLDTAKVRLQLQKQAVVGDVVTLPKYRGLLGTVGTI
AREEGLSALWKIGIVPGLHRQCLNGGLRIALYEPVKNFYVGPDHVGVPLFKKILAGFTTGAMAIAVAN
PTDLVKVRLQAEGKLPPGPERRYSGSLNAYSTIVRQEGVGALWTGIGPNIARNGIINAELASYDQVK
QTILKIPGFTDNVVTHLLAGLGAGFFAVCVGSPDVVKSRMMGDSSYKSTLDCFVKTLKNDGPFAFYK
GFIPNFGRGLGSWNVIMFLTLEQ**AKKFVKTLESA**

```
>Glycine_max_UCP1b2 (cDNA deduzido)
cttgtcttgagcgcttcattcaactgcccgttacgc当地aaacaccattttcttccctctgaaggcatt
ttttcttccttccttttgggtttccattccttcaattctctcttcaatttagtagtaaacatt
ttttggcctcggtgaaggcaatgggtgggggggtggcaatccaaatccgatatctccttgcact
tacgctacgtgcttcgtcatgttgcggagggtgtgcactcttccttggacactgctaaagt
taggctcagcttcaaaaacaggcagtaacttggtgatgcagtgacacctacctagatataggggtttgc
tgggaccggttggaaaccatgccagggagaagggtttcagcactctggaaaggggattgtgccagg
ctacatcgtaatgttgaatgggggttaagaattgcgttatatgagccgttaagaattctatgt
tggggctgaccatgttggagatgttccattgtctaagaaaattctcgctggattacaactggtgta
tggcaattqcaqtggcaatccaaactqatcttqaaaqgttaqacttcaaqcqaaqgaaaaattqcc
```

cctggcgtccccaaagcgctactctggatcattaaatgcttattcaacaattatgagacaggaaaggagt
 tggagcacttggactgggattggccaaacatagcaaggaatggattattaatgctgctgaactag
 ccagctatcatcaagtgaaacagactatttggaaaattcctggattcaccgacaatgtgtactcac
 cttcttgctggcttaggagcaggattttgcagtctgtctggctcccctgttgcgtgtggtaagtc
 gagaatgatgggagattcaagttacaaaagcacccttgcattttcattaagacattaaaaatgatg
 gacctttgcctttatatggggtcataccaaatttggacggctaggatcttgcattgtatcatg
 ttttaactctagaacaggctaaaaattcgtcaaaagttagaatcagcttgacctcaaaaaactt
 atcagtagaatttttggggagactcccccaatgcaatggaaattgtcaagtaaaaacttgttca
 ttttgttaatttgcacgtacaaaacaattttttggggggggggggaaatttgcatttttttttt
 gaagagctatgcacccccctgcacatttttttttttttttttttttttttttttttttttttt
 ggcacataggacttcctttaaaagtccaaaggcttagcattttccatatccaaatgaaaataagctt
 agcatatgcattttttta

>Glycine_max_UCP1b2 (proteína deduzida)

MVGGGNNSKSDISFAGTYASSAFAACFAEVCTLPLDTAKVRLQLQKQAVLGDAVTLPYRGLLGVGTI
 AREEGFSALWKGIVPGLHRQCLNGGLRIALYEPVKNFYVGADHVDVPLSKKILAGFTTGAMAIAVAN
 PTDLVKVRLQAEGLKPPGPVKRYSGSLNAYSTIMRQEYVGALWTGIGPNIARNGIINAAELASYDQVK
 QTILKIPGFTDNVVTHLLAGLGAGFFAVCAGSPDVDVVKSRMMGDSSYKSTLDCFIKTLKNDGPFAFYM
 GFIPNFGRGLGSWNVIMFLTLEQAKKFVKSLESA

>Glycine_max_UCP2 (cDNA deduzido)

gggttagtttctaattacttaacatgattcacatcaattctctgtgtctaccactctatcttgg
 agtgtgaaagttaacgcaccaacaccacacccatataatttaccgtgaactcggttgcatttttt
 aacccaaagtgggtcttgcacggtt
 acccaacccttt
 ctaaccgccttcttgcacggtt
 gtaaggctaggctcaactccaaagaaggtagggattgtatggagtttttttttttttttttttttt
 ggtttgtggggcacagttaaagaccattgttagagaaagagggtatattcagctctgtggaaaggcattt
 ttccctgtttacaccgcacatgttttatatgggggttttttttttttttttttttttttttttttt
 ttt
 ttt
 aatttgcacactgggttacctaagcgttattctgggtctatagatgcatttttttttttttttttt
 gaaaggatagggccctgtggacaggtcttggggccatatacgaaatgttttttttttttttttttt
 ggaatttgcacactgggttacctaagcgttattctgggtctatagatgcatttttttttttttttt
 atactcacctactcgctggcttaggtgcaggttttttgcatttttttttttttttttttttttttt
 gtgaaatccaggatgtggggattcaacccatccaaagcatttttttttttttttttttttttttttt
 taatggggatgttt
 tgattatgttt
 cttcatgattgttt
 aacaacagatt
 cttcatatatatt
 gccaatt
 ctgtactggatcgatgttt
 caaatgaaatgaaacatgttatgaaatacttttttttttttttttttttttttttttttttttttttt
 caaatgaaatgaaacatgttatgaaatacttttttttttttttttttttttttttttttttttttttt

>Glycine_max_UCP2 (proteína deduzida)

MSDPYQISFAQFLCSAFAACFAEFCTIPLDTAKVRLQLQKKVGIDDGVLKYKGLLGVKTIAREE
 GISALWKGIVPGLHRQCLYGGRLIGLYDPVKTFLVGSASFVGEVPLYHMLAALLTGALAITIANPTDL
 VKVRLQAEGLPTGPVKRYSGAIDAYLTILRQEYVGALWTGLGANIARNAIINAAELASYDKVKRTIL
 KIPGFMDNVYTHLLAGLGAGLFAVFIGSPDVDVVKSRMMGDSTYKSTFECFLKTLNEGFLAFYKGFLP
 NFSRVGAWNVIMFLTLEQAKKRVIRG

>Glycine_max_UCP3 (cDNA deduzido)

```
ggtcggatagaacaggttcggataactgaaccgtgtcagtgtcatcatcgactgctccaaatgg
ccgaggttaatttgaatctaattcgtggatatccatgatgcctgatggtagggatcattgcagccaaa
gacatcataccagttcctggtttccttgcattgtcttagaagaacaacacaggcctgcataatctttgg
ggtaggttaggtcttcttgcattgtaccatcaggctatcaacacacggtgaggttatattact
cacactaaggccttctaatacatcactgtcagctatggtgctgagaccacaactttccatagatt
gatcaagaccaggctccaactccatggcgagtcaacttcctcgagtcaccccacttagtgcattcgag
taggctggcattattcgtgaacaagggtgccttggccttacagtggcctgtcaccagcaattatt
agacacatgttctactcgcttattcgaattgttggatgagaacactgatggccaaagggtgagccaaggtt
taatgcattcgttctatcgttggcaaggctgttagttggatctctgggtcttggctcaggta
tagccagcccagctgtatcgtcaaggtgaggatgcaagctgatggccaaagggtgagccaaggtt
caaccccggtattcggggcattgtatcgtctaaacaaaattgttcgtgctgaaggattcaaggatt
gtggaaagggtgtttcctaataatccaaagagcctttagtgaacatggagaattagcctgtttag
atcatgctaaacaatttgttattagaagttagatagctgtatgacaatgtttgcccacactttgct
tccatcatgtcagggttagcgcaacgtcatttgcattgtatcgtctaaacaaaattgttcgtgctgaaggattcaaggatt
gaatcaggcagctaaaaggaaggaaagtcttatataatagctttatgattgcttggtaagacaa
ttaaaggtaaggaataagagcattgtggaaaggattttccacatggcaaggcttggccatgg
caatttgtttctgggtttcctatgagaagttcaggaaatttgcaggctcttttaatataa
cattttatattattatatactagcactcattcatccataataaattcacaagtacacgcctacagg
gtactaacacccagatttatatttcaactttgcattgtatactttttagataacttggagataactac
attactttcctaagaagattatattataact
```

>Glycine_max_UCP3 (proteína deduzida)

```
MKSGYQHGGVDITHKAFLTSLSAMVAETTTFPIDLIKTRIQLHGESLSSSHPTSAFRVGLGIIREQG
ALGLYSSLSPAIIRHMFYSPIRIVGYENLRNVSVDNASFSIVGKAVVGGISGVLAQVIASPADLVKV
RMQADGQRVSQGLQPRYSGPFDALNKIVRAEGFQGLWKGVPNIQRAFLVMGELACYDHAKQFVIRS
RIADDNVFAHTFASIMSGLAATSLSCPADVVKTRMMNQAACKEGKVLYNSSYDCLVKTICKVEGIRALW
KGFFPTWARLGPWQFVFWVSYEKFRKFAGLSSF
```

>Glycine_max_UCP4a (cDNA deduzido)

```
ttcagcatatgtctcaaaggcccacgggttcctcactccatccatagcctgcggccttcactctcat
ctcctggctccaggatgagatgaaaccttagtccaaattggcccttaatcaattacctcttaattagt
aattacttaatctcaattagccttcactctccacacaacatcatggcgtcaaagggtttgtc
gaaggaggcatcgctccatattcggatgttccacacacccacttgcattgtatctcatcaaggccat
gcagcttcaggcgaaaacaatttgcctaaaccgggttcaaatctccgacccgcactcgccctccaaa
ccggttcgaccgtccacgtggcagcggttccatccgcagaccgcgtgggtccatcgccgttgggtt
cgccctcgccatggcgaaaggccattgcggccttgcgttctccggcgttccgcactgtccctccgcagac
gctctactccaccacccgtatggccttacgcgttcaagaccaagtggaccgactccgtcaccgc
gcaccatgccgtcagccgcaagatcgaggccgttccatcgccgtggcatcgccgcgcgtgggg
aaccggccgacgtggccatggccatgcggcgttccatgcggcgttccgcgcgttccgcacagccggc
ctacaagtccgtgtggacgcattacgcgttcaagaccaagaaggcgttactgccttggagag
gctcatcgcttacggtaaccgcgttccatgcggcgttccgcgcgttccgcactgtccctccgc
gtacgaccagttc
aaagaaaacgatcttggagaacggcatgtatgcgttccatgcggcgttccgcgcgttccgc
ggcgggggttgcgtggcggcggtggcgtaaccgcgttccgcgcgttccgcactgtccctccgc
gggtggagccggggcgacgcgcgttccatgcggcgttccgcgcgttccgcactgtccctccgc
gagggtccatggcgcttataagggtttattcctacatctcgaggcaggaccgttactgtgg
gctgttgcgtgacactggaaacaggttcgttccatgcggcgttccgcgcgttccgcactgtcc
```

```
atgtatgctactttcctttcaataagatgctttctgttttatgtttaatagtagtactga
tgtagttctaggatggcaatttgttattctattaatcaatgagaagtgtttatccgaatt
```

>Glycine_max_UCP4a (proteína deduzida)
MGVKGFVEGGIASIIAGCSTHPLDLIKVRMQLQGENNLPKPVQNLRPALAFQTGSTVHAAAIPQTRV
GPIAVGVRLVQQEGLAALFSGVSATVLRQTLYSTTRMGLYDVLTKWTDSVTGTMPLSRKIEAGLIAG
GIGAAVGNPADVAMVRMQADGRLLPPAQRRNYKSVVDAITRMAKQEGVTSWRGSSLTVNRAMLVTASQ
LASYDQFKETILENGMMRDGLGTHVTASFAAGFVAAVASNPVDVIKTRVMNMRVEPGATPPYAGALDC
ALKTVRAEGPMALYKGFIPTISRQGPFTVVLFVTLEQVRKLLKDF

>Glycine_max_UCP4b (cDNA deduzido)
atcgtttattcagcatatgtctcaaaggcccacgattcctactttcttccatagcctgcggcccttc
actctcatctcctggctccaggatgagatgaaccctagctccaattggtcccattagttacccat
tgcatctcatatatccatcttcattcacacagcatatggcgcaaagggtttgttgaagga
ggcatcgcttccatcatcgcaggatgtccacacacccacttgatctcatcaaggtccgcatgcagct
ccagggtgaaaacaatttgc当地aaaccgggtcaaattctccgacccgactcgc当地ccaaaccgggt
cgaccctacacgtggcagctgcagttccgc当地ccggcgtgggccccatctcggttgggttcgc当地
gtccagaagagggc当地ccggc当地ctgttctccggc当地tccgc当地accgtccgc当地cc
ctccaccacccgatgggctctacgacgtgtaagaccaagtggaccgactccgtcaccggccacca
tgccactcgaaaaaaagatcgaggccggctcatcgccggcgatcgccggccgtggaaaccc
gccgacgtggc当地atggc当地atgc当地ggccgacggcc当地ccctccggc当地ccgcaactaca
gtccgttggacgccatcacgc当地atggc当地agcaagaggccgtaactgactgtggagaggctcat
cgcttacggtaaccgc当地atgc当地gtacggcgatgc当地ggccctccatcgaccagttcaagaa
atgattctcgagaaacggc当地gtatgc当地gc当地ggccctccatcgacgtatcaagaccagggt
gttc当地ggccggccgtggc当地ccaaacccatcgacgtatcaagaccagggt
agccccc当地ggggaggcc当地ccgtacgc当地ggccgtggatgtgctgaagacggcc当地ccggagg
cccatggc当地cttataagggtttattccatcgatctcaaggccaggccactgtgtgctgt
cgtgactctggaacaggttc当地caaggatgtgcttaaggattctgatgatgacgaagatgtatgactt
catatcaataagatgc当地ttgtttgtcttgc当地taataactgtatgatgtatctggaatgg
aatttggattctattaatcaatgagaaggccacacattattctccgaatt

>Glycine_max_UCP4b (proteína deduzida)
MGVKGFVEGGIASIIAGCSTHPLDLIKVRMQLQGENNLPKPVQNLRPALAFQTGSTLHVAAAAPP
GPISVGVLVQQEGLAALFSGVSATVLRQTLYSTTRMGLYDVLTKWTDSVTGTMPLGKIEAGLIAG
GIGAAVGNPADVAMVRMQADGRLLPPAQRRNYKSVVDAITRMAKQEGVTSWRGSSLTVNRAMLVTASQ
LASYDQFKEMILENGVMRDGLGTHVTASFAAGFVAAVASNPIDVIKTRVMNMRVEPGAEAPPYAGALDC
ALKTVRAEGPMALYKGFIPTISRQGPFTVVLFVTLEQVRKLLKDF

>Glycine_max_UCP5a (cDNA deduzido)
tttactttgtgttgaattcaatatgagtcttaagggtttcgagggtgggtcgcttccatcg
caggctgaccactcaccactcgacccatcaaaatgc当地acttcaagaaacc
cgccc当地ggcccttgc当地tccatcgtccactccaatgc当地cctccgc当地ccggcc
ccggtccgc当地atcgttcagtc当地ggaggactc当地ccgcttccggc当地tccgc当地
gccagacgtctactccaccaccccatgggc当地tacgacgtc当地caagccactggacc
gaccgc当地ggaccatgc当地ccctcacaagaaaaatc当地ggccgg
cgtggcaacccccc当地ggacgtggc当地atggc当地atgc当地gg
gtcgcaactacaacggc当地gtttcgacgc当地acggc当地atg
tggc当地gggttc当地cgcttacggtaaccgc当地catg
ccagtttaaggaaagc当地attttaggacgc当地gg
gtttggcc当地tccatgc当地tccatgg
aacatgaaggctgaggcttacaatgggc当地tgg
gattgtgctcaagactgttagggccgaaggacc

tcttgcccttataagggttcatccctacaattcaaggcagggtccttcaccgtgtccctttgt
 tcaccctcgaaacaagttaggaagcttcaaggactttgaatttttattcattcgacaccccttc
 accattcactaatcgatattcattctctaattgggtgagatacatattcatttttttttttt
 agggatttagttatttagggtttggactttcgatgactaccccttgcagattcatatatgattattct
 aatttcatcaaataatattaccaacaatgtaaaacattaaactggtatagaaatt

>Glycine_max_UCP5a (proteína deduzida)
 MSLKGFFEGGVASIVAGCTTHPLDLIKVRMQLQETHTLRPAFAFHAPTPMPPPPSGPISVGLRIVQS
 EGLAALFSGVSATVLRQTLYSTTRMGLYDVLKRHWTDPRGTMPLRKITAGLVAGGIGAAVGNPADV
 AMVRMQADGRLLPPAERRNYNGVFDIIRRMSNQEGVGSWRGSALTVNRAMIVTASQLASYDQFKESEL
 GRGWMDGLGTHVLASFAAGFVASIASNPIDVIKTRVMNMKAEAYNGALDCALKTVRAEGLALYKGF
 IPTISRQGPFTVVLFVTLEQVRKLFKDF

>Glycine_max_UCP5b (cDNA deduzido)
 tctcagcatatgtcttaaaggcctaacgttccattttgttccatagccttcgatcttcattccca
 ccttttgtctctagttagatgaaacccaaactccaatttgtccttgcattccaaacccttaattat
 acattccattcttttatttttccattcaaaatttccggaaattctcttgagaaaatcaaccat
 taccctttaattccattgattttttaaaataacaatctttcacgttaacttgaaatgggt
 gtcaaaaggtttgcgtcgaggcattgttgcattgtgatcgccagggtgtccacacaccctttgatct
 catcaaggtaagaatgcagttcaaggagagaccaggcaaccctcgaaatctccgaccgcactcgct
 tccacccttagctccgtccacgcgccccgagccggccagggtccattgcgtcgagtt
 aagttagtccaaacaagaaggcgtggccgcgtttctccggctctccgcaccgtcctccgcagct
 tctctactccaccactcgcatggactctacgagggtgtcaagaagaaatggtccgatccaaattctg
 ccggaggcacccgtcgctatctcgtaagataacggcagggttaatttctggatcgccgagtc
 gttggaaatccgcgtatgttagccatggtcgcattgcaggccacggaaactccgcattccgaca
 acggaaattataatccgtcttgacgcattcgcaaggatgacaaaagacgaggcatcactagttat
 ggcgtggatcatcgtaacagtgttagccatgttagtgcggcctcgccatcgatccgcac
 cagtcaaggagatgatggaaaagggtgtatgcgtatggatggatggatccgcattgcac
 ttgcagcggggttgcggcggttacgtcgaaaccctgtgacgtgatcaagactagggtatga
 acatgaagggtggaaacctggggcgcccggtattccggcgactggattgcgcctgaagacggta
 cgcaaaaggcccattggctcttacaaaggcttattccacgatccgagacaaggaccctcac
 tggtgtttgttcgtcacgttagaacaggtcgaaagtgtcttaaggattctaagttaggataatgat
 gatgacgaaagaataatgttt

>Glycine_max_UCP5b (proteína deduzida)
 MGVKGFVEGGIASVIAGCSTHPLDLIKVRMQLQGETQQPSNLRPALAFHPSSVAPPQAAKEGPIAV
 GVKLVQQEGVAALFSGVSATVLRQLLYSTTRMGLYEVLKKWSDPNSAGGTLSRKITAGLISGGIG
 AVVGNPADVAMVRMQADGRLLPPIRQRNYKSVIDAIARMTKDEGITSLWRGSSLTVNRAMLVTASQLAS
 YDQFKEMILEKGVMRDGLGTHVTSSFAAGFVAAVTSNPVDVIKTRVMNMKVEPGAAPPYSGALDCALK
 TVRKEGPMALYKGFIPTRQGPFTVVLFVTLEQVRKLLKDF

>Cajanus_cajan_UCP1a (cDNA deduzido)
 actgcattttggAACACAATAATGTTAATTCAAGAAACCCAAACACACTCCAA
 ATTCCAGACACAAACTGAGCTTGAGCCATTCAAAAAGGGATCAAATTGCACACGCAACCTTGATT
 CTTCACCATGGTGGCAGATTCTAAGTCACCGACCTCTCCATTCCAAAACCTTGCCAGCA
 GTGCTTCTCTGCATGTTGCTGAGGTATGTACTATTCTTGACACTGCCAAAGTTAGGCTCAA
 CTTCAAAAACAAGCTGTAGCTGGTAGTGTCTCTTACCTAAATATAAGGGTATGCTGGGAACAGT
 GGCAACCATTGCTAGAGAAGGTCTTCAGCTCTGGAAAGGGCATTGCGCAGGGTACATCGTC
 AATGTTGTATGGAGGTAAAGAATGGGTTATATGAGCCAGTTAAGACTTTCTATGTGGAAAGGAC
 CATGTTGGAGATTTCCATTGTCGAAGAAAATTCTGCTGCATTACAACCTGGTGGCAATTGC
 AGTGGCAAATCCAACACTGATCTGGTCAAAGTTAGACTTCAGGCAGAAGGGAAATTACCACTGGTGT
 CCAGACGCTACTCTGGATCTTAAATGCTTATTCAACAAATTGTGAGACAGGAAGGGATTGCGGCTT
 TGGACTGGCTGGCCCCAATATAGCAAGAAATGCTATCATCAATGCTGCTGAATTAGCCAGCTATGA
 TCAAGTGAAGCAGACTATTGAAATTCCAGGATTCACTGACAATGTTACTCATCTCCTGCTG

gtctggggcagggttttgcgtgtatggctccccagttgatgtggtaaatcgagaatgatggagattctagtacaagagactcttgatttttatcaaaaacattaaagatgatggacccttgc
ttttataaagggttcctcccaaacttggacggctggatcttggaatgtgatcatgtttctaacctagaacaactaaaaagttcgtcaaaagtttagagtgtccctgagttctgtttctgagattttta
aggggattgggttgcactgcaaattgttagcggaaacttggggaaataaagggtccctatctcttcttactaacctggatggagtcaaacaccccttttagggagaagaaaatgaaagtaaacccgagaatgttat
tcaaataactagcttttagcaattgccaatcttgcgttaggattgaatgctgtttccatgcaattcttcaaaatttatataaccgagctggacatgcgatt

>Cajanus_cajan_UCP1a (proteína deduzida)

MVADSKSKSDLFSKTFASSAFSACFAEVCTIPLDTAKVRLQLQKQAVAGDVVSLPKYKGMLGTVATI
AREEGLSALWKGIVPGLHRQCLYGGRLIGLYEPVKTFYVGKDHVGDVPLSKKILAATTTGAVAIAVAN
PTDLVKVRLQAEGKLPPGVPRRYSGSLNAYSTIVRQEGRALWTGLGPNIARNAIINAAELASYDQVK
QTILKIPGFTDNVVTHLLAGLGAGFFAVCIGSPVDVVKSRRMMGDSSYKSTLDCFIKTLKNDGPFAFYK
GFLPNFGRGLGSWNVIMFLTLEQTKKFVKSLESS

Cajanus_cajan_UCP1b - possível splicing (cDNA deduzido)

>Cajanus_cajan_UCP1b (cDNA deduzido)

```

gagactctcccccaactgcaatggaaattctcgagaaaataaagcttcttcattgttagttga
aatgtatcaaaacatttatTTTgagaaaaatgttagtaataatgagaatagcttgcatactct
ctgttaactcgataaaatttatttagttggcttggcatgggactcccttaatttgatgcg
gtccaagcccaacaggtagtgaagctggaaaaatgtgttagaacaattcaaggaagaaaacatgt
gttagaatagatgacttcaattgggtgaatagaatacttctgaaatcatTTacccttggatt
ct

```

>Cajanus_cajan_UCP1b (proteína deduzida)

```

MVGGGNSKSDISFAGTFASSAFAACFAEVCTIPLDTAKVRLQLQKQVIVGDAVTLPKYRGLMGTVATI
AREEGLAALWKGIVPGLHRQCLNGLRIALYEPVKNFYVGADHVDVPLYKKILAGFTTGAIASVAN
PTDLVKVRLQAEGKLPTGVPRRYSGSLNAYSTIVRQEYVGALWTGIGPNIARNGIINAAELASYDQVK
QTILKIPGFTDNVVTHLLAGLGAGFFAVCVGSPDVVKSRMMGDSSYKSTLDCFVKTLLNEGFATYKGFLP
GFIPNFGRLGSWNVIMFLTLEQAKKFVKSLESA

```

>Cajanus_cajan_UCP2 (cDNA deduzido)

```

gaactcgTTTgaaggagagtgataagatttaaccgaacgtggTTgttgcTTCTTcatgtactctc
cttcacCCtttaatcactcacccaaCCaccCtttccTTCTGCCGGAGTgtcaacaatgtcaga
tccaaaccagattcgttcaagcTTCTTgtcagcgTTCCGCTTGTggccgaggTT
gtactattcctctggacacagctaaggcaggTTcaactccaaaggaaagctaggggTTgtatgaa
gtgggTTacctaaatacaagggCTgtggcAcggTTaagaccattgttagagaagagggtatatc
agctctatggaaaggcattttCTTGTGGTTGatcgccaatgtctatatggggCTTaagaattgggt
tatatgatccTgtcaaaacatttCTTGTGGTAGTGCATTGTGGAGAGGTCCATTATAccatatg
gtactggcTTGTGACTGGTGTGTTGGCAATCATGGTTGTAATCCAACtGATCTAGTCAAAGT
taggCTTCAAGCTGAAGGTCAATTGCCATCTGGGTACCTAGGCGTTCTGGTGTATAGATGCT
atataactatCTCAAGACAAGAAGGGATAGGGCCTTGTGGACTGGCTGGCCAAATAAGCAAGG
aatGCAATTATAATGCTGCTGAATTAGCTAGTGTATGCAAGTGAACAGTGAATTTGACAATTCC
AGGGTTCAATGGATGATGTTCTACCTCCTGCTGGCTTAGGTGCAAGGTCTTGTCTTTA
TTGGTTCTCTGTAGATGTGGTGAATTCAGGATGATGGGGATTCAACCTACAAAGCACATTGAC
TGCTTCTCAAGACTTGTCTTAATGAGGTTACGGCTTCTATAAGGTTCTTCTTAATTGG
TCGAATAGGAGCTGGAAATGTGGTTCTTACCCCTGAAACAGTCAAGAGGGCTTCAGGGAT
ATTATTGCCACTCTTCATGATTGGAGTTCACTAACAGCAAAAATAGTGTCTCGGATGATTGCT
TCAGATGAACGACAGATTTCACAGCAGAAGGGCGGTCTTCCTCATTTGTCTACTTCTGCGT
TGGATGGACATCAAGCTTATATATTCTTAGTGTGATGAAATAACCGTTAATTACCTTTATGGCTG
TGTCCACCTGTGCCACGTGGACGCCACATTCAAACATTCTTACATTGAAATAGATGTCGAAACTAC
ATTACTGAAAGGCCTACATTGCGCTGGTGTGATCAGAGATGTATTTCTTCTTCTGG
AAATAAAATTGTGTATTCCTTCACTCATGAAATAGACAAGTGAACATGCAATTGATGAAACTGATAA
TTATTAGTCTATAATTATTATTCCATTCAAATATTATGGGTCTATTGCCATTGATATGCAATATGG
ATTTGTT

```

>Cajanus_cajan_UCP2 (proteína deduzida)

```

MSDPNQISFVQAFFCSAFAACVAEFTIPLDTAKVRLQLQRKLGVDDEVGLPKYKGLLGTVKTIAREE
GISALWKGIVPGLHRQCLYGLRIGLYDPVKTFLVGSAFVGEVPLYHMVLAALLTGALAIMVANPTDL
VKVRLQAEGQLPSGVPRRYSGAIDAYITISRQEYVGALWTGIGPNIARNAIINAAELASYDQVKRTIL
TIPGFMDDVYTHLLAGLGAGLFVFVGSVDVVKSRMMGDSTYKSTFDCLKTLNEGFTAFYKGFLP
NFGRIGAWNVMFLTLEQVKRVFRG

```

>Cajanus_cajan_UCP3 (cDNA deduzido)

```

gatagaacgggTTCGCAGGAAATGAAACCTATCATGATTATCATCAATCATCGTTGACTGCTCCAAA
TgAGTGGAGGTTATTTGAATCTAAAGCTGAATCTATGATGTCTGATGAAAGGTAGGAATCATTGAGG
CTAAAGATATCCTGGTTGGTCTTGTGAATGTACCTATGAAATGGGCTATCAACATGGTGGAGT
TGATACTGCTCACACAAAGGTCTTCTAACATCCTACGCTATGGTGGCTGAGGACCATACATTCC
CCATAGACTGATCAAGACCAGGCTCCAACCTCCACGGCGAGTCACCTTCATCGAGTCGTCCCAC
TGTGCTGGCTTACAGGGCTTGTCTCC
GCATTCGAGTAGGGCATGGGATTGGTAGTGTGAAACAAGGTGCTCTGGCCTTACAGGGCTTGTCTCC
AGCAATTATCAGACACCTATTCTACACGCCTATTGCAATTGGTAGTGTGAGCACCTGAGAAGTGTGA

```

tttttgtggataatgcttcgtatcttatcggtggcaaggcaattgtcggtggaaatctctgggtgg
 gcccaggttatagccagccagctgtatctgtgaaggtgaggatcaagctgatggccaaagggttag
 ccaaggcttcaacctcggtatttgggcatttgcattttttccaaatatccaaagagccttcttagtaaa
 ttcaaggactgtggaaagggtgtttccaaatatccaaagagccttcttagtaaaacatgggagaatta
 gcttgttatgatcatgtctaaacaattgttattagaagttaggatagctgaggataatattatcccc
 cacattagcttccatcatgtcggtctagcggcaacttcattaaatgtccagctgtatgttgaaaga
 cttagaatgtgaaccaggcagccaaaaggaaggacagtcttatataatagctttgtgattttg
 gtaaagacagttaaagttgagggaaaaagggccctgtggaaaggattttccatgtggaaatgtcagg
 tggccctggcaattgttctgggttcattgagaagttcaggaaatttcaggctatcttctt
 tctaataataatatttgcattcatgtggcattcattcatccataataattcacaagtacacgcctac
 agggactaacacccagattttacattttaaactttgcctactgtttatttctgttttgggg
 ataatttacattccttttcatgagagatgattaaattataact

>Cajanus_cajan_UCP3 (proteína deduzida)

MGYQHGGVDTAHTKVFLTSLSAMVAETITFPIDLIKTRLQLHGESLSSSRPTSAFRVMGIVSEQAL
 GLYRGLSPAIIRHLFYTPIRIVGYEHLRSVIFVDNASISIVGKAIIVGGISGVVAQVIASPADLVKVRM
 QADGQRVSQGLQPRYLGPFDALNKIVQAEGFQGLWKGVFNPNIQRAFLVNMGELACYDHAKQFVIRSRI
 AEDNIYAHTLASIMSGLAATSLSCPADVVKTRMMNQAAKKEGTVLYNSSCDCLVKTVKVEGIRALWKG
 FFPTWARLGPWQFWVSYEKFRKFAGLSSF

>Cajanus_cajan_UCP4 (cDNA deduzido)

acacaaaacaaaacatcggttcagcatatgtctcaaaggcccacgggtccacactcttcttcca
 tagcctgcggcctccactccatctcgtccaggatgagatgaaccctaattccaattggtctcat
 tagttcaaccccttctcatcttcaaaccacacaactaaccccttagttaactcctcactcctcactc
 ctcactccattccaaacaaaacatcatggcgtcaaagggttcgtgaggagggatcgcttccatc
 atcgcaggatgttccacacacccactcgacccatcaaggccatgcagctccaggccgaaactaa
 tgtccctaaaccgcttcacaacccctccggccactcggtccaaaccgggttcgactgtccacgtgg
 cggccttaccccgccatcggtccggccactcggtccggccactcggtccggccatcggtccgg
 gccgcaactcttccggcgtctccggccaccgtccggccatcggtccggccatcggtccgg
 cctctacgacgtcctcaagaccaagtggaccgaccccgccgaccatgccgtccggccatcggt
 tcgaggccggtctcatcgccggccggcgtaggccgcgcgtcgaaaccggccacgtggccatcggt
 cgaatgcaggccacgggaggctccggccggcggaggccgtcgactacatcggtccggccatcggt
 cacgcggatggcgcggagcggaggccgtcgactacatcggtccggccatcggtccggccatcggt
 cgatgcgtgaccgcacgcgtcgactcgatcgatcgatcgatcgatcgatcgatcgatcgatcg
 ctgatgcgcacgggactcggtccggccatcggtccggccatcggtccggccatcggtccggccatcg
 gtccaaaccgggttgcgttattaaacgagggtatgaaacatgaaagggtggagccggccatcggt
 cgtacggccggccgttgcgttgcgttgcgttgcgttgcgttgcgttgcgttgcgttgcgttgcgt
 gggtttgcgttgcgttgcgttgcgttgcgttgcgttgcgttgcgttgcgttgcgttgcgttgcgt
 tcgcaagactcgatcgatcgatcgatcgatcgatcgatcgatcgatcgatcgatcgatcgatcg
 aatatgcggtttgcgttgcgttgcgttgcgttgcgttgcgttgcgttgcgttgcgttgcgttgcgt
 catcaatgaga

>Cajanus_cajan_UCP4 (proteína deduzida)

MGVKGFIAEGGIASIICAGCSTHPLDLIKVRMQLQGETNVPKPLHNLRPALAFQTGSTVHVAALPQPRVG
 PIAVGVRLVQQEGVAALFSGVSATVLRQMLYSTTRMGLYDVLKTKWTDPAGTMPLTRKIEAGLIAGG
 VGAAGVNPADVAMVRMQADGRLPAERRNYKSVVDAITRMARSEGVASLWRGSSLTVNRAMLVTASQL
 ASYDQFKEMILEKGLMRDGLGTHVTASFAAGFVAAVASNPVDVIKTRVMNMKVEPGAAPPYAGALDCA
 LKTVRAEGPMALYKGFVPTISRQGPFTVVLFVTLEQVRKLLKDF

>Cajanus_cajan_UCP5 (cDNA deduzido)

agcatatgtctcaatggtccacgttcctcactctgttccatagccttcggccatccatctt
 ctgtctccaggatgaaatgaacccaaactccatgttccatcttgcattccatcttgcattccatctt
 cattccattcttctcatcaaaattctccggaaaattctgacaaaatcaaccacacccacc
 tcttcaatttcatgttgcgttgcgttgcgttgcgttgcgttgcgttgcgttgcgttgcgttgcgtt
 ttcgtcgaaggaggcattgtccgtatcgacgggtgcgtccaccctcttgcattcaatcgatcgat

ccgaatgcagctccaaggagagacccaacactcaaattccgcaccgcactcgcttccacccaactt
 ccgtccacgcgcgcgcgcatacgccggcaaaagcaggcccatacgccgtcgccgtcaaattgc
 caagaaggcgtcgccgcgtttctccggcgtccgcaccatccgcagcttctactccac
 caccgcatagggctctacaagggtcaaggagaaaatggccgaacccaattccgcggccacca
 ccatgcgcctcaccgcgaagatcgccgcaggactcatggccggcgaattggccgcgtcgcaac
 ccggccgcgtcaatggccgcatacgccgcgtggaaagactccaccggccaaacgcacgaaatta
 taaatcgctcgatgtatcaccagaatggtaaagacgaggcgtgaccagttatggccgg
 catcttcacgataaaccgcgcatacgccgcgtggacggcctcgccgcgcgcgcgc
 gagatgatggaaaggggtgtaatgggtgacggcgtggacccatgtgacggcaagttcgcc
 ggggttggccggccgtcacgtcgaacccgcgtgacgtatcaagactagggtgatgaacatgaagg
 tggagccggggccggccgtactccggcgtactcgattgcgcataagacggtgcgcgg
 ggtcccatggctttacaaaggcttgcgcatacgatggcggacccttacgggttgtcct
 gttcgtaacgttgcgcatacgatggcgcgcatacgatggcggacccttacgggttgtcct

>Cajanus_cajan_UCP5 (proteína deduzida)

MGVKGFVEGGIASVIAGCSTHPLDLIKVRMQLQGETQHSNLRPALAFHPTSVHAPPHRPAKAGPIAVG
 VKLVQQEGVAALFSGVSATILRQLLYSTTRMGLYEVLKKEKWSEPNNSAGGTIMPLTRKIAAGLMAGGIG
 AAVGNPADVSMVRMQADGRLLPPAQRRNYKSVDIAITRMVKDEGVTSWRGSSLTINRAMLVTASQLAS
 YDQFKEMILERGVMDGLGTHVTASFAAGFVAAVTSNPDVIKTRVMNMKVEPGAAPPYSGALDCAMK
 TVRAEGPMALYKGFVPTISRQGPFTVVLFVTLEQVRKLLKDF

>Glycine_soja_ucpl1 (cDNA deduzido)

gactaaggcctacagtcatcattagaggatacgatgcatacgaaacattaaaaaggaaattaaggaaaccg
 tgcaagtgtgcacatgcattgcatttagcaaaggcaagtggacccatgcgcgcgcgcgc
 cagacaataatgagtgagtattcagaaacccaaatagcaatacattccgattccagacag
 aggaactactcagcttagttgagttttcaagaggatcaaggaaagaagaaggaaaggactca
 aacttgcacacgcacccatgcacccatgcacccatgcacccatgcacccatgcacccatgc
 cgacccctccttcggaaaaatcttcggcagcgtgcattctgcattttgcgtggcattcc
 ttcccttgatactgcacccatgcacccatgcacccatgcacccatgcacccatgcacccatgc
 ttacctaataataggatgtgtggacccatgcacccatgcacccatgcacccatgcacccatgc
 ctggaaaggcattgtgcacccatgcacccatgcacccatgcacccatgcacccatgcacccatgc
 aacctgttaagacttctatgtggaaagaccatgtggagatgtccattgtcaaaaggaaattctt
 gctgcattacaactggcgtttgcattgcacccatgcacccatgcacccatgcacccatgc
 tcaagctgaaggaaattacccatgcacccatgcacccatgcacccatgcacccatgcacccatgc
 caattgtgagacaggaaaggatgtgggctcttggactggccatggccatggccatggccatgg
 atcatcaatgcgcgcacccatgcacccatgcacccatgcacccatgcacccatgcacccatgc
 cactgacaatgtgtactcatccatgcacccatgcacccatgcacccatgcacccatgcacccatgc
 cccaggatgtgtggtaatgcacccatgcacccatgcacccatgcacccatgcacccatgcacccatgc
 atcaaaacattgaagaatgtggccatggccatggccatggccatggccatggccatggccatgg
 gggatcttggaaatgtgatcatgtttcttaacccatgcacccatgcacccatgcacccatgcacccatgc
 cgtccatggcgcgatgtggccatggccatggccatggccatggccatggccatggccatggccatgg
 ttgttagaaaataaaggccatggccatggccatggccatggccatggccatggccatggccatgg
 aggaaaaattgtatgtaaaatgagaatgttccatgcacccatgcacccatgcacccatgcacccatgc
 ctgtgggattgcacccatgcacccatgcacccatgcacccatgcacccatgcacccatgcacccatgc
 cacgagattcgatgcacccatgcacccatgcacccatgcacccatgcacccatgcacccatgcacccatgc

>Glycine_soja_ucp1 (proteína deduzida)

MVADSKNSDLSFGKIFASSAFSACFAEVCTIPLDTAKVRLQLQKQAVAGDVVSLPKYKGMLGTVGTI
 AREEGLSALWKGIVPGLHRQCLYGGLRIGLYEPVKTFYVGKDHVGDVPLSKKILAFTTGAFIAVAN

PTDLVKVRLQAEGLPPLPGVPRRYSGSLNAYSTIVRQEVGALWTGLGPNIARNGIINAAELASYDQVK
QTILKIPGFTDNVVTHLLAGLGAGFFAVCIGSPDVVKSRMMGDSSYKNTLDCFIKTLKNDGPLAFYK
GFLPNFGRLGSWNVIMFLTLEQTKKFVKSLESS

>Glycine_soja_ucp1a2 (cDNA deduzido)

aataaaaggagaacaacctaaaaaaaaaaaaacagcaaagtcaagccaaagagcaaaaaaccacgtaatcaa
acacccaacaaccgaaaaaaaaaaaaggatatactggaaagaagactcaaaacatggggacaaccacagaat
cacaccttgagtcgaggaaggaagtaaagagaaagtgaagaaggaaagaaggactcaaatttg
cacacgtaaccttggttccttccaaacactcaccatggcagattctaagtccaaatccgacct
ctcttcggcaaaaccttgcagcagtgcattctgcattgcattgcgtgagggtgtactattcatt
tggacactgc当地红框
aaatataagggtatgctggaaacagttgcaaccattgc当地红框
gggcattgtgccagggttatcatgtcaatgttgc当地红框
ttaagactttctatgtggaaagaccatgttggagatgtccattgtcaaaagaaagttcttgctgca
tttacaactggtgctttgcaattgc当地红框
agaaggaaaattacctcctgggttcccaggcggtaactctggatctttaatgcttattcaacaattg
tgagacaggaaaggagttgggctttggactggcttggccccatatacgaaatggtatcatc
aatgtctgtcaatttagccagctatgtcaagt当地红框
caatgtgtcaactcatctcattgttgc当地红框
ttgatgtggtaagtcaagaatgtggagattctagttacaggaacacccttgc当地红框
acattgaagaatgtgacccattgc当地红框
ttggaaatgtgatcatgttctaaacctagaacaactgactaaaagggttgc当地红框
gactgtgatcatgttgc当地红框
aaataaaggccattcttcattctgc当地红框
aattggatagtaaaatgataatgttattcatataactagcttttagcaattgc当地红框
gggattgc当地红框
cgatttcaaatttgggggttcaaacctcaaaaccaatgttttattca

>Glycine_soja_ucp1a2 (proteína deduzida)

MVADSKSKSDLSFGKTFASSAFSACFAEVCTIPLDTAKVRLQLQKQAATGDDVSLPKYKGMLGTVATI
AREEGLSALWKIGIVPGLHRQCLYGGRLIGLYDPVKTFYVGKDHVGDVPLSKVLAFTTGAFAIAAVAN
PTDLVKVRLQAEGKLPPGVPRRYSGSLNAYSTIVRQEGVGALWTGLGPNIARNGIINAAELASYDQVK
QTILKIPGFTDNVVTHLLAGLGAGFFAVCIGSPDVVKSRMMGDSSYRNTLDCFIKTLKNDGPLAFYK
GFLPNFGRLGSWNVIMFLTLEQTKRFVKSLELS

>Glycine_soja_ucp1b1 (cDNA deduzido)

cttgtcttgaacttcactgtcggtacgccaacaccattttttctttcctctgaagccattt
ttcttccttcctttgggttcatttcatttcatttagttgtgaacatttt
ttcgggtctcgtaagcaaggtaaggtggcggtggcaattccaaatccgacatctccttgctggactta
cgcttagcagtgcattcgcatgttcggcgagggtgtactcttccttgacaccgccaagttta
ggcttcagctaaaaacaagctgttagttggatgtgtgacacctacctaataatagggggttgcgt
ggAACGATTGGAAACCATGCCAGGGAAAAGGTCTTCAGCACTCTGGAGGGGATTGTGCCAGGGCT
acatcgtaatgttgaatgggtttaagaattgcgttatatgagcctgttaagaattctatgttgc
ggcctgaccatgttggagatgttccattgtttaagaaaattctcgctggattacaactggtgctatg
gcaattgcagtggcaatccaactgatcttgtgaaagttagacttcaagcagaaggaaaattacatcc
tgggtgtcccaggcgttactctggatcattaaatgcttattcaacaattgtgagacaggaggatgg
gagcacattggactggatggccaaacatagcaagaaaatggcatcattaatgctgctgaactagcc
agctatgatcaagtaaaacagactatTTTgaaaattcctggattcaccgacaatgtttaactcac
tcttgctggcttagggcaggatTTTgcagtctgtgtggctccctgttgcgttgcgttgc
aatgatggagattcaagttacaaaagcacccttgcattgttgcgttgcgttgcgttgc
cctttgcctttataaggggttcataccaaatTTTggacggctaggatcttggaaatgttgc
tctaactctqaacaggctaaaaagttgtcaaaactttagaatcaqcttgcacttcaaaacaaattatc

```
agtagattttttttggaggagactcccctggatgcaatggaaattgtcaacaaaataaaaacttct  
cttcatttgttaattgaaatgtatcaaaacattttgctggggaaattgaagtattaataaatt  
agaagagctatgccatctccctgcaattaaaattttatttgttggcttggcgttggcgttggcgtt  
gggcttggcgtggacttggcatggaaacttccttaaaagtccaaagcctagcagtagtatgttccata  
tctaagtgaaatatcagcttatgctttttttta
```

>Glycine_soja_ucp1b1 (proteína deduzida)

MVAGGNSKSDISFAGTYASSAFAACFAEVCTLPLDTAKVRLQLQKQAVVGDVVTLPKYRGLLGTIGTI
AREEGLSALWKGIVPGLHRQCLNGGLRIALYEPVKNFYVGPDHVGVPLFKKILAGFTTGAMAIAVAN
PTDLVKVRLQAEGKLPPGVPRRYSGSLNAYSTIVRQEVGALWTGIGPNIARNGIINAAELASYDQVK
QTILKIPGFTDNVVTHLLAGLGAGFFAVCVGSPDVVKSRMMGDSSYKSTLDCFVKTLKNDGPFAFYK
GFIPNFGRGLGSWNVIMFLTLEQAKKFVKTLESA

>Glycine_soja_ucp1b2 (cDNA deduzido)

>Glycine_soja_ucp1b2 (proteína deduzida)

MVGGGNSKSDISFAGTYASSAFAACFAEVCTLPLDTAKVRLQLQKQAVLGDAVTLPYRGLLGTVGTI
AREEGFSALWKGIVPGLHRQCLNGGLRIALYEPVKNFYVGADHVGDPVLSSKKILAGFTTGAMAIAVAN
PTDLVKVRLQAEGKLPPGVPKRYSGSLNAYSTIMRQEVGALWTGIGPNIARNGIINAAELASYDQVK
QTILKIPGFTDNVVTHLLAGLGAGFFAVCAGSPDVVKSRMMGDSSYKSTLDCFIKTLKNDGPFAFYM
GFIPNFGRGLGSWNVIMFLTLEQAKKFVKSLESA

>Glycine_soja_ucp2 (cDNA deduzido)

taaccactctatcttgaggtgtaaaagttaacgcagctaaccacaccataattttaccgtga
actcggttggaaagatttaacccaaagtggttgtcgaaagtgcgttaatgtactactctccctca
gcttcattaatcactctcacccaaacccttcttcttcttaccaggcgtcaaca [red]gtcagatcc
gtaccaggatttcgttcgctcaaggccttcttgcagcgtttcgccgcgtttcgccgag[green]tttgc
ctattcctctggacacagctaaggcaggctcaactccaaaagaaggtagggattgtatggagtg
ggtttacctaatacaagggtttactggcacagttaaagaccattgtctagagaagagggatatacgc

tctgtggaaaggcattgttctggttacaccgccaatgttatatggaggcttaagaattgggttat
 atgatctgtgaaaacattcttgttagtgcattttggagaggttcattataccatatgata
 ttggctgctctgactggctgtttggcaatcacaattgctaattccaaactgatctagtc当地
 gcttc当地agctgaaggtcaattgccaacttgggtacctaaggcttattctgtgtctatagatgc当地
 taactatactgagaca当地gaagggatagggcccttggacaggtcttggccaatatagcaaggaat
 gcaattataatgctgc当地gaaattggcttagctatgataaaagtgaacggac当地gatttgaaatccagg
 gttcatggacaatgtctatactcacctactcgctggcttaggtgc当地ggcttattg
 gttctctgtttagtggcttagatggcttagatggggattcaacctacaaaaggcttccataatttgc当地
 tttctcaagactttgcttaatgaggatttggcttctataaaaggcttccataatttgc当地
 agtaggagcctggaatgtgattatgttcttacccttgaaca当地agcaagagagttataagaggataat
 tttgttagtggtaactcttcatgatttagattccaagcaaatttagtggctttc当地gggtgag
 gctactgctatcagatgaacaacagatttggtagc当地ggatgggtttctacattactctgccc
 tggatgtacgtcacgcttcatatattcttagtgc当地ataaaaccgtcaaattaccattgtctc
 acttggccatgtggacgccacaataaaacatttggctacaatgaatagaccgtgaaattacatt
 tacttggaaaggcattcactgtactggatcgatatgtaatgtattttggaaataagttgc当地tatttc
 ccaactcattgaatagacaaaatgaaacatgtatgaataacttttagagtatagcttattacttca
 ttcaaatatcatgggtctattgccatttgaa

>Glycine_soja_ucp2_14815 (proteína deduzida)

MSDPYQISFAQFLCSAFAACFAEFTIPLDTAKVRLQLQKKVGIDDGVGLPKYKGLLGTVKTIAREE
 GISALWKGIVPGLHRCQCLYGLRIGLYDPVKTLVGSADVGEVPLYHMLAALLTGALAITIANPTDL
 VKVRLQAEQLPTGVPKRYSGAIDAYLTILRQEGLGALWTGLGANIARNAIINAAELASYDKVKRTIL
 KIPGFMDNVYTHLLAGLFAVFIGSPDVVKSRMMGDSTYKSTFECFLKTLNEGFLAFYKGFLP
 NFSRVGAWNVIMFLTLEQAKRVIKG

>Glycine_soja_ucp3 (cDNA deduzido)

tcggc当地ggatagaacaggctcgatataactgaaccgtgtcagtgtaatcatcgactgctccaaat
 ggccgaggtaatttgaatctaattcgtggatccatgtgc当地ggatggatcattgc当地ggccaaaaga
 catcataccagttcctgggttccattgttagtggatggatggatcattgc当地ggccatcttgg
 tgagtttagtcttcttgaatgttaccatgaaatcaggctatcaacatggggatggatattactca
 cactaaggcattttaacatcactgtcagctatggggctgagaccacaacttccccatagattga
 tcaagaccaggctccaactccatggggctgacttccctcgactcaccacttagtgcattcgagta
 ggcttggcattattcgtgaacaagggtccctggcatttacagtggcctgtcaccaggcaattattag
 acacatgttctactcgcttattcgaattgtggatgagaacctgagaaatgttctgtgata
 atgcttc当地tctatcgtggcaaggctgttagtggatcttggatcttggatcttggatggatata
 gccagcccagctgttgc当地agggtggaggatgcaagctgtatggccaaagggtgagccaggcttca
 acccccgtattcggggccatttgc当地ttaacaaaattgttctgtgacttggatgttgc当地gg
 ggaagggttccatataatccaaagggccatttgc当地ttaatgttctgtgacttggatgttgc当地
 catgttgc当地tgc当地tgc当地tgc当地tgc当地tgc当地tgc当地tgc当地
 atcaggcagctaaaaaggaaaggaaagtcttataatagcttgc当地tgc当地tgc当地
 aaaggtaaggaaataagggcattgtggaaaggatttccaaacatggcaaggcttggccatggca
 atttgc当地tgc当地tgc当地tgc当地tgc当地tgc当地tgc当地tgc当地
 ttttatttatttatttatttataacttagcacttcatccataataattcacaagtc当地
 gggtaactacaccagatttatttgc当地tgc当地tgc当地tgc当地tgc当地tgc当地
 acattactttc当地tgc当地tgc当地tgc当地tgc当地tgc当地tgc当地tgc当地

>Glycine_soja_ucp3 (proteína deduzida)

MKSGYQHGGVDITHTKAFLTLSAMVAETTTFPIDLIKTRLQLHGESLSSSHPTSAFRVGLGIIREQG
 ALGLYSGLSPAIIRHMFYSPIRIVGYENLRNVSVDNASFSIVGKAVVGGISGVLAQVIASPADLVKV
 RMQADGQRVSQGLQPRYSGPFDALNKIVRAEGFQGLWKGVPNIQRAFLVNMGELACYDHAKQFVIRS

RIADDNVFAHTFASIMSGLAATSLSCPADVVKTRMMNQAAKKEGKVLYNSSYDCLVKTICKVEGIRALW
KGFFPTWARLGPWQFVFVWSYEKFRKFAGLSSF

>Phaseolus_vulgaris_UCP1a (cDNA deduzido)
 cagtcattggagatgaaaattgacaacattaaagactcagagagagaagaatttttgcagcagaa
 taaatcagaattcaaacacccaaatttgtaacactttccatacagaggaaccaagttgatctgag
 tctttcaaaaggatcaaaggaaaggacccaaattgcatacgaacgttggttcccttccagga
 caaacaaaacacaatttgttagcagattctaagtccaaatccgacccctcctcgccaaacccatttgcca
 gcagtgcatttcgtcatgttgcgtgaggtgtactattccattggacactgccaagtttaggctt
 cagttcaaaaacaagctgcaactgttatctccttacctaaatataagggtatgtggaaac
 agttggattaccattgcgagggaaagaaggtcttcagcactctggaaaggattgtgccagggttacatc
 gtcagtgttttacggtggttaagaattgggtatatgaggcttgtgaagtcttgatgtggaaag
 gaccatgttgagacgttccattgtcaaagaaaattctgcagcattcacaactggtgctgtggaaat
 tgctgtggcaaattccaaactgtatctgtcaaagtttagacttcaagcagaaggaaaactaccccttgc
 ttcccaggcgctactctggatctttaatgcttattcaacaattgtgagacagggaggtggggct
 ctggactggacttggccccatatacgcaagaaatggtatcatcaatgctgctgaactagccagcta
 tgatcaagtgaaacagactatttgaaaattccaggttactgacaattttgttatggctcccttgc
 ctggcttggggcagggttttgcgtctgtattggctcccactatgtggttaagtcaagaatg
 atggggattcttagttacaagaacacccttgcattttatcaaaacattaaagaatgtgggacccat
 ggcctttacaaagggttcccccatttggacggctaggatcttggaaatgtgatcatgtttctaa
 ctttagaacagactaaaaagttcatcaaaaatttagagtcccttgagctgagttacattgagaattt
 tctaagcggcttattgcaactgcgaatgcagttggaaattgttagaaataagcttcttcatctgc
 aaactgtatggaatgtggtaaagaattttcaggaggaaattttacaagatatgttattcata
 tataacttagcagattttagcacttccattattatgaaccatgattggattaaacagaaatagccc
 ttgatcactaccattgtcttaagatggggcaattattttgttagtatcaaatttaagccattgtg
 caggaactttgtttctgtatgcaaggcaaaatattatgacacccctaatagcagttatgattct
 ttagc

>Phaseolus_vulgaris_UCP1a (proteína deduzida)
 MVADSKSKSDLSPFGKTFASSAFSACFAEVCTIPLDTAKVRLQLQKQAATGDIVSLPKYKMLGTVGTI
 AREEGLSALWKGIVPGLHRQCLYGGLRIGLYEPVKSLYVGKDHVGDVPLSKILAAFTTGAVGIAVAN
 PTDLVKVRLQAEGLKLPGVPRRYSGSLNAYSTIVRQEGVGALWTGLGPNIARNGIINAAELASYDQVK
 QTILKIPGFTDNVVTHLLAGLGAGFAVCIGSPDVVKSRMMGDSSYKNTLDCFIKTLKNDGPMAYK
 GFLPNFGRLGSWNVIMFLTLEQTKKFIKNLESP

>Phaseolus vulgaris UCP1b alternativa(cDNA deduzido)
 ctcgtcgaagcaatgtggggagggtggcagttccaaatccgacatctccttgctggactttcgccag
 cagtcatttcgtcatgttgcgtgaggtgttactattccattggacactgcaaaagtttaggctt
 agttcagaaacaggctgttagttggatgtgggacccattaaatataagggtatgttgc
 gtggaaaccattgcgagggaaagaaggtcttcggacttggaaagggttgcagggttacaacg
 tcaatgttgaatggagggtttagaattgcattatgtggccttttttatgttgc
 accatgttggagatgtaccactgtttagaaaaattctcgctggattacaactgggttatggcaatt
 gcagtggccatccaacagatctgtgaaagttagacttcaatctgaaggaaaattggcccttgc
 gcccaggcgctacactggatcattaaatgcttattccacaaatgtgagacagggagggagttggagctc
 ttggactggattgtccaaacataacaagaatggtatcattaatgtgtgaattagccagctat
 gatgaagtgaagcgaatattttgaaaattccaggattcaccgacaacgtttactcatcttgc
 tggcttagggcagggttttgcagttgttgcattttgtatgtggttaagtcaagaatga
 tgggagattcttagttacaagaaccccttgattgtttcatcaagacattaaaaatgaggaccttt
 gcttttataagggttcatcaaaatttggacggctaggatcttggaaatgtgatcatgtttttaac
 tctagagcaggttacaagctgaatgcattgtatagcttcacattatccatcatttttacccctc
 taccttggagggtcaagtttattttcatacattacttatctgtgaggttagagatcagaaaacccaa
 aatttgcagaagatttttt

>Phaseolus vulgaris UCP1b alternativa (proteína deduzida)
 MVGGGSSKSDISFAGTFASSAFAACFAEVCTIPLDTAKVRLQLQKQAVVGVVTLPKYRGMLGTVGTI
 AREEGLSALWKGIVPGLQRQCLNGGLRIALYEPVKNFYVGPDHVGDPFLFKKILAGFTTGAMAIAVAN
 PTDLVKVRLQSEGKLPPGVPRRTGSLNAYSTIVRQEGVGALWTGIGPNITRNGIINAAELASYDEVK
 QNILKIPGFTDNLTHLLAGLGAGFAVCVGSPPDVVKSRMMGDSSYKSTLDCFIKTLKNDGPFIFYK
 GFIPNFGRLGSWNVIMFLTLEQ**VQAECEFVIASHLSYPFYHLLPLGVQVFHTLLIC**

>Phaseolus vulgaris UCP1b (cDNA deduzido)
 ctcgtcgaagca**atgg**tgggagggtggcagttccaaatccgacatctc**tttgc**tgccactttcgccag
 cagtgc**tttgc**tcgcatgttgc**ccagggtgt**tactattc**tttgc**tgacactgc**aaaagtt**aggcttc
 agcttcagaaacaggctgttagttggatgtggtgac**cttac**cataatataggggatgt**cttgc**gaaca
 gttggaccattgccagggaagaaggctttcgac**cttgg**aaggattgt**ccagggtt**acaacg
 tcaatgttgaatggaggtaagaattgcattatatgag**ccatgtt**agaatttctatgttggac**ctg**
 accatgttggagatgtaccactgttaagaaaattctcg**ctggat**tacaact**gtgt**ctatggcaatt
 gcagtggccatccaacagatcttgc**aaaggtagt**acttcaatctgaaggaaaattgccccctgg**gt**
 gcccaggcg**ctacactggat**cattaaatgcttattccacaatagtgagac**aggaaaggagttggag**ctc
 ttggactggattgt**ccaaacataacaagaaatggtatcattaatgctgt**gaattagccag**ctat**
 gatgaagtgaag**cagaat**attttgaaaattccaggattcaccgacaacg**ttttaact**cat**tttgc**
 tgg**ctagggcagggttttgc**agttgt**tttgc**atgt**tttgc**atgt**tttgc**taagtcaagaatga
 tgggagattctagttacaaaagc**acccttgattgtttcatcaagacat**aaaaatga**ccgac**cttt
 gcttttataaggg**gttcat**accaat**tttgc**agg**cttaggatcttgc**aatgt**gtat**gt**ttttaac**
 tctagagc**aggctaaaagtagt**caaaagatt**tagatcagtt**act**caaacagct**ag**ctagc**atgaa
 ttttctggagactgc**ccctcaat**gcaatggacattt**caaggaataaaact**t**cttcat**gtt**gt**
 taatt**ggaatgttccaaatattcttgc**ttgggggg**gaaggaagtaataataatgaccatggttat**
 g**ccatgtctgt**att

>Phaseolus vulgaris UCP1b (proteína deduzida)
 MVGGGSSKSDISFAGTFASSAFAACFAEVCTIPLDTAKVRLQLQKQAVVGVVTLPKYRGMLGTVGTI
 AREEGLSALWKGIVPGLQRQCLNGGLRIALYEPVKNFYVGPDHVGDPFLFKKILAGFTTGAMAIAVAN
 PTDLVKVRLQSEGKLPPGVPRRTGSLNAYSTIVRQEGVGALWTGIGPNITRNGIINAAELASYDEVK
 QNILKIPGFTDNLTHLLAGLGAGFAVCVGSPPDVVKSRMMGDSSYKSTLDCFIKTLKNDGPFIFYK
 GFIPNFGRLGSWNVIMFLTLEQ**AKKYVKRLESA**

>Phaseolus vulgaris UCP2 (cDNA deduzido)
atgtcagatccgaaccagattcgtctctatagc**cttcttgc**agcg**cttcgc**cttgc**tttgc**
cgagt**tttgc**taccatt**cctctgg**acactg**ctaaagt**cagg**cttcaact**acaaaagaaggtaggg**tttgc**
 atactgagg**tcgg**ttt**acctaatacaagg**gt**ttgt**gg**ttttgc**acag**tttaagaccat**tt**gttagagat**gag
 ggtat**atcagctctgt**gg**aaaggaaattgtt**c**ctgtttgc**at**cgccat**gt**tttatatggagg**ct**taag**
 aat**cggttat**at**gatccgt**caaaac**atttctgttgc**at**gttgcatttgc**agg**gttccaaat**
 accat**atgatccgt**ct**gtctgt**act**gggt**ct**tttagcaat**ac**cgattgt**ca**atccaaactgac**ctt
 gt**taaaaggtagg**ct**caatctg**aa**aggtaact**cc**catctgg**tg**acctagg**gt**tattctgt**ct**at**
 agat**gcgtat**ta**actatattg**ag**acaagaaggaaat**agg**ggcc**ct**gtggactgg**ct**ggccaaaca**
 tag**caaggaat**g**caattataat**g**ctgt**g**taattagct**at**gtcaagt**g**aaacgg**ac**gttgc**
 aaa**attccagg**gt**tcatgg**aca**atgt**ct**ataactcac**tt**ctgt**g**tttagggcagg**gt**ttttgc**
 c**gttataattgg**tt**cctctgt**g**atgtgttgc**aa**atccaggat**g**atggggattcaac**ct**acaagag**ca
 c**atttgcatttgc**tt**gtcaagacttgc**tt**aatgagg**at**tttgc**tt**tataaagg**tt**ccttcca**
 a**atttgcatttgc**g**agtagg**ac**ctgg**at**gtgc**tt**atgtttcttacttt**g**aaacaagc**g**aaaagat**ttt
 gagag**gtttaa**

>Phaseolus vulgaris UCP2 (proteína deduzida)
 MSDPNQISFSIAFFCSAACFAEFCTIPLDTAKVRLQLQKKVGVDTEVGLPKYKGLLGTVKTIARDE
 GISALWKGIVPGLHRQCLYGGGLRIGLYDPVKFLVGSASFVGEVPIYHMILAALLTGALAITIANPTDL

VKVRLQSEGQLPSGVPRRYSGAIDAYLTILRQEIGALWTGLGPNIARNAIINAAELASYDQVKRTIL
KIPGFMDNVYTHILLAGLAGLFAVLIGSPDVVKSRMMGDSTYKSTFDCFKTLLNEGFLAFYKGFLP
NFGRVGAWNVLMLTFEQAKRVLRG

>Phaseolus vulgaris UCP3 (cDNA deduzido)

```
attgttcatgtatgttatccatgtttcaattacctgtgggccccatggctgatagagc  
agaaccgtgtcatcatccactgctccgaatggctgaggaaaatttagaatctaaccgtcgatgtctgat  
gagtagttacgtacaggaagaaggcattgcagtcaaaagattccatTTtaataaacagtcaactgggTT  
ccttgaatagcctgtggacttaggtattctgaatgtacccaaatgaaaccaggccataaaaat  
gttggagttgatagtgctcaaacaaggcttagtaacatcatttcagctatggctgaaaccac  
gactttccccgtagacttgcataaaacaagactccaactgcattgtccgtgaatcacTTcatcgaggTCTC  
ccgctagcgcatttcgagtaggctggcattgtccgtgaacaagggtttggcTTacagtggc  
ctgtctccagcaattattagacacctgttctacacgcctattcgaattgttggatgagcacactgag  
aagtgtggTTctgtgataatggtcattctgttggcaaggctgttagtcggtgaggcctctg  
gtgtcgtggctcagattatagccagccctgcccattgtcaaggtgaggatgcaagctgatggccaa  
aggatgaacccaaggcatcaacccgttattggggccattgtatgcattgtcaacaaaattgtccgagc  
tgaaggatttagaggactgtggaaagggtttccataatccaaagagcctttagtgaacatgg  
gagaacttgcctgttatgaccatgctaaacaatttttattagaagttaggatagccgatgataatgtt  
tatgccacacattagcttccatcatatccgtttagtcgcatttttttttttttttttttttttttttttt  
tgtgaagactagaatgtgatgaatcaagcagccaaaaaggaaaggatTTTatataatagctttatg  
attgctggtaaagacagtaaaagtgtgaaaggacaagagcattgtggaaaggatTTTcccacttgg  
gcaaggctggccatggcaattgttctgggtttctatgagaagtttaggaaatttcagggct  
cttttttttttttttttttttttttttttttttttttttttttttttttttttttttttttttttttt  
cggcctacgggtaacaccagatctccactctttcaacttttagtttagtgtataatttttggg  
ataaaattacaagtctcttttaagagaggattaaattata
```

>Phaseolus vulgaris UCP3 (proteína deduzida)

```
MKPGHQNVGVDSAQTQVLTFSAMVAETTFPVDLIKTRLQLHGESLSSSSPASAFRVGLGIVREQG  
VVGLYSGLSPAIIRHLFYTPIRIVGYEHLRSVVSADNGFSVVGKAVVGGASGVVAQIIASPADLVKV  
RMQADGQRMNQGHQPRYSGPFDALNKIVRAEGFRGLWKGVPNIQRAFLVNMGELACYDHAKQFVI  
RIADDNVAHTLASIISGLAATSLSCPADVVKTRMMNQAAKKEGVLYNSSYDCLVKTVKVEGTRALW  
KGFFPTWARLGWPWFVWSYEKFRKFAGLSSF
```

>Phaseolus vulgaris UCP4 (cDNA deduzido)

```
gacaaaacgtcccagcatatgtctcagaggcccacgggtccacactcttccatagcctgtggcct  
ccattccatctccgttccagtgcaggatgaaaccctaattccatggtcccaatagcttcaattt  
ctctactttccatctcatttttacaaaaccactaactctacttataacccttattcattccat  
tctcatttccgacacaacaaaacatcatgggtgtcaaagggttcgttagagggaggcatcgcttcca  
tcatcgccggctttcaacgcacccacttgcatttaatcaaggccatgcagctccaggcgaaatcc  
aacgctccaaaccgggttccaaatctccgacccgactcgccctccaaaccgggttccaaacccat  
gtcagccattcccgaggcccggttccgcgttccgcgttccgcgttccgcgttccgcgttccgcgtt  
ttgcgcgcctttccgggttccgcgttccgcgttccgcgttccgcgttccgcgttccgcgttccgcgtt  
ggtctctacgacatctcaagaccaagtggaccgcaccctgcgcggcaccatgcctctcgccgc  
gatcgaggccggcctcatcgccggcgcatcgaggccgcgttccgcgttccgcgttccgcgttccgcgtt  
ttcgaatgcaggccgacggccgcctccgttccgcgttccgcgttccgcgttccgcgttccgcgtt  
atcttgcgaatggcgccggcaagaggcggttactagcctctggagagggttcatcgcttacggtgaacc  
cgccatgctgtgaccgcgtcgcatcgccgttccgcgttccgcgttccgcgttccgcgttccgcgtt  
gcttgcgttccgcgttccgcgttccgcgttccgcgttccgcgttccgcgttccgcgttccgcgtt  
gcgtcgaaccccggttccgcgttccgcgttccgcgttccgcgttccgcgttccgcgttccgcgtt  
accgtacgcggcggttccgcgttccgcgttccgcgttccgcgttccgcgttccgcgttccgcgtt
```

agggttcattcctacgatctcgaggcagggacccttaccgttgtgctgttgcgtacgctggaaacag
 gttcgcaagctgcttaaggattttgtagatcgacgaagatgacgacgaaaatgctcttcc
tttcaaataagatctgttatgtttggcgttgtgtggatagtgtatgttttagtctagaatggtaa
tttgttcttatctgcctatttatcaatgagaagtaccttcagttctaattgggtttgaca
ccataaattatagcttatggaaattgtgatcttgcatttgcataatcaacctaagaatttt
gttagtaatttgcattcctctggatttagattgatgatgatgtttgtgagttctactt
tcccacaacccaacgcaacacggctctggaccatgagacgcgtaaagtccctgctttgtata

>Phaseolus vulgaris UCP4 (proteína deduzida)

MGVKGFVEGGIASIIAGCSTHPLDLIKVRMQLQGESNAPKPVHNLRPALAFQTGSNLHVSAPIQARVG
 PIAVGVRVLVQQEGLAALFSGVSATVLRQTLYSTTRMGLYDILKTKWTDPAAGTMPLGRKIEAGLIAGG
 IGAAVGNPADVAMVRMQADGRPLAERRNYKSVVDAILRMARQEVTSLWRGSSLTVNRAMLVTASQL
 ASYDQFKETILEKGLMRDGLGTHVTASFAAGFVAAVASNPVDVIKTRVMNMKVEPGAPPYAGALDCA
 LKTVRAEGPMALYKGFIFTISRQGPFTVVLFTLEQVRKLLKDF

>Phaseolus vulgaris UCP5 (cDNA deduzido)

ccggcgcgtctttactttgactcttacgcgcacaataacccaaccactatattcatcttcaa
 acccttccctctccacacaaaaacaaaaactaagcacctttctttctctgtgactttc
 aatcatacacttcatatacactacactactactttctgtccaactaaggatgactctcaaagggttt
 ttcgaaggtggcgttgcttccatcgtgcaggctgcaccacccacccactagacctcatcaaagttcg
 catgcagcttcaagaaacgcacacgcacaacccctccgtcccggttgcgcttcacgcgcccactccaa
 tgccgcctccgcacccctccggacctatccgtcggtgtccgcatagtcaggactcggagggcgtggcc
 gcgctttccgggtctccgcaactatgcctcccgacccctgtactccaccacccgtatggcct
 ctacgacgtgctcaagcgc当地ggaccgaccccgagcaggcaccatccctctcgcaaaagataa
 cggcgggtctcgccggagggatcgggcagccgtgggaaccccgagacgtggccatggcga
 atgcaggccatggcggctccggcggagcggcgaactacaaggcgtttcgacgcatacg
 gcgcatgagcaatcaggaggggttggcagccgtggcggctcgccgactacggtaatggcga
 tgatcgtgacggcttcgttgcgtacgaccgttaaggaaactatccctcgacgcgggtgg
 atggaggatggcgtggaccacgtggcagcgagtttgcgggggttgcgttgcgtc
 gaaccctattgtatgttataaagacaagggtgatgaacatgaagggtatgcttacaatgggccttgg
 attgtgtctgaagactgtcggcgtgaaggaccttgccttataagggttcatccctacaatc
 tcaaggcaggccctttaccgttgctttgcacccctcgaaactcaggaaactgcttaagga
 cttttgatgttgcatttgcacaccatacgaccactccctatattcaatattcattgg
tacatattcagacgatcacaaccattgtacccatgttgcatttttattacggatttagttaactt
ggagattcatatttataattcaatattcatcaaatatgtctaccaacagtgtaaacgtttgagttt
tatgttagaaatgtatattacacatctgtactaagaaaataactatgtaaa

>Phaseolus vulgaris UCP5 (proteína deduzida)

MTLKGFEEGVVASIVAGCTTHPLDLIKVRMQLQETHNLRPAFALHAPTPMPPPSGPISVGVRIV
 QSEGVAALFSGVSATMLRQTLYSTTRMGLYDVLKRQWTDPHQGTIPLSRKITAGLVAGGIGAAVGNPA
 DVAMVRMQADGRAPAAERRNYKGVFDAIRRMSNQEGVGSLWRGSALTVNRAMIVTASQLASYDQFKET
 ILGRGWMEDGLGTHVAASFAAGFVASVASNPIDVIKTRVMNMKVDAYNGALDCALKTVRAEGLALYK
 GFIPTISRQGPFTVVLFTLEQVRKLLKDF

>Medicago truncatula UCP1a (cDNA deduzido)

gaaatacacacagcgttcaaaaagaaaaaaaagaacaacccaaattctcaactctcattctcacacg
 caacgcaccccttcgattccttcttgcattattgttgcatggttgcagattccaaatccacccctca
 ttgggtccacccctcgtagcagtgtttctccgcatgttgcgtgaggtttgcgttaccataccttgg
 caccgc当地aaagttaggcttcaacttcaaaaagcaagctgttagtgcgttatcctccttgcctaaat
 ataagggtatgtggaaacagttggaaacaattgccagggaaagaaggctttcagcactctggaaaggcc

attgtgccagggctacatcgtcaatgttttatggaggattaagaattgggtttagccctgttaa
 gactttcacacgggagtgaccatgtggcatgttccactgtcaaagaaaattctagctgcattta
 cgacacagtgctgtggcaattatggccaatccaactgtatctgtcaaagtaagactcaagcagaa
 ggaaaattacctcctgggttcccaggcgctactctggatcttgaatgcttattcgtcaatcgtgag
 acagggaaaggagttcgagctctatggacaggcggttggccaaacatgcgagaaatggtattatac
 ctgctgaacttagctatgtcaagtggaaacagactatgttggaaaattccggattcaccgacaat
 gttgttaactcatctttgtggccttggagcagggttttcgtctgtatcggctccccgggttga
 tgtggcaagtcgagaatgtggagattctagttacaaaagcaccctgattgttgcataaaacct
 taaagaatgtggaccccttggcgtttataaagggttcccaaatttggacggctaggatcttgg
 aacgtgattatgttctaaccctagaacaggctaaaaagttcgccaaagttacagtgcgtcatgagc
 tcaatcaattcatggagtggttctatgggacatttgcataatgcagttgaaattttaga
 aaataaagtcccttcttcatttactaacttaggttagtcaaacatattttcagaggagaaaaacat
 gaaagtcaacaaatgaaaatttcatagataacttctagttacaattgcaatctcttttaggat
 tgcattgtcttcaatgtataattctttagattttactacgaaacgttcttggcgacatgatatg
 agattctttcaa

>Medicago truncatula UCP1a (proteína deduzida)

MVADSKSNLSFGPTFASSAFSACFAEVCTIPLDTAKVRLQLQKQAVAGDVSSLPKYKGMLGTVGTIAR
 EEGLSALWKGIVPGLHRQCLYGGLRIGLYEPVKTFYTGSVDVPLSKKILAFTTGAVAIMVANPT
 DLVKVRLQAEGKLPPGVPRRYSGSLNAYSSIVRQEGVRALWTGLGPNIARNGIINAAELASYDQVKQT
 ILKIPGFTDNVVTHLFAGLGAGFFAVCIGSPDVVKSRMMGDSSYKSTIDCFVKTLKNDGPLAFYKGF
 LPNFGRGLGSWNVIMFLTLEQAKKFAKSLQSS

>Medicago truncatula UCP1b - alternativo (cDNA deduzido)

ttaatcgtaacatttcggtttgaaggcagctatgtggggagggtggtaacgcgaattccgatatctca
 ttctggcacttcgcaggtagtgcattctgcattttcgctgagatatgtactattcctttgg
 cactgc当地aaatgttggaaacagttggaaaccattgcaggagaaggttgcattttcagcactctggaaagg
 attgtgccagggttacatcgtcaatgttttatggaggattaagaattgggttatacgaaccctgttaa
 gaatttgtatgttggaaagaccatgttggagatgtccgttgcataaaaaaaattctgtgcactaa
 caactgtgtctgtggcaattgcgggtggcaatcctactgtatcttgcataatgttgcacttgcggaa
 gggaaattgcctccaggcgtgcccaggcgatatactggatcggttgcataattcaacaattatg
 acaggaaaggaaatcgaggactttggacttggaaattggcccaatgttgcagaaatgttatcatat
 ctgttgcaggacttgcaggacttgcataatgttgcaggattactgtataat
 gttgtcacacatcttcttgcgttggcagggtttttgcgttgcactgttgcattttgcgttgcacttgc
 tgtggtaagtcaagaatgttggagattcttagttacaaaagcaccattttgcaggattactgtataat
 taaaaaatgtggaccccttgcattttataagggttgcataccaaatttgcggacggctaggatgtgg
 atatgttgcatttttgcataactgttgcaggatgttgcattttgcattttgcattttgcattttgc
 atccattacttttgcacaccctatctcatggatttgcattttataacatataatgttgc
 ttagcaggatgttgcaggaaatccaaaatttgcaggaaatttgcattttgcattttgcattttgc
 tatttgcattttgcattttgcattttgcattttgcattttgcattttgcattttgcattttgcattttgc

>Medicago truncatula UCP1b - alternativa (proteína deduzida)

MVGGGNANSDISFVGTFASSAFSACFAEICTIPLDTAKVRLQLQKQAVAGDTVSLPKYKGMLGTVGTI
 AREEGLSALWKGIVPGLHRQCLYGGLRIGLYEPVKNLVVGKDHDVGDAPLTKKILAALTTGAVAIAVAN
 PTDLVKVRLQAEGKLPPGVPRRYTGSLNAYSTIMRQEGIGALWTGIGPNVARNAIINAAELASYDQVK
 QTILKIPGFTDNVVTHLLSGLGAGFFAVCIGSPDVVKSRMMGDSSYKSTIDCFVKTLKNDGPLAFYK
 GFIPNFGRGLGSWNVIMFLTLEQV

>Medicago truncatula UCP1b (cDNA deduzido)

ttaatcgtaacatttcggtttgaaggcagctatgtggggagggtggtaacgcgaattccgatatctca
 ttctggcacttcgcaggtagtgcattctgcattttcgctgagatatgtactattcctttgg
 cactgc当地aaatgttggaaacagttggaaaccattgcaggagaaggttgcaggatttgcactctggaaagg
 attgtgccagggttacatcgtcaatgttttatggaggattaagaattgggttatacgaaccctgttaa

gaatttgtatgttggaaagaccatgttgagatgctccgtgacaaaaaaaaattctgctgcactaa
 caact~~gg~~tgctgtggcaattgcgggtggcaatcctactgtatctgtcaaagttagactcaagcgaa
 gggaaaattgcctccaggcgtgcccaggcgataactggatcgtgaatgcataattcaacaattatgag
 acagg~~a~~aggaaatcggagctttggacttggaaattggcccaatgttgcagaagaaatgttatcattaatg
 ctgctgagctagccagctacgtcaagtggaaacag~~acc~~at~~tt~~ggaaaattccaggattactgataat
 gttgtcacacatcttcttctggtcttgggagg~~ttt~~tcgtattggctctccagttga
 tgtggtaagtcaagaatgtatgggagattcttagttacaaaagc~~ac~~gattgtttcgtaaaacat
 taaaaaatgt~~tg~~gac~~tt~~tagc~~tt~~tataagggg~~tt~~cataccaaatttcggacggctaggatcg~~tg~~
 aatgtgatcatgttttaacactagaacag~~act~~aaaaagttcgtaaaaatttggaaatcagcc~~tg~~
 tcaaaacaaggaccactaggat~~tt~~attagaaggccgcaaccgggggtgc~~aa~~acagaaatcatcaagaa
 aataaaatcttcttctttttttttt

>Medicago truncatula UCP1b (proteína deduzida)

MVGNNANSDISFVGTFASSAFSACFAEICTIPLDTAKVRLQLQKQAVAGDTVSLPKYKGMLGTVGTI
 AREEGLSALWKGIVPGLHRQCLYGGLRIGLYEPVKNLVVGKDHVDAPLTKKILAALTGAVAIAVAN
 PTDLVKVRLQAEGLKPPGVPRRTGSLNAYSTIMRQEGLGALWTGIGPNVARNAIINAAELASYDQVK
 QTILKIPGFTDNVVTHLLSGLGAGFFAVCIGSPDVVKSRMMGDSSYKSTIDCFVKTLKNDGPLAFYK
 GFIPNFGRGLGSWNVIMFLTLEQ~~TKKFVKKLES~~

>Medicago truncatula UCP2 (cDNA deduzido)

attgcagcaacaacaagatctaacttaatttaaccggaaagcaatcg~~ttt~~catttgatgctattgct
 tctactttcacaatcttctcgccattaacaacaacat~~tg~~tcaatctcagatcccaccatattacc
 ttgcgtcaatcctcctctgcagcgctttcgccgcttgcgt~~ttt~~gtactattcctctgga
 cacggcgaaagtggacttcaactacaaaagaaaggagg~~ttt~~gtatggatggatgggttaccta
 aatataaagg~~ttt~~acttggactgttaaaactattgttagagaagaagg~~ttt~~cttctt~~ttt~~atggaaa
 ggcattgttcc~~ttt~~acaccgtcagtg~~ttt~~gtatgggtt~~ttt~~agaattgccttat~~ttt~~atgatcc~~tg~~
 gaaaactttcttgg~~ttt~~gt~~ttt~~gctgcatttg~~ttt~~gagaagttc~~ttt~~gtatcatatgatactgtc
 ttcttaact~~gg~~gttgc~~ttt~~gcaatcactatcg~~ttt~~atccgac~~gg~~atct~~ttt~~gttcaatct
 gaaggcc~~gg~~atgt~~ttt~~gc~~ttt~~atctgggttacccaaggcgtt~~ttt~~ct~~ttt~~gtatggatgc~~ttt~~atc~~ttt~~accatatt
 gagaca~~gg~~aagg~~ttt~~tagggcc~~ttt~~gtggactggacttgg~~ttt~~ctat~~ttt~~atgcac~~ttt~~gaaatataa
 atgctgtgaacttagttatgatcg~~ttt~~gtggact~~ttt~~ggat~~ttt~~gaaaattccaggattcatggac
 aatgc~~ttt~~actcac~~ttt~~ct~~ttt~~gt~~ttt~~gg~~ttt~~ct~~ttt~~gt~~ttt~~atcg~~ttt~~ct~~ttt~~gt
 tgatgt~~gg~~taaaatccaggat~~ttt~~gtggactgg~~ttt~~ctat~~ttt~~atgcac~~ttt~~gaaatataa
 cttgttcaatg~~gg~~gat~~ttt~~gg~~ttt~~ct~~ttt~~aca~~gg~~ctt~~ttt~~ccaaat~~ttt~~gg~~ttt~~cg~~ttt~~actggagg~~ttt~~
 tggaa~~ttt~~gtt~~ttt~~atg~~ttt~~tacc~~ttt~~gt~~ttt~~aca~~gg~~cc~~ttt~~ag~~ttt~~g~~ttt~~agg~~ttt~~atattgttact
 tttcac~~ttt~~ac~~ttt~~gat~~ttt~~tc~~ttt~~ac~~ttt~~gat~~ttt~~tc~~ttt~~cc~~ttt~~gac~~ttt~~g~~ttt~~cg~~ttt~~act~~ttt~~accaaca
 ctttggat~~ttt~~gt~~ttt~~g~~ttt~~cc~~ttt~~gag~~ttt~~at~~ttt~~at~~ttt~~tc~~ttt~~gt~~ttt~~act~~ttt~~tc~~ttt~~cc~~ttt~~gatagaagtc~~ttt~~at~~ttt~~cc~~ttt~~tc
 atagtc~~ttt~~at~~ttt~~tc~~ttt~~gt~~ttt~~act~~ttt~~gt~~ttt~~g~~ttt~~ataaaac~~ttt~~tc~~ttt~~g~~ttt~~attat~~ttt~~tt~~ttt~~c~~ttt~~ac~~ttt~~gt~~ttt~~cat~~ttt~~g
 tgg~~ttt~~gt~~ttt~~gt~~ttt~~g~~ttt~~at~~ttt~~cat~~ttt~~att~~ttt~~tc~~ttt~~g~~ttt~~ca~~ttt~~g~~ttt~~at~~ttt~~tc~~ttt~~cc~~ttt~~ta
 taggtgtac~~ttt~~act~~ttt~~gt~~ttt~~att~~ttt~~gt~~ttt~~aca~~ttt~~gat~~ttt~~gt~~ttt~~at~~ttt~~tc~~ttt~~gg~~ttt~~aaat~~ttt~~ac~~ttt~~act~~ttt~~cc~~ttt~~act~~ttt~~c
 agtgaac~~ttt~~ac~~ttt~~gaaat~~ttt~~gt~~ttt~~aca~~ttt~~gat~~ttt~~gt~~ttt~~ataa~~ttt~~g~~ttt~~ac~~ttt~~g~~ttt~~ata~~ttt~~at~~ttt~~tc~~ttt~~ta
 ttcaatcaaa

>Medicago truncatula UCP2 (proteína deduzida)

MSISDPNHITFAQSFLCSAFAACFAEFCTIPLDTAKVRLQLQKKGGVGDDGMGLPKYKGLLGTVKTIA
 REEGVSSLWKGIVPGLHRQCLYGGRLIALYDPVKTFLVGA~~F~~EV~~P~~LYH~~M~~ILAALLTGALAITIANP
 TD~~L~~VKVRLQSEGQLPSGV~~K~~RYS~~G~~DAYSTILRQEGLGALWTGLGPNIARNAIINAAELASYDRV~~K~~
 TILKIPGFMDNAFTHLLAGL~~G~~GLFAVFIGSPDVVKSRMMGDSSYK~~N~~TDCFLKTLFNEGFLAFY~~K~~
 FLPNFGRVGVWNVIMFLTLEQAKRVFRG

>Medicago truncatula UCP3 (cDNA deduzido)

ttcattgtcttagaaatagccagccagccagccccgtgcata~~ttt~~at~~ttt~~tttgc~~ttt~~gg~~ttt~~tttctt
 gtatgtac~~ttt~~at~~ttt~~gaaatc~~ttt~~aggc~~ttt~~aatca~~ttt~~gat~~ttt~~aca~~ttt~~act~~ttt~~cata~~ttt~~aca~~ttt~~gat~~ttt~~tttgc~~ttt~~act~~ttt~~ccat~~ttt~~gg
 cg~~ttt~~caat~~ttt~~gg~~ttt~~gg~~ttt~~cc~~ttt~~gag~~ttt~~cc~~ttt~~caca~~ttt~~act~~ttt~~ccat~~ttt~~ag~~ttt~~act~~ttt~~gt~~ttt~~at~~ttt~~caaa~~ttt~~acc~~ttt~~agg~~ttt~~ct~~ttt~~cc~~ttt~~act~~ttt~~gg
 gagtc~~ttt~~c~~ttt~~cat~~ttt~~ca~~ttt~~act~~ttt~~cg~~ttt~~cc~~ttt~~acc~~ttt~~gg~~ttt~~tg~~ttt~~cat~~ttt~~aa~~ttt~~at~~ttt~~gg~~ttt~~c~~ttt~~tag~~ttt~~ac~~ttt~~g~~ttt~~at~~ttt~~tc~~ttt~~caacaagg

tcctcttgccttataaggcgttgtccagcaatttaagacacctattcacaccctattcgaa
ttgttggtatgagcacctgaggagtgattctgataatgggtcgccctatcattggcaag
gctgttgtggaatctctggcagtatggctcaggttatagcaagccggctgatctgtcaaggt
gaggatgcaagctgatagtcaaattgagaaaaggcttcaacactcggtattcagggcaattgatg
ctttacaatcattaaagctgaaggattcaaggactatgaaagggtttttctaataatccaa
agagccttcttagtgaacatggggattagcctgttatgatcatgctaaacaatttttattaaag
taagatagccgaggataatgttatgcccacacattagcttccatcatgtcaggtctgcggcaactt
cttaagttgtccagccacgttgtaagactagaatgatgaatcagacagctaaaaaggaaggaaat
gtcttatataagaagctttatgattgttgtaagacagttaaagttgaaggaataagagactctg
gaaaggattctccccacatggcaaggcttgcgtggcaattttttctgggttcataatgaga
agtttagaaaacttgcgtggctctttcttctttaggacattattttgatttgcgtttaaacattca
ttcaagataaaattcacaattcacagcct

>Medicago truncatula UCP3 (proteína deduzida)

MKSGNQVDNTHTKILLTSAMVAESTTFPIDLIKTRIQLHGESLSSTRPTGAFQIGLDIIRQQGPLC
LYKGLSPAILRHLFYTPIRIVGYEHLRSVISSDNGSPSIIGKAVVGGISGSMAQVIASPADLVKVRMQ
ADSQMMRKGLQPRYSGPIDAFNKKIAEGFQGLWKGVFPNIQRAFLVNMGELACYDHAKQFVIKSKIA
EDNVYAHTLASIMSGLAATSLSCPADVVKTRMMNQTAKKEGNVLYRSSYDCLVKTVEGIRALWKG
FPTWARLGPWQFWVSYEKFRKLAGLSSF

>Medicago truncatula UCP4 (cDNA deduzido)

aaacaacattcatagtttttagcatatgtctcagagacctaacttccactcttccatagcc
tgtggccttcattccatctcctgggttccagttagatgagactctacttaattttttccaa
ttcccaacttagaacttagttctactactatcaattaaatttattacaccccaatattcatttt
tattttttagaaacttattgaaaccccttttctataactactcagaaacaacaacaaaaacaccatg
ggtgtcaaagggtttgttaggttcaatcatagcaggatgttccacacatccactaga
tcttattaagggttcgcattcaacttcaaggtaaaaacgcgcctaagccgaaccaggatcagatctt
gaccggctttgtttcgtaaaaccggaacaactacgtatccatgttgggtctactccgttctcag
cctcgtgtggcccttgcattcagtcggagtcgttcaacaagaagggttaacagcttttttctc
tggcatctccgcaccgtgctcaggcagacactgtactccaccaggatggactttacgaggttt
tgaaaaacaagtggacagatcgtgaagctggggactatgccgtggcaatcgaggcttgg
cttattgtgtgggttgggtctgtatcgtaaccccgccatgttgcattgttcaatgcac
cgatggagactcccaccggctcagcagagaaactacaaatctgttgcacgcattaccagaatgg
cgaaggcaggaaagggtgactgtcttgcgcgggtcatcattgactgtgaaccgcgcattgtgg
acagcttcacagactggcttcatatgtcaattcaaggagatgattcttgcggacttgcgtga
tggccttggaccatgtgacagactttgcagcgggatttgcggcgggttgcgtcaatccag
tggatgttattaaagacaagggtgatgaacatgaagggtggaggctggaaaggaccaccatgtgg
gtttggattgtcttgcggacttgcgtgtggcgttgcgggttgcgttgcgttgcgttgcgtt
tacaattcaaggcaggacccatgttgcgttgcgttgcgttgcgttgcgttgcgttgcgtt
tgaaggatttcttgcgttgcgttgcgttgcgttgcgttgcgttgcgttgcgttgcgttgcgtt
ctctgttttaattttgtttctatgtgggttgcgttgcgttgcgttgcgttgcgttgcgtt
ttttaatttgcgttgcgttgcgttgcgttgcgttgcgttgcgttgcgttgcgttgcgtt
tgatattcatattgaatattaatcacctat

>Medicago truncatula UCP4 (proteína deduzida)

MGVKGFVEGGIASIIAGCSTHPLDLIKVRMQLQGENAPKPNPVQILRPALAFQGTGTTIHVGSTPVP
QPRVGLVSVGVRLVQQEGVTALFSGISATVLRQTLYSTTRMGLYEVLKKNWTDREAGGTMPPLVRKIEA
GLIAGVGAAIGNPADVAMVRMQADGRLLPAQQRNYSVVDAITRMAKQEGVTSWRGSSLTVNRAML
VTASQLASYDQFKEMILEKGVMRDGLGTHVTASFAAGFVAAVASNPDVVIKTRVMNMKVEAGKEPPYA
GALDCALKTVRAEGPMALYKGFPIPTISRQGPFTVVLFVTLEQVRKLLKDF

>Medicago truncatula UCP5a (cDNA deduzido)

```
gggtcccacccactcctacagcaggctatatatactttccaaacatcacttcccatttcctcaaaaact
tggaaaacgcggtgcggcgctttttcttccaatccctcgccggAACCCAAACCAACTCTCACATCAA
CTATAATGGGTGTCAGACATTCTGAAGGTGGCATTGCTCCATCGTGCAGGAAAGCACCACACTCAG
CCACTCGACCTAATCAAAGTCGAATGCAGCTCAAGGCAGAGAAATCTCCCTCTCGCCCCGCTTA
TGCTTTCATCACTCTCACATTCTCCGCCAATCTTCAACCTAAACCCCTGTTCAGGACCCATCT
CCGTGGAATCCGATTGTTCAATCTGAAGGTATCACCGCTCTTCTCCGGGTATCCGCCACCGTC
CTCCGTCAAACACTCTATTCCACACACGTATGGTCATCGATGTTCTCAAACAAAACGGACCGA
TCCAGAAAATCGGAACAATGCCGTAACGAAAAAGATTACAGCAGGTTAACCGCCGGTGAATCGCG
CCGCCGTGGGAATCCTGCTGACGTGGCGATGGTCTGATGCAAGCTGACGGCAGACTCCGGTGAAT
CAGCGACGGGATTACAAAGGCGTGTGATGCGATTGGAGAATGGCGAATCAAGAAGGGATTGGTTC
TCTGTGGCGAGGTCAGCGCTACGGTAACCGCGCATGATCGTAACGGCTCGCAATTAGCTCGT
ATGATACATTCAAGGAGATGATTTGGAGAAAGGATGGATGAAAGATGGGTTGGGACCCACGTGGT
GCGAGTTTGCGCGGGTTTTGGCGCGGTGCGTCAATCCAATTGATGTGATAAAAGGACTAGGGT
TATGAGTATGAGGTGGATCTGGTGGGGAGGGTGCACCGTATAAGGTTTATTCCCTACAATTCAAG
ACAGGGTCTTTTACTGTTCTTCGTCACGCTGAACAACCTAGGAAGCTGCTTAAGGATTTTGATG
GAATTCTTTTATTCTAAGATGATGATGAATAAGTCTATTGATGTAGGGATTAGTATAAGT
TAGGATATTGATGTTACAAATTACACTGA
```

>Medicago truncatula UCP5a (proteína deduzida)

```
MGVKAFLEGGIASIVAGSTTHPLDLIKVRMQLQGEKNLPLRPAYAFHHSSHSPPIFHPKPSVSGPISV
GIRIVQSEGITALFSGVSATVLRQTLYSTTRMGLYDVLKQNWTDPYEIGTMPVTKKITAGLIAGGIGAA
VGNPADVAMVRMQADGRLPVNQRRDYKGVFDAIRRMANQEIGISLWRGSALTVNRAMIVTASQLASYD
TFKEMILEKGWMKDGFTHVVASFAAGFLAAVASNPIDVIKTRVMSMKVGSGGEGAPYKGALDCAVKT
VRAEGVMALYKGFPIPTISRQGPFTVVLFTLEQLRKLLKDF
```

>Medicago truncatula UCP5b (cDNA deduzido)

```
cttccacaatcattttccctccaaacacacacttgctataaattcccttattccaaatataactt
cacaacacaaacccctgtttcgtttcacacatggtttttttcacatgtctcaaacccttttta
cggtccatcttgcattttcattttttttttttttttttttttttttttttttttttttttttttt
tttaccaccccccataatttgcggatccgtttttttttttttttttttttttttttttttttttt
ccccaaaaattctattgcggatccacacaaccctttttttttttttttttttttttttttttttt
ggcaatttatcgcaatgggtgtgaaagggtttcgtaaggaggcatagctccatcattgcagggtgt
tcaacacaccctttgatctcatcaaggttgcggatgcggatcccttccatcggttccatcggtt
ttccgaccaggcattttttccaaaccgggttcgggttccatcggttccatcggttccatcggtt
cccggtttggccatcgccgtttgggtttaagcttagtccacaagaagggttagcagcacttttcc
gggtctctgccccccatcggttccatcggttccatcggttccatcggttccatcggttccatcggtt
gaagaaaaatggtctgatccatcggttccatcggttccatcggttccatcggttccatcggtt
tagccgggtggattggcgccgtgtcggttccatcggttccatcggttccatcggttccatcggtt
ggaaaggactccatcggttccatcggttccatcggttccatcggttccatcggttccatcggtt
agacggggagttactagccatcggttccatcggttccatcggttccatcggttccatcggtt
catcacagctggcatccatcggttccatcggttccatcggttccatcggttccatcggttccatcggtt
tttggggaccatcggttccatcggttccatcggttccatcggttccatcggttccatcggttccatcggtt
tgtgatcggttccatcggttccatcggttccatcggttccatcggttccatcggttccatcggttccatcggtt
ttggattgtgttccatcggttccatcggttccatcggttccatcggttccatcggttccatcggttccatcggtt
attacaaggcaggggaccgttaccgttccatcggttccatcggttccatcggttccatcggttccatcggttccatcggtt
ggatccatcggttccatcggttccatcggttccatcggttccatcggttccatcggttccatcggttccatcggttccatcggtt
gtcagatccatcggttccatcggttccatcggttccatcggttccatcggttccatcggttccatcggttccatcggttccatcggtt
```

gtgtgttaccgattgtgattgaattctgtaccaagaattggtgcttagaatttgattatgagaaatt
attactatagtttaattttaatcttgagattctaaagtt

>Medicago truncatula UCP5b (proteína deduzida)
MGVKGFVEGGIASIIAGCSTHPLDLIKVRMQLQGENAPTTNIRPALAFQPGSVHRSPAVTAQPPRVGP
IAVGVKLVQQEGVAALFSGVSATVLRQCLYSTRMGLYDMMMKKWSDPISGTLPLTSKIGAGLLAGGI
GAAVGNPADVAMVRMQADGRLPSAQRNRNYKSVDMAISRMADEGVTSLWRGSSLTVNRAMLVTASQLA
SYDEFKEKILKNGWMKDGLGTHVVVASFSAGFVAAVASNPVDVIKTRVMNMKVEAGSPPPYSGAIDCAL
KTIRAEGPMALYKGFPIPTITRQGPFTVVLFTLEQVRKLLKDF

>Cicer arietinum UCP1a (cDNA deduzido)
acccaatttccaaataccacattttacttacagagcgcttcaaaacaaaagcaaaagtatat
caaaggaaagaaagaaaggacaacccaaattctcaattctcaaacgcaccccttcggttccttctt
cattttctctgaattattaatatttatttatttatttgcacatggtagcagcagattctaactccaaa
tccgacatctcttcgctggaatcttgcagcagtgccttcgcacatgttcgcacttgcgcacatggtag
cataccttggacactgccaaagtttaggcttcgcacatggtagcagctgttagctggtagtgc
cattacaaaatacaggatgtctggaaacagttcaaccattgcacaggagaaggatgttgc
ctatggaaaggcattgtcccaggctacatgtcaatgttgcacatggtagtgc
tgaggctgttaagactctctatacggaaagtgcacatgttgcacatgtcaacaaaatt
tagctgcatttacgactggctgttgcacatggcaacttgcacatgttgcacatgtca
cttcaagcagaaggaaaattacctccgggtgttcccaggcgctactcaggatcttgc
gtcaatcgtagacaggaaaggatgttgcacatgttgcacatggtagtgc
gtattatcaacgcgttgcacatgttgcacatgttgcacatgttgcacatgtca
ttcactgacaatgtttaactcatctccttgcacatggtagtgc
ctccccgggtgttgcacatgttgcacatgttgcacatggtagtgc
ttgtcaaaaccttgcacatgttgcacatgttgcacatggtagtgc
ctggatcttgcacatgttgcacatgttgcacatggtagtgc
atcatcatgagctcaatcataattacataaagtgttgcacatgttgcacatggtagtgc
agttgaaattgttagaaaataaagacccatgttgcacatgttgcacatggtagtgc
tttcaaaagagaaaaatgaaatgttgcacatgttgcacatggtagtgc
aatcttgcacatgttgcacatgttgcacatgttgcacatggtagtgc
catgacatgcacaggagattttcaaaattggatgttgcacatgttgcacatggtagtgc
caaaa

>Cicer arietinum UCP1a (proteína deduzida)
MVAADSNSKSDISFAGIFASSAFSACFAEICTIPLDTAKVRLQLQKQAVAGDVVSLPKYKGMLGT
IAREEGLSALWKGIVPGLHRQCLYGGLRIGLYEPVKTLYTGSVDHVGDVPLSKKILAFTGAVA
NPTDLVKVRLQAEGLPPGVPRRYSGSLNAYSSIVRQEGVGALWTGLGPNIARNGIINAAELASYDQV
KQTILKIPGFTDNVLTHLLSGLGAGFFAVCIGSPDVVKSRMMGDSSYKSTLDCFVKTLKNDGPLAFY
KGFLPNFGRLGSWNVIMFLTLEQTKKFVKSLS

>Cicer arietinum UCP1b (cDNA deduzido)
ctattaaaaatgaacccgattgagaaaattcacatatgcatactgcacataaaaaaaaagaattaaa
aaaaaaaaaaaacaactttcagtttcccttcacaaattgttcaaaaaaaaacagactatggttgcagg
tggactcaaattccgatcatctttgttgcacttcgcacatgttgcacatgttgcacatgttgc
ctgagatgcactattccctggacactgcacatgttgcacatgttgcacatgttgcacatgttgc
ggtagatgttagttacataaatacaggatgttgcacatgttgcacatgttgcacatgttgc
tcttcatcacttgcacatgttgcacatgttgcacatgttgcacatgttgcacatgttgc
tcgggttatacgagccatgttgcacatgttgcacatgttgcacatgttgcacatgttgc
aaaaaaattcttgcacatgttgcacatgttgcacatgttgcacatgttgcacatgttgc
caaagtttagactcaaggtaaatttgcacatgttgcacatgttgcacatgttgc
caaaa

atgcttattcaacaattgtcaa~~caga~~aggaaattggagctttggaccggcattggcccaatgtt
 gcaagaaaatgctatcattaacgc~~tgt~~gaactagccagctatgatcaagt~~aa~~aca~~g~~accattttgaa
 aattccaggattactgataac~~gtt~~cacgc~~at~~ttttctgg~~t~~ctggg~~c~~aggattttcgag
 tctgtattggctccccgg~~t~~gac~~gt~~gg~~t~~taa~~at~~cgagaatgatggagaccc~~t~~tagttacaaaacaca
 cttgattgttcgtcaaaacatta~~aaa~~atgat~~gg~~ac~~c~~tttagc~~c~~tttataagg~~g~~ttcat~~ac~~caa
 tttggacggctaggatctt~~g~~aatgt~~g~~atcatgtttactct~~g~~aca~~g~~actaaaagttcg~~t~~ca
 aaagttt~~g~~aatcagcataatcttaag~~g~~ca~~a~~gt~~ac~~caaaaattttatgagc~~ac~~gg~~t~~gaca~~ac~~tt~~g~~
 g~~g~~t~~ca~~ac~~ag~~aaaat~~ca~~ag~~aa~~at~~tt~~act~~tt~~ctattttctatt~~g~~aat~~g~~tg~~ta~~aca~~at~~
 tt~~g~~gc~~t~~tagaaaaataagtatt~~g~~at~~aa~~ataacttatt~~g~~at~~ag~~at~~g~~ct~~ag~~at~~tt~~aa~~g~~ctt
 caaat~~c~~act~~gt~~tttat~~ttt~~gtatt~~aa~~ttat~~c~~ttaca~~g~~ttat~~c~~taag~~g~~at~~tt~~caag~~g~~at~~tt~~gac~~ag~~at~~g~~
 g~~g~~aat~~g~~agg~~g~~aaatt~~g~~tagatt~~g~~cttt~~g~~gc~~c~~c~~t~~ttt~~g~~tt~~g~~at~~ttt~~ctaata~~c~~aca

>Cicer arietinum UCP1b (proteína deduzida)

MVAGGNNSNSDISFAGTFASSAFSACFAEICTIPLDTAKVRLQLQKQAVAGDVSLPKYKMLGTVGTIA
 REEGLSSLWKGIVPGLHRQCLYGGLRIGLYEPVKNLYVGSDHVGDA~~PLSK~~KILAALTGAVAI~~A~~VANP
 TDLVKVRLQAEGKLPAGVPRRYTGSLNAYSTIVKQEGIGALWTGIGPNVARNAI INAAELASYDQVKQ
 TILKIPGFTDNVVTHLLSGLGAGFFAVCIGSPDVVKSRMMGDPSYKNTLDCFV~~K~~TLKNDGPLAFYKG
 FIPNFGR~~L~~GWSNVIMFLTLEQTKKFVKSLEA

>Cicer arietinum ucp2 (cDNA deduzido)

gttgcttcatttcatttcattcacactttcaccatcacaattcacaatcctcaacaacaacaacaaca
 at~~g~~tcaatctcagatccaa~~c~~ccatctttcttcactcaatc~~tt~~c~~c~~tgc~~ag~~gc~~c~~c~~tt~~tc~~gg~~c~~tt~~g
 tt~~g~~c~~cc~~g~~ag~~ttt~~g~~tactattc~~c~~c~~tt~~gac~~ac~~ag~~c~~taa~~g~~t~~g~~ag~~a~~c~~t~~ca~~c~~act~~aa~~ag~~aa~~agg~~ag~~
 gaagt~~tt~~g~~g~~aaatt~~g~~at~~g~~at~~g~~ct~~g~~g~~g~~aaat~~g~~gaatt~~g~~gaatt~~g~~ct~~g~~c~~c~~ct~~aa~~at~~ca~~aa~~g~~g~~tt~~act~~t~~
 g~~g~~aa~~c~~cg~~tt~~aa~~a~~act~~t~~tg~~c~~gt~~g~~aa~~g~~ag~~gg~~ttt~~g~~ct~~tt~~at~~g~~g~~g~~aa~~g~~g~~c~~att~~tt~~c~~tt~~ct~~gg~~tt~~g~~
 g~~c~~at~~c~~gt~~c~~agt~~g~~tttat~~at~~g~~g~~tt~~g~~ta~~g~~aa~~tt~~g~~c~~c~~tt~~at~~at~~g~~at~~c~~tc~~tt~~g~~tt~~g~~
 gtact~~g~~catt~~tt~~g~~g~~gt~~g~~aa~~g~~gt~~tt~~c~~tt~~tt~~g~~tt~~g~~cat~~at~~g~~at~~t~~g~~ct~~g~~ct~~tt~~ct~~c~~act~~g~~tt~~g~~
 g~~ca~~at~~c~~act~~tt~~g~~c~~taat~~c~~c~~ta~~ct~~g~~ac~~c~~ct~~g~~at~~tt~~aa~~g~~gt~~tt~~g~~c~~tt~~ca~~ag~~c~~tc~~g~~aa~~g~~g~~cc~~at~~c~~
 t~~gg~~gt~~ac~~ccaa~~a~~ag~~c~~gt~~t~~t~~at~~c~~g~~gt~~g~~cg~~at~~g~~g~~at~~c~~att~~ca~~acc~~at~~tt~~g~~ag~~ac~~aa~~g~~agg~~tt~~ag~~g~~
 g~~gg~~c~~tt~~gt~~g~~act~~g~~g~~g~~act~~g~~g~~g~~c~~tt~~at~~at~~g~~ac~~c~~ac~~g~~g~~aa~~at~~g~~c~~tc~~g~~g~~g~~act~~g~~g~~c~~
 ag~~tt~~at~~g~~at~~ca~~aa~~g~~ac~~g~~ac~~g~~tt~~tt~~g~~aa~~at~~tt~~c~~gg~~att~~c~~ac~~g~~aca~~at~~g~~c~~c~~tt~~act~~c~~ac~~c~~
 c~~c~~tc~~g~~g~~g~~ct~~c~~agg~~g~~ac~~g~~gt~~tt~~c~~tt~~cg~~ct~~gt~~tt~~at~~tt~~g~~g~~ct~~c~~c~~tt~~gt~~tt~~g~~at~~g~~tt~~g~~aa~~at~~cc~~
 gg~~at~~g~~at~~g~~gg~~gg~~act~~ca~~ag~~ct~~ac~~aa~~aa~~ac~~ac~~c~~tt~~g~~act~~g~~c~~tt~~c~~ta~~ag~~act~~tt~~g~~tt~~ca~~at~~g~~gg~~ga
 t~~tt~~tt~~g~~c~~tt~~ct~~c~~ta~~aa~~agg~~tt~~c~~tt~~c~~tt~~c~~ta~~at~~tt~~g~~g~~tag~~tt~~g~~g~~ag~~tt~~g~~g~~ac~~tt~~g~~g~~ct~~g~~g~~g~~aa~~tt~~g~~tt~~at~~g~~
 t~~ct~~tt~~ac~~c~~tt~~g~~a~~aca~~aa~~g~~cc~~aa~~at~~g~~tt~~tt~~g~~ag~~gg~~at~~aa~~at~~act~~g~~tt~~act~~ct~~ac~~at~~g~~at~~g~~tt~~ag~~tt~~g~~at~~
 tc~~ag~~c~~agg~~g~~ag~~aa~~at~~g~~tt~~ct~~tt~~c~~ta~~at~~tt~~g~~g~~tag~~tt~~g~~g~~at~~g~~ct~~ac~~cc~~g~~ac~~act~~ct~~tt~~g~~at~~tt~~g~~g~~c~~
 tg~~ag~~gg~~g~~aa~~ac~~g~~gt~~tt~~ca~~ac~~at~~tt~~g~~tt~~c~~c~~ta~~at~~tt~~g~~g~~act~~tt~~ct~~g~~g~~tt~~g~~at~~g~~tt~~g~~aa~~at~~cc~~
 at~~at~~at~~tt~~c~~ta~~act~~g~~aa~~aa~~ac~~cc~~g~~t~~c~~ag~~att~~ac~~t~~tt~~g~~at~~tt~~g~~tt~~g~~ct~~ta~~ag~~ac~~g~~c~~att~~tt~~g~~g~~
 tag~~tt~~g~~g~~at~~g~~t~~c~~acc~~at~~t~~c~~gt~~at~~tt~~c~~ta~~g~~ca~~at~~g~~at~~t~~tt~~ct~~g~~t~~ca~~aa~~act~~ac~~tt~~c~~act~~tt~~at~~agg~~g~~
 tgt~~ac~~act~~g~~t~~tt~~t~~tt~~g~~at~~tt~~c~~ag~~at~~act~~at~~c~~tt~~tt~~g~~gg~~aa~~at~~g~~c~~tt~~act~~tt~~act~~aa~~tt~~cc~~aa~~tt~~
 tt~~g~~aa~~ac~~ac~~g~~gg~~cc~~g~~aa~~at~~g~~g~~at~~tt~~c~~act~~aa~~act~~tt~~at~~aa~~ag~~tt~~g~~ta~~att~~tt~~act~~tt~~c~~tt~~at~~c~~ca
 aaa

>Cicer arietinum ucp2 (proteína deduzida)

MSISDPNHLSFTQSFLCSAFAACFAEFCTIPLDTAKVRLQLQKKGSVGIDDAGNGIGIASPKYK~~LL~~
 GTV~~K~~T~~I~~AREEGVFALWKGIVPGLHRQCLYGG~~R~~IALYDPVKIFLVGTA~~F~~VG~~E~~P~~L~~F~~H~~M~~I~~A~~L~~LT~~G~~
 AITIANPTDLVKVRLQAEGQLPSGV~~K~~RYSGAMDAYSTILRQEG~~LG~~ALWTGLGPNIARNAI INAAELA
 SYDQVKQTILKIPGFTDN~~A~~FTHLLAGSGAGLF~~A~~VFIGSPDVVKSRMMGDSSYKNTFDCFLKTLFNEG
 FFAFYKGFLPNFGRVGAWNVVMFLTLEQAKNVFRG

>Cicer arietinum UCP3 (proteína deduzida)
MKSGHQQGGVDTTHKILITSLSAMVAESTTFPIDLIKTRLQLHGESISSSRSTGAFRIGLDIIRKQS
PLGLYKGLSPAIFRHLFYTPIRIVGYEHMRSVASADNGSLSIIGKAFVGGISGSMAQVIASPADLIKV
RMQADSQSMSQGLQPRYSGPFDALNKIVQAEGFQGLWKGVFNPNIQRAFLVNMGELAVYDHAKQFVIKS
RIAEDNVAHTLASIMSGLAATSLSCPADVVKTRMMNQAAKKEGNVLYSSSYDCLVKTVKVEGLRALW
KGFFPTWARLGPWQFVFWVSYEKFRRNFAGLSSF

Cicer arietinum UCP4 (cDNA deduzido)
ttgaaggcagtaacctagatacttccaaagaacaaccactataaaaacccccctcaacctttctt
ttctccacacaaaaactacagcatatgtctcaaaggccttcggtcacttcttcttatagcttg
tgtctccattctcatctctggctccaggatgagatgaactctaactccaattggcattcttcaatt
gccacttagttattattagatctacaattttcattctttctcctaaatttttctattcttcaatt
aaccttttctcaaaaaaccacatgggtgtcaaagggttgtgaaggaggcattgtcc
attatcgccagggtgttccaccaccacttgattaatcaagggtcgatgcagctccaaggcggaaaa
cgctccaaaccgaaccgggtcataacctccgaccggacttgcttccaaaccggacaacttcca
tccacgtgggcctactccgctccacaacacctcggtggtcccattctcagttgggtacgtctcgcc
caacaagaaggcgtccgagctcttccggcgtctccgaccgtgctccggcagactctactc
caccaccaggatgggccttacgacatcctaagactaaatggtcagatcaagctagcgtaacatgc
cgctggctcgcaaaatcgaggccggactcattggccggaggctggagccgcattggaaaccctgccc
gatgtagccatgggtcgaaatgcagccgatggaaagacttccatggctcagcgtcgaaactacaatc
tgtcggtggacgcccattacaagaatggcgaaacaggaggcgtgacaagtcttgcggcgggtcatctt
taacagtgaaccgcgtatgttagtcacggccctccaaattgcctcctacgatcaattcaaggagatg
atttcgagaaggagtgatgcgtgatggacttggaccacgtgacagcgtggatgttgcggcgggatt
tgtggccggcggggcaagtaaccaggatggatgttattaaaacgagggtgatgaatatgaaggtggagg
caggttaaggaagcaccttatgctggcgtttggattgtgcattggaaaacgggtcgatgcggc
atggctttacaaagggttatacctacaatttcgaggcagggtccttcaactgttgcggcgggatt
tactcttgagcagggtcgcaagttgttcaagatattctgagtaagttagatcgatgatgacgaa
tttttagtttaagttcgattccaataactctgtttgaaattatttcctagtggttgcggc
aatggtaattttgttataatgttatttgcggatgttgcggcattcaacaaacaatttaaggaata
tttttaattqaqaa

>Cicer arietinum UCP4 (proteína deduzida)
MGVKGFVEGGIASIIAGCSTHPLDLIKVRMQLQGENAPKPNPVHNLRPALAFQTGTTSIHVGPTPLPQ
PRVGPISVGVRLVQQEGVRALFSGVSATVLRQTLYSTTRMGLYDILKTWSDQASGNMPLARKIEAGL
IAGGVGAAIGNPADVAMVRMQADGRLPSAQRRNYKSVDAAITRMAKQEGVTSLWRGSSLTVNRAMLVT
ASQLASYDQFKEMILEKGVMRDGLGTHVTASFAAGFVAAVASNPVDVIKTRVMNMKVEAGKEAPYAGA
LDCALKTVRAEGPMALYKGFRIPTISRQGPFTVVLFVTLEQVRKLFKDF

>Cicer arietinum UCP5a (cDNA deduzido)

```
aaatacatcccctagttcccttgcgtccaccaagaatttagaaagcgccgttgcgtttcttcttcttct  

tcacaacacaacacagcggcttcacatcagttacattaaccaaatagttaattatctaatacttgcaca  

ttaactacaaagatgggtttaagggtttctagaagggtggcatgctccattgttcaggaagcac  

aactcaccactcgacctcatcaaagttcgcatgcaacttcaaggcgagaccctccacttcacaca  

atcttcgtcccgctttgttacttcttacacacccctcaataacttccaactacacccccctccgtc  

tcaggacctatctccctcgccctccgtattgttcaatccgaaggcgctccgtctttctccggcgt  

ctccgcaccgtctccgtcaaactcttattccaccacccgcattgggtctctacgacccctcaaac  

aaaactggaccgatccgatgttagaacaatgcctgttcaaaaaagataacggcggtttaatcgcc  

ggcgggattggcgccgcttaggaaacccctgctgacgtggcgatgggttcgtatgcaagccgatggc  

acttccggtaactgaacgcgaaattacaaaagcgatttcgacgcgatataagagaatgtcgaatcagg  

aagggattggttctgtggcgccgttgcgcgttacggtgacccgcgcgatgattgttaacggcttct  

cagttggcttcgtatgtatcaattaaagagacgattgtggagaaaagggtggatgaaaggatggatttgg  

gaccacgtgtcagcgatggccgttgcgcgggttcgtggcgccagttgcattcaaccattatgtga  

taaagacttagggttatgagtatgaaggtggaatctgggtggatgactccacctataatggtcactt  

gattgtcgatataagactgttcgtgctgaaggacctatggctcttacaagggtttattccataat  

ttcaaggcagggtccttactgttgcgttgcacgcgttgcacaaggatgactgtcaagg  

attttttgtaatttttatacactattcatttttcgcatttgcgcgttgcatttgcgcgcatttgcatt  

tataacttagatttttcatttgcatttgcgcgttgcatttgcgcgcatttgcatttgcgcgcatttgc  

tcataatattttacattggttatgtattttacttatttgcatttgcgcgcatttgcatttgcgcgcatttgc  

caa
```

>Cicer arietinum UCP5a (proteína deduzida)

MGVKGFLEGGIASIVAGSTTHPLDLIKVRMQLQGETLPLSHNLRPAFAFHSSHPSILPTTPPSVSGPI
SLGLRIVQSEGVSALFSGVSATVLRQTLYSTTRMGLYDLLKQNWTDPDVGTMPVSKKITAGLIAGGIG
AAVGNPADVAMVRMQADGRLPVTERNYKSVFDAIKRMSNQEGIGISLWRGSAUTVNRAMIVTASQLAS
YDQFKETIVEKGWMKDGFETHVSASFAAGFVAAVASNPIDVIKTRVMSMKVESGETPPYNGALDCAI
KTVAEGPMALYKGFRIPTISRQGPFTVVLFVTLEQVRKLLKDF

>Cicer arietinum UCP5b (cDNA deduzido)

```
tccttcacaaatatttttcctcaaaagatacttgcataaaattccatccccttactacaagc  

aactccccacacacaaacccctgtgtgtttcttgcatttcgtatctgaaacaccgttgcattttctgt  

cacatgtctcataagcccaacttactcaatctgtttcatagcatttgcctcattccaaaccaa  

actccaaattagtcatttctatcatctccaaataattgattccgttcatccgttacattccctca  

gggctcaatcacaatcacaacacaaaataaaaataaaaaaccttattattactttcgaaatatcc  

ccgatatagtctgttgcacaaaatcaacccaaaccaatcttttgcatttgcattttcaaggatca  

caaacttttgcacaaaaagatgtatgggtgtcaagggtttcgatgcaggaggcatgcattccatcat  

tgcagggtttcaacacaccccttgcattcatcaagggttcgaatgcagttcaaggagaaaattcaaa  

caccacaaatccgacccgcaatggcaatccaaaccgggtccgttactcgatgcggccgcacgt  

gttgggtccatattccgttgggtttaatttagtccaacaagaagggttagccgttgcattttctccggcgt  

ctccgcaccgtctccggcagggtctactccacaacccgtatggacttgcacatgcata  

aaaaatggaccgatccaaacgcccgggttaccatgcgttacaaggatccagccgacgtggcgttgcaggatgc  

ggccgggtggatccccccgggttgcggatccagccgacgtggcgttgcaggatgcaggccgacgg  

aagacttccgccaactcaaagacgaaattataatccgttgcgttgcgcattcaca  

atgaggagttacttagtctatggcgccgttgcattgcattgttgcgcgcattgttagttacggcg
```

tcgcagctggcatcctacgacgagttaaaggaaacaatttggaaaaagggttgatgcggatggat
 tggactcacgtacagcgagttgcagcgggtttgtggcagcagttgtacgaatccggatggat
 tgattaaaacgagggtatgaatataagggtggaggtggatccccccgtactccggatggat
 gattgtttgaagactgtcgtgtgaggttcatacgcttataagggtttattcctacgat
 tacgagacaggaccccttacggttgtctgttacgttggaaacaggttcgtaaatggcttaagg
 atttctaaagtgcgtatgaacaacgatataatgtttagacggattttatattatattaaat
 tttagtttagttatthaattaaatggatgttgcatacgatcagctattcaattaaatt
 ggcaatagattgttatcgactgaatttagaacttagttatggcgttggaaattggatgaaattaa
 tattattttcatattaaatggatcaagttggagaatgttattattatcagcagctcata
 atttgcgttgcata

>Cicer arietinum UCP5b (proteína deduzida)

MGVKGFVEGGIASIIAGCSTHPLDLIKVRMQLQGEIQTNPNIKPAMAIQPGSVHSLPPPRVGPIISVGV
 KLVQQEVAALFSGVSATLRLQVLYSTTRMGLYDMLKKWTDNAGGTMPPLTSKIAAGLIAGGIGAAV
 GNPADVAMVRMQADGRLLPPTQRNRYSVVDAITRMAKDEGVTSLWRGSSLTVNRAMLVTASQLASYDE
 FKETILEKGWMRDGLGTHVTASFAAGFVAAVVTNPVDVIKTRVMNMKVEVGSPPPYSGAVDCVLKTVR
 GEGPMALYKGFIPTRQGPFTVVLFVTLEQVRKLLKDF

>Lupinus angustifolius UCP1 (cDNA deduzido)

accatggcagattccaactccaaatccgatatctccttcgtgtctttgcacggcgtcgttt
 ttctgcattttcgctggatggactactattccttggacactgccaaatggcttgcacatttcaga
 aaaaagctgttagctggcgatgcacattttacccaaatataagggtatggtggggacgggttgcaccatt
 gcaaggaaagaaggatatttgcactttggagaggcatagtgcacgggttgcacatgttgcata
 tgggggttaagaattgggtatatgatccatgttgcacatgttgcacatgttgcacatgttgcac
 atgtttcattgtcaaaagaaaattctgcatttacaaccgggtgcgttgcacattactatagcaat
 ccaactgtatctgtcaaaggtagacttgcacattttggaaatgttgcacatgttgcacatgttgcac
 ttctggatctttaatgcttgcacatgttgcacatgttgcacatgttgcacatgttgcacatgttgcac
 ttggcccaatatacgcaagaaatggatcatcaacgcgtgcactgttgcacatgttgcacatgttgcac
 cagaactatattgaaaattccaggcttcaccgcacacgttgcacatctcctgtctggcttgcacatgttgcac
 aggggttttgcgttgcattggctcccaatcgatgttgcacatgttgcacatgttgcacatgttgcac
 gttacaaaagcaccctcgactgtttgtcaaaacattaaaggatgttgcacatgttgcacatgttgcac
 ggattcctccaaatggatgttgcacatgttgcacatgttgcacatgttgcacatgttgcacatgttgcac
 taagaatttgcacatgttgcacatgttgcacatgttgcacatgttgcacatgttgcacatgttgcac
 aataattatccaaacgcacatgcacatgttgcacatgttgcacatgttgcacatgttgcacatgttgcac
 ttgggatattgtcaaacatattttacagggggaaaagggtgaaatggat

>Lupinus angustifolius UCP1a (proteína deduzida)

MVADSNSKSDISFAGLFASSAFSACFAEVTTIPLDTAKVRLQLQKKAVAGDATLPKYKGMVGTVATIA
 REEGISALWRGIVPGLHRQCLYGGLRIGLYDPVKSLYVGKDHVGDVSLSKILAAFTTGAVALTIANP
 TDLVKVRLQTEGKLPPGVRRYSGSLNAYSTIVRQEGVGALWTGLGPNIARNGIINAAELASYDQVKQ
 TILKIPGFTDNVTHLLSGLGAGFFAVCIGSPIDVVKSRMMDSSYKSTLDFVKTLCNDGPAAFYKG
 FLPNFGRILGSWNVIMFLTLEQTKKFVKGLESS

>Lupinus angustifolius UCP1b (cDNA deduzido)

ctctcttttactcttattaccttaacatttgaaaccatgggtgggtggaaactccaaattc
 agatatctctttgcgtggcactttgcagccagtgcattttctgcacatgtttgcacatgttgcac
 ttcccttggacactgcacatgttgcacatgttgcacatgttgcacatgttgcacatgttgcac
 aaatataagggtatgttgcacatgttgcacatgttgcacatgttgcacatgttgcacatgttgcac
 ggggatgttgcacatgttgcacatgttgcacatgttgcacatgttgcacatgttgcacatgttgcac
 tg

ttaagaatttgtatgtggtagtgaccatgttggagatgttccattgtcgaagaaggttctgctgca
 ctgacaact~~gg~~tgccgtggaatcgccgtggcaaattccaaaccgatcttgtgaaagtttagactccaagc
 agaagaaaaattacctgctgggtgcccaggcgttattctggatcgttgaatgttattcaaccatca
 ttagacaggaaaggagttctgctcttggactggattggcccaatatacgaaatgcatacatc
 aatgctgctgaactagccagctatgtcaagtgaaac~~agact~~atttgaaaattccagggttaccga
 taatgttgaactcatcttcttctggctagggcagggtttcgcagttgtattggttccccag
 ttgatgt~~gg~~taagtcaagaatgtggggatcctagttacaaaagtaccctcgattgttgcataaa
 acattgaaaatgat~~gg~~aattttagcctttataagggttcttaccgaattcggcggctaggatc
 ttggaaatgtgattatgttttaactctagaac~~agact~~taagaatgtttaaaaagggtttagatcagctt
 gagttgaaccaacttagtcctgcaactgcaatgcaatgagaattgttaagaaatgctaactggaatg
 tagcaaacattttgtttaataataatgtatgttattgtatgagaaaaacatatacatttat
 cctagcttttatgacattattgactatgttagccgacctcg

>Lupinus angustifolius UCP1b (proteína deduzida)

MVGGGNNSNSDISFAGTFAASAFSACFAEICTIPLDTAKVRLQLQKQAVGDTVIPKYKGMLGTVGTIAR
 EEGLSALWKGIVPGLHRQCVYGLRIGLYEPVKNLVGSDHVGDVPLSKVLAALTTGAVGIAVANPT
 DLVKVRLQAEGKLPGVPERRYSGSLNAYSTIIRQEGVSALWTGIGPNIARNAIINAAELASYDQVKQT
 ILKIPGFTDNVVTHLLSGLGAGFFAVCIGSPDVVKSRMMGDPSYKSTLDCFKTLKNDGILAFYKGF
 LPNFGRGLGSWNVIMFLTLEQTKKFVKGLESA

>Lupinus angustifolius UCP2 (cDNA deduzido)

caata~~atgt~~cagatccgaatcccaggcccgatattacgttcgcggccaaagcttcttgtcagcgcttc
 gctgcttgtcgcggag~~ttt~~tactatccctctggacacagctaaggcaggcttcagctccagaa
 gaagggtcagcagaagatggagcggcttacaccaaatacaggcttgcggaaacgattaagacca
 tcgctagagaagagggtatatcagctctgtggactggcattgttctgggttgcattccatcgcaatcgta
 tatggggcttaagaattgggttatatgatc~~ctgt~~caaaaacatttcttgttggaaatgcatttgg
 agaggttcctatataccatatgatacttgctgtctgggacag~~gt~~gcatttggcaatcacaattgcta
 acccaactgacttagtcaaagttaggcttcaagctgaaggccaaattgccacctgggtacctaagcgt
 tattctggtcaatggatgcttattccactatcgcgagaca~~aga~~aggattaggagccttgcactgg
 gcttggcccaatgtgacacggaaatgcaattataatgctgtactgttgcatttatgatcaagtga
 aac~~agac~~gat~~ttt~~gaaaattccagggttcatggacaatggcttactcaccccttagtggcttaggc
 gcaggcttttgcatttattgttctccgggtgatgt~~gg~~taaaatctaggatgatggggattc
 atcctacaaaacacgcttgcactgc~~ttt~~caaaacttcatttaatgagg~~gg~~atttctggcatttata
 aagg~~ttt~~ccttcaatttggacgagtagggactggaaatgtgattatgttcttacccttgcacaa
~~g~~ccaagagagttcttagaggata~~att~~gtcactcttcaagattatgagattaccatgcagaaatactc
 tg~~tt~~gcatttgcatttgcatttgcatttgcatttgcatttgcatttgcatttgcatttgcatttgcattt
 tccacatttattcccacttctgcaatgtggatggatgtcatgcatttgcatttgcatttgcatttgcattt
 aaactgtcaaatttcaatttttttttttgcatttgcatttgcatttgcatttgcatttgcatttgcattt

>Lupinus angustifolius UCP2 (proteína deduzida)

MSDPNPRPDITFAQFLCSAFAACVAEFCTIPLDTAKVRLQLQKVAEDGAASPKYKGLLGTIKTIA
 REEGISALWTGIVPGLHRQCVYGLRIGLYDPVKTFLVGSFVGEVPIYHMILAALVTGALAITIANP
 TDLVKVRLQAEGQLPPGVPKRYSGAMDAYSTIARQEGLGAWTGLGPVARNAIINAAELASYDQVKQ
 TILKIPGFMNGFTHLLAGLGAGLFAVFIGSPDVVKSRMMGDSSYKSTLDCFFKTSFNEGFLAFYKG
 FLPNFGRVGAWNIMFLTLEQAKRVLRG

>Lupinus angustifolius UCP3 (cDNA deduzido)

cgaagg~~ttt~~gatgctcccttctttgaaaacatcataaaattcatcagagtgaaaaacagcttgt
 ctc~~aa~~attcaatgtatgtat~~ttt~~tatacactgagcacgagttgaatattgtgattatcaatttctcc

aaattggccgagccactagccatgaaatcaggctatcaacatggggagttgataatgctcacacaaa
 ggtcttactgacatcaatgtcagcaatggtggtgagaccacgcacgttccagtagatctcatcaaga
 ccaggctccaactgcatggtgagtcgtcttccatcaaccggccacgagtgcatttcaaatagctta
 gacattatccgcaacaaggcttccatggccttacaaggcttgtctccagcaattattagacac
 attctacacacatttcaattgtcggtatgagcatctgaggactgtggtttttctgataatggat
 caatctcaatcatcagcaaggccgttggaaacctctggatcagactcaagttatagcaagc
 ccagctgatcttgcaggtaaggatgcaagctgatggccgtctgatgagccaaggcttcaaccc
 atattcaggccatttgcattttcaagattgtcaagatgttcaagctgaaggcttcgaggactgtggagg
 gtgttttccatccaaagagcctttagtgaacatgggagaattagccttttatgatcatgc
 aaacaaattgttattaaaagtaggatagctgaggacaatgtttatgcacacacattagcttca
 gtcaggcttgcggcaacttcgttaagttgtccagctgatgtcgtgaagactagaatgtgaatc
 ctgctaaaaatgaaggaaagtattatatacgactctttgattgtgttgcattttcaatataatatttca
 tttttgatttatttagcagactttcattcatcaactgattcaaaaagtcacagccccatagtc
 caccttatcttt

>Lupinus angustifolius UCP3 (proteína deduzida)

MKSGYQHGGVDNAHTKVLTSMSAMVAETTFPVLDIKTRLQLHGESLSSTRSTS AFRIALDIIREQG
 PLGLYKG LSPAIIRHLFYTPIRIVGYEHLRTVSSDNGSISIISKAVVGGTSGCIAQIIASPADLVKV
 RMQADGRMLSQGLQPRYSGPFDASF SKIVQAEGFRGLWKVFPNIQRAFLVNMGELACYDHAKQIVIKS
 RIAEDNVYAHTLASTMSG LAATSLSCPADVVKTRMMNQSAKNEGKVLYSSSF DCLVKTAKVEGIRALW
 KGFFPTWARLGWPWFVWSYEKFRKIAGLSSF

>Lupinus angustifolius UCP4a (cDNA deduzido)

tagcatatgtctcagagggttactgttccccactcatctgcccatacatgttgcattccatct
 catggctcttagtggatgactcttaattccaaactcgttttccttcatttaacccttattactc
 tcctttaaaccctcaccattttgcatttttgcattttccatctcaatttcaatttcaattttaa
 atataaacttttgcataatcaatcataatggatcaaaagggttttttttttttttttttttttt
 ttgcgttgcattttccacccaccctcttgcacccatcaagggttcgtatgcagctccagg
 gagaatccaaacccatccatccatccatccatccatccatccatccatccatccatccatcc
 ccacccatccatccatccatccatccatccatccatccatccatccatccatccatccatcc
 agctccgcagatcaaaccctgtgtggccatccatccatccatccatccatccatccatcc
 tcgcgcgcgtatccatccatccatccatccatccatccatccatccatccatccatccatcc
 ggtctgtacgatatccatccatccatccatccatccatccatccatccatccatccatcc
 ggaggctggctgttgcggcgctgtcggtgcggccgttggaaaccggctgttgcgcatt
 ggatgcaggccatggccgcctccgcaggctcagctcgaaactataatgttgcgttgc
 tccaccatggtaagcaagaggaggacttgcggccatccatccatccatccatccatcc
 aatgcgttgcgttgcgttgcgttgcgttgcgttgcgttgcgttgcgttgcgttgcgtt
 tggatgcgttgcgttgcgttgcgttgcgttgcgttgcgttgcgttgcgttgcgttgcgtt
 tcgaaccggatgttgcgttgcgttgcgttgcgttgcgttgcgttgcgttgcgttgcgtt
 ttattctggatgttgcgttgcgttgcgttgcgttgcgttgcgttgcgttgcgttgcgtt
 gctttattccatccatccatccatccatccatccatccatccatccatccatccatcc
 cgcgttgcgttgcgttgcgttgcgttgcgttgcgttgcgttgcgttgcgttgcgttgc
 tagcttcatatccatccatccatccatccatccatccatccatccatccatccatccatcc

>Lupinus angustifolius UCP4a (proteína deduzida)

MGIKGFVEGGIASIIAGCSTHPLDLIKVRMQLQGESNPAPVRNIRSELAFHNGSSIHVAQAPQIKPRV
 GPISVGIRLVQQEGVAALFSGISATVLRQTLYSTTRMGLYDILKQKWSIGGNMPLSRKIEEAGLIAGA
 VGAAVGNPADVAMVRMQADGRLLPPAQRNYKSVVDAISTMVKQEGVTSIWRGSSLTVNRAMLVTASQL

ASYDQFKEMILEKGVMRDGLGTHVTASFAAGFVASVASNPDVIKTRVMNMRVEPGAEPYSGALDCA
LKTVRAEGPMLYKGF IPTISRQGPFTVVLFVTLEQVRKLFKDY

>*Lupinus angustifolius* UCP4b (cDNA deduzido)

>*Lupinus angustifolius* UCP4b (proteína deduzida)

MGLKGFAEGGIASI¹IAGCSTHPLDLIKVRMQLQGEPNPNPVHNLRPALAFQNGSSIHSPTPQTQIK
PRMGPIAVGVRLVQQEGVAALFSGVSATVLRQTLYSTTRMGLYDVLKQKWSTGGNMPLSRKIEAGLIA
GGIGAAVGNPADVAMVRMQADGRLPPAQRRNYKSVDALSTMVKREGVTSLWRGSSLTINRAMLVTAS
QLASYDQFKEMILEKGLLRDGLGTHVTASFAAGFVAAVTNPVDVIKTRVMNMRVEPGAEPYSGAMD
CALKTVAEGPMALYKGFIPTISROGPFTVLFVTLEOVRKLLKDF

>Lupinus angustifolius UCP5 (cDNA deduzido)

ccccacttcctcaattcaattgattttggaaaaataactttccataaaatcaaaatgggtat
aaagggttttgtgaaggagggattgcttctgttatagcaggatgtccactcaccactgtatctt
caagggttcgaatgcagctcaaggagagactcaagttataatcaagtttaacaatgcacatctccta
ctcttcctcaaccatctcggtggaccattgctaccggcgtaaacttagtgcaacgagaagggttt
gtcgctcttctccggcgccctagccactgtcctcgtcaggcactttactccaccacccgcatggg
gctctatgatataattcaagaagaagtggctgtatcctaattccggtggcaacttaccgttacacggaa
aaattgccgcagggcttagctggcggttggagctgccgtcgtaatcctgctgacacctgatcgatg
gtccgcattgcacagccgcacggtagactcccgcagctcagaggcgttaattataagtctgttatagatgc
cattcgatcaatggctaaagacgaggggtgtcatcgtttgtggcgccgggtcttcgtctactgtgaacc
gcgcattgcgtggacagcctcacaactcgcatcatacgaccaattcaaggagatgattcttgagaagg
gaataatgcgagatggctggacccatgtaacagcaagttttggcgccgggtctcggtggcgccgg
ggcatctaaccaggatgtgatcaagacaaagggtgatgaacatgaagggtggagccaggggcgcc
caccatactccgggtgcattggatttgcttgcatttttttttttttttttttttttttttttttttttttt
aaagggtttattcctacaatttgcaggcagggaccattcacgggtgtactatttgatcgacattggagca

agttcgcagaaggattctaaagtggattatggagatgattataccttagttttatagt
tttatgttatttatttccagtttttaattta

>Lupinus angustifolius UCP5 (proteína deduzida)
 MGIKGFVEGGIASVIAGCSTHPLDLIKVRMQLQGETQVHNQVFNNASPTLPQPSRVGPIATGVKLVQR
 EGVVALFSGASATVLRQALYSTTRMGLYDIFKKWSDPNSGGNPLTRKIAAGLIAGGIGAAVGNPAD
 LAMVRMQADGRLLPPAQRRNYKSVIDAIRTMKADEGVISLWRGSSLTVNRAMLVTASQLASYDQFKEMI
 LEKGIMRDGLGTHVTASFGAGFVAAVASNPDVVIKTRVMNMKVEPGAAPPYSGALDCALKTIHAEGPM
 ALYKGF IPTICRQGPFTVVLFVTLEQVRKLLKDF

>Vigna angularis UCP1a (cDNA deduzido)

gaacattttcatacagaggaaccgagctgatctcagtctttcaaaaggatcaaaggaaaggc
 ccaaatttcatacgcaacccttggtcctctcctaaggcaaatacaacatcatgttagcagattcta
 agtccaaatccgacctctttcgaaaacccctgtcagcagtgtttctctgcattttcgctgaa
 gtgtgtactatcccctggacactgccaaagttaggctcagctcaaaaacaagctgcagcgggtga
 tgtaatttccttacctaaataaaggatgtctggaaacagtgttaccattgcaaggaaagaaggc
 tttcagcactctggaaaggattgtgccaggatcatcgtcattgtgtatggaggttaagaatt
 ggattatatgaccctgtaagtcttgcattgtggggaaaggaccatgtggagatgttccattgtcaaa
 gaaaattctgctggattcacaactggcagtgccaaatgcagttttccaggcgattctggatctttaat
 aagtcagacttcaagcagaaggaaaactacccctgggttccaggcgattctggatctttaat
 gcttattcaacaattgtgagacaggaaaggagttggggctttggactggcttggccatata
 aagaaatggtatcatcaatgcgaaattgcgcattgttatcaatgtgaaacaactgatctgt
 ttccaggattactgataatgttgcatttcatttttttttttttttttttttttttttttttt
 tgtattggctcccgatgtatgtggtaagtccagaatgtatggagattcttagttacaaaacacc
 tgatttttttataaaaacattaaagaatgtggaccactggccctttataaagggtttccat
 ttggacggctaggatcttggaatgtgatcatgtttctaaccttagaaacaactgatcttgc
 agcttagagtcatttgagctgagttacctacaatttttttttttttttttttttttttttt
 cagggagaaattttt

>Vigna angularis UCP1a (proteína deduzida)

MVADSKSKSDLGKTFVSSAFSACFAEVCTIPLDTAKVRLQLQKQAAAGDVISLPKYKGMLGTVGTI
 AREEGLSALWKGIVPGLHRQCVCYGGLRIGLYEPVKSLYVGKDHVGDVPLSKKILAGFTTGA
 PTDLVKVRLQAEGKLPPGVPRRYSGSLNAYSTIVRQEGVGALWTGLGPNIARNGIINAAELASYDQVK
 QTILKIPGFTDNVVTHLLAGLGAGFFAVCIGSPDVVKSRMMGDSSYKNTLDCFIKTLKNDGPLAFYK
 GFLPNFGRGLGSWNVIMFLTLEQTKNFVKSLESS

>Vigna angularis UCP1b (cDNA deduzido)

agattcagttaatgaacaaacagcttatataagaactccctctgccttagtactgagtttactgtcttca
 tgcgttcttctgaacattttcttcttcttt
 atgggtggagggtggcagttccaaatccgacatctcattttgtggcactttcgccagcagtgcatttc
 tgcattttcgccaggatgtactattccctctggacactgcacaaagttaggctcatttttttttttt
 agcctgtgattggatgtgatgccttacctaataatagggaaatgttggaaaccgttgcacatt
 gccagggaaagaaggctttcagcattttggaaaggattgtaccaggctacaacgtcaatgtgt
 tggaggtttaagaattgcatttatgtatccctgttaagagtttctatgttggacactgtcg
 atgttcattgtctaaagaaaattctgctggatttacaactggcatttttttttttttttttttt
 ccaacagatcttgtgaaagttagactcaatctgaaggaaaattgcctcccggtgtgcccaggcg
 cactggatcattaaatgttattcaacaatgtgagacaggaaaggagttgggtgtctttggactgg
 ttggacccaaacataacaagaaatggtatcattaatgctgtaattggccagctatgtcaagt
 gaaa

cagactatTTgaaaattccaggattcactgacaatgtttaactcatcttctagctggcttaggggc
 agggTTTTgcagttgttgcccccgttgcgtgtggtaagtcaagaatgatggagattcta
 gttacaaaagcacccttgcattttcatcaagacattaaaaatgacggacccTTTCTTTacaag
 gggTCataccaaatTTggacggctaggatcatggaatgtgatcatgttttaacttttagagcaggc
 taaaatgtacgtcaaaagattagaatcagcttgcacctccaacagttgttagaattttcttcagta
 gaattttatTTcaagagaataaaacttcttgcattttgtgaattagaatattccaaaacattatt
 ttgttgggaaaggaagtatcaagaaatgacagtacttatcatatctatgttaatttcataaaaaa
 ttccctagttggcatagtgtatgcattttttcaatatcaagagaagataggagcttaaca
 aaggTTTgtcagtca

>Vigna angularis UCP1b (proteína deduzida)

MVGGGSSQSDISFAGTFASSAFAACFAEVCTIPLDTAKVRLQLQKQPVIDVIALPKYRGMLGTVATI
 AREEGLSALWKIGIVPGLQRQCVNGGLRIALYDPVKSFYVGPDHVGDVPLSKKILAGFTTGAMAIAVAN
 PTDLVKVRLQSEGKLPPGVPRRTGSLNAYSTIVRQEKGALWTGIGPNITRNGIINAAELASYDQVK
 QTILKIPGFTDNVLTHLLAGLGAGFFAVCVGSPDVVKSRMMGDSSYKSTLDCFIKTLKNDGPFSFYK
 GFIPNFGRGLGSWNVIMFLTLEQAKMYVKRLESA

>Vigna angularis UCP2 (cDNA deduzido)

tTTtaaccgtgaactggTTgaagttagagtctcTTtaagaagagtggTTacgctacgactagttcct
 tcaacttcttaaactctcacacccaaaccTTTCTTCCAGTgacgtgaacaatgtcagatccga
 accagatttcgtcgctgtatcTTCTTGTgcagcgTTTcgcagcttgcggTTTGTacc
 attcCTCTggacacagctaaggTcagactcaactacaaaagaaggcagggttgcgtatggaggTgg
 tttacctaatacaaggcatgctaaggcacaattaagaccattgttagagaagagggtatTCAGCTC
 TGTggaaaggattttCTTGTGCATGCCATTGTTGAGGCTTAAGATCGGATTAT
 gatccTGTcaaaacattttttgttagtgccTTGTTGAGGCTTCAATATCCATGATCCT
 ggctgctctgctcactggTGTCTTAGCAATCACGATTGCTAATCCAACGATCTTGTAAAGTTAGGC
 TTCAATCCGAAGGTcatCTGCCATCTGGGTACCTAGGCCTTCTGGTGCATAGATGCTTATT
 ACTATATTGAGACAAGAAGGAATAGGGCCTTGTGGACTGGCTTGGCCAACATAGCAAGGAATGC
 AATTATAATGCTGAATTAGCTATGATAAAGTgaaacggacgattttgaaattccagggt
 TCATGGACAATGCTATACTCACCTTCTTGTGGCTTGGAGGCTTGTATTGTTGCTTATTGGT
 TCTCCCCTGATGTGGTGAATCCAGGATGATGGGGATTCAACCTACAAAAGCACATTGACTGCTT
 TCTCAAGACTTTCTTAATGAGGATTTTGGCCTCTATAAAGGTTCCAAATTGGTCAG
 TAGGAGCCTGGAATGTGATTATGTTCTTACTTTGAACAAAGCAGGAAAGATTGAGAGGATTG
 TTACTTCATGATTGATATTGACGAAGGAAATTAGTGTCTTCTCGGTTGAGTGCATCAGATGCAC
 GGCAAATTATTACAAGAAAGGTGGCTTCCACATTCTTCCATTCTTGTGGACGGACAT
 CATGCTAAATATTAGTCAATGAATAAACCGTCAAATTACCTCTGTATATGATTGCTCATGCTT
 TGCCATGTGAAGGCCACAATTCAAAGTTCAAACATTCTTAGCCAATTAGACCTGAAATTACATT
 TACTTGAAGACCTACACTGTACTGGATTGATGCGAGATACATTGGAAATAATTGCTTATT
 CCCGACTTATTGAATAGACAAATTAAATGAAACATGTATGCAAACATACTAGAGGTTATAATT
 ATTACTTATTCAAATATCATGGGGT

>Vigna angularis UCP2 (proteína deduzida)

MSDPNQISFAVSFLCSAFAACFAEFCTIPLDTAKVRLQLQKKAGVDDGVGLPKYKGMLSTIKTIAREE
 GISALWKIGIVPGLHRQCLYGGGLRIGLYDPVKTFLVGSASFVGEVPIYHMILAALLTGALAITIANPTDL
 VKVRLQSEGHLPSGVPRRYSGAIDAYLTILRQEKGIGALWTGLGPNIARNAIINAAELASYDKVKRTIL
 KIPGFMDNVYTHLLAGLGAGLFAVFIGSPDVVKSRMMGDSTYKSTFDCFLKTLLNEGFLAFYKGFLP
 NFGRVGAWNIVMFLTFEQAKRFLRG

>Vigna angularis UCP3 (cDNA deduzido)

gtttaagaagctaagaatctaatactattgtatggtaccatgtctaaatgtataagggtataaaatac
 gtatagatgtagaagtacatgttaggtgaatttcttcaattacctatgggaaaaatgggtgctgat
 agaacagaaccgtgtcatcatcgactgctccgaatggctgaggaaaattagaatctaaccgtggatgc
 ctgatgaataggttagtttagatgtgttctgtgtttggtcattgattaaaaacaccttacac
 tcgcattgttatttcttagttagtatcctcttaaggatgaaacccaaagtcttattagaacaca
 aacatcatacgatctgaattgataacaatttcacggcttcatagtcctgctagtcggcaatgtt
 cttatgtatctctactgcactggatgcacaaacttctcgcaatgttcatatc
 catagatctgaattgataacaatttcacggcttcatagtcctgctagtcggcaatgttcatatc
 tcaacggaattccagtatagcactgtcggtgttggaaagaaacattgcagtgaaaagattc
 attagtgcacagtactgggtttccttgaacagcctgtggtgagttgggtcttcttgaatgtac
 atgaaatcaggccatgagcatggtgagttgatactgctcaaacaagatcttactaaca
 atcttctc
 agctatgggtggctgagaccacgacttccccatagacttgcataatggcatttgc
 aatcacattcatcgagtcgtcccaccaggcatatcgacttgcataatggcatttgc
 gttgtggccttacagtggcctgtctccagcaattttagacacactgttgcata
 tgggttgcatttgcataatggcatttgcataatggcatttgcataatggcatttgc
 ctgttagtcggtgaaacctctggtgcataatggcatttgcataatggcatttgc
 aggatgcaagctgatggcacagggtgaaccaaggcttcaacactcggtt
 tctgaacaaaattgttcagactgtaaggattcgaggactgttgcataatggcatttgc
 gggccttcattgttgcataatggcatttgcataatggcatttgcataatggcatttgc
 aggatgcaagctgatggcacagggtgaaccaaggcttcaacactcggtt
 tctgaacaaaattgttcagactgtaaggattcgaggactgttgcataatggcatttgc
 attatataatagctttagtgcatttgcataatggcatttgcataatggcatttgc
 aaaggattttccccacttggcaaggcttgcatttgcataatggcatttgcataatggcatttgc
 gtttagaaaatttcaggtctcttcttcttgcataatggcatttgcataatggcatttgc
 acataataattactgttgcataatggcatttgcataatggcatttgcataatggcatttgc
 gcttgcataatggcatttgcataatggcatttgcataatggcatttgcataatggcatttgc
 tatgtttataactgttgcataatggcatttgcataatggcatttgcataatggcatttgc

>Vigna angularis UCP3 (proteína deduzida)
 MKSGHEHGGVDTAQTKILLTSFSAMVAETTFPIDLIKTRLQLHGESLSSSRPTRYRVLGIVREQG
 VVGLYSGLSPAIIRHLFYTPIRIVGYEHLRSVVSADNGSFSIVGKAVVGGTSGVMAQIIASPADLVKV
 RMQADGHRVNQGLQPRYSGPFDALNKIVRAEGFRGLWKGVFPNIQRAFLVNMGELACYDHAKQFVI
 RIAADDNVAHTLASIVSGLAATSLSCPADVVKTRMMNQAAKKEGKYLYNSSYDCLVKTVKVEGIRALW
 KGFFPTWARLGWPWFVWVTYEKFRKFAGLSSF

>Vigna angularis UCP5a (cDNA deduzido)
 gtctcccttttgcacttacgcgtcagataaccgactactatataatcatcttcaaaaccattt
 cttcatccacaccaaaaatcaaaaacactttcatcttcttccactttctgtacttt
 gatcatacgccatatacactacataactactttctatccaactcagcatgactgt
 ttgaagggtggcgttgcattccatcggtgcagggtgcctccaccaccactcgac
 atgcagcttcaagaaacgcacaaccctccgccccgcgttgcattcagcgtccact
 tccgccttcattccggccatatcagtcggcgtccatcggtccactcgagggc
 tttccggcgttccggccacaatgtccgtcagacgctgtactccaccaccgtat
 gtgcataagcgcattggaccgaccggcagggcaccatgcctctcgca
 nnn
 nnn
 ccgatggcgggctccggcgtcagcggcgaactacaagggtgttgcacgc
 agcaaccaggagggggttggcagccgttgcggcggctcagcgttgc
 gacggcttcgttgcgtcagaccaggatgttgc
 atgggcttggaccacgtggcagcggatgttgc
 attgatgttataaaagacaagggtatgttgc
 tctgaagactgttagggcttgc
 agggtccttgcaccgtcgttgc
 caccctcgaaacaagt
 caggaagctcaaggatgttgc
 ttttgc

ctttgatattcacccattcaataactcattcattgggttagatgcataatcagatgatgacgaac
catggtaaccattgatttttatttaatgatttagtta

>Vigna angularis UCP5a (proteína deduzida)
MTVKGFEGGVASIVAGCSTHPLDLIKVRMQLQETHNLRPAFAFHASTPMPPPPSGPISVGVRIVQS
EGVAALFSGVSATMLRQTLYSTTRMGLYDVLKRHWTDPEQGTMPLSRKITAGLVAGGIGAAVGNPADV
AMVRMQADGRAPAAERRNYKGVFDAIRRMSNQEGVGSLWRGSALTVNRAMIVTASQLASYDQFKETIL
GHGWMEDGLGTHVAASFAAGFVASVAANPIDVIKTRVMNMKVEAYNGAFDCALKTVAEGPLALYKGF
IPTISRQGPLTVVLFVTLEQVRKLLKEF

GLVAGGIG e **AGFVASV** = foram inclusas

>Vigna angularis UCP5b (cDNA deduzido)

tattttttcattcaaggcttccggaaaatttcgacaaaatcaacccatccacccatccaaatt
tcagtattacaaggcgtaaacttttcatccaactcgaaatggcggtgaaagggttttgtgaaggag
gcatcgccgtgatcgcagggtttccaccacccttgcattctcatcaaggccatgcagctc
caaggagagacgcctcaaccctagctcgccatgcaccgcacccaagggtggccattccgt
cgccgtcaaatttagtccaaacaagaagggtgtcaccgcgccttctccggcgtctccgcactatttcc
gccagcttctctattccaccaccgcattggactctacgcgtgctaaaaaaagaaatggtctgatccc
aacttgccagtggcaccatgcccataacctacaagatcacggcaggctaatcgccggtggaaatagg
cgcagccgtcgaaaccgcgcacgtggcaatggccatgcagccgacggagactccctccat
ctcaacgcacaaactataagtccgtcgatgcattacgcgtgctacgagaatgacaaaagacgaagggtgtcacc
agtttatggcgtggctcatcacttacggatgatggggatgtccatgcgtgatggctcgccatgtaa
cgcgagttcgacgggggtttgtggctgcgattatgtccaaaccgcgtcgatgtgatcaagactagg
gtgatgaacatgaagggtggagcacggggcgccgcgtactccggcgtacttgactgtgccttga
gactatgcgtcgagggtccatggctctataacaagggtttgtccccacgattcgagacagggac
ccttcacgggtgtcgatgtccatgcgtgatggatggatggatggatggatggatggatggatggatgg
ggatgatgatgaccaaagaacaaaatgttccataggtttcataattatagacttgcactttgaaaaaaa
aaatatggagttttgttagttctaaagttatggtaggtactattgttagtttaagatttt
gtgttatgttagttaaaagtgcagatttaattggtagttactgttcctt

>Vigna angularis UCP5b (proteína deduzida)

MGVKGFVEGGIASVIAGCSTHPLDLIKVRMQLQGETAFNPSVHAPPKVGPIISGVVKLVQQEGVTAL
FSGVSATILRQLLYSTTRMGLYDVLKKWSDPNFASGTMPLTYKITAGLIGAGGIGAAVGNPADVAMVR
MQADGRLPPSQRRNYKSVDAITRMTKDEGVTSLWRGSSLTVNRAMIVTASQLASYDQFKEMILEKGV
MRDGLGTHVTASFAAGFVAAIMSNPVDFVIKTRVMNMKVEHGAPPYSGALDCALKTMRAEGPMALYKG
FVPTISRQGPFTVVLFVTLEQVRNLLKDF

>Vigna radiata UCP1a (cDNA deduzido)

ttttcatacagaggaatcgagttgatctcgtctttcaaaaggatcaaaggaaagggtccaaat
ttgcatacgcaacccattggccctcccaaggcaaatacaacatcatggtagcagattctaagtcca
aatccgacctctttcgccaaacccattggccagcagtgcattctgcattttgcagggatgtgt
actattccctggacactgcacaaaggtaggttcagcttcattttgcattttgcattttgcattttgc
ctctttgcctaaatataagggtatgctggaaacagtggtaggtaccattgcattttgcattttgc
cactctggaaagggttgcattttgcattttgcattttgcattttgcattttgcattttgcattttgc
tatgagccatgttagtcttgatgtggggaaaggaccatgtggtaggttcattttgcattttgc
tcttgctggattcacaactggtagtgcattttgcattttgcattttgcattttgcattttgc
gacttcaaggcagaaggaaaactacccctgggtttccaggcggtactctggatctttaatgctt
tcaacaattgtgagacaggagttggggctttggaccggatgtggccatataagcaagaaaat

tggtatcatcaatgctgcggattagccagctatgatcaagtgaaacagactat~~ttt~~aaaatccag
 gattcactgataatgttgaactcatctcctgctggcttggggcagggtttgtctgtatt
 ggctcccagtagatgt~~gg~~taagtccagaatgatggagattctagttacaagaacacccttgatt
 ttttatcaaaaacattaaagaatgat~~gg~~gccaatggcctttacaaaggttcctccaaat~~ttt~~ggac
 ggcttaggatcttggaatgtgatcatgtttctaactttagaaca~~gact~~aaaaat~~t~~cgtcaaagctta
 gagtcatct~~tg~~agctgagttcccttggaaaat~~ttt~~ctgagaggc~~t~~atcacaacagcaa~~at~~gcagtga
 aaat~~ttt~~tagaaacaaagcttcttcattctgcaa~~act~~gaaggatgtggtaa~~agc~~at~~ttt~~cagg
 gatgaat~~ttt~~ctttat~~ttt~~gataataagtgaggatgttattcatataactaataacttta
 g~~cc~~ctt~~c~~

>Vigna radiata UCP1a (proteína deduzida)

MVADSKSKSDL~~SFGKTFASSAFSACFAEVCTIPLDTAKVRLQLQKQAAAGDIISLPKYKGMLGTVGTI~~
 AREEGLSALWKGIVPGLHRQC~~VYGG~~RIGLYEPVKSLYVGKD~~HVG~~DVPLSKKILAGFTTGA~~VAVIAVAN~~
 PTDLVKVRLQAEGKL~~PPGVPR~~YSGSLNAYSTIVRQEGVGALWTGLGPNIARNGI~~IINAAELASYDQVK~~
 QTILKIPGFTDNVVTHLLA~~LGAGF~~FAVCIGSPDVVKSRMMGDSSYKNTLDCFIKTLKNDGPM~~AFYK~~
 GFLPNFGLGSWNVIMFLTLEQTKNFVKSLESS

>Vigna radiata UCP1b (cDNA deduzido)

gttcagtcattcatgactgtgc~~ccat~~atccatctctatactaaaacaaggaaaataat~~tt~~ca
 aaggactat~~ttt~~ccat~~acaaa~~accgagcatacttaaaaaatgggcttat~~gg~~tcaaactaaaataat
 aata~~ac~~gc~~at~~cttgaattaattctataaaaattatacgttaatacgt~~gt~~attgcattctaaaatt
 aactagat~~ttt~~aat~~at~~agattcagttattgaaca~~aa~~agagctataagaact~~cct~~ta~~c~~cttagat~~tg~~
 agttcactgtct~~gt~~at~~gt~~tg~~tt~~ct~~ct~~gaacac~~ctt~~ttt~~t~~ct~~tt~~ct~~tt~~ccg~~ctt~~gtttc
 tattg~~ctt~~cttgaattct~~ct~~ttcattgttgaacat~~ttt~~ggc~~ct~~ctg~~ca~~ag~~ca~~at~~gg~~tg~~gg~~ga
 ggtggcagctccaaatccgac~~at~~ctcc~~ttt~~g~~t~~ggc~~actt~~cgcc~~c~~ag~~c~~tg~~ctt~~cg~~ct~~gc~~at~~gttt
 cgccg~~agg~~tat~~gt~~tactattc~~ct~~tg~~g~~ac~~act~~g~~c~~aaaag~~tt~~tagactt~~c~~ag~~ctt~~caaaaac~~ag~~cc~~gg~~gt~~ga~~
 ttgg~~tg~~at~~tg~~at~~cg~~c~~tt~~ac~~ct~~aaat~~at~~ag~~gg~~gaat~~g~~ct~~gg~~acc~~gt~~tg~~ca~~acc~~at~~tg~~cc~~agg~~gg~~aa
 gaagg~~t~~ttc~~ag~~c~~act~~tt~~gg~~aaagg~~gg~~att~~gt~~acc~~agg~~g~~c~~tacaac~~gt~~ca~~at~~gt~~gt~~ga~~at~~gg~~agg~~ttt
 aagaatt~~tg~~cattat~~at~~gat~~cc~~~~tg~~taa~~g~~ag~~ttt~~ctat~~gt~~gg~~ac~~ct~~g~~acc~~at~~gt~~cg~~g~~ag~~at~~gt~~cc~~at~~
 tgt~~ct~~aa~~g~~aaaatt~~ctt~~g~~ct~~gg~~at~~t~~ac~~acc~~gg~~tg~~ct~~at~~gg~~ca~~at~~tg~~ct~~gt~~gg~~cc~~aa~~at~~cc~~ac~~ag~~at
 ct~~tg~~g~~aa~~ag~~tt~~agact~~tc~~aa~~g~~at~~ct~~g~~aa~~agg~~gg~~at~~gt~~gg~~tg~~ct~~tt~~gg~~ac~~tt~~gg~~at~~gg~~ac~~cc~~ca
 acataacaagaat~~gg~~tat~~c~~at~~ta~~at~~g~~ct~~g~~ta~~at~~tg~~gg~~ca~~ag~~ct~~at~~g~~at~~ca~~ag~~at~~g~~aaac~~ag~~act~~at~~
 ttg~~aaa~~att~~cc~~agg~~at~~t~~c~~acc~~g~~aca~~at~~gt~~ttt~~act~~cat~~tt~~ct~~g~~at~~ct~~gg~~ct~~ag~~gg~~gg~~tttt
 t~~g~~c~~ag~~tt~~tg~~g~~tt~~gg~~ct~~cc~~ct~~g~~tt~~g~~at~~gt~~gg~~ta~~at~~g~~ca~~aa~~g~~at~~gt~~gg~~ag~~att~~ct~~ag~~tt~~aca~~aa~~
 gc~~acc~~att~~g~~att~~ttt~~cat~~ca~~ag~~ac~~at~~aa~~at~~g~~ac~~gg~~g~~ac~~ct~~ttt~~g~~ct~~ttt~~t~~ataa~~gg~~gt~~tc~~ata
 c~~ca~~aa~~at~~tt~~gg~~aaagg~~gt~~tag~~at~~cat~~gg~~aaat~~gt~~g~~at~~cat~~ttt~~ta~~act~~tt~~g~~ag~~ac~~g~~gg~~ct~~aaaa~~ag~~ta~~
 c~~gt~~ca~~aa~~ag~~at~~cc~~g~~ct~~tg~~act~~tc~~g~~aa~~ac~~g~~tt~~gt~~ct~~g~~ta~~ag~~tt~~tt~~ct~~c~~at~~g~~aa~~tt~~cat~~t~~
 tt~~tc~~ca~~ag~~g~~aa~~at~~aa~~act~~tt~~ct~~ttt~~tt~~tt~~g~~aa~~at~~tt~~g~~ga~~at~~tt~~cc~~aa~~ac~~at~~tt~~ttt~~g~~tt~~gg~~gg~~aa
 ag~~ga~~ag~~at~~ca~~ag~~aa~~at~~g~~ac~~aa~~at~~ag~~tt~~at~~g~~at~~g~~ta~~at~~t~~ct~~c~~at~~aa~~at~~tt~~ttt~~c~~at~~g~~tt~~gg~~gg~~ct~~at~~g
 g~~at~~g~~c~~ag~~tt~~g~~tt~~at~~gt~~g~~tt~~ct~~tc~~at~~at~~ca~~ag~~g~~aa~~at~~gg~~at~~gg~~at~~tt~~ct~~ca~~aa~~ag~~gt~~ttt~~ct~~ca~~

>Vigna radiata UCP1b (proteína deduzida)

MVGGGSSKSDISFAGTFASSAF~~AACFAEVCTIPLDTAKVRLQLQKQPVIGDVIALPKYRGMLGTVATI~~
 AREEGLSALWKGIVPGLQRQC~~VYGG~~RIGLYDPVKSFYVGPD~~HVG~~DVPLSKKILAGFTTGA~~VAVIAVAN~~
 PTDLVKVRLQSEGKL~~PPGVPR~~YSGSLNAYSTIVRQEGVGALWTGIGPNITRNGI~~IINAAELASYDQVK~~
 QTILKIPGFTDNVLTHLLA~~LGAGF~~FAVCVGSPDVVKSRMMGDSSYKSTIDCFI~~KTLKNDGPF~~AFYK
 GFIPNFGLGSWNVIMFLTLEQAKKYVKRLES~~A~~

>Vigna radiata UCP2 (cDNA deduzido)

```
ttggagtgtaaaaagaacgcaagtaacactgtttaaccgtgaactggttgaagttagagtatcctta
acgagagagtttaagttaatgcgactagtctccttcagcttctaaactctcacaccaccaaacc
ctttttcttcccccagtggcgtaacaatgtcagatccgaaccagattcgttcgttatccttc
ttgtgcagcgcttcgcagctgttgcggagtttttaccatcctctggacacagctaaggtag
gcttcaactacaaaagaaggttaggggtatgatggagtgggttacctaataacaaggcatgtaa
gcacaattaagaccattgttagagaagagggttatcagctctgtggaaaggaatttttgcgtt
catcgccaatgttatatggaggcttaagaatcgattatgatccatgtcaagacatttttgcgtt
tagtgccttgcggagaggttccatataccatgatcctggctgtctgtacttgtgttag
caatcagattgttatccaaactgtatctgtttaagtttaggttcaatctgaaggcatctgcac
gggtacctaggcgattctgggtccatagatgtttaactatattgaaacaagaaggatagg
ggccttgcggactggcttggccaaacatagcaaggaatgcaattataatgtgtgaatttagcta
gctatgataaaagtgaaacgacgatttgaaaattccagggttcatggacaatgtctatactcac
cttgcgttgcggacttgcgttgcgttgcgttgcgttgcgttgcgttgcgttgcgttgcgtt
gatgatggggattcaacctacaaaaacacatttgactgtttcttaagacttgcttaatgaggat
tttgccttctataaagggttccaaattttggcgagtaggagcctggaatgtgattatgtt
cttactttgaacaagcgaaaagattttgagaggataattattgttcatgattgtatgacgaag
gaaaatttagtgttcttcgggtgagtgctatcagatgaaacggcaaattttacaagaaagggtgt
cttccacatttccacttcttcgttgcgttgcgttgcgttgcgttgcgttgcgttgcgttgcgtt
aaccgtcaaatttacactgtatatgattgtcttgcgttgcgttgcgttgcgttgcgttgcgtt
tcaaacatttttagtaattatagacctgaaatttacattgttgcgttgcgttgcgttgcgtt
tgatgtcagatacattttctggaaataaattgcctatttgcgttgcgttgcgttgcgttgcgtt
tgaaacatgtatgcaaaacttatatttagaggcttataatttgcgttgcgttgcgttgcgtt
tgaaacatgtatgcaaaacttatatttagaggcttataatttgcgttgcgttgcgttgcgtt
tgaaacatgtatgcaaaacttatatttagaggcttataatttgcgttgcgttgcgttgcgtt
```

>Vigna radiata UCP2-00320 (proteína deduzida)

```
MSDPNQISFAVSFLCSAFAACFAEFTIPLDTAKVRLQLQKKVGDDVGLPKYKGMSTIKTIAREE
GV SALWKGIVPGLHRQCLYGGRLIGLYDPVKTLVGSASFVGEVPIYHMILAALLTGALAITIANPTDL
VKVRLQSEGHLPSPGVPRRYSGAIDAYLTILKQEGIGALWTGLGPNIARNAIINAAELASYDKVKRTIL
KIPGFMDNVYTHILLAGLGAFLAVFIGSPVDVVKSRMMGDSTYKNTFDCFLKTLNEGFLAFYKGFLP
NFGRVGAWNVIMFLTFEQAKRFLRG
```

>Vigna radiata UCP3 (cDNA deduzido)

```
atcaaatactatgttatggtaccatgtctagatgtataagggtataaacgtatacatgtatgatgt
tattattgtatgtatcataactgttacatgttacgttacatgttacatgttacatgttacatgttacatgtt
gggtgtatgatagaactgaaccgtgtcatcatcgactgtccgaatggctgaggaaaattagaatctaa
tcgtggattgtatgtatgttacaaacattgttgcgttgcgttgcgttgcgttgcgttgcgttgcgttgcgtt
gaatccttgcgttgcgttgcgttgcgttgcgttgcgttgcgttgcgttgcgttgcgttgcgttgcgttgcgtt
acatgggtggagttgataactgtctcagacaaaaggcttactaacatcgatgttgcgttgcgttgcgttgcgtt
ccacgactttccccatagacttgcgttgcgttgcgttgcgttgcgttgcgttgcgttgcgttgcgttgcgtt
cgcccactgtgcgtatcgactgttgcgttgcgttgcgttgcgttgcgttgcgttgcgttgcgttgcgttgcgtt
tggcctgtctccagcaattattagacacactgttgcgttgcgttgcgttgcgttgcgttgcgttgcgttgcgtt
tgagaagtgtgggttctgtatgttgcgttgcgttgcgttgcgttgcgttgcgttgcgttgcgttgcgttgcgtt
tctgggtcatggcttgcgttgcgttgcgttgcgttgcgttgcgttgcgttgcgttgcgttgcgttgcgttgcgtt
ccacagggtgttgcgttgcgttgcgttgcgttgcgttgcgttgcgttgcgttgcgttgcgttgcgttgcgttgcgtt
gagctgttgcgttgcgttgcgttgcgttgcgttgcgttgcgttgcgttgcgttgcgttgcgttgcgttgcgttgcgtt
atgggagaacttgcgttgcgttgcgttgcgttgcgttgcgttgcgttgcgttgcgttgcgttgcgttgcgttgcgtt
tggtttatgcccacacatttagcttccatcatgtcgttgcgttgcgttgcgttgcgttgcgttgcgttgcgttgcgtt
atgtgggtgttgcgttgcgttgcgttgcgttgcgttgcgttgcgttgcgttgcgttgcgttgcgttgcgttgcgtt
tatgtgggtgttgcgttgcgttgcgttgcgttgcgttgcgttgcgttgcgttgcgttgcgttgcgttgcgttgcgtt
```

ttggccaaggctggccatggcaatttgtttctgggttacctacgagaagtttagaaaattgcag
gtctcttttttaaatatggtatttgatttatagttgcattcattcataataaaattcacta
gtcacagcctacagggtactaacactcagatctgcattttccaaacatttagatttgtatataacttt
ttggataaattacaaaccttatttaagagaggattataactgtgttatactgcttctattt
taatctga

>Vigna radiata UCP3 (proteína deduzida)

MKSGHEHGGVDTAQTKVLLTSFSAMVAETTTFPIDLIKTRLQLHGESLSSSRPTSAYRVGLGIVREQGVVGLYSGLSPAIIRHLFYTPIRIVGYEHLRSVVSADNGSFSIVGKAVVGGTSGVMAQIIASPADLVKVRMQADGHDRVNQGLQPRYSGPFDALNKIVRAEGFRGLWKGVFPNIQRAFLVNMGELACYDHAKQFVISSIADDNVYAHTLASIMSGLAATSLSCPADVVKTRMMNQAALKREGKYLYNSSYDCLVKTVKVEGIRALWKGFFPTWARLGPWQFVFVWTVYEKFRKFAGLSSF

>Vigna radiata UCP4 (cDNA deduzido)

>Vigna radiata UCP4 (proteína deduzida)

MGVKGFVEGGIASIIAGCSTHPLDLIKVRMQLQGENNAPKPVHNRPALAFQTASNVHVATIPQARVG
PIAVGVRLVQQEGLAALFSGVSATVLRQTLYSTTRMGLYDVLTKWTDPASGTMPLGRKIEAGLIAGA
IGAAVGNPADVAMVRMQADGRLPPAERRNYKSVVDAILRMRQEGVTSLWRGSSLTVNRAMLVTASQL
ASYDQFKEMILERGVMRDGLGTHVTASFAAGFVAAVASNPDVIKTRVMNMKVEPGSPAPYAGALDCA
LKTVRAGEPMLYKGFVPTISROGPFTVVLFTLEROVRKLLKDF

>Vigna radiata UCP5a (cDNA deduzido)

gatcatacgcttcataatactacattactactttctccaaactcagcatgtactgtaaaagggttt
ttgaagggtggcgttgcgttccatcggtgcaggttgctccacccaccactcgacctcatcaaagtgc
atgcagctcaagaaacgcacaacccggccggcgttgcgttccacgcgtccactccaatgcgc
tccgcctccttcggtcctatatcagtcggcgtccgaatcgtccagtgcggaggcgtcgccgc
tttccggcgttccgcacaatgctccgtcagacgctgtactccaccacccgtatggcctctacgac
gtgctcaagcgcattggaccgaccccggcaggcaccatgcgcgcgcgcgcgcgcgc
cctgatgcggaggatcggcgcagccgtgggaacccggcgcgtggccatggcgaatgcagg
cagatggggcgggtccggcggctgagcggcgaactacaagggtgttcgacgcgatcggcgc
agcaaccaggaggggttggcagcctgtggcgtggctcagcgtcacagtgaaccgcgc
gacggcgtctcagttggcgtcgtacgaccagttaaaggaaactatcctcgacacgggtgg
atgggcttagggacccacgttagctgcaggtttgcggcgggtttgtggcttgcgtc
attgatgttataaagacaagggtgatgaacatgaagggtgaggctacaatgggcattcgattgtc
tatgaagactgttagggctgaaggacctcttgccttataagggttcatccctacaatctcaaggc
agggtcctttaccgtcgtctttgtcaccctcgaacaagtcaaggtcaggagctgc
ttttgatattcacttcattcaatattcattcattgattgagatgcattcagatgtatgc
catttctaacccttgcttctttattnaatgattgtta

>Vigna radiata UCP5a (proteína deduzida)

MTVKGFEGGVASIVAGCSTHPLDLIKVRMQLQETHNLRPAFAFHASTPMPPPSGPISVGVRIVQS
EGVAALFSGVSATMLRQTLYSTTRMGLYDVLKRHWTDPEQGTMPLSRKITAGLIAGGIGAAVGNPADV
AMVRMQADGRAPAAERRNYKGVFDAIRRMSNQEVGSLWRGSALTNRAMIVTASQLASYDQFKETIL
GHGW MEDGLGTHVAASFAAGFVASVASNPIDVIKTRVMNMKVEAYNGAFDCAMKTVR AEGPLALYKGF
IPTISRQGPFTVVLFVTLEQRKLLKEF

>Vigna radiata UCP5b (cDNA deduzido)

atactttccattttttttcccttcaagctttcccgaaaattctctgacaaaatcaaccctac
cctccttcccaattccctaatttttacaaggcagtaactttcatctaactcgaaatggcgtga
aagggtttgtgaaaggaggcatcgcttcgtatcgcaggatgttccacccacccttgcata
aagggtccgaatgcagctccaaggagagaaagcctccacccttagctcgtccatgcaccgccacccaa
ggtgggacccattccgtcggcgtcaaatttagtccaaacaagaagggtgtcaccgcgttttccggcg
tctccgcccactatttccgcagcttctctattccaccacccgcattggactctacgacgtgctaaaa
aagaaatggtctgatcccaactctgccagtggcaccatgcccctaacctacaagatcacggcaggc
aatcgccggtgaaataggcgtccgtcgaaaccccccgcacgtggcaatggtccgatgcaagccg
acgggagactccctccatctaaccgacgaaactataagtccgtcgatgccatcacgagaatgaca
aaagacgaaggtgtcactagtctatggcgtggctcatcacttacggtaacccgcctatgatagtcac
ggcctcacaacttgcctttacgaccaggtaaggagatgatggaaaagggtgtaatgcgtgatg
ggctcgccggacccatgtaacggcgagttcgccgggggttgcgtcggtatgtccaaacccatc
gatgtgataaaagacttagggatgaaacatgaaggtggagcaccggccgcgtactccggc
acttgactgtgccttgaagactatgcgtcgagggtccatggctctataacaagggtttgttcta
cgatttcgagacaggacccttacgggtgtgtcgacgttagaacaagttcgcaacttgctt
aaggattctaaagtacgaggatgatgatgacagaaaagaacaagatgttccataggttctataattat
agtcaattaaaaaaaaaaaaattatggagttttgttagatacttaaaaggtaatttggtaggtact
tttgccttttagtttaagatttgcgtatgttagttcaaaagtgcagatttaatttgcgttagc
tqttacctt

>*Vigna radiata* UCP5b (proteína deduzida)

MGVKGFVEGGIASVIAGCSTHPLDLIKVRMQLQGEKAFHPFSVHAPPKVGPISVGVKLVQQEGVTAL
FSGVSATILRQLLYSTTRMGLYDVLKKWSDPNSASGTMPLTYKITAGLIAGGIGAAVGNPADVAMVR
MOADGRLPPSORRNYSVVDAITRMTKDEGVTLSWRGSSLTVNRAMIVTASOLASYDOFKEMILEKGV

MRDGLGTHVTASFAAGFVAAVMSNPIDVIKTRVMNMKVEHGAPPYSGALDCALKMRAEGPMALYKG
FVPTISRQGPFTVVLFVTLEQVRNLLKDF

>Arachis_duranensis_ucplai (cDNA deduzido)

```
aaggcagaggcagaaaagcaaaaggaaaaggaaacaagagacaatgaaaatgaggattcagaacaaacaa
caccacaaacttgcataatggatgatagagacagccacagtatacttcataattccaaac
gcaaacgcaaaacccctcgatccatccttcccccagcacatgttctcgatattcaatttccaaac
atggtagctgatggcaactccaaacctgacatctccatcgatggacacccatcgatgtttctc
tgcatgttgcgtgactattccctggacactgccaagtttaggcttcaagttttcaaaaac
aagctttaggtgcaatgtggtgacgcgcctaaatataaggatgtatggggactgttgcgaccatt
gctaggaaagagggtctgcagcactctggaaaggcattgtccgggctacatcgatgtttgtat
tggaggttaagaattgggtgtatgatccatgtttaagactttatatgtcgaaaggatcatgtcgag
atgttccattgcccaaaaaaaaattctgcattacaaccgggtgtggcaattgcagtagcgaat
ccaaacagatctgttaaagtttagacttcaagcagaaggaaaattgcctctgggtgtgccaaggcgta
ctctggatctttaaatgcataattctacaattgtaaaacagggaaaggattgcagcccttggactggc
ttggcccaatataggcagaaaatgcattatcaacgcgtccgaactggccagctatgatcaagtggaaa
cagacgattttgaaattgcaggctctgtataatgttgcactatctcccttctggcttaggggc
agggtttttgtgttgcattggatccccagttgacgttgttaagtcaagaatgtggagattcta
gttacaaaaggcacccttgcattgttccatcaagacattgaaaggatgtggaccccttgcctttataaa
ggcttcatccaaattttggacggtaggatctggaaacgtaatcatgtttctaaccttagaacaac
taagaagatcgttggcggttagactcaaccctgaaacacaaccaatttacatggaggatttccaagggg
aactgtttgtgactgccaatgcaatggagttattgaaaatagagggtcatctccataatttgc
acctatgatgcggtaaacaagaagatataatgtagaaagataatagttattagaag
```

>Arachis_duranensis_ucplai (proteína deduzida)

```
MVADGN SKP DISIAGT FATS AF SAC FA EACT I PLDT A KV RL QL Q ALGAN VV TTP KY K GM MG TV ATI
ARE EGLA ALW KG I VP GL HR Q CL Y GGL R I GL Y DP V K T LY V GKD HVG D VPL PK K IL A AL TT G AVA I AVAN
PT DL V KV RL Q AEG K L PPG V P R Y SG S LN AY STIV K Q EGIA AL WT GL GP NI AR NAI IN A EL AS YD QVK
QT IL K L PG F SD NV V TH LL S GL GAG F FAV C I GSP DV V K SR MM GD SS Y K ST LD C FL K TL K ND GP FAF YK
GF IP NF GRL GS WNV IMFL T LE QT KK IV GR LEST
```

>Arachis_duranensis_ucplaiII (cDNA deduzido)

```
gtgtataaaatggatgatagagacagccacagtatacttcataattccaaatgcaacgcacccat
cgcttcattcccttccaaacacgcacacttgcattcagaattgaaaggaaaaaaatggtagctgatgg
caagtccaaacctgtatctccattgtggacactgcccacgtttaggctcagttcaaaaacaagcttgggtgcc
aatgcactcagcgcctaattataaggatgtatggactgttgcgaccattgcattggaaagg
tcttgccactctggacactgcccacgtttaggctcagttcaaaaacaagcttgggtgcc
ttgggtgtatgatccatgtttaagactttatatgtcgaaaggatcatgtcgagatgttgcattgcgc
aaaaaaattctgtcgactacaacacgcgggtatgtggcaattgcattggcaatccaaacagatattg
ttgaagtttagacttcaagcagaaggaaaattgcctctggatgttgcattggcaaggcgatctggatcttta
aatgcataattctacaattgtgaaacacaggaaaggattgcagcccttggactggatgttgcattggccaaat
agccagaatgtttagacttcaatgtgttgcattggccagcaatgttgcattggcaatccaaacagatattg
aattgcaggctctgttgcataatgttgcattgttgcattgttgcattggcaaggcgatctggatcttta
gtttgtatggctctccaggatgttgcattgttgcattgttgcattggcaaggcgatctggatcttgcattggccaaat
atttggacggctaggatctggacgttatcatgtttctaaccttagaacaacacgcacatggatgttgcattggccaaat
ggacgtttagactcaaccctgaaacacaaccaatttacatggaggatttccaaggaaactgttgcatt
```

tgc~~ccaaatgcaatggaggtattgaaaatagagggtcatcttatatttgc~~accatgatgcgg~~tt~~
 aaacaagaagatatggagagagataatagtattagaaggaaacaagtaaa

g- adição

c- deleção

t- substituição por c

at- substituição por ta

cDNA consertado

>Arachis_duranensis_ucplaiI (cDNA deduzido)

gtgtataaaatggatgatagagacagccacagtatagttctcaattccaaatgcaaaacgc~~ccaaac~~ctt
 cgcttc~~tt~~cc~~tt~~ccaaacacgcacactt~~tt~~ttcagaattgaaaggaaaaa~~at~~gttagctgatgg
 caagtccaaac~~ct~~gtgat~~tc~~c~~tt~~gtggAACCTCaccaggcagtgc~~tt~~ctgc~~at~~gcttgctg
 aggtgtccactattcc~~tt~~ggacactgccc~~a~~g~~t~~taggctcag~~tt~~caaaaacaagcttgggtgcc
 aatgcactc~~a~~cgc~~ac~~gcctaattataagg~~t~~atgatgggaactgttg~~cg~~accattgctagggaaagg
 tcttg~~c~~agcact~~t~~g~~a~~agg~~g~~gattgtggccccgatacatcg~~t~~caatgctgtatggaggttaagaa
 ttgggtgtatgatcc~~t~~g~~t~~taagactttat~~at~~gtcgaaaggatcatgtcgagatgttcgattgcgc
 aaaaaaattctgttgc~~g~~ctaacaac~~cg~~gg~~t~~gatgtggcaattgc~~ag~~tg~~g~~caatccaacagatattgt
 tgaagttagacttcaagcagaaggaaaattgc~~c~~c~~t~~ttgtgtgccaaggcgttactcggatctt~~aa~~
 atgc~~at~~attctacaattgt~~g~~aaaca~~gg~~aaagg~~at~~tg~~c~~agcc~~tt~~ggact~~gg~~tcttggccccatata
 gccagaaaatgctattatcaatgctg~~t~~taattggcc~~g~~caatgatca~~ag~~tgaaa~~c~~agactattttgaa
 attgc~~cc~~agg~~tt~~ctctgacaatgtt~~g~~taactcat~~tc~~c~~tt~~ctgtgtctaggggagg~~gt~~tttgc~~t~~
 ttgtattggctcc~~g~~ctgt~~g~~tttaag~~t~~caagaatgatggagattctagttcaaagcacc
 ct~~t~~gattgtt~~c~~c~~t~~caagacattgaagaac~~g~~at~~t~~ggac~~ttt~~gc~~ttt~~atat~~g~~tcttcatccaaa
 tttggacggcttaggatctt~~g~~gaac~~t~~aatcatgttt~~t~~taac~~c~~ttagaaca~~g~~act~~ta~~agaagatcg~~t~~g
 gac~~tt~~tagt~~c~~aacc~~t~~g~~a~~acacaaccaatttacatggaggatttccaaggaaactgtt~~t~~gact
 gccaatgcaatggagg~~t~~tattgaaaatagagg~~t~~catcttatatttgc~~t~~accatgatgcgg~~t~~
 aacaagaagatatggagagagataatagtattagaaggaaacaagtaaa

>Arachis_duranensis_ucplaiI (proteína deduzida)

MVADGKSKPVISFAGTFTSSAFSACFAEVSTIPLDTAQVRLQLQKALGANALTPNYKGMMGT~~VATI~~
 AREEGLAALWKGIVPGIHRQCLYGGLRIGLYDPVKTL~~YVGKD~~HVGDVRLRK~~KIL~~VALTTGDVAIAAVAN
 PTDIVEVRLQAEGKL~~PPGV~~R~~RYSGSLNAY~~STIVKQEGIAALWTGLGPNIARNAIINAAELASNDQVK
 QTILKLPGFSDNVVTHLLSGGGCFAVCIGSPVDVVKSRM~~MGDSSFK~~STLDCFLKTLKNDGPFAFYI
 VFIPNFGR~~LGSWN~~VIMFLTEQTKKIVGRLEST

>Arachis_duranensis_ucplb_00697 (cDNA deduzido)

at~~caa~~atctgagaatctatttgc~~aa~~ac~~g~~at~~t~~cc~~g~~ag~~g~~agaaaaccacattg~~a~~atttgg~~ttt~~c
 c~~g~~aaaatcagagac~~g~~at~~t~~atcttag~~c~~aattt~~aaa~~agg~~g~~g~~g~~cc~~aa~~atc~~g~~at~~c~~ac~~c~~ttc~~gg~~c~~t~~
 c~~t~~tttgc~~cc~~agg~~ct~~gc~~at~~c~~act~~atcg~~c~~actcg~~c~~at~~tt~~gc~~at~~caaaacccatc~~ct~~c~~tt~~c~~tt~~c~~t~~
 c~~c~~t~~tt~~at~~at~~g~~at~~t~~c~~t~~tt~~c~~tt~~gc~~tt~~at~~at~~a~~at~~g~~t~~c~~a~~ttc~~g~~at~~t~~c~~ac~~cccc~~c~~ttttc~~t~~
 agc~~at~~ttt~~c~~tttgc~~tt~~ttatc~~c~~ctc~~c~~ttg~~aa~~accat~~g~~gtgg~~ct~~gg~~gt~~gg~~ca~~actc~~cc~~aaatccgata
 t~~c~~t~~c~~tttgc~~tt~~gc~~act~~ttc~~g~~cc~~ag~~actg~~c~~tttgc~~at~~c~~ac~~g~~ct~~gtt~~c~~g~~ag~~gt~~t~~gc~~act~~attcc
 ttgg~~ac~~actgc~~cc~~aaag~~t~~tagg~~c~~t~~ag~~c~~tt~~ca~~g~~aaaca~~ag~~c~~g~~t~~g~~at~~g~~c~~g~~at~~g~~c~~ac~~ttacc
 taaatacaagg~~gt~~at~~g~~atgg~~g~~g~~g~~ac~~g~~gt~~g~~ca~~ac~~c~~at~~g~~cc~~agg~~g~~g~~g~~aaagg~~t~~gt~~tt~~c~~gg~~act~~tt~~g~~g~~
 aggg~~at~~cg~~t~~g~~cc~~agg~~g~~ct~~c~~at~~c~~g~~t~~ca~~g~~t~~tt~~gt~~ac~~gg~~g~~g~~tt~~taagaat~~gg~~ttat~~at~~g~~ac~~cc~~t~~

gtaagaattctatgttggcgtgatcatgttggagatgttccttgcagaaaatcctgctgc
 atttacaactgggtgctgtggcaattgcagttgcaaatccaactgatcttgtaaagtttagactacaag
 cagaaggaaaattgcctgtggcgaggcgctacactggctctgaatgcttattacaatt
 gtgagacaggaaggagttggagctcttggactgggatggcccaatatacgaaatgctatcat
 caacgcgtgacttagccagctatgatcaagtgaaacagactatggaaaattccggattcaccg
 ataatgttgcgtactcatcttgcgttagggctgggatgcagtgatgttgcattggctccc
 gtcgacgtggtaagtcaagaatgatggagattctagttacaaaaagcacccctgattgcttcatcaa
 aacgttaaagaatgatggaccagcagcctttacaaagggttcataccgaattcggacggctaggat
 ctggaatgtgataatgttctaactctagaacagactaaaaattcgtaaaagtttagaatcagcc
 taagctccagcagttgagtagagtagaaaatgcaatggaaacactcaagaaaataaaactccaattct
 ctcaatggtagctggatatacgaaaatatggggaaaaattgagaataaacatattc
 atgtataacttagtacttagttaaaggtctaattttcacatatttcctttgtcaattgtaa
 ttctcttgaaagttatggcgatggcccttttc

>Arachis_duranensis_ucp1b_00697 (proteína deduzida)

MVAGGNNSKSDISFAGTFASSAFSACFAEVCTIPLDTAKVRLQLQKQAVAGDAVTLPKYKGMMGTVATI
 AREEGLSALWKGIVPGLHRQCLYGGLRIGLYEPVKNFYVGRDHVGDVPLLQKILAFTTGAIAVAN
 PTDLVKVRLQAEGLPAGVPRTGSLNAYSTIVRQEGLGALWTGIGPNIARNAIINAAELASYDQVK
 QTILKIPGFTDNVVTHLLAGLGAGFFAVCIGSPVDVVKSRMMGDSSYKSTLDCFIKTLKNDGPAAFYK
 GFIPNFGLGSWNVIMFLTEQTKKFVKSLESA

>Arachis_duranensis_ucp2 (cDNA deduzido)

aattgaaaacaggttgcattcatgataccctccctttaatcactcaccgaaaagttccatctttat
 tggtttcgtaacattaattaaaataaaaaccgcattttcacatcaacaacaacaac
 aatgtcagatcccaattccgctccagatttcattcgcccaagcccttctgcagcgcccttcgccc
 ctgcgttcggcgagttttgtactcttcctggacacagctaaggtcaggctcaactccaaaagaag
 gttgggattgtgaagaagttaggttacctaagtacaaggcctgtgggacaatgaagaccattgc
 tcgagaagagggtatcagcttggaaaggcattttctgttattcatcgccaaatgtgttatg
 gaggcttaagaattgggtatatgatccgtcaaaacgtttttgttggtagtgcatcggttggagag
 gttccttgtaccatgatacttgctctgttactggctctgttactggctctggcaatcacgggtgctatcc
 aactgatctggtcaaagtttagacttcaagctgaaggccagttgcaccagggtacctaagcgttatt
 ctgggtccatggatgcttattctactatagttagacaagaaggattagggcctgtggactggctt
 gggccaaacatagcaaggaatgcaattataatgctgtacttagctatgatcaagtaaaaat
 gacgattttgaaaattccagggttacagacagactgcatttactcacctttagctggcttaggtgcag
 gtcttttgcgtcttattgggtctccagttgtatgtggaaatctagaatgatggcgattcaacc
 tacaaaagtacgttgcattcaagacttcaatttttttttttttttttttttttttttttttttttttt
 tttcttcataattttggtcagtagggcctggaaatgtgattatgttcttacccttgcacaagcca
 agagattttcagcgatagtgaagttactgttgcattcatgatggatcatgaagcagttgtttt
 ttcttgcatt
 ctgcgcacgtggattgattcatgcatt
 ctctatggatgttgcatt
 gaattggcccttt
 ttacttttctattcatt
 aagcttaagattggatg

>Arachis_duranensis_ucp2_00002 (proteína deduzida)

MSDPNSASQISFAQAFFCSAFAACFAEFCTLPLDTAKVRLQLQKVGIDEVGLPKYKGLLGMKTIA
 REEGISALWKGIVPGIHRQCVYGGLRIGLYDPVKTFLVGSASFVGEVPLYHMLAALLTGALAITVANP
 TDLVKVRLQAEGLPPLPGVPKRYSGAMDAYSTIVRQEGLGALWTGLGPNIARNAIINAAELASYDQVKM

TILKIPGFTDSAFTHLLAGLGAGLFAVFIGSPDVVKSRMMGDSTYKSTFDCFLKTSFNEGFLAFYKG
FLPNFGRVGAWNIVMFLTLEQAKRFFSG

>Arachis_duranensis_ucp3 (cDNA deduzido)

tttttttcccttcggaaaaacagatctaagaaaacatgtcaggaaaagttaatttggaaagga
aatttagggttcggaaagctgccttcgattattattttcaattgctcctgttcacaatttta
acatgaaaatttgaaccatttattacaatatactgtattataatatacatctcttaactcttatgatt
gttctcggttctcactgttcctacggttaggaaaaaggaacacgctgtttaacgattgtcatca
tgagcagccccaaatgcttttaaaggtatcattagagccaaaagatataactttaaattataactgtca
tgagttcgtgggtcctcaattgcctaaaacagacttgttaggtattttcgtgaatcctatacgcca
tgaaatcaggccatcaacatggtgaggtgataatgctcacacaaaagatcttacttactgtca
gccatggtgctgagactacaacttcccaattgacctgatcaagaccaggctcagccatggta
gtcgcttcctcaagccgaccactggtgcaatgcacccatccgtgaacaaggc
ctcttggccttacaaaggctggctccagcaatcataagacacctattctacacacctattcaatt
gtcgggtatgaacatatactgaggagtgtggttcagctgataatgcttactcttatcttagcaaggc
tcttgtggtaatcagtggtgcatggctcagggttagcaagtccagccgatctgtcaagggtgc
ggatgcaagctgatggccgtatggcaaggcaggcttcaacctcgatattcgggaccattcgatgct
tttaggaagattgttcaggctgaaggattaaaggctgtggaaagggtgtttcctaatgtccaaag
agcgttctggtaacatgggagaatttagcatgctatgatcatgccaacaattggatttagaagca
ggatagctgatgataatgtttacgcccacacattagctccatcatgtcaggcttgcggcaacttct
ttaagtgtccgctgatgtcgtgaagactaggatgatgaatcaagtggccaaggaaaggtaat
gtatattagctcttgattgtctggtaaagacagttaaagttgaaggattcaagcactgtggaaag
gattctccgacatgggctcgctaggccatggcaatttgcattctggatcctacgagaagttc
agaaaaattgcagggtctttctgtatgtatgttt

>Arachis_duranensis_ucp3 (proteína deduzida)

MKSGHQHGGGDNAHTKILLTSLSAMVAETTFPIDLIKTRLQLHGESLSSSRPTGAVRIAAEIIREQG
PLGLYKGWSPAIIRHLFYTPIRIVGYEHMRSSVSADNASLSIFSKALVGGISGCMAQVVASPADLVKV
RMQADGRMARHGIQPRYSGPFDARLKIVQAEGLKGWLKVLPNVQRAFLVNMGELACYDHAKQLVIRS
RIADDNVYAHTLASIMSGLAATSLSCPADVVKTRMMNQVAKEGVLYISSLDCLVKTVEGIQALWK
GFFPTWARLGPWQFVFWSYEKFRKIAGLSSF

>Arachis_duranensis_ucp4 (cDNA deduzido)

attatattccctactattcatccatacccttggctctacaatcatcaatccaaagtccaaactcca
atcggtccattcccttacgctaataattttccggaaaattctctgacaaaatcaaaccacccccc
caagctcaattctttgattctctcaaagctcgaaactttgcgcataactccaaatgggtctcaaag
gtttcgtggaggaggcattgcttcgtcggtcaggatgctccacccaccctctgacactcatcaag
gtccgaatgcagctccaggcgagaccacccaaacccgcctcgcttacactctacccacgc
gccgcccgcattcccgctccaaagccggccaattgccgtcgcatcaagctgtcaacaagaag
gcgtcgatcgccctttctcaggagtatccgtaccgtcctccggcagtcctctactccaccacccgc
atgggcctctacgatatgttcaagaataagtggccatccaaatgcggccggcagcatgtcactatc
acggaagatcgccgggggtgattgtcgccgaatcgccggccgggtggaaaccccgctgacgtgg
caatggccatgcgaagctgacgaaaggctccggcccaacgcacggaaactataattccgttt
gatgccatcacaaggatggtaggaatgagggtttactgtctctggcgccgttcatcgtaacgg
gaatcgccatgatagtgcacgcctcacaattggcccttacgacgatgtcaaggagatgataactga
aaaaggattgtcgatggctgggaccacgtAACGGCAGTTTGTCAAGCGGGTTCTGGCG
TCCGTGACCTCAAACCCCGTGGACGTGATCAAGACAAGGGTGTGAACATGAAGGTGGAGCCGGGG
GGCGCCGCCGTATTCCGGAGCGTGGATTGCGCCATGAAGACGGTGCAGCGCAGGGCCTATGGCTC
TATACAAAGGATTCTTACGATTACGAGGGCAGGGACCCTCACGGTTGTGTCACGTTG

gaacaagttcgaaaggatgtctaaaaattttt**tgggtgtaccgtgggtgtccaagaacaagctccacac**
aagatttcttttgaagacaaatttgttttagtcttaagatagaatgtgttatttaatttcttc
tgttatactccttaattggtgatattgtagaacactttatgactaagatcagaattaagatcatagt
tactatttcagtgaagcatggatattgggtgcggca

>Arachis_duranensis_ucp4 (proteína deduzida)

MGLKGFVEGGIASVVAGCSTHPLDLIKVRMQLQGETTQPALAHSTSTHAPPHPAPKAGPIAVGIKL
VQQEGVVALFSGVSATVLRQLLYSTTRMGLYDMFKNKWSDPNAGGMSLSRKIAAGLIAGGIGAAVGN
PADVAMVRMQADGRLPPAQRRNNSVLDAITRMVRNEGVTSLWRGSSLTVNRAMIVTASQLASYDEFK
EMILKKGLMRDGLGTHVTASFAAGFLASVTSNPVDVIKTRVMNMKVEPGAAPPYSGALDCAMKTVRAE
GPMALYKGFPIPTIRQGPFTVVLFVTLEQVRKLLKNF

>Arachis_duranensis_ucp5 (cDNA deduzido)

>Arachis_duranensis_ucp5 (proteína deduzida)

MGVKGFVEGGIASIVAGCSTHPLDLIKVRMQLQGESNPTSVPSLRPALAFQTGSRSIHVSPPPQITQP
PRVGLVTVGVLVQQEGLAALFSGVSATVLRQTLYSTTRMGLYDILLKQKWSVPSPVPGGATTMPLSRK
IEAGLIAGGVGAAVGNPADVAMVRMQADGRLLPAAQRNNYKSVVDAITKMAKQEGVASLWRGSSLTVNR
AMLVTASQLASYDQFKEAILEKGMLRDGLGTHVTASFAAGFVAAVASNPVDVIKTRVMNMRVEPGAEP
PYTGALDCALKTVRAEGPMALYKGF IPTISROGPFTVVLFVTLEQVRKLFKDF

>Arachis_ipaensis_ucpla (cDNA deduzido)

gaaaaaaatggtagctgatggcaagtccaaacctgcgatctccttcgttggAACCTTcaccaggcagtgc
 ttctctgcattttgcggcgtgcactattccctggacactgtaaaagttaggcttcagcttc
 aaaaacaagcttaggtgccatgtggtacgaccctaaatataagggtatgtgggactgttgcg
 accattgcattggagaagaaggcttgcattcactctggaaaggcattgtcccgggctacatcatcaatg
 ttgtatggagggttaagaattgggttatgtatccttaagactttatgtggaaaggatcatg
 tcggagatgttccattgccaaaaatttcttgcattacaactggtgtgtggcaattgcagtg
 gcgaatccaacagatctttaaagttagacttcaagcagaaggaaaattgcctcctgggtgccaag
 gcgttactctggatctttaaatgcatttctacaattgtaaaacagtcatgattatttctgtctaa
 ctggtcttggcccaatatacgccagaaatgtattatcaacgctgtaactggccagctatgtcaa
 gtgaaacacgacgatttgaattgcaggcttgcattgttgcataatgtgttaactcatctccttctgg
 aggggcagggttttgcattgttgcattgttgcataatgtgttaactgtggtaatgtggaaatgtgg
 attcttagttacaaaagcacccttgattgttgcattcaagacattgaagaacgatgggacctttgcctt
 tataaaggcttcatccaaatttgaacggtaggatcttgcataatgtttcaaccttaga
 acaaactaagaagatcggtggacgttagacttcaacctaacacaaccattacatggaggatttc
 caagggaactgttgtgactgccaatgcaatggaggatttgcattatgtggggcatctccat
 ttgcattatgtgcggtaaacaagaagatatagttagagagataatagttttagaagagaaac
 caaaaac

AA= SUBSTITUIDO POR GG

cDNA corrigido

>Arachis_ipaensis_ucp1a (cDNA deduzido)
 gaaaaaaatggtagctgatggcaagtccaaacctgcgatctccttcgttggAACCTTcaccaggcagtgc
 ttctctgcattttgcggcgtgcactattccctggacactgtaaaagttaggcttcagcttc
 aaaaacaagcttaggtgccatgtggtacgaccctaaatataagggtatgtgggactgttgcg
 accattgcattggagaagaaggcttgcattcactctggaaaggcattgtcccgggctacatcatcaatg
 ttgtatggagggttaagaattgggttatgtatccttaagactttatgtggaaaggatcatg
 tcggagatgttccattgccaaaaatttcttgcattacaactggtgtgtggcaattgcagtg
 gcgaatccaacagatctttaaagttagacttcaagcagaaggaaaattgcctcctgggtgccaag
 gcgttactctggatctttaaatgcatttctacaattgtaaaacagtcatgattatttctgtctgga
 ctggtcttggcccaatatacgccagaaatgtattatcaacgctgtaactggccagctatgtcaa
 gtgaaacacgacgatttgaattgcaggcttgcattgttgcataatgtgttaactcatctccttctgg
 aggggcagggttttgcattgttgcattgttgcataatgtgttaactgtggtaatgtggaaatgtgg
 attcttagttacaaaagcacccttgattgttgcattcaagacattgaagaacgatgggacctttgcctt
 tataaaggcttcatccaaatttgaacggtaggatcttgcataatgtttcaaccttaga
 acaaactaagaagatcggtggacgttagacttcaacctaacacaaccattacatggaggatttc
 caagggaactgttgtgactgccaatgcaatggaggatttgcattatgtggggcatctccat
 ttgcattatgtgcggtaaacaagaagatatagttagagagataatagttttagaagagaaac
 caaaaac

>Arachis_ipaensis_ucp1a (proteína deduzida)
 MVADGKSKPAISFAGTFTSSAFSACFAEACTIPLDTVVKVRLQLQKQALGAHVVTPKYKGMMGVATI
 AREEGLASLWKGIVPGLHHQCLYGGLRIGLYDPVKTLVVGKDHVGDVPLPKFLAALTGVVAIAVAN
 PTDLVKVRLQAEGKLPPGVPRRYSGSLNAYSTIVKQFMIISVWTGLGPNIARNAIINAAELASYDQVK
 QTILKLPGFSDNVVTHLLSGLGAGFFAVCIGSPDVVKSRMMGDSSYKSTLDCFLKTLNDGPFAFYK
 GFIPNFERLGSWNVIMFLTLEQTKKIVGRLEST

>Arachis_ipaensis_ucp1b (cDNA deduzido)

accacatcaaattctgagaatcttgcataatcccgagagagaaaaccacatttagttggg
tttccaaaaatcagagacagtaatatcttagcaattttaaaaaggagccaatcagtaatcaccc
ggctcattgccaaggctgcatcaactatcgcaactcgcatttgcataaaacccatccctcccttc
cttccctttatagattcttgcatttatataaagtctcaattcagtgaaattccccccctt
ttcttagcattttcttgcatttatcctcccttgaaaccatgtggctggcaactccaaatc
cgatatactccttgctggcacttcgccagcagtgcatttcagcgtgttgcgtggact
ttccctggacactgccaaggtaggcattcagttcagaaacaagctgttagcgggtgatgcagtgacc
ttacctaaatacaaggatgtatggaaacagttgcaaccattgccagggagaaggcttgcact
ttggaaagggttgcctcatcgtcagttgtatggaggttaagaattgggttatatg
agcctgttaagaattctatgttggcgtgatcatgttggagatgttgcattttgtcagaaaatcctt
gctgcattacaacttgtgttgcattgcagttgcaatccaactgatcttgtgaaagtttagact
acaaggcagaaggaaaattgcctgttgcgtccggcgtcacactggctcaactgaatgcttattcta
caattgtgagacaggaaggagttggagctttggacttgggattggcccaatatacgaaatgct
atcatcaacgcgtgtgaacttagccagctatgatcaagtgaaacagactattttgaaaattccggatt
caccgataatgttgcactcatcttgcgttgcgttagggctggattttcgcagtcgttattggct
cccctgtcgacgttgttaagtcaagaatgtggagattcttagttacaaaagcacccttgattgttc
atcaaaaacgttaagaatgtggaccagcagcctttacaaagggttcataccaattttggacggct
aggatcttggaaatgtgataatgtttcaactctagaacagactaaaaattcgtcaaaagtttagaat
cagccctaaagctccagcagttgagtagagtagaaaaatgcagttggaaacactcaagaaaataaaactcca
attctctcaattttgttagcttgcgttagtgcataatggggaaaaaaaattgagaataaa
acatattcatgtataacttagtacttagttaaagggttcaatttttcacgatattttccctttgtc
gattgttaattcttgcataatggggatgtttttatggcatggccctttcgaatttttagagactcaa
agcctataatgggttccttcatgaagtgaaacacgaagcatcaagctgtatgttgcataatcaccata
gtttctttctccattcaatcaattatta

>Arachis_ipaensis_ucp1 (proteína deduzida)
MVAGGNNSKSDISFAGTFASSAFSACFAEVCTIPLDTAKVRLQLQKQAVAGDAVTLPKYKGMMGTVATI
AREEGLSALWKGIVPGLHRQCLYGGRLIGLYEPVKNFYVGRDHGVDPPLLQKILAFTTGAVALIAVAN
PTDLVKVRLQAEGKLPAGVPRRTGSLNAYSTIVRQEVGALWTGIGPNIARNAIINAAELASYDQVK
QTILKIPGFTDNVVTHLLAGLGAGFFAVCIGSPDVVKSRMMGDSSYKSTLDCFIKTLKNDGPAAFYK
GFIPNFGRGLGSWNVIMFLTLEQTKKFVKSLESA

>Arachis_ipaensis_ucp2 (cDNA deduzido)
gcgaggagaaaatggtaaagctcataaactgatgagagaggaagtgaccggaaattgaattgaaaac
agggtgcatttcatgctaccccccattaatcactcacccaaaagttcccatcttattgtttcgtt
aacattaattaaaataaaaaccgcattcttacttcacatttcaacaacaacaacaatgtcagat
cccaattccgctcccagattcattcgcccaagccttctgcagcgccttcggcgttcgc
cgagtttgtactttctggacacagctaaggctcaggctcaactccaaaagaagggttgattg
atgaagaagttagttacctaagtacaaggcctgctgggacaatgaagaccattgctcgagaagag
ggtatatatcagcttgcggaaaggcattgttcctggatgcattgcgcataatgtgttatggaggcttaag
aattgggttatatgatccgtcaaaacgtttcttggtagtgcattcgttgagaggttccttgc
accatatgatacttgctgctgttgcactggctctggcaatcacggtgctaatccaactgatctg
gtcaaaagttagacttcaagctgaaggccagttgccaccagggtacctaagcgttattctggtgccat
ggatgcttattctactataagttagacaaagaggatttagggccttggactggcttggccaaaca
tagcacggaatgcaattataaatgctgacttagctatgatcaagtgaaaatgacgattttg
aaaattccagggttcacagacagtgcatttactcaccttttagctggcttaggtgcaggtctttgc
tgtcttattgggtctccagttgatgtggtaaatctagaatgatggcgattcaacctacaaaagta
cgtttgactgcttctcaagacttcattaaacgaggattttggccttctacaatggttccttc
aattttggtcqagtagqagqagccctqqaatgtqattatggttcttacccttqaacaagccaaqagat

```
cagcggataagtgttagttactgttgcataatgagattcatgaagcagttgttcttcgttggatg
actgctgccaaattgtcaacaattgttccaactgaaagatggcttaacaatcatctgcacgtg
gattgattcatgcatacgatattcttgcgtcagtgaagaaaccgtgaaattctacattcttattnnn
gtttccacttgcgttgcgttagatgcaatggatcgattattcttaaatcttaaccatgaattggccc
tcttgggatctacactgtactgtacccatatatgaatttgatatagtgaacgatacttactttct
attcattttttttg
```

>Arachis_ipaensis_ucp2 (proteína deduzida)

```
MSDPNSASQISFAQAFFCSAFAACFAEFTPLDTAKVRLQLQKVGIDEEVGLPKYKGLLGMKTIA
REEGISALWKGIVPGMHRQCVCYGLRIGLYDPVKTFLVGSASFVGEVPLYHMLAALLTGALAITVANP
TDLVKVRLQAEQLPPGVPKRYSGAMDAYSTIVRQEGLGALWTGLGPNIARNAIINAAELASYDQVKM
TILKIPGFTDSAFTHLLAGLGAGLFAVFIGSPVDVVKSRRMMGDSTYKSTFDCFLKTSFNEGFLAFYNG
FLPNFGRVGAWNVMFLTLEQAKRFFSG
```

>Arachis_ipaensis_ucp3 (cDNA deduzido)

```
ttttttccctttccggaaaaacagatctaagaaacatgtcagggaaaagttatttggaaaggaa
aatttagggtttccggaaagctgcctttcgattattatttctcaattgccttgcataatttttta
acatgaaaatttgaaccatttattacaatataactgtattataatatacatctcttaactcttatgatt
gttctcggttctcactgttccctacgttagggaaaaggaacacgcgttgcgttgcattgtgtcatca
tgagcagccccaaatgcttttaaggatcattagagccaaaagatatacttactcataactgtca
tgagttcgtgggttccctcaattgcctcaaaacagacttgttaggtattttgcgtgaatcctata
tgaaatcaggccatcaacatggtgaggtgataatgcctcacacaaagatcttacttactgtca
gcctggctgagactacaacttcccaattgcctgtcaagaccaggcttcaactccatggtga
gtcgcttcctcaagccgacccactggtgcagttcgaatagcagcagaaattatccgtgaacaaggc
ctcttggccttacaaaggctggctccagcaatcataagacacccattctacacaccttattcgaatt
gtcgggtatgaacatatgaggagtgtggttcagctgataatgccttactcttatcttagcaaggc
tcttgggttggaatcagtgggtgcattggctcagggttagcaagtccagccatctgtcaaggtgc
ggatgcaagctgatggccgtatggcaaggcacggattcaacctcgatattcgggaccattcgatgc
tttggaaagattttcaagccaaaggattgaaaggctgtggaaagggtgtttgcctaattgtccaaag
agcgttcttggtaacatggagaatttagcatgctatgatcatgccaaacaattggattcagaagca
ggatagctgatgataatgtttatgcccacacattagctccatcatgtcaggttgcggcaacttct
ttaagttgtccagctgatgtcgtgaagactaggatgatgaatcaagccgcaaggaaaggaaagtctt
gtatgttagctcttgcattgtgttgcattaaagacagttaaagttgaaggaattcaagcactgtgaaag
gattctccgacatggctggcttaggtccatggcaattgtattctggatccatcgagaagttc
agaaaaattgcaggctctttctgtatgttactcataaaaaatgtctgtattcat
aaaaaaactcacaattcaatgcacacacacccatgttgcattatattaaactattataagccctt
ctatgttagttgccttgcattggctaaactttcaacttttagtaatggaaagagttacaattgttatgaa
ggtgat
```

>Arachis_ipaensis_ucp3 (proteína deduzida)

```
MKSGHQHGGDNAHTKILLTSLSAMVAETTFPIDLIKTRLQLHGESLSSSRPTGAVRIAAEIIREQG
PLGLYKGWSPAIIRHLFYTPIRIVGYEHMRSVSADNASLSIFSKALVGGISGCMAQVVASPADLVKV
RMQADGRMARHGIQPRYSGPFDAFGKIVQAEGLKGWLKVLPNVQRAFLVNMGELACYDHAKQLVIRS
RIADDNVAHTLASIMSGLAATSLSCPADVVKTRMMNQAAKEGKVLVYVSSLCLVKTVEGIQALWK
GFFPTWARLGPWQFVFWVSYEKFRKIAGLSSF
```

>Arachis_ipaensis_ucp4 (cDNA deduzido)

```
tagcttagatgccttagattccactttccataacataatccatcttctgtgcgtgcctatataac
aaccccttataatattatattcttataatttagttcttccttgcacagttcttcagagtagctt
```

tgtctaaaagacaaaggccaaacattatattcctactattcatccatacccttggctctacaatca
 tcactccaatcggtccattcccttacgctaataattttccggaaaattctctgacaaaatcaaaccacc
 acccccatacatgctcaatttcttgcatttcataagctcgaaactttgcgcataactccaaatgg
 tctcaaaggttcgtaaggaggcattgcattcccgatgcaggatgcctccaccaccctctcgacc
 tcatcaagggtccgaatgcagctccaggcgagaccacccaaaccgcctgccttacactctaccc
 acccaccgcgcgcgcatacccccgcctccaaagccgtccaaattgcgtcgcatcaagttgtca
 acaagaaggcgtcgcccttactcaggagtatccgcaccgtcctccggcagtcctacttactcca
 ccacccgcatagggccttacgatatgttcaagaataagtggccatccaaatgcggcggcagcatg
 tcactatcacggaaagatgcggcgccccgtattgcggcgaatcggcgtcggttgaaacccgc
 tgacgtggcaatggtccgatgcagactgacggcaggctccgcggccaaacgcacggactataatt
 ccgtgtggatgccatcacaaggatggtaagaatgagggtgtcactagtctctggcgcggcatca
 ttaacggtaatcgcgcaatgcgttgtacagcctcacaattggccttacgacgagttcaaggagat
 gatactgaaaaaggattgatgcgtatggcttggacccacgtaacggcagtttgcggcgggtt
 tcgtggcatccgtgacctaaccgcgttgcgttatccggagcgttgattgcgcataagacggtgcc
 ccaggggcggagccgcgtattccggatgcgttgattgcgcataagacggtgccggagggcc
 tatggccctatacaaaggatttgcatttgcattacgaggcaggacccttacggttgttgc
 tcacgttggacaagttcgaaagttgtgaaaaatttttgcgttgcgttgcgttgc
 gatccacacaagattttttttaagacaaattttgttagtcttaagatagaatgtgttattta
 atttcttcctgttatgatccttaatt

>Arachis_ipaensis_ucp4 (proteína deduzida)
 MGLKGFVEGGIASVVAGCSTHPLDLIKVRMQLQGETTQPALALHSTSTHAPPAPKAGPIAVGIKL
 VQQEGVVALYSGVSATVLRQLLYSTTRMGLYDMFKNKWSDPNAGGSMSLSRKIAAGLIAGGIGAAVG
 PADVAMVRMQADGRLLPQAQRNNYNSVLDAITRMVKNEGVTSLWRGSSLTVNRAMLVTASQLASYDEFK
 EMILKKGLMRDGLGTHVTASFAAGFVASVTSNPVDVIKTRVMNMKVEPGAEPYSGALDCAMKT
 RAE GPMALYKGFRIPTITRQGPFTVVLFVTLEQVRKLLKNF

>Arachis_ipaensis_ucp5 (cDNA deduzido)
 aaaacacattcacacacatcagatctgaccttatcatatgtctcagaggccgcgtccccacttt
 ttccatagccgtggccctccattccatcttgcattgtcttagtgcataactccaaactggtccc
 aatagtcccaatttactctctaattccatttttgcattcttgcataactacactaacc
 cattcatcatttttgcatttttgcatttttgcatttttgcatttttgcatttttgcatttttgcatt
 ttgcaccacaacaacaacatcatgggtgttaagggttttgcatttttgcatttttgcatttttgcatt
 aggctgtcaaccaccactcgacactcatcaaggccatgcagctccaaaccggatccgc
 cccatccgcatttttgcatttttgcatttttgcatttttgcatttttgcatttttgcatttttgcatt
 cctccgtacccatccgcactccgcactccgcatttttgcatttttgcatttttgcatttttgcatt
 cctccgcatttttgcatttttgcatttttgcatttttgcatttttgcatttttgcatttttgcatt
 aggcctccgcctcttttgcatttttgcatttttgcatttttgcatttttgcatttttgcatt
 gtatgggcatttttgcatttttgcatttttgcatttttgcatttttgcatttttgcatttttgcatt
 accatgcctcttcacgcaagatcgaggcagggtcaatcgccggcggtcgagccgcgttgc
 cccagctgacgtggccatgggtgaggatgcaggccgcggagactcccttgcatttttgcatt
 acaagtccgtggacgcataacgaaaatggcgaagcaagaaggcggtgcatttttgcatttttgcatt
 tcatcgcttacggtgaaccgcgcgtgcatttttgcatttttgcatttttgcatttttgcatt
 ggaaggcatttttgcatttttgcatttttgcatttttgcatttttgcatttttgcatttttgcatt
 cgggggttgcatttttgcatttttgcatttttgcatttttgcatttttgcatttttgcatt
 gtggagccaggggctgagccgcgttgcatttttgcatttttgcatttttgcatttttgcatt
 ggggtccatggcgttgcatttttgcatttttgcatttttgcatttttgcatttttgcatt
 tgggttttgcatttttgcatttttgcatttttgcatttttgcatttttgcatttttgcatt
 tcatcattatgataatggcggaaaataaaatgttttgcatttttgcatttttgcatttttgcatt
 caagatttgcatttttgcatttttgcatttttgcatttttgcatttttgcatttttgcatt
 ttttgcatttttgcatttttgcatttttgcatttttgcatttttgcatttttgcatttttgcatt

aaaatacaatattatcttcaatgtgtatccagtcaaattcttgcgtccatcaattcaagaata
caaagaaggttagtaacaagtggccaaatttttataagaaaattatagaagatttatggttt
aggttgagaattattgtgagcgtgaagttagcatagtcagtttagagtgtgaaacagaacacggt
tattgtgagggtgtgaaaggtaaccgtgattgtgcttcaagatgctaactaaaagcgttgtaacttgg
tttctttgtattactcttatgttggtaagttattccagcggccagcttaacaagcgaagcta
ccaagttgaagccttgcagctgttaggcattcctcat

>Arachis_ipaensis_ucp5 (proteína deduzida)
MGVKGFVEGGIASIVAGCSTHPLDLIKVRMQLQGESNPTSVPSLRPALAFQTGSRSIHVSPPPQITQP
PRVGLVTVGVKLVQQEGLAALFSGVSATVLRQTLYSTTRMGLYDLLKQKWSVPSPVPGGATTMPLSRK
IEAGLIAGGVGAAVGNPADVAMVRMQADGRLLPQAQRNYKSVVDAITKMAKQEGVASLWRGSSLTVNR
AMLVTASQLASYDQFKEAILEKGLMRDGLGTHVTASFAAGFVAAVASNPDVIKTRVMNRVEPGAEP
PYTGALDCALKTVRAEGPMALYKGFIPТИSRQGPFTVVLFVTLEQVRKLFKDF

Apêndice 02: Alinhamento das pUCPs do tipo 1 e 2 de soja (*Glycine max*), bem como de outras leguminosas (*Cajanus cajan*, *Glycine soja*, *Phaseolus vulgaris*, *Medicago truncatula*, *Cicer arietinum*, *Lupinus angustifolius*, *Vigna angularis*, *Vigna radiata*, *Arachis duranensis* e *Arachis ipaensis*.

Legendas:

Cinza – assinatura específica da UCP

Amarelo – SPTE

Turquesa – Sequência de arabadopsis

Rosa – Aminoácidos variáveis

Sublinhados – motivo AAAA específico de monocotiledôneas

Branco/preto – Treonina e histidina conservadas

Azul - PNBD

	1º Segmento citosólico	1º Segmento α-hélice transm.	1º Segmento da matriz	
AdUCP1I	MVAD-GKSKPVISFAGTFTSSAFSACFAEVSTI	PLDTA & VRQLQLQK--	QALGANALT--	54
AiUCP1a	MVAD-GKSKPAISFAGTFTSSAFSACFAEACTI	PLDT T VKVRLQLQK--	QALGAHVVT--	54
AdUCP1II	MVAD-GNSKPDISIAGTFTFATSAFSACFAEACTI	PLDTAKVRLQLQK--	QALGANVVT--	54
GmUCP1a1	MVAD-SKSNSDLSFGKIFASSAFAFSACFAEVCTI	PLDTAKVRLQLQK--	QAVAGDVVS--	54
GsUCP1a1	MVAD-SKSNSDLSFGKIFASSAFAFSACFAEVCTI	PLDTAKVRLQLQK--	QAVAGDVVS--	54
GmUCP1a2	MVAD-SKSKSDLSFGKTFASSAFAFSACFAEVCTI	PLDTAKVRLQLQK--	QAATGDVVS--	54
GsUCP1a2	MVAD-SKSKSDLSFGKTFASSAFAFSACFAEVCTI	PLDTAKVRLQLQK--	QAATGDVVS--	54
GsUCP1a	MVAD-SKSKSDLSFGKTFVSSAFSACFAEVCTI	PLDTAKVRLQLQK--	QAAGDVIS--	54
VaUCP1a	MVAD-SKSKSDLSFGKTFVSSAFSACFAEVCTI	PLDTAKVRLQLQK--	QAAGDIIS--	54
VrUCP1a	MVAD-SKSKSDLSFGKTFVSSAFSACFAEVCTI	PLDTAKVRLQLQK--	QAATGDVIS--	54
PvUCP1a	MVAD-SKSKSDLSFGKTFVSSAFSACFAEVCTI	PLDTAKVRLQLQK--	QAATGDVIS--	54
CcUCP1a	MVAD-SKSKSDLSFSKTFVSSAFSACFAEVCTI	PLDTAKVRLQLQK--	QAVAGDVVS--	54
MtUCP1a	MVAD---SKSNLSFGPTFASSAFAFSACFAEVCTI	PLDTAKVRLQLQK--	QAVAGDVSS--	52
CaUCP1a	MVAADSNNSKSDISFAGIFASSAFAFSACFAE	I C TIPLDTAKVRLQLQK--	QAVAGDVVS--	55
LaUCP1a	MVAD-SNSKSDISFAGLFASSAFAFSACFAEV	I C TIPLDTAKVRLQLQK--	KAVAGDAT--	53
GmUCP1b1	MVAG-GNSKSDISFAGTYASSAFAAACFAEVCTI	PLDTAKVRLQLQK--	QAVVGDVVT--	54
GsUCP1b1	MVAG-GNSKSDISFAGTYASSAFAAACFAEVCTI	PLDTAKVRLQLQK--	QAVVGDVVT--	54
GmUCP1b2	MVGG-GNSKSDISFAGTYASSAFAAACFAEVCTI	PLDTAKVRLQLQK--	QAVLGDAVT--	54
GsUCP1b2	MVGG-GNSKSDISFAGTYASSAFAAACFAEVCTI	PLDTAKVRLQLQK--	QAVLGDAVT--	54
CcUCP1b	MVGG-GNSKSDISFAGTFASSAFAAACFAEVCTI	PLDTAKVRLQLQK--	QVIVGDAVT--	54
VaUCP1b	MVGG-GSSQSDISFAGTFASSAFAAACFAEVCTI	PLDTAKVRLQLQK--	QPVIGDVIA--	54
VrUCP1b	MVGG-GSSKSDISFAGTFASSAFAAACFAEVCTI	PLDTAKVRLQLQK--	QPVIGDVIA--	54
PvUCP1b	MVGG-GSSKSDISFAGTFASSAFAAACFAEVCTI	PLDTAKVRLQLQK--	QAVVGDVVT--	54
AdUCP1b	MVAG-GNSKSDISFAGTFASSAFAFSACFAEV	I C TIPLDTAKVRLQLQK--	QAVAGDAVT--	54
AiUCP1b	MVAG-GNSKSDISFAGTFASSAFAFSACFAEVCTI	I C TIPLDTAKVRLQLQK--	QAVAGDAVT--	54
MtUCP1b	MVGG-GNANSDISFVGTFASSAFAFSACFAE	I C TIPLDTAKVRLQLQK--	QAVAGDTS--	54
CaUCP1b	MVAG-GNSNSDISFAGTFASSAFAFSACFAE	I C TIPLDTAKVRLQLQK--	QAVAGD-VS--	53
LaUCP1b	MVGG-GNSNSDISFAGTFAASAFSACFAE	I C TIPLDTAKVRLQLQK--	QAVGDT--V--	52
AtUCP1	M VAA --GKSDLSLP T FACSAFA AC V GE VCTI	PLDTAKVRLQLQK--	SALAGD-VT--	51
SsUCP2	MPGD-HGSKVDISFAGRTASAIAACFAE I CTI	PLDTAKVRLQLQKNVVAAAAGDAAPP-	58	
SsUCP1	-----MATASSSFATAFSSAFAAACFAE V CTI	PLDTAKVRLQLQR--KTPLPAPPAAA-	51	
GmUCP2	--MSDPY---QISFAQAFLCSAFAAACFAEFCTI	PLDTAKVRLQLQKKVG--IDDGVG--	50	
GsUCP2	--MSDPY---QISFAQAFLCSAFAAACFAEFCTI	PLDTAKVRLQLQKKVG--IDDGVG--	50	
VaUCP2	--MSDPN---QISFAVFLCSAFAAACFAEFCTI	PLDTAKVRLQLQKKAG--VDDGVG--	50	
VrUCP2	--MSDPN---QISFAVFLCSAFAAACFAEFCTI	PLDTAKVRLQLQKKVG--VDDGVG--	50	
PvUCP2	--MSDPN---QISFSIAFFCSAFAAACFAEFCTI	PLDTAKVRLQLQKKVG--VDTEVG--	50	
CcUCP2	--MSDPN---QISFVQAFFCSAFAAACFAEFCTI	PLDTAKVRLQLQRKLG--VDEVG--	50	
MtUCP2	MSISDPN---HITFAQSFLCSAFAAACFAEFCTI	PLDTAKVRLQLQKKGG--VGDDGMG--	53	
Caucp2	MSISDPN---HLSFTQSFCSAFAAACFAEFCTI	PLDTAKVRLQLQKKGGSGVIDDAGNGI	57	
AdUCP2	--MSDPNSASQISFAQAFFCSAFAAACFAEFCTI	PLDTAKVRLQLQKKVG--IDEEVG--	53	
AiUCP2	--MSDPNSASQISFAQAFFCSAFAAACFAEFCTI	PLDTAKVRLQLQKKVG--IDEEVG--	53	
LaUCP2	--MSDPNPRPDITFAQAFLCSAFAAACFAEFCTI	PLDTAKVRLQLQKKVA--AEDGAA--	53	
AtUCP2	--MADFKPRIEISFLETFICSAFAAACFAE I CTI	PLDTAKVRLQLQR--KIPTGDGEN--	53	
	: : * * : * * . . * : * * * : * * * * :			

	Cont. 1º Segmento da matriz	2º Segmento α -hélice transm.	2º Segmento citosólico
AdUCP1I	---TPNYKGMMGTVATIAREEGLAALWKGIVPGIHRQCLYGGRLIGLYDPVKTLYVGKDH	111	
AiUCP1a	---TPKYKGMMGTVATIAREEGLASIWKGIVPGIHRQCLYGGRLIGLYDPVKTLYVGKDH	111	
AdUCP1II	---TPKYKGMMGTVATIAREEGLAALWKGIVPGIHRQCLYGGRLIGLYDPVKTLYVGKDH	111	
GmUCP1a1	---LPKYKGMLGTVGTIAREEGLSALWKGIVPGIHRQCLYGGRLIGLYEPVKTFYVGKDH	111	
GsUCP1a1	---LPKYKGMLGTVGTIAREEGLSALWKGIVPGIHRQCLYGGRLIGLYEPVKTFYVGKDH	111	
GmUCP1a2	---LPKYKGMLGTVGTIAREEGLSALWKGIVPGIHRQCLYGGRLIGLYDPVKTFYVGKDH	111	
GsUCP1a2	---LPKYKGMLGTVGTIAREEGLSALWKGIVPGIHRQCLYGGRLIGLYDPVKTFYVGKDH	111	
VaUCP1a	---LPKYKGMLGTVGTIAREEGLSALWKGIVPGIHRQCLYGGRLIGLYDPVKTFYVGKDH	111	
VrUCP1a	---LPKYKGMLGTVGTIAREEGLSALWKGIVPGIHRQCLYGGRLIGLYEPVKSLYVGKDH	111	
PvUCP1a	---LPKYKGMLGTVGTIAREEGLSALWKGIVPGIHRQCLYGGRLIGLYEPVKSLYVGKDH	111	
CcUCP1a	---LPKYKGMLGTVGTIAREEGLSALWKGIVPGIHRQCLYGGRLIGLYEPVKTFYVGKDH	111	
MtUCP1a	---LPKYKGMLGTVGTIAREEGLSALWKGIVPGIHRQCLYGGRLIGLYEPVKTFTGSDH	109	
CaUCP1a	---LPKYKGMLGTVSTIAREEGLSALWKGIVPGIHRQCLYGGRLIGLYEPVKTFTGSDH	112	
LaUCP1a	---LPKYKGMLGTVATIAREEGISALWRGIVPGIHRQCLYGGRLIGLYDPVKSLYVGKDH	110	
GmUCP1b1	---LPKYRGLLGTVGTIAREEGLSALWKGIVPGIHRQCLNGGLRIALYEPVKNFYVGPDH	111	
GsUCP1b1	---LPKYRGLLGTVGTIAREEGFSALWKGIVPGIHRQCLNGGLRIALYEPVKNFYVGPDH	111	
GmUCP1b2	---LPRYRGLLGTVGTIAREEGFSALWKGIVPGIHRQCLNGGLRIALYEPVKNFYVGDH	111	
GsUCP1b2	---LPRYRGLLGTVGTIAREEGFSALWKGIVPGIHRQCLNGGLRIALYEPVKNFYVGDH	111	
CcUCP1b	---LPKYRGLMGTVATIAREEGLAALWKGIVPGIHRQCLNGGLRIALYEPVKNFYVGDH	111	
VaUCP1b	---LPKYRGLMGTVATIAREEGLSALWKGIVPGIHRQCLNGGLRIALYDPVKSFYVGPDH	111	
VrUCP1b	---LPKYRGLMGTVATIAREEGLSALWKGIVPGIHRQCLNGGLRIALYDPVKSFYVGPDH	111	
PvUCP1b	---LPKYRGLMGTVGTIAREEGLSALWKGIVPGIHRQCLNGGLRIALYEPVKNFYVGPDH	111	
AdUCP1b	---LPKYKGMMGTVATIAREEGLSALWKGIVPGIHRQCLYGGRLIGLYEPVKNFYVGRDH	111	
AiUCP1b	---LPKYKGMMGTVATIAREEGISALWKGIVPGIHRQCLYGGRLIGLYEPVKNFYVGRDH	111	
MtUCP1b	---LPKYKGMLGTVGTIAREEGLSALWKGIVPGIHRQCLYGGRLIGLYEPVKNLYVGKDH	111	
CaUCP1b	---LPKYKGMLGTVGTIAREEGLSSLWKGIVPGIHRQCLYGGRLIGLYEPVKNLYVGSDH	110	
LaUCP1b	---IPKYKGMLGTVGTIAREEGLSALWKGIVPGIHRQCLYGGRLIGLYEPVKNLYVGSDH	109	
AtUCP1	---LPKYRGLLGTVGTIAREEGLRSIWKGIVPGIHRQCLFGGLRIGMYEPVKNLYVGKDF	108	
SsUCP2	---LPKYRGLLGTAAATIAREEGAAAALWKGIVPGIHRQCLYGGRLIGLYEPVKSFYVGDH	115	
SsUCP1	---AAGGGMLATIMCIAREEGVAALWKGIVPGIHRQCLYGGRLIGLYEPVKAFFVGGAA	108	
GmUCP2	---LPKYKGLLGTVKTIAREEGISALWKGIVPGIHRQCLYGGRLIGLYDPVKTFLVGSAF	107	
GsUCP2	---LPKYKGLLGTVKTIAREEGISALWKGIVPGIHRQCLYGGRLIGLYDPVKTFLVGSAF	107	
VaUCP2	---LPKYKGMLSTIKTIAREEGISALWKGIVPGIHRQCLYGGRLIGLYDPVKTFLVGSAF	107	
VrUCP2	---LPKYKGMLSTIKTIAREEGVSALWKGIVPGIHRQCLYGGRLIGLYDPVKTFLVGSAF	107	
PvUCP2	---LPKYKGMLSTIKTIARDEGISALWKGIVPGIHRQCLYGGRLIGLYDPVKTFLVGSAF	107	
CcUCP2	---LPKYKGMLSTIKTIAREEGISALWKGIVPGIHRQCLYGGRLIGLYDPVKTFLVGSAF	107	
MtUCP2	---LPKYKGLLGTVKTIAREEGVSSLWKGIVPGIHRQCLYGGRLIGLYDPVKTFLVGAAC	110	
Caucp2	GIASPKYKGLLGTVKTIAREEGVFAIWKGIVPGIHRQCLYGGRLIGLYDPVKIFLVGTAF	117	
AdUCP2	---LPKYKGLLGTMKTIAREEGISALWKGIVPGIHRQCLYGGRLIGLYDPVKTFLVGSAF	110	
AiUCP2	---LPKYKGLLGTMKTIAREEGISALWTGIVPGIHRQCLYGGRLIGLYDPVKTFLVGSAF	110	
LaUCP2	---SPKYKGLLGTIKTIAREEGISALWTGIVPGIHRQCLYGGRLIGLYDPVKTFLVGSAF	110	
AtUCP2	---LPKYRGSIGTLATIAREEGISGLWKGIVAGLHRQCLYGGRLIGLYEPVKTLLVGSDF	110	

* : . * ***: ** . ** : * : * : * ****. : * : * : * : . *

	Continuação 3º Segmento α-hélice transm.	2º Segmento da matriz
AdUCP1I	VGDVRLRK I LVALTTGDAIAVANPTD I VEVRLQAE G KLPPGVPRRYSGSILNAYSTIVK	171
AiUCP1a	VGDVPLPK K FLAALTGVAIAVANPTDLVKVRLQAE G KLPPGVPRRYSGSILNAYSTIVK	171
AdUCP1II	VGDVPLPK K FLAALTGAVAI A AVANPTDLVKVRLQAE G KLPPGVPRRYSGSILNAYSTIVK	171
GmUCP1a1	VGDVPLSK K FLAAFTTGAFAI A AVANPTDLVKVRLQAE G KLPPGVPRRYSGSILNAYSTIVR	171
GsUCP1a1	VGDVPLSK K FLAAFTTGAFAI A AVANPTDLVKVRLQAE G KLPPGVPRRYSGSILNAYSTIVR	171
GmUCP1a2	VGDVPLSK K FLAAFTTGAFAI A AVANPTDLVKVRLQAE G KLPPGVPRRYSGSILNAYSTIVR	171
GsUCP1a2	VGDVPLSK K FLAAFTTGAFAI A AVANPTDLVKVRLQAE G KLPPGVPRRYSGSILNAYSTIVR	171
VaUCP1a	VGDVPLSK K FLAGFTTGA V AVAI A AVANPTDLVKVRLQAE G KLPPGVPRRYSGSILNAYSTIVR	171
VrUCP1a	VGDVPLSK K FLAGFTTGA V AVAI A AVANPTDLVKVRLQAE G KLPPGVPRRYSGSILNAYSTIVR	171
PvUCP1a	VGDVPLSK K FLAAFTTGAVG I AVANPTDLVKVRLQAE G KLPPGVPRRYSGSILNAYSTIVR	171
CcUCP1a	VGDVPLSK K FLAAFTTGAVAI A AVANPTDLVKVRLQAE G KLPPGVPRRYSGSILNAYSTIVR	171
MtUCP1a	VGDVPLSK K FLAAFTTGAVAI M AVANPTDLVKVRLQAE G KLPPGVPRRYSGSILNAYSSIVR	169
CaUCP1a	VGDVPLSK K FLAAFTTGAVAI T AVANPTDLVKVRLQAE G KLPPGVPRRYSGSILNAYSSIVR	172
LaUCP1a	VGDVSLSK K FLAAFTTGAVAI T IANPTDLVKVRLQ E GKLP <i>P</i> GVPRRYSGSILNAYSTIVR	170
GmUCP1b1	VGDVPLFK K FLAGFTTGA M AI A AVANPTDLVKVRLQAE G KLPPGVPRRYSGSILNAYSTIVR	171
GsUCP1b1	VGDVPLFK K FLAGFTTGA M AI A AVANPTDLVKVRLQAE G KLPPGVPRRYSGSILNAYSTIVR	171
GmUCP1b2	VGDVPLSK K FLAGFTTGA M AI A AVANPTDLVKVRLQAE G KLPPGVPRRYSGSILNAYSTIVR	171
GsUCP1b2	VGDVPLSK K FLAGFTTGA M AI A AVANPTDLVKVRLQAE G KLPPGVPRRYSGSILNAYSTIVR	171
CcUCP1b	VGDVPLYKK I LAGFTTGA I AI S AVANPTDLVKVRLQAE G KLPTGVPRRYSGSILNAYSTIVR	171
VaUCP1b	VGDVPLSK K FLAGFTTGA M AI A AVANPTDLVKVRLQ E GKLP <i>P</i> GVPRRYTGSLNAYSTIVR	171
VrUCP1b	VGDVPLSK K FLAGFTTGA M AI A AVANPTDLVKVRLQ E GKLP <i>P</i> GVPRRYTGSLNAYSTIVR	171
PvUCP1b	VGDVPLFK K FLAGFTTGA M AI A AVANPTDLVKVRLQ E GKLP <i>P</i> GVPRRYTGSLNAYSTIVR	171
AdUCP1b	VGDVPLLQ K FLAAFTTGAVAI A AVANPTDLVKVRLQAE G KLP <i>P</i> GVPRRYTGSLNAYSTIVR	171
AiUCP1b	VGDVPLLQ K FLAAFTTGAVAI A AVANPTDLVKVRLQAE G KLP <i>P</i> GVPRRYTGSLNAYSTIVR	171
MtUCP1b	VGDAPLT K FLAALTGAVAI A AVANPTDLVKVRLQAE G KLPPGVPRRYTGSLNAYSTIVR	171
CaUCP1b	VGDAPLS K FLAALTGAVAI A AVANPTDLVKVRLQAE G KLP <i>P</i> GVPRRYTGSLNAYSTIVR	170
LaUCP1b	VGDVPLSK K FLAALTGAVG I AVANPTDLVKVRLQAE G KLP <i>P</i> GVPRRYTGSLNAYSTIIR	169
AtUCP1	VGDVPLSK K FLAGLTGAL G IM V ANPTDLVKVRLQAE G KLAAGAPRRYSGALNAYSTIVR	168
SsUCP2	VGDVPLSK K IAAGFTTGA I AI S ANPTDLVKVRLQAE G KLAP <i>P</i> GVPRRYTGAMDAYSKIAR	175
SsUCP1	VGDVSLLSK K FLAALTG V IA I VANPTDLVKVRLQAE G KANT-VKRSYSGALNAYATIIR	167
GmUCP2	VGEVPLYHM I LAALTG L AIT T IANPTDLVKVRLQAE G QLPTGVPKRYSGAIDAYLTILR	167
GsUCP2	VGEVPLYHM I LAALTG L AIT T IANPTDLVKVRLQAE G QLPTGVPKRYSGAIDAYLTILR	167
VaUCP2	VGEVPIYHM I LAALTG L AIT T IANPTDLVKVRLQ E GHLP <i>P</i> SGVPRRYSGAIDAYLTILR	167
VrUCP2	VGEVPIYHM I LAALTG L AIT T IANPTDLVKVRLQ E GHLP <i>P</i> SGVPRRYSGAIDAYLTILK	167
PvUCP2	VGEVPIYHM I LAALTG L AIT T IANPTDLVKVRLQ E GHQLPSGVPRRYSGAIDAYLTILR	167
CcUCP2	VGEVPLYHM I LAALTG L AIT T IANPTDLVKVRLQAE G QLPSGVPRRYSGAIDAYITISR	167
MtUCP2	VGEVPLYHM I LAALTG L AIT T IANPTDLVKVRLQ E GHQLPSGVPKRYSGAMDAYSTILR	170
Caucp2	VGEVPLFH I LAALTG L AIT T IANPTDLVKVRLQAE G QLPSGVPKRYSGAMDAYSTILR	177
AdUCP2	VGEVPLYHM I LAALTG L AIT T IANPTDLVKVRLQAE G QLPPGVPKRYSGAMDAYSTIVR	170
AiUCP2	VGEVPLYHM I LAALTG L AIT T IANPTDLVKVRLQAE G QLPPGVPKRYSGAMDAYSTIVR	170
LaUCP2	VGEVPIYHM I LAALTG L AIT T IANPTDLVKVRLQAE G QLPPGVPKRYSGAMDAYSTIAR	170
AtUCP2	IGDIPLYQ K FLAALTG A II I VANPTDLVKVRLQ E GHKL <i>P</i> AGVPRRYAGAVDAYFTIVK	170
	: * : . . : ** ..* :****: *:****: *: . . : *: *: *: *: *: * . :	

	Continuação	4º Segmento α -hélice transm.	3º Segmento citosólico	5º Segmento α -hélice transm.
AdUCP1I		QEGIAALWTGLGPNIARNAAELASNDQVKQTILKLPGFSNDNVVTHLLSGLGGGCF		231
AiUCP1a		QFMIISVWTGLGPNIARNAAELASYDQVKQTILKLPGFSNDNVVTHLLSGLGAGFFA		231
AdUCP1II		QEGIAALWTGLGPNIARNAAELASYDQVKQTILKLPGFSNDNVVTHLLSGLGAGFFA		231
GmUCP1a1		QEGVGALWTGLGPNIARNGIINAAELASYDQVKQTILKIPGFTDNVVTHLLAGLGAGFFA		231
GsUCP1a1		QEGVGALWTGLGPNIARNGIINAAELASYDQVKQTILKIPGFTDNVVTHLLAGLGAGFFA		231
GmUCP1a2		QEGVGALWTGLGPNIARNGIINAAELASYDQVKQTILKIPGFTDNVVTHLLAGLGAGFFA		231
GsUCP1a2		QEGVGALWTGLGPNIARNGIINAAELASYDQVKQTILKIPGFTDNVVTHLLAGLGAGFFA		231
VaUCP1a		QEGVGALWTGLGPNIARNGIINAAELASYDQVKQTILKIPGFTDNVVTHLLAGLGAGFFA		231
VrUCP1a		QEGVGALWTGLGPNIARNGIINAAELASYDQVKQTILKIPGFTDNVVTHLLAGLGAGFFA		231
PvUCP1a		QEGVGALWTGLGPNIARNGIINAAELASYDQVKQTILKIPGFTDNVVTHLLAGLGAGFFA		231
CcUCP1a		QEGVRALWTGLGPNIARNAAELASYDQVKQTILKIPGFTDNVVTHLLAGLGAGFFA		231
MtUCP1a		QEGVRALWTGLGPNIARNAAELASYDQVKQTILKIPGFTDNVVTHLLAGLGAGFFA		229
CaUCP1a		QEGVGALWTGLGPNIARNAAELASYDQVKQTILKIPGFTDNVLTHLLSGLGAGFFA		232
LaUCP1a		QEGVGALWTGLGPNIARNAAELASYDQVKQTILKIPGFTDNVVTHLLSGLGAGFFA		230
GmUCP1b1		QEGVGALWTGIGPNIARNAAELASYDQVKQTILKIPGFTDNVVTHLLAGLGAGFFA		231
GsUCP1b1		QEGVGALWTGIGPNIARNAAELASYDQVKQTILKIPGFTDNVVTHLLAGLGAGFFA		231
GmUCP1b2		QEGVGALWTGIGPNIARNAAELASYDQVKQTILKIPGFTDNVVTHLLAGLGAGFFA		231
GsUCP1b2		QEGVGALWTGIGPNIARNAAELASYDQVKQTILKIPGFTDNVVTHLLAGLGAGFFA		231
CcUCP1b		QEGVGALWTGIGPNIARNAAELASYDQVKQTILKIPGFTDNVVTHLLAGLGAGFFA		231
VaUCP1b		QEGVGALWTGIGPNIIRNGIINAAELASYDQVKQTILKIPGFTDNVLTHLLAGLGAGFFA		231
VrUCP1b		QEGVGALWTGIGPNIIRNGIINAAELASYDQVKQTILKIPGFTDNVLTHLLAGLGAGFFA		231
PvUCP1b		QEGVGALWTGIGPNIIRNGIINAAELASYDEVQKQNILKIPGFTDNVLTHLLAGLGAGFFA		231
AdUCP1b		QEGVGALWTGIGPNIARNAAELASYDQVKQTILKIPGFTDNVVTHLLAGLGAGFFA		231
AiUCP1b		QEGVGALWTGIGPNIARNAAELASYDQVKQTILKIPGFTDNVVTHLLAGLGAGFFA		231
MtUCP1b		QEGIGALWTGIGPNVARNAAELASYDQVKQTILKIPGFTDNVVTHLLSGLGAGFFA		231
CaUCP1b		QEGIGALWTGIGPNVARNAAELASYDQVKQTILKIPGFTDNVVTHLLSGLGAGFFA		230
LaUCP1b		QEGVSALWTGIGPNIARNAAELASYDQVKQTILKIPGFTDNVVTHLLSGLGAGFFA		229
AtUCP1		QEGVRALWTGLGPNVARNAAELASYDQVKQTILKIPGFTDNVVTHLLSGLGAGFFA		228
SsUCP2		QEGIALWTGLGPNVARNAAELASYDQVKQTILKLPGFDDVVTHLLAGLGAGFFA		235
SsUCP1		QEGIGALWTGLGPNVARNAAELASYDQVKQMFLKLPGFDDVVTHLLAGLGAGFFA		227
GmUCP2		QEGIGALWTGLGANIARNAAELASYDKVKRTILKIPGMDFNDVYTHLLAGLGAGLF		227
GsUCP2		QEGIGALWTGLGANIARNAAELASYDKVKRTILKIPGMDFNDVYTHLLAGLGAGLF		227
VaUCP2		QEGIGALWTGLGPNIARNAAELASYDKVKRTILKIPGMDFNDVYTHLLAGLGAGLF		227
VrUCP2		QEGIGALWTGLGPNIARNAAELASYDKVKRTILKIPGMDFNDVYTHLLAGLGAGLF		227
PvUCP2		QEGIGALWTGLGPNIARNAAELASYDQVKRTILKIPGMDFNDVYTHLLAGLGAGLF		227
CcUCP2		QEGIGALWTGLGPNIARNAAELASYDQVKRTILTIPGMDFNDVYTHLLAGLGAGLF		227
MtUCP2		QEGLGALWTGLGPNIARNAAELASYDRVQKQTILKIPGMDFNDVAFTHLLAGLGAGLF		230
Caucp2		QEGLGALWTGLGPNIARNAAELASYDQVKQTILKIPGFTDNAFTHLLAGSGAGLF		237
AdUCP2		QEGLGALWTGLGPNIARNAAELASYDQVKMTILKIPGFTDSAFTHLLAGLGAGLF		230
AiUCP2		QEGLGALWTGLGPNIARNAAELASYDQVKMTILKIPGFTDSAFTHLLAGLGAGLF		230
LaUCP2		QEGLGALWTGLGPNVARNAAELASYDQVKMTILKIPGFTMDNGFTHLLAGLGAGLF		230
AtUCP2		LEGVSALWTGLGPNIARNAAELASYDQKETIMKIPFFRDSVLTHLLAGLAAGGFFA		230

	Continuação	3º Segmento da matriz	6º Segmento α-hélice transm.	
AdUCP1I	VCIGSPDVVKSRMMGDS-SFKSTLDCFLKTLKDGPFAFYIVFIP	NFGRLGSWNVIMFL	290	
AiUCP1a	VCIGSPDVVKSRMMGDS-SYKSTLDCFLKTLKDGPFAFYKGFI	PNFTRLGWSWNVIMFL	290	
AdUCP1II	VCIGSPDVVKSRMMGDS-SYKSTLDCFLKTLKDGPFAFYKGFI	PNFTRLGWSWNVIMFL	290	
GmUCP1a1	VCIGSPDVVKSRMMGDS-SYKNTLDCF1KTLKDGPFLAFYKGFL	PNFGRLGWSWNVIMFL	290	
GsUCP1a1	VCIGSPDVVKSRMMGDS-SYKNTLDCF1KTLKDGPFLAFYKGFL	PNFGRLGWSWNVIMFL	290	
GmUCP1a2	VCIGSPDVVKSRMMGDS-SYRNTLDCF1KTLKDGPFLAFYKGFL	PNFGRLGWSWNVIMFL	290	
GsUCP1a2	VCIGSPDVVKSRMMGDS-SYRNTLDCF1KTLKDGPFLAFYKGFL	PNFGRLGWSWNVIMFL	290	
VaUCP1a	VCIGSPDVVKSRMMGDS-SYKNTLDCF1KTLKDGPFLAFYKGFL	PNFGRLGWSWNVIMFL	290	
VrUCP1a	VCIGSPDVVKSRMMGDS-SYKNTLDCF1KTLKDGPFLAFYKGFL	PNFGRLGWSWNVIMFL	290	
PvUCP1a	VCIGSPDVVKSRMMGDS-SYKNTLDCF1KTLKDGPFLAFYKGFL	PNFGRLGWSWNVIMFL	290	
CcUCP1a	VCIGSPDVVKSRMMGDS-SYKSTLDCF1KTLKDGPFLAFYKGFL	PNFGRLGWSWNVIMFL	290	
MtUCP1a	VCIGSPDVVKSRMMGDS-SYKSTLDCFVKTLCNDGPFLAFYKGFL	PNFGRLGWSWNVIMFL	288	
CaUCP1a	VCIGSPDVVKSRMMGDS-SYKSTLDCFVKTLCNDGPFLAFYKGFL	PNFGRLGWSWNVIMFL	291	
LaUCP1a	VCIGSPDVVKSRMMGDS-SYKSTLDCFVKTLCNDGPFLAFYKGFL	PNFGRLGWSWNVIMFL	289	
GmUCP1b1	VCVGSPDVVKSRMMGDS-SYKSTLDCFVKTLCNDGPFLAFYKGFL	PNFGRLGWSWNVIMFL	290	
GsUCP1b1	VCVGSPDVVKSRMMGDS-SYKSTLDCFVKTLCNDGPFLAFYKGFL	PNFGRLGWSWNVIMFL	290	
GmUCP1b2	VCAGSPDVVKSRMMGDS-SYKSTLDCF1KTLKDGPFAFYMGFL	PNFGRLGWSWNVIMFL	290	
GsUCP1b2	VCAGSPDVVKSRMMGDS-SYKSTLDCF1KTLKDGPFAFYMGFL	PNFGRLGWSWNVIMFL	290	
CcUCP1b	VCVGSPDVVKSRMMGDS-SYKSTLDCFVKTLCNDGPFLAFYKGFL	PNFGRLGWSWNVIMFL	290	
VaUCP1b	VCVGSPDVVKSRMMGDS-SYKSTLDCFVKTLCNDGPFLAFYKGFL	PNFGRLGWSWNVIMFL	290	
VrUCP1b	VCVGSPDVVKSRMMGDS-SYKSTLDCFVKTLCNDGPFLAFYKGFL	PNFGRLGWSWNVIMFL	290	
PvUCP1b	VCVGSPDVVKSRMMGDS-SYKSTLDCFVKTLCNDGPFLAFYKGFL	PNFGRLGWSWNVIMFL	290	
AdUCP1b	VCIGSPDVVKSRMMGDS-SYKSTLDCF1KTLKDGPAAFYKGFL	PNFGRLGWSWNVIMFL	290	
AiUCP1b	VCIGSPDVVKSRMMGDS-SYKSTLDCF1KTLKDGPAAFYKGFL	PNFGRLGWSWNVIMFL	290	
MtUCP1b	VCIGSPDVVKSRMMGDS-SYKSTLDCFVKTLCNDGPFLAFYKGFL	PNFGRLGWSWNVIMFL	290	
CaUCP1b	VCIGSPDVVKSRMMGDP-SYKNTLDCFVKTLCNDGPFLAFYKGFL	PNFGRLGWSWNVIMFL	289	
LaUCP1b	VCIGSPDVVKLSMMGDP-SYKSTLDCFVKTLCNDGILAFYKGFL	PNFGRLGWSWNVIMFL	288	
AtUCP1	VCIGSPDVVKSRMMGDSGAYKGTIDCFVKTLCSDGPMAFYKGFL	PNFGRLGWSWNVIMFL	288	
SsUCP2	VCVGSPDVVKSRMMGDS-AYKSTLDCFVKTLCNDGPFLAFYKGFL	PNFGRLGWSWNVIMFL	294	
SsUCP1	VCIGSPDVVKSRMMGDS-TYRSTLDCFVKTLCNDGPFAFYKGFI	ANFCRIGSWNVIMFL	286	
GmUCP2	VFIGSPDVVKSRMMGDS-TYKSTFECFLKTLLNEGFLAFYKGFL	PNFGRVGAWNVIMFL	286	
GsUCP2	VFIGSPDVVKSRMMGDS-TYKSTFECFLKTLLNEGFLAFYKGFL	PNFGRVGAWNVIMFL	286	
VaUCP2	VFIGSPDVVKSRMMGDS-TYKSTFDCLKTLLNEGFLAFYKGFL	PNFGRVGAWNVIMFL	286	
VrUCP2	VFIGSPDVVKSRMMGDS-TYKNTFDCLKTLLNEGFLAFYKGFL	PNFGRVGAWNVIMFL	286	
PvUCP2	VFIGSPDVVKSRMMGDS-TYKSTFDCLKTLLNEGFLAFYKGFL	PNFGRVGAWNVIMFL	286	
CcUCP2	VFIGSPDVVKSRMMGDS-TYKNTFDCLKTLLNEGFLAFYKGFL	PNFGRVGAWNVIMFL	289	
MtUCP2	VFIGSPDVVKSRMMGDS-SYKNTFDCLKTLFNEGFFAFYKGFL	PNFGRVGAWNVIMFL	296	
Caucp2	VFIGSPDVVKSRMMGDS-TYKSTFDCLKTTSFNEGFLAFYKGFL	PNFGRVGAWNVIMFL	289	
AdUCP2	VFIGSPDVVKSRMMGDS-TYKSTFDCLKTTSFNEGFLAFYNGFL	PNFGRVGAWNVIMFL	289	
AiUCP2	VFIGSPDVVKSRMMGDS-SYKSTLDCFFKTSFNEGFLAFYKGFL	PNFGRVGAWNVIMFL	289	
LaUCP2	VCIGSPDVVKSRMMGDS-TYRNTVDCF1KTMKTEGIMAFYKGFL	PNFTRIGCTWNAIMFL	289	

* ***:**** ***** . : : . * : ** * . : * : ** * : * * : * * . : ***

	Cont.	4º Segmento citosólico	
AdUCP1I		TLEQ T KKIVGRLEST---	305
AiUCP1a		TLEQ T KKIVGRLEST---	305
AdUCP1II		TLEQ T KKIVGRLEST---	305
GmUCP1a1		TLEQ T KKFVKSLESS---	305
GsUCP1a1		TLEQ T KKFVKSLESS---	305
GmUCP1a2		TLEQ T KRFVKSLELS---	305
GsUCP1a2		TLEQ T KRFVKSLELS---	305
VaUCP1a		TLEQ T KNFVKSLESS---	305
VrUCP1a		TLEQ T KNFVKSLESS---	305
PvUCP1a		TLEQ T KKFIKNLESP---	305
CcUCP1a		TLEQ T KKFVKSLESS---	305
MtUCP1a		TLEQAKKF A KSLQSS---	303
CaUCP1a		TLEQ T KKFVKSLESS---	306
LaUCP1a		TLEQ T KKFVKGLESS---	304
GmUCP1b1		TLEQAKKF V KTLESA---	305
GsUCP1b1		TLEQAKKF V KTLESA---	305
GmUCP1b2		TLEQAKKF V KSLESA---	305
GsUCP1b2		TLEQAKKF V KSLESA---	305
CcUCP1b		TLEQAKKF V KSLESA---	305
VaUCP1b		TLEQAK K MYVKRLESA---	305
VrUCP1b		TLEQAKKYVVKRLESA---	305
PvUCP1b		TLEQAKKYVVKRLESA---	305
AdUCP1b		TLEQ T KKFVKSLESA---	305
AiUCP1b		TLEQ T KKFVKSLESA---	305
MtUCP1b		TLEQ T KKFVKKLESA---	305
CaUCP1b		TLEQ T KKFVKSLESA---	304
LaUCP1b		TLEQ T KKFVKGLES A---	303
AtUCP1		TLEQAKKYV RELDASKRN	306
SsUCP2		TLEQ V QKLFVRKPAS---	309
SsUCP1		TLEQ V RRFL-----	296
GmUCP2		TLEQAKRVIRG-----	297
GsUCP2		TLEQAKRVIRG-----	297
VaUCP2		TLEQAKRF L RG-----	297
VrUCP2		TLEQAKRF L RG-----	297
PvUCP2		TLEQAKRV L RG-----	297
CcUCP2		TLEQ V KRFRG-----	297
MtUCP2		TLEQAKRVFRG-----	300
Caucp2		TLEQAKNVFRG-----	307
AdUCP2		TLEQAKRF S G-----	300
AiUCP2		TLEQAKRF S G-----	300
LaUCP2		TLEQAKRV L RG-----	300
AtUCP2		TLEQ V KKV F LREVLYD--	305

* : ** . :

Apêndice 03: Alinhamento das pUCPs do tipo 3 de soja (*Glycine max*), bem como de outras leguminosas (*Cajanus cajan*, *Glycine soja*, *Phaseolus vulgaris*, *Medicago truncatula*, *Cicer arietinum*, *Lupinus angustifolius*, *Vigna angularis*, *Vigna radiata*, *Arachis duranensis* e *Arachis ipaensis*.

Cinza – assinatura específica da UCP

Amarelo – SPTE

Turquesa – Sequência de arabidopsis

Rosa – Aminoácidos variáveis

Branco/preto – Alanina e histidina conservadas

Azul - PNBD

	4º Segmento α-hélice transm.	3º Segmento citosólico	5º Segmento α-hélice transm.	
GmUCP3	VFPNIQRAFLVNMGELACYDHAKQFVIRSRIADDNVFAHTFASIMSGLAATSLSCPADVV		AHTFASIMSGLAATSLSCPADVV	235
GsUCP3	VFPNIQRAFLVNMGELACYDHAKQFVIRSRIADDNVFAHTFASIMSGLAATSLSCPADVV		AHTFASIMSGLAATSLSCPADVV	235
CcUCP3	VFPNIQRAFLVNMGELACYDHAKQFVIRSRIAEDNIVYAHTLASIMSGLAATSLSCPADVV		AHTLASIMSGLAATSLSCPADVV	233
VaUCP3	VFPNIQRAFLVNMGELACYDHAKQFVIRSRIAEDNIVYAHTLASIMSGLAATSLSCPADVV		AHTLASIMSGLAATSLSCPADVV	235
VrUCP3	VFPNIQRAFLVNMGELACYDHAKQFVIRSRIAEDNIVYAHTLASIMSGLAATSLSCPADVV		AHTLASIMSGLAATSLSCPADVV	235
PvUCP3	VFPNIQRAFLVNMGELACYDHAKQFVIRSRIAEDNIVYAHTLASIMSGLAATSLSCPADVV		AHTLASIMSGLAATSLSCPADVV	235
LaUCP3	VFPNIQRAFLVNMGELACYDHAKQIVIKSRIAEDNVYAHTLASTMSGLAATSLSCPADVV		AHTLASTMSGLAATSLSCPADVV	235
MtUCP3	VFPNIQRAFLVNMGELACYDHAKQFVIKSKIAEDNVYAHTLASIMSGLAATSLSCPADVV		AHTLASIMSGLAATSLSCPADVV	232
CaUCP3	VFPNIQRAFLVNMGELACYDHAKQFVIKSRIAEDNVYAHTLASIMSGLAATSLSCPADVV		AHTLASIMSGLAATSLSCPADVV	235
AdUCP3	VLPNVQRAFLVNMGELACYDHAKQLVIRSRIAEDNVYAHTLASIMSGLAATSLSCPADVV		AHTLASIMSGLAATSLSCPADVV	235
AiUCP3	VLPNVQRAFLVNMGELACYDHAKQLVIRSRIAEDNVYAHTLASIMSGLAATSLSCPADVV		AHTLASIMSGLAATSLSCPADVV	235
AtUCP3	VLPNIQRAFLVNMGELACYDHAKHFIDKKIAEDNIFAHTLASIMSGLASTSLSCPADVV		AHTLASIMSGLASTSLSCPADVV	239
SsUCP3	VVPNIQRAFLVNMGELACYDQAKRLIIRKQICDDNLYAHTLASIAGLSATTLSCPADVV		AHTLASIAGLSATTLSCPADVV	206
	* . * * * * * * : * * : * * : * . * : * * : * * : * * : * * : * * * :			
	3º Segmento da matriz		6º Segmento α-hélice transm.	
GmUCP3	KTRMMNQAAKKEGVLYNNSYDCLVKTIKVEGIRALWKGFFF		IWARLGPWQFVFWVSYEK	295
GsUCP3	KTRMMNQAAKKEGVLYNNSYDCLVKTIKVEGIRALWKGFFF		IWARLGPWQFVFWVSYEK	295
CcUCP3	KTRMMNQAAKKEGTIVLYNNSCDCLVKTVKVEGIRALWKGFFF		IWARLGPWQFVFWVSYEK	293
VaUCP3	KTRMMNQAAKKEGYLYNNSYDCLVKTVKVEGIRALWKGFFF		IWARLGPWQFVFWVTYEK	295
VrUCP3	KTRMMNQAAKREGKYLYNNSYDCLVKTVKVEGIRALWKGFFF		IWARLGPWQFVFWVTYEK	295
PvUCP3	KTRMMNQAAKKEGVLYNNSYDCLVKTVKVEGIRALWKGFFF		IWARLGPWQFVFWVSYEK	295
LaUCP3	KTRMMNQSAKNEGKVLYNNSFDCLVKTVKVEGIRALWKGFFF		IWARLGPWQFVFWVSYEK	295
MtUCP3	KTRMMNQTAKKEGNVLYRSSYDCLVKTVKVEGIRALWKGFFF		IWARLGPWQFVFWVSYEK	292
CaUCP3	KTRMMNQAAKKEGVNLVYSSSYDCLVKTVKVEGLRALWKGFFF		IWARLGPWQFVFWVSYEK	295
AdUCP3	KTRMMNQVAK-EGKVLYISSLDCLVKTVKVEGIQALWKGFFF		IWARLGPWQFVFWVSYEK	294
AiUCP3	KTRMMNQAAK-EGKVLYVSSLDCLVKTVKVEGIQALWKGFFF		IWARLGPWQFVFWVSYEK	294
AtUCP3	KTRMMNQGEN---AVYRNSYDCLVKTVKFEGIRALWKGFFF		IWARLGPWQFVFWVSYEK	295
SsUCP3	KTRMMNQGKE--GKAMYRSSYDCLVKTVRHEGVTAALLKGFLIWARLGPQFQFVFWVSYEK			264
	* * * * * : * . * * * * : * * * * * * * * * * * * * * * * * :			
	4º Segmento citosólico			
GmUCP3	FRKFAGLSSF 305			
GsUCP3	FRKFAGLSSF 305			
CcUCP3	FRKFAGLSSF 303			
VaUCP3	FRKFAGLSSF 305			
VrUCP3	FRKFAGLSSF 305			
PvUCP3	FRKFAGLSSF 305			
LaUCP3	FRKIAGLSSF 305			
MtUCP3	FRKLAGLSSF 302			
CaUCP3	FRNFAGLSSF 305			
AdUCP3	FRKIAGLSSF 304			
AiUCP3	FRKIAGLSSF 304			
AtUCP3	FRLLAGISSF 305			
SsUCP3	IROQASGISSF 274			
	: * : * : ***			

Apêndice 04: Alinhamento das pUCPs dos tipos 4,5 e 6 de soja (*Glycine max*), bem como de outras leguminosas (*Cajanus cajan*, *Phaseolus vulgaris*, *Medicago truncatula*, *Cicer arietinum*, *Lupinus angustifolius*, *Vigna angularis*, *Vigna radiata*, *Arachis duranensis* e *Arachis ipaensis*.

Cinza – assinatura específica da UCP

Amarelo – SPTE

Turquesa – Sequência de arabadopsis

Rosa – Aminoácidos variáveis

Branco/preto – Treonina e histidina conservadas

Azul – PNBD

	1º Seg. cito.	1º Segmento α -hélice transm.	1º Segmento da matriz	
SsUCP4	MGVKG FVEGGIASIVAGCSTHPLDLIKVRMQLQGEAAA		VTAAPQPALR	48
SsUCP5	MGVKG FVEGGIASIVAGCSTHPLDLIKVRMQLQGEAA		AAPQPALR	45
LaUCP4a	MG IKGFVEGGIASIVAGCSTHPLDLIKVRMQLQGESN		PAPVRNIR	45
LaUCP4b	MGLK GFAEGGIASIVAGCSTHPLDLIKVRMQLQGEPN		PNPVHNLR	45
AdUCP4	MGVKG FVEGGIASIVAGCSTHPLDLIKVRMQLQGESN		PTSVPSLR	45
AiUCP4	MGVKG FVEGGIASIVAGCSTHPLDLIKVRMQLQGESN		PTSVPSLR	45
GmUCP4a	MGVKG FVEGGIASIVAGCSTHPLDLIKVRMQLQGENN		LPKPVQNLR	46
GmUCP4b	MGVKG FVEGGIASIVAGCSTHPLDLIKVRMQLQGENN		LPKPVQNLR	46
PvUCP4	MGVKG FVEGGIASIVAGCSTHPLDLIKVRMQLQGESN		APKPVHNLR	46
VrUCP4	MGVKG FVEGGIASIVAGCSTHPLDLIKVRMQLQGENN		APKPVHNLR	46
CcUCP4	MGVKG FAEGGIASIVAGCSTHPLDLIKVRMQLQGETN		VPKPLHNLR	46
MtUCP4	MGVKG FVEGGIASIVAGCSTHPLDLIKVRMQLQGENAP		KPNPVQILR	47
CaUCP4	MGVKG FVEGGIASIVAGCSTHPLDLIKVRMQLQGENAP		KPNPVHNLR	47
GmUCP5b	MGVKG FVEGGIASIVAGCSTHPLDLIKVRMQLQGETQ		QPSNLR	43
CcUCP5	MGVKG FVEGGIASIVAGCSTHPLDLIKVRMQLQGETQ		H-SNLR	42
AdUCP5	MGLKG FVEGGIASIVAGCSTHPLDLIKVRMQLQGETT		Q-----	38
AiUCP5	MGLKG FVEGGIASIVAGCSTHPLDLIKVRMQLQGETT		Q-----	38
VaUCP5b	MGVKG FVEGGIASIVAGCSTHPLDLIKVRMQLQGET		-----	36
LaUCP5	MGIKG FVEGGIASIVAGCSTHPLDLIKVRMQLQGETQ		V-----	38
MtUCP5b	MGVKG FVEGGIASIVAGCSTHPLDLIKVRMQLQGENA		PTTNIR	43
CaUCP5b	MGVKG FVEGGIASIVAGCSTHPLDLIKVRMQLQG-EI		QTPNIR	42
AtUCP5	M GLKGF AE GGIA SIVAGCSTHPLDLIKVRMQLQ GES A		PIQTNLR	44
VaUCP5a	MTVKG FFEGGVASIVAGCSTHPLDLIKVRMQLQETH		-----NLR	39
VrUCP5	MTVKG FFEGGVASIVAGCSTHPLDLIKVRMQLQETH		-----NLR	39
PvUCP5	MTLKGF FFEGGVASIVAGCSTHPLDLIKVRMQLQETH		-----HNLR	41
GmUCP5a	MSLKGF FFEGGVASIVAGCSTHPLDLIKVRMQLQETH		-----TLR	39
MtUCP5a	MGVKAF LEGGIASIVAGCSTHPLDLIKVRMQLQGE		-----KNLPLR	41
CaUCP5a	MGVKGF LEGGIASIVAGCSTHPLDLIKVRMQLQGETL		-----PLSHNLR	44
AtUCP4	MGVKSF VEGGIASIVAGCSTHPLDLIKVR QLH GEAP		-----STTVTLLR	46
AtUCP6	MGFKPF LEGGIASIVAGCSTHPLDLIKVRMQLQGEHSFSLDQNPNPNL SLDHNL PVKPYR			60
	* . * * * : : : : * . * * * * : : :			

Continuação

2º Segmento α -hélice transm.

SsUCP4	PALAFHAGGHAVALPPHHDI	PA	AAAAPRKPGPLAVGAQILRSEGARGLFSGVSATMLRQT	108
SsUCP5	PALAFHAGGHAVALP-	HHD	HDPVPP--PRKPGPLAVGAQILRSEGARGLFSGVSATMLRQT	103
LaUCP4a	SELAF-HNGS-SIHVA	--	QAPQIK--PRVGPIAVGVRLVQQEGLAALFSGVSATVLRQT	98
LaUCP4b	PALAF-QNGS-SIHVSPTP	QTPQIK	--PRMGPIAVGVRLVQQEGLAALFSGVSATVLRQT	101
AdUCP4	PALAF-QTGSRSIHSV	SPPPQITQP	--PRVGLTVGVKLVQQEGLAALFSGVSATVLRQT	101
AiUCP4	PALAF-QTGSRSIHSV	SPPPQITQP	--PRVGLTVGVKLVQQEGLAALFSGVSATVLRQT	101
GmUCP4a	PALAF-QTGST-VHVA	--	--AIPQ--TRVGPIAVGVRLVQQEGLAALFSGVSATVLRQT	98
GmUCP4b	PALAF-QTGST-LHVA	--	--AVPP--PRVGPIAVGVRLVQQEGLAALFSGVSATVLRQT	98
PvUCP4	PALAF-QTGSN-LHVS	--	--AIPQ--ARVGPIAVGVRLVQQEGLAALFSGVSATVLRQT	97
VrUCP4	PALAF-QTASN-VHVA	--	--TIPQ--ARVGPIAVGVRLVQQEGLAALFSGVSATVLRQT	97
CcUCP4	PALAF-QTGST-VHVA	--	--ALPQ--PRVGPIAVGVRLVQQEGLAALFSGVSATVLRQM	97
MtUCP4	PALAFGQTGTTTIVHG	ST	STVGVRLVQQEGVTALFSGISATVLRQT	102
CaUCP4	PALAF-QTGTTSIHVGP	T	--PLPQ--PRVGPIAVGVRLVQQEGVRALFSGVSATVLRQT	101
GmUCP5b	PALAFHPSSVHAPPQ	P	--AA---KEGPIAVGVKLVQQEGLAALFSGVSATVLRQL	93
CcUCP5	PALAFHPTSVHAPP	R	--PA---KAGPIAVGVKLVQQEGLAALFSGVSATVLRQL	92
AdUCP5	PALALHSTTHAPP	H	--PA--PKAGPIAVGIKLVLQQEGVVALFSGVSATVLRQL	89
AiUCP5	PALALHSTTHAPP	H	--PA--PKAGPIAVGIKLVLQQEGVVALYSCVSATVLRQL	89
VaUCP5b	--AFNPFSVHAPP	--	--KVGPIAVGVKLVQQEGVTALFSGVSATVLRQL	80
LaUCP5	HNQVFNNASPTLPQPS	--	--RVGPIATGVKLVQREGVVALFSGASATVLRQA	86
MtUCP5b	PALAFQPGSVHRSPA	VTA	--QP--PRVGPIAVGVKLVQQEGLAALFSGVSATVLRQC	96
CaUCP5b	CaUCP5b	--PP--PRVGPIAVGVKLVQQEGLAALFSGVSATVLRQV	91	
AtUCP5	PALAFQTSSTTVNAP	PL	--RFGVIGVGSRLIREEGMRA	92
VaUCP5a	PAFAFH	--ASTPMP	--PP--PPSGPIAVGVRLVQSEGLAALFSGVSATMLRQT	86
VrUCP5	PAFAFH	--ASTPMP	--PP--PPSGPIAVGVRLVQSEGLAALFSGVSATMLRQT	86
PvUCP5	PAFAFH	--APTMPM	--PP--PPSGPIAVGVRLVQSEGLAALFSGVSATMLRQT	88
GmUCP5a	PAFAFH	--APTMPM	--PP--PPSGPIAVGVRLVQSEGLAALFSGVSATVLRQT	86
MtUCP5a	PAYAFHHSSHSPPIFHP	--KP	--SVSGPIAVGVIRIVQSEGITALFSGVSATVLRQT	93
CaUCP5a	PAFAFH-SHSPSILPTT	--PP--SVSGPIISLGLRIVQSEGLAALFSGVSATVLRQT	95	
AtUCP4	PALAFPNSSPAAFLETT	S	--SV--PKVGPISLGININVKSEGAALFSGVSATLLRQT	99
AtUCP6	PVFALDSLIGSISLLPL	H	IHIAPSSSTRSVMTPFAVGAIHVTEGPAALFSGVSATVLRQM	120
	:	:	*	***:***:***:***

Continuação

2º Segmento citosólico

3º Segmento α -hélice transm.

SsUCP4	LYSTTRMGLYDILKTKWTPPDNNG	--	VLPLHRKIAAG-LVAGGVGAAVGNPADVAMVR	163
SsUCP5	LYSTTRMGLYDILKTKWTPPDNNG	--	VLPLHRKIAAG-LVAGGVGAAVGNPADVAMVR	158
LaUCP4a	LYSTTRMGLYDILKQKWSIGG	--	--NMPLSRKIEEAGLIAGAVGAAVGNPADVAMVR	151
LaUCP4b	LYSTTRMGLYDILKQKWSIGG	--	--NMPLSRKIEEAGLIAGVGAAVGNPADVAMVR	153
AdUCP4	LYSTTRMGLYDILKQKWTGG	--	--NMPLSRKIEEAGLIAGVGAAVGNPADVAMVR	160
AiUCP4	LYSTTRMGLYDILKQKWTGG	--	--NMPLSRKIEEAGLIAGVGAAVGNPADVAMVR	160
GmUCP4a	LYSTTRMGLYDILKQKWTGG	--	--NMPLSRKIEEAGLIAGVGAAVGNPADVAMVR	160
GmUCP4b	LYSTTRMGLYDILKQKWTGG	--	--NMPLSRKIEEAGLIAGVGAAVGNPADVAMVR	160
PvUCP4	LYSTTRMGLYDILKQKWTGG	--	--NMPLSRKIEEAGLIAGVGAAVGNPADVAMVR	160
VrUCP4	LYSTTRMGLYDILKQKWTGG	--	--NMPLSRKIEEAGLIAGVGAAVGNPADVAMVR	160
CcUCP4	LYSTTRMGLYDILKQKWTGG	--	--NMPLSRKIEEAGLIAGVGAAVGNPADVAMVR	160
MtUCP4	LYSTTRMGLYDILKQKWTGG	--	--NMPLSRKIEEAGLIAGVGAAVGNPADVAMVR	160
CaUCP4	LYSTTRMGLYDILKQKWTGG	--	--NMPLSRKIEEAGLIAGVGAAVGNPADVAMVR	160
GmUCP5b	LYSTTRMGLYDILKQKWTGG	--	--NMPLSRKIEEAGLIAGVGAAVGNPADVAMVR	160
CcUCP5	LYSTTRMGLYDILKQKWTGG	--	--NMPLSRKIEEAGLIAGVGAAVGNPADVAMVR	160
AdUCP5	LYSTTRMGLYDILKQKWTGG	--	--NMPLSRKIEEAGLIAGVGAAVGNPADVAMVR	160
AiUCP5	LYSTTRMGLYDILKQKWTGG	--	--NMPLSRKIEEAGLIAGVGAAVGNPADVAMVR	160
VaUCP5b	LYSTTRMGLYDILKQKWTGG	--	--NMPLSRKIEEAGLIAGVGAAVGNPADVAMVR	160
LaUCP5	LYSTTRMGLYDILKQKWTGG	--	--NMPLSRKIEEAGLIAGVGAAVGNPADVAMVR	160
MtUCP5b	LYSTTRMGLYDILKQKWTGG	--	--NMPLSRKIEEAGLIAGVGAAVGNPADVAMVR	160
CaUCP5b	LYSTTRMGLYDILKQKWTGG	--	--NMPLSRKIEEAGLIAGVGAAVGNPADVAMVR	160
AtUCP5	LYSTTRMGLYDILKQKWTGG	--	--NMPLSRKIEEAGLIAGVGAAVGNPADVAMVR	160
VaUCP5a	LYSTTRMGLYDILKQKWTGG	--	--NMPLSRKIEEAGLIAGVGAAVGNPADVAMVR	160
VrUCP5	LYSTTRMGLYDILKQKWTGG	--	--NMPLSRKIEEAGLIAGVGAAVGNPADVAMVR	160
PvUCP5	LYSTTRMGLYDILKQKWTGG	--	--NMPLSRKIEEAGLIAGVGAAVGNPADVAMVR	160
GmUCP5a	LYSTTRMGLYDILKQKWTGG	--	--NMPLSRKIEEAGLIAGVGAAVGNPADVAMVR	160
MtUCP5a	LYSTTRMGLYDILKQKWTGG	--	--NMPLSRKIEEAGLIAGVGAAVGNPADVAMVR	160
CaUCP5a	LYSTTRMGLYDILKQKWTGG	--	--NMPLSRKIEEAGLIAGVGAAVGNPADVAMVR	160
AtUCP4	LYSTTRMGLYDILKQKWTGG	--	--NMPLSRKIEEAGLIAGVGAAVGNPADVAMVR	160
AtUCP6	LYSTTRMGLYDILKQKWTGG	--	--NMPLSRKIEEAGLIAGVGAAVGNPADVAMVR	160
	::***:***:***:***:***:***	:	:	***:***:***:***:***:***:***:***

	2º Segmento da matriz	4º Segmento α -hélice transm.	3º Seg. cito.
SsUCP4	MQADGRLPLAERRNYAGVGDAIGRMARDEGVRSLWRGSSLTVNRAM	I	VTAISQLATYDQAK
SsUCP5	MQADGRLPLAERRNYAGVGDAIGRMARDEGVRSLWRGSSLTVNRAM	I	VTAISQLATYDQAK
LaUCP4a	MQADGRLPPAQRRNYKSVVDAISTMV	K	QEVTSLWRGSSLTVNRAMLVTA
LaUCP4b	MQADGRLPPAQRRNYKSVVDAISTMV	K	QEVTSLWRGSSLTVNRAMLVTA
AdUCP4	MQADGRLPPAQRRNYKSVVDAITKMAK	QEGVASLWRGSSLTVNRAMLVTA	SQLASYDQFK
AiUCP4	MQADGRLPPAQRRNYKSVVDAITKMAK	QEGVASLWRGSSLTVNRAMLVTA	SQLASYDQFK
GmUCP4a	MQADGRLPPAQRRNYKSVVDAITRM	AKMQUEGVTSLWRGSSLTVNRAMLVTA	SQLASYDQFK
GmUCP4b	MQADGRLPPAQRRNYKSVVDAITRM	AKMQUEGVTSLWRGSSLTVNRAMLVTA	SQLASYDQFK
PvUCP4	MQADGRLPLAERRNYKSVVDAILRMA	RQEGVTSLWRGSSLTVNRAMLVTA	SQLASYDQFK
VrUCP4	MQADGRLPPAQRRNYKSVVDAILRMA	RQEGVTSLWRGSSLTVNRAMLVTA	SQLASYDQFK
CcUCP4	MQADGRLPPAQRRNYKSVVDAITRM	ARSEGVASLWRGSSLTVNRAMLVTA	SQLASYDQFK
MtUCP4	MQADGRLPPAQQRNYKSVVDAITRM	AKMQUEGVTSLWRGSSLTVNRAMLVTA	SQLASYDQFK
CaUCP4	MQADGRLPSAQRRNYKSVVDAITRM	AKMQUEGVTSLWRGSSLTVNRAMLVTA	SQLASYDQFK
GmUCP5b	MQADGRLPPIRQRNYKSVLDAIARM	TKDGEITSLWRGSSLTVNRAMLVTA	SQLASYDQFK
CcUCP5	MQADGRLPPAQRRNYKSVVDAITRM	VKDEGVTSLWRGSSLTVNRAMLVTA	SQLASYDQFK
AdUCP5	MQADGRLPPAQQRNYKSVVDAITRM	VKDEGVTSLWRGSSLTVNRAMLVTA	SQLASYDQFK
AiUCP5	MQADGRLPPAQRRNYNSVLDAITRM	VNEGVTSLWRGSSLTVNRAMLVTA	SQLASYDFK
VaUCP5b	MQADGRLPPSQRRNYKSVVDAITRM	TKDGEVTSLWRGSSLTVNRAMLVTA	SQLASYDFK
LaUCP5	MQADGRLPPAQRRNYKSVVIDAI	RTMAKDEGVISLWRGSSLTVNRAMLVTA	SQLASYDFK
MtUCP5b	MQADGRLPSAQRRNYKSVVDAISR	MAKDEGVTSLWRGSSLTVNRAMLVTA	SQLASYDFK
CaUCP5b	MQADGRLPTQRRNYKSVVDAITRM	AKMDEGVTSLWRGSSLTVNRAMLVTA	SQLASYDFK
AtUCP5	MQADGRLPLTDQRNYKSVLDAITQ	MRIRGEGVTSLWRGSSLTVNRAMLVTA	SQLASYDSVK
VaUCP5a	MQADGRAPAAERRNYKGVFDAIRR	MSNQEVGVLWRGSALTVNRAM	IVTASQLASYDQFK
VrUCP5	MQADGRAPAAERRNYKGVFDAIRR	MSNQEVGVLWRGSALTVNRAM	IVTASQLASYDQFK
PvUCP5	MQADGRAPAAERRNYKGVFDAIRR	MSNQEVGVLWRGSALTVNRAM	IVTASQLASYDQFK
GmUCP5a	MQADGRLPAPAERRNYNGVFD	IRRMSNQEVGVLWRGSALTVNRAM	IVTASQLASYDQFK
MtUCP5a	MQADGRLPVNQRDYKGVFDAIRR	MANQEFIGLSLWRGSALTVNRAM	IVTASQLASYDTFK
CaUCP5a	MQADGRLPVTERRNKSVFDAIKR	MSNQEFIGSLWRGSALTVNRAM	IVTASQLASYDQFK
AtUCP4	MQADGRLPLAQRRNYAGVGDAI	RSMVKGEGVTSLWRGSALTINR	AMIVTASQLASYDQFK
AtUCP6	MQADGSLPLNRRRNKSVVDAIDR	IARQEGVSSLWRGSWLTVNRAM	IVTASQLAYDHVK
	***** * : * : . * : * : :	***** * : * : * : * : * : * :	***** * : * : * : * : * : * :
	3º Segmento citosólico	5º Segmento α -hélice transm.	3º Segmento da matriz
SsUCP4	EAILARRGPAGDLATHVAASFTAGI	VAAAASN	PVDVVKTRMMNKVAPGAP-PPYAGAV
SsUCP5	EAILARRGPAGDLATHVAASFTAGI	VAAAASN	PVDVVKTRMMNKVAR-AP-PPYAGAV
LaUCP4a	EMILEK-GVMRDGLGTHVTASFAAGF	VASVNP	PVDVIKTRVMNMVRPEGAE-PPYSGAL
LaUCP4b	EMILEK-GVMRDGLGTHVTASFAAGF	VASVNP	PVDVIKTRVMNMVRPEGAE-PPYSGAM
AdUCP4	EMILEK-GLMRDGLGTHVTASFAAGF	VAAVNP	PVDVIKTRVMNMVRPEGAE-PPYSGAM
AiUCP4	EAILEK-GLMRDGLGTHVTASFAAGF	VAAVNP	PVDVIKTRVMNMVRPEGAE-PPYTGAL
GmUCP4a	ETILEN-GMMRDGLGTHVTASFAAGF	VAAVNP	PVDVIKTRVMNMVRPEGAE-PPYTGAL
GmUCP4b	EMILEN-GVMRDGLGTHVTASFAAGF	VAAVNP	PVDVIKTRVMNMVRPEGAE-PPYAGAL
PvUCP4	ETILEK-GLMRDGLGTHVTASFAAGF	VAAVNP	PVDVIKTRVMNMVRPEGAE-PPYAGAL
VrUCP4	EMILER-GVMRDGLGTHVTASFAAGF	VAAVNP	PVDVIKTRVMNMVKVEPGSP-APYAGAL
CcUCP4	EMILEK-GLMRDGLGTHVTASFAAGF	VAAVNP	PVDVIKTRVMNMVKVEPGAA-PPYAGAL
MtUCP4	EMILEK-GVMRDGLGTHVTASFAAGF	VAAVNP	PVDVIKTRVMNMVKVEPGAA-PPYAGAL
CaUCP4	EMILEK-GVMRDGLGTHVTASFAAGF	VAAVNP	PVDVIKTRVMNMVKVEAGKE-APYAGAL
GmUCP5b	EMILER-GVMGDGLGTHVTASFAAGF	VAAVNP	PVDVIKTRVMNMVKVEAGKE-APYAGAL
CcUCP5	EMILKK-GLMRDGLGTHVTASFAAGF	LASVTNP	PVDVIKTRVMNMVKVEPGAA-PPYSGAL
AdUCP5	EMILKK-GLMRDGLGTHVTASFAAGF	LASVTNP	PVDVIKTRVMNMVKVEPGAA-PPYSGAL
AiUCP5	EMILKK-GLMRDGLGTHVTASFAAGF	VASVNP	PVDVIKTRVMNMVKVEPGAA-PPYSGAL
VaUCP5b	EMILEK-GVMRDGLGTHVTASFAAGF	VASVNP	PVDVIKTRVMNMVKVEHGA-PPYSGAL
LaUCP5	EMILEK-GIMRDGLGTHVTASFGAGF	VAAVNP	PVDVIKTRVMNMVKVEPGAA-PPYSGAL
MtUCP5b	EKILKN-GWMKDGLGTHVVASFSAG	VAAVNP	PVDVIKTRVMNMVKVEAGSP-PPYSGAI
CaUCP5b	ETILEK-GWMRDGLGTHVTASFAAGF	VAAVNP	PVDVIKTRVMNMVKVEVGSP-PPYSGAV
AtUCP5	ETILEK-GLLKDGLGTHVSASFAAGF	VASVNP	PVDVIKTRVMNMVKVVAGVA-PPYKGAV
VaUCP5a	ETILGH-GWMEDGLGTHVAASFAAGF	VASVANP	PVDVIKTRVMNMVKVEA-----YNGAF
VrUCP5	ETILGH-GWMEDGLGTHVAASFAAGF	VASVANP	PVDVIKTRVMNMVKVEA-----YNGAF
PvUCP5	ETILGR-GWMEDGLGTHVAASFAAGF	VASVANP	PVDVIKTRVMNMVKVDA-----YNGAL
GmUCP5a	ESILGR-GWMEDGLGTHLASFAAGF	VASVANP	PVDVIKTRVMNMKAEA-----YNGAL
MtUCP5a	EMILEK-GWMKDGFCTHVVASFAAGF	LAAVNP	PVDVIKTRVMSMVKVGSGGEAPYKGAL
CaUCP5a	ETIVEK-GWMKDGFCTHVSASFAAGF	VAAVNP	PVDVIKTRVMSMVKVESGGETPPYNGAL
AtUCP4	EGILEN-GVMNDGLGTHVVASFAAGF	VASVANP	PVDVIKTRVMNMVKVGA-----YDGAW
AtUCP6	EILVAGGRGTPGGIGTHVAASFAAGI	VAAVNP	PVDVIKTRMMNADEI-----YGGPL
	* : : . * : * : * : * : * : :	***** * : * : * : * : * : * :	* * .

	Continuação	6º Segmento α-hélice transm.	4º Segmento citosólico
SsUCP4	DCALKTVRSEGPMALYKGFIP	TVMRQGPFTVVLFVTLE	QVRKVFKGVEF 331
SsUCP5	DCALKTVRSEGPMALYKGFIP	TVMRQGPFTVVLFVTLE	QVRKVFKGVEF 325
LaUCP4a	DCALKTVRAEGPMALYKGFIP	TISRQGPFTVVLFVTLE	QVRKLFKDY-- 316
LaUCP4b	DCALKTVRAEGPMALYKGFIP	TISRQGPFTVVLFVTLE	QVRKLLKDF-- 318
AdUCP4	DCALKTVRAEGPMALYKGFIP	TISRQGPFTVVLFVTLE	QVRKLFKD-- 325
AiUCP4	DCALKTVRAEGPMALYKGFIP	TISRQGPFTVVLFVTLE	QVRKLFKD-- 325
GmUCP4a	DCALKTVRAEGPMALYKGFIP	TISRQGPFTVVLFVTLE	QVRKLLKDF-- 317
GmUCP4b	DCALKTVRAEGPMALYKGFIP	TISRQGPFTVVLFVTLE	QVRKLLKDF-- 317
PvUCP4	DCALKTVRAEGPMALYKGFIP	TISRQGPFTVVLFVTLE	QVRKLLKDF-- 316
VrUCP4	DCALKTVRAEGPMALYKGFVP	TISRQGPFTVVLFVTLE	QVRKLLKDF-- 316
CcUCP4	DCALKTVRAEGPMALYKGFVP	TISRQGPFTVVLFVTLE	QVRKLLKDF-- 316
MtUCP4	DCALKTVRAEGPMALYKGFIP	TISRQGPFTVVLFVTLE	QVRKLLKDF-- 322
CaUCP4	DCALKTVRAEGPMALYKGFIP	TISRQGPFTVVLFVTLE	QVRKLFKD-- 320
GmUCP5b	DCALKTVRKEGPMALYKGFIP	TISRQGPFTVVLFVTLE	QVRKLLKDF-- 314
CcUCP5	DCAMKTVRAEGPMALYKGFVP	TISRQGPFTVVLFVTLE	QVRKLLKDF-- 314
AdUCP5	DCAMKTVRAEGPMALYKGFIP	TITRQGPFTVVLFVTLE	QVRKLLKNF-- 309
AiUCP5	DCAMKTVRAEGPMALYKGFIP	TITRQGPFTVVLFVTLE	QVRKLLKNF-- 309
VaUCP5b	DCALKTMRAEGPMALYKGFVP	TISRQGPFTVVLFVTLE	QVRNLKKDF-- 301
LaUCP5	DCALKTIHAEGPMALYKGFIP	TICRQGPFTVVLFVTLE	QVRKLLKDF-- 306
MtUCP5b	DCALKTIRAEPMALYKGFIP	TITRQGPFTVVLFVTLE	QVRKLLKDF-- 315
CaUCP5b	DCVLKTVRGECPMALYKGFIP	TITRQGPFTVVLFVTLE	QVRKLLKDF-- 311
AtUCP5	DCALKTVKAEGIMSLYKGFIP	TVSRQGPFTVVLFVTLE	QVKKLFKDYDF 313
VaUCP5a	DCALKTVRAEGPLALYKGFIP	TISRQGPFTVVLFVTLE	QVRKLLKEF-- 300
VrUCP5	DCALKTVRAEGPLALYKGFIP	TISRQGPFTVVLFVTLE	QVRKLLKEF-- 300
PvUCP5	DCALKTVRAEGPLALYKGFIP	TISRQGPFTVVLFVTLE	QVRKLLKDF-- 302
GmUCP5a	DCALKTVRAEGPLALYKGFIP	TISRQGPFTVVLFVTLE	QVRKLFKD-- 300
MtUCP5a	DCAVKTVRAEGVMALYKGFIP	TISRQGPFTVVLFVTLE	QLRKLLKDF-- 313
CaUCP5a	DCAIKTVRAEGPMALYKGFIP	TISRQGPFTVVLFVTLE	QVRKLLKDF-- 315
AtUCP4	DCAVKTVKAEGAMALYKGFVP	TVCRQGPFTVVLFVTLE	QVRKLRLRDF-- 313
AtUCP6	DCAVKMVAEEGPMLYKGLVP	TATRQGPFTMILFVTLE	QVRGLLKDVKF 337
	*** . * : * * . : ; * * * : * * * * * . * : * : * * * : * * * : . :		

Apêndice 05: Alinhamento dos genes da família multigênica da UCP em soja. As sequências marcadas com diferentes cores indicam os *primers* específicos utilizados para reações de PCR.

Branco/vermelho – Junções exón/exón

ATG – codón de iniciação

Cores variadas - Iniciadores

GmUCP1a1	-GACTAACGCCTACAGTCATTAGAGGGATACGATGCTATA	CGAAACATTA	AAAAGGAATT	59
GmUCP1a2	-----AATAAAGGAGAACAAAC-----	-----	CTAAAAAAA	27
GmUCP1b1	-----	-----	CTT	3
GmUCP1b2	-----	-----	CTT	3
GmUCP1b1Sp1	-----	-----	CTT	3
GmUCP2	-GGGTAGTTTCTAATTACTTAACATGATTCACATCA-----	-----	ATTTC	41
GmUCP3	--GGTGCGGATAGAACAGGTTCGGATAA	ACTGAA	CCGT	40
GmUCP4a	-----TTCAGCATATGCTCAAAGGCCACG-----	-----	-----	26
GmUCP4b	ATCGTTTATTCTACGATATGCTCAAAGGCCACG-----	-----	-----	34
GmUCP5b	-----TCTCAGCATATGCTTAAAGGCCAAC-----	-----	-----	27
GmUCP5a	-----	-----	-----	-----
 GmUCP1a1	AGGAAACCGTGCAAGTGTGCAACA-----	TGCATTG	CATTCTAGCAAAGCAAGTGGACCT	114
GmUCP1a2	--AACAGCA-AAGT---CAGC-----CA-----	-----	AGAGCAAA-AAACCA	59
GmUCP1b1	-----GTCTTGAAAC-----TTC	ACTG	-----T	20
GmUCP1b2	-----GTCTTGAGCGCTTCATTCTACTG-----C	-----	-----C	26
GmUCP1b1Sp1	-----GTCTTGAAAC-----TTC	ACTG	-----T	20
GmUCP2	-----TCTCTGTGCTAAC-----CACTCT-----	-----	ATCT	65
GmUCP3	-----GTGTGTCAT-----CATCG-----	-----	-----	54
GmUCP4a	-----GTTCCCTCACTCTCTCCATAG-----CC	-----	-----CC	50
GmUCP4b	-----ATTCCCTCACTCTCTCCATAG-----CC	-----	-----CC	58
GmUCP5b	-----GTTCCCTCACTCTCTCCATAG-----CC	-----	-----CC	51
GmUCP5a	-----	-----	-----	-----
 GmUCP1a1	TGCCAGCTCAAGGAAATT-----TACC-AGACAAT---AAATGAGTGAGTATT-----	-----	-----	160
GmUCP1a2	CGTAA-TCAAA-----CACC-AAACAACCGAAAAAAAAGGATATACTGGA	-----	-----	103
GmUCP1b1	CGTTACGCCAA-----CACC-ATTTTTT-----TTCTCTTCC	-----	-----	53
GmUCP1b2	CGTTACGCCAA-----CACC-ATTTTTT-----CTCTTCC	-----	-----	56
GmUCP1b1Sp1	CGTTACGCCAA-----CACC-ATTTTTT-----TTCTCTTCC	-----	-----	53
GmUCP2	TGGAGTGTGAAAGTAACGCAACTAACACC-----ACACCTAT-----ATATTAATTACCG	-----	-----	116
GmUCP3	-ACTGCTCAAATG-----GCGGAGGTAAATT-----TGAACTCTAAT-----	-----	-----	90
GmUCP4a	TGCGGCCTT-----CACTCTCATCTCC-----TGGTCTCCA	-----	-----	81
GmUCP4b	TGCGGCCTT-----CACTCTCATCTCC-----TGGTCTCCA	-----	-----	89
GmUCP5b	TTCGATCTT-----CATTCCCACCTTT-----TGGTCTCTA	-----	-----	82
GmUCP5a	-----TT-----TACTT-----	-----	-----	7
 GmUCP1a1	-AGAAACCAAAACCAATAGCAATACATTCCGAT-----TTCCAGACAGAG-----G	-----	-----	207
GmUCP1a2	AAGAACGCTAAAC-ATGGGGACA-ACCACCGAA-----TCACACCTTGAG-----	-----	-----	147
GmUCP1b1	-----TCTGAAGCCATT-----TTTCTTCC-----TTCTTTTTGGT-----T	-----	-----	87
GmUCP1b2	-----TCTGAAGCCATT-----TTTCTTCC-----TTCTTTTTGGT-----T	-----	-----	90
GmUCP1b1Sp1	-----TCTGAAGCCATT-----TTTCTTCC-----TTCTTTTTGGT-----T	-----	-----	87
GmUCP2	-----TGAACTCGTTGAAAGATTTAACCCAAAGTGGTTGCTTGCAG-----T	-----	-----	161
GmUCP3	-----CGTGGAAATCCATGATGCCTGATGGGTAGGAATCATTGCAAGCCAAAGACATCAT	-----	-----	144
GmUCP4a	-----GTGAGATGAAC-----CCTAGCTCAAATTG-----GTCCTTTAA-----	-----	-----	116
GmUCP4b	-----GTGAGATGAAC-----CCTAGCTCAAATTG-----GTCCTTTAA-----	-----	-----	120
GmUCP5b	-----GTGAGATGAAC-----CCAAACTCCAAATTG-----GTCCTCTTGAATCCAAACCC	-----	-----	127
GmUCP5a	-----TGTGTTGAAATTCAAT-----	-----	-----	23
 GmUCP1a1	AACTACTCAGCTTAGC-----TTGAGTATTTC-----AGAGGGGAT	-----	-----	245
GmUCP1a2	-----TCGAGGAAGG---AAGTA-----A-----	-----	-----	172
GmUCP1b1	TCCTATTCTCTCT-----TCAATTATCTC-----	-----	-----	112
GmUCP1b2	TCCTATTCTCTCT-----TCAATTCTCTC-----	-----	-----	115
GmUCP1b1Sp1	TCCTATTCTCTCT-----TCAATTATCTC-----	-----	-----	112
GmUCP2	TGC-GTTAATGCTA-----CTACTCTCT-----	-----	-----	185
GmUCP3	ACCAGTTCTGGTTCC-----TTGATTGCTT-----	-----	-----	172
GmUCP4a	-TCAATTAC-----CTCTTAATTAGT-----	-----	-----	136
GmUCP4b	-----TTAGTTAC-----CTCTT-----	-----	-----	133
GmUCP5b	-----TTTAATTATACATTCCATTCTTTATTTTCTCAAATTTCCCGAAAATTCTCT	-----	-----	187
GmUCP5a	-----	-----	-----	-----

GmUCP1a1	CAAAGGGAAGAAGAAGGGAAAGGACTCAA--ACTTGACACG--CAACCT-----TT	292
GmUCP1a2	-GAAGAAGGGAAAGAAGGGAAAGGACTCAA--ATTGACACG--TAACCT-----TT	218
GmUCP1b1	C-----TTCATTTAGTTGTGAACA--T--TTT-----TT	137
GmUCP1b2	C-----TTCATTTAGTTGTGAACA--T--TTT-----TT	140
GmUCP1b1Sp1	C-----TTCATTTAGTTGTGAACA--T--TTT-----TT	137
GmUCP2	C-----AGCTTCTTAATCACTCACCCAACCTTTC-----TT	219
GmUCP3	-----AGAAGAACAAACAGCCTTGCATA--TCTTTGGTGGTGGTT	212
GmUCP4a	-----AATTACTTAATCTCAATT-GCCTTCA-----	163
GmUCP4b	-----TCCTGCATCTCATATA-TCCCATT-----	156
GmUCP5b	-----CTGAGAAAATCAACCATTACCCACTTCTTAATCCATTGA-TTCTTTAAAATAA--	243
GmUCP5a	-----	
GmUCP1a1	GGTTCCCTTCCCAACACTCACCATGGTGGCAGA-TTCTAA---GTC--CAATTCCGAC	345
GmUCP1a2	GGTTCCCTTCCCAACACTCACCATGGTGGCAGA-TTCFAA---GTC--CAAAATCCGAC	271
GmUCP1b1	CGGTCTCGTCGAAGCA---ATCGTGGCGGG-TGGCAA---TTC--CAAATCCGACA	184
GmUCP1b2	TGGCTCTGGTGAAGCA---ATCGTGGCGGGTGGCAA---TTC--CAAATCCGACA	187
GmUCP1b1Sp1	CGGTCTCGTCGAAGCA---ATCGTGGCGGGTGGCAA---TTC--CAAATCCGACA	184
GmUCP2	CTCTCTTCTTCTAACCA---GGCTCAACA-A-TGTCAG---ATC--CGTACCAAGA--	263
GmUCP3	AGGTCTTCTTGAATGTAC-CAATCAAATCAGGCTATCAA---CACGGTGGAGTTGATA	267
GmUCP4a	CTCTCCACACACA-ACA---ACATCA-TGGCGTCAAAGGTTTGTGAGGAGGCA	214
GmUCP4b	CTTTCTCATTACACACA---GCATCA-TGGCGTCAAAGGTTTGTGAGGAGGCA	208
GmUCP5b	CAATCTTTTCACGTA---ACTGAAATGGGTCAAAGGTTTGTGAGGAGGCA	297
GmUCP5a	-----TGAGTCTTAAGGGATTTCGAGGGTGGTG	53
	* * *	
GmUCP1a1	TCTCCTTCGGAAAAAT---CTTGCCA-GCA---GTGCTTC-TC-----TGCATGT	389
GmUCP1a2	TCTCTTCCGGCAAAAC---CTTGCCA-GCA---GTGCTTC-TC-----TGCATGT	315
GmUCP1b1	TCTCCTTGTGCTGGCAC---TTACGCTA-GCA---GTGCTTC-GC-----TGCATGT	228
GmUCP1b2	TCTCCTTGTGCTGGCAC---TTACGCTA-GCA---GTGCTTC-GC-----TGCATGT	231
GmUCP1b1Sp1	TCTCCTTGTGCTGGCAC---TTACGCTA-GCA---GTGCTTC-GC-----TGCATGT	228
GmUCP2	TTTGTGCTGCTCAAGC---CTTCTTGT-GCA---GCGCTTC-GC-----CGCGTGT	307
GmUCP3	TTACTCACACTAACGGC---CTTT-CTA-ACA---TCACTGTCAGC-----T-ATGG	309
GmUCP4a	TCGCTTCATCATCGCAGGATGTTCCACACACCCACTTGTATCTCATCAAGGTCGCGATGC	274
GmUCP4b	TCGCTTCATCATCGCAGGATGTTCCACACACCCACTTGTATCTCATCAAGGTCGCGATGC	268
GmUCP5b	TTGCTCTGTGATCGCAGGGTGTGATCTCATCAAGGTAAGAATGC	357
GmUCP5a	TCGCTTCATCGCAGGCTGACCAACTCACCACGCTGACACTCAAAGGTCGAGATGC	113
	* * * * *	
GmUCP1a1	TTCGCTGAGGTGTGACTATTCTTGGATACTGCCAAA-----GTGAGGCTTCAGCT	442
GmUCP1a2	TTCGCTGAGGTGTGACTATTCTTGGACACTGCCAAA-----GTTAGGCTTCAGCT	368
GmUCP1b1	TTCGCCGAGGTGTGACTCTCTTGGACACGCCAAA-----GTTAGGCTTCAGCT	281
GmUCP1b2	TTCGCCGAGGTGTGACTCTCTTGGACACTGCTAAA-----GTTAGGCTTCAGCT	284
GmUCP1b1Sp1	TTCGCCGAGGTGTGACTCTCTTGGACACGCCAAA-----GTTAGGCTTCAGCT	281
GmUCP2	TTCGCCGAGGTGTGACTCTCTTGGACACGCTAAG-----GTCAGGCTTCAGCT	360
GmUCP3	TG-TGTGAGACCAATTCTCCCATAGATTGTGATCAAG-----ACCAGGCTCCAAGT	361
GmUCP4a	AGCTTCAGGGCGAAAACAATTGCCAACCGGTTCAAATCTCGACCCGACTCGCCT	334
GmUCP4b	AGCTTCAGGGTAAAACAATTGCCAACCGGTTCAAATCTCGACCCGACTCGCCT	328
GmUCP5b	AGCTTCAGGAGAGACCCA---GC---AACC---CTCGAA-TCTCCGACCCGACTCGCCT	408
GmUCP5a	AACTCAAGA-----AACC---CACACTCTCCGCCAGCCTTGCCT	152
	* * * * *	
GmUCP1a1	TCAAAAGCAAGCTG----TAGCTGGTATGTTGTCCTTACCTAAATAAGGGTAT	496
GmUCP1a2	TCAAAAGCAAGCTG----CAACTGGTATGTTGTCCTTACCTAAATAAGGGTAT	422
GmUCP1b1	TCAAAAACAAGCTG----TAGTGGTATGTTGTCACCTAAATAAGGGTTT	335
GmUCP1b2	TCAAAAACAAGCTG----TACTTGGTATGCACTGACCTTACCTA-GATATAGGGGTT	338
GmUCP1b1Sp1	TCAAAAACAAGCTG----TAGTGGTATGTTGTCACCTAAATAAGGGTTT	335
GmUCP2	CCAAAGAAGGTAG-----GGATTGATGAGCTGGTTTACCTAAATAAGGGTTT	414
GmUCP3	CCATG-GCGAGT---CACT---TCCTCGAGTCACCCACT---AGTGC-----TTT	404
GmUCP4a	TCCAAACCGGTTCGACGGTCCACGTGGCAGCG---GCTATTCCGAGACCCCGTGGGT	390
GmUCP4b	TCCAAACCGGTTCGACGGTCCACGTGGCAGCT---GCAGTCCGCGCCCCCGTGGGC	384
GmUCP5b	TCCACCTAGCTC---CGTCCACGCG---CCGCC---GCAG---CCGGCGGCCAGGAGGTC	458
GmUCP5a	TTCAC---GCTC---CCACTC---CAATG---CCTCCTCCGCCCTCGC---GC---	193
GmUCP1a1	GCTGGGAACAGTTGGAAC---CATTGCCAGGGAAAGAAGGT-CTTTCAGCACTCTGGAAAGG	552
GmUCP1a2	GCTGGGAACAGTTGCAAC---CATTGCCAGGGAAAGAAGGT-CTTTCAGCACTCTGGAAAGG	478
GmUCP1b1	GCTGGGAACAGTTGGAAC---CATTGCCAGGGAAAGAAGGT-CTTTCAGCACTCTGGAAAGG	391
GmUCP1b2	GCTGGGAACAGTTGGAAC---CATTGCCAGGGAAAGAAGGT-CTTTCAGCACTCTGGAAAGG	394
GmUCP1b1Sp1	GCTGGGAACAGTTGGAAC---CATTGCCAGGGAAAGAAGGT-CTTTCAGCACTCTGGAAAGG	391
GmUCP2	GCTGGGAACAGTTAAGAC---CATTGCTAGAGAAGAGGT-ATATCAGCTGTGGAAAGG	470
GmUCP3	--CGAGTAGGCTTGGG---CATTATTGTCAGCAAGGTGCCCTTGGC-CTTACAGTG	456
GmUCP4a	--CCCATCGCGGTTGGGTTGCCCTCGCCAGCAAGAAGGC-CTTGCAGGCCCTTGGC	448
GmUCP4b	--CCCATCTCGGGTGGGTTGCCCTCGCCAGCAAGAGGGC-CTCGCCGCCCTTGGC	442

GmUCP5b -CCCATGGCGTCGGAGTTAAGT **TAGTCCAACAAGAAAGCC** -CTGGCCGCGCTTTCTCCG 516
 GmUCP5a -CCCATCTCCGTGGCCTCCGCATCGTTAGTCGGAGGGA-CTGCCGCTCTTTCTCCG 251
 * * * * * * * * *

GmUCP1a1 GCAT-TGTGCCAG-GGTTACATCGTCA-ATGTTGATGGAGGCTTAA--GAATTG--GG 605
 GmUCP1a2 GCAT-TGTGCCAG-GGTTACATCGTCA-ATGTTGATGGAGGCTTAA--GAATTG--GG 531
 GmUCP1b1 GGAT-TGTGCCAG-GGCTACAT**CGTCA**-**ATGTTGAATGGTGGTTAA**--GAATTG--CG 444
 GmUCP1b2 GGAT-TGTGCCAG-GGCTACATCGTCA-ATGTTGAATGGGGGTTAA--GAATTG--CG 447
 GmUCP1b1Sp1 GGAT-TGTGCCAG-GGCTACATCGTCA-ATGTTGAATGGTGGTTAA--GAATTG--CG 444
 GmUCP2 GCAT-TGTTCTG-GTTTACACCAGCA-ATGTTATATGGAGGCTTAA--GAATTG--GG 523
 GmUCP3 GCCT-GTCACCAAGCTT-TAGACACATGTT---TACTCGCCTATTCGAATTGTTGG 511
 GmUCP4a GCGTCTCCGCCACTG---TCCTCCGCCAGACGCTC---TACTCCACCACCCGTATGG--GC 501
 GmUCP4b GCGTCTCCGCCACCG---TCCTCCGCCAGACGCTC---TACTCCACCACCCGTATGG--GC 495
 GmUCP5b GCGTCTCCGCCACCG---TCCTCCGCCAGACGCTC---TACTCCACCACCCGTATGG--GC 569
 GmUCP5a GCGTCTCCGCCACCG---TCCTCCGCCAGACGCTC---TACTCCACCACCCGTATGG--GC 304
 * * * * * * * * * * * * * * *

GmUCP1a1 TTATATGAACCT**TG**TTAAGA-CTTTCTATGTTGGGAAAGACCAT-----GTTGGAGATGT 658
 GmUCP1a2 TTATATGA**CC****TG**TTAAGA-CTTTCTATGTTGGGAAAGACCAT-----GTTGGAGATGT 584
 GmUCP1b1 TTATATGAGCCT**TG**TTAAGA-ATTTCTATGTTGGGCTGACCAT-----GTTGGAGATGT 497
 GmUCP1b2 TTATATGAGCCT**TG**TTAAGA-ATTTCTATGTTGGGCTGACCAT-----GTTGGAGATGT 500
 GmUCP1b1Sp1 TTATATGAGCCT**TG**TTAAGA-ATTTCTATGTTGGGCTGACCAT-----GTTGGAGATGT 497
 GmUCP2 TTATATGATC**TG**TTAAGAACATTCT-TGTTGGTAGTGCAATT-----GTTGGAGAGGT 576
 GmUCP3 GTATGAGAACCTGAGAAATGTTGTTCTGTTGATAATG-CTTC-----GTT-----C 557
 GmUCP4a CTCTACGACGTCCTCAAGA-----CCAAGT--GGACCGACTCC-----GTCACCGGCAC 548
 GmUCP4b CTCTACGACGTCCTCAAGA-----CCAAGT--GGACCGACTCC-----GTCACCGGCAC 542
 GmUCP5b **CTCTACGAGGTGCTCAAGA**-----AGAAAT--GGTCGATCCAATTCTGCCGGAGGCAC 622
 GmUCP5a CTCTACGACGTCCTCAAGC-----GCCACT--GGACCGACCCC-----GACCGCGGAAC 351
 * * * * * * * * * * * * *

GmUCP1a1 T---CCATTGTCAAAGAAAATTCTGCTGCATTACAAC**TG**TGCTTTGCAATTGCAGT 715
 GmUCP1a2 T---CCATTGTCAAAGAAAATTCTGCTGCATTACAAC**TG**TGCTTTGCAATTGCAGT 641
 GmUCP1b1 T---CCATTGTTTAAGAAAATTCTCGCTGGATTACAAC**TG**TGCTATGCCAATTGCAGT 554
 GmUCP1b2 T---CCATTGTTTAAGAAAATTCTCGCTGGATTACAAC**TG**TGCTATGCCAATTGCAGT 557
 GmUCP1b1Sp1 T---CCATTGTTTAAGAAAATTCTCGCTGGATTACAAC**TG**TGCTATGCCAATTGCAGT 554
 GmUCP2 T---CCATTATACCATATGATATTGGCTGCTCTGCTGACT**TG**TGCTTTGCCAATTACAAT 633
 GmUCP3 T---CTATCGT-TGGCAAGGCTGTAGTTGGTGAATCTCTGGTGTCTTGGCTCA**GG**TAT 613
 GmUCP4a CATGCCGCTAGCCGCAAGATCGAGGGCGGTCTATGCCGGTGGCATGCCGCCCGT 608
 GmUCP4b CATGCCACTCGGAAAAAAAGATCGAGGGCGGTCTATGCCGGTGGCATGCCGCCCGT 602
 GmUCP5b CTTGTCGCTATCTGTAAGATAACCGCAGGGTTAATTCTGGTGGAAATCGGCCAGTCGT 682
 GmUCP5a CATGCCCTCACAGAAAATCACGGGGCTCGTGCAGGGGATCGGAGCCGCCGT 411
 * * * * * * * * * * * * *

GmUCP1a1 GGCAAATCCAACCGATCTGTCAAAGTTAGACTTCAGCTGAAGGA-AAATTACCTCTG 774
 GmUCP1a2 GGCAAATCCAAC**TG**TCTGTCAAAGTTAGACTTCAGCTGAAGGA-AAATTACCTCTG 700
 GmUCP1b1 **GGC**AAATCCAAC**TG**TCTGTCAAAGTTAGACTTCAGCTGAAGGA-AAATTACCTCTG 613
 GmUCP1b2 GGCAAATCCAAC**TG**TCTGTCAAAGTTAGACTTCAGCTGAAGGA-AAATTACCTCTG 616
 GmUCP1b1Sp1 GGC^{GA}ATCCAAC**TG**TCTGTCAAAGTTAGACTTCAGCTGAAGGA-AAATTACCTCTG 613
 GmUCP2 TGCTAATCCAAC**TG**TCTGTCAAAGTTAGACTTCAGCTGAAGGA-AAATTACCTCTG 692
 GmUCP3 AGCCAGCCCAGCTGATCTGTCAAAGGTGAGGATGCAAGCTGATGCCAAAGGGTGAGCCA 673
 GmUCP4a GGGAAACCCCGCCAGTGGCGATGGTCCGAATGCAGGCCACGGG-----CGCCTCCCT 663
 GmUCP4b GGGAAACCCCGCCAGTGTAGCCATGGTCCGAATGCAGGCCACGGG-----CGCCTCCCT 657
 GmUCP5b TGGAAATCCCGCCAGTGTAGCCATGGTCCGAATGCAGGCCACGGG-----AGACTTCCG 737
 GmUCP5a GGGCAACCCCGCCAGTGGCGATGGTGCAGTGCAGGCCACGGG-----CGCCTCCCT 466
 * * * * * * * * * * * * *

GmUCP1a1 GTGTTCCCAAGGC--GCTACT-CTGGATCTT--TAAATGCT-TATTCAACAAATTGTGAGAC 828
 GmUCP1a2 GTGTTCCCAAGGC--GGTACT-CTGGATCTT--TAAATGCT-TATTCAACAAATTGTGAGAC 754
 GmUCP1b1 GTGTGCCCAAGGC--GTTACT-CTGGATCAT--TAAATGCT-TATTCAACAAATTGTGAGAC 667
 GmUCP1b2 GCGTGCCCAAGC--GCTACT-CTGGATCAT--TAAATGCT-TATTCAACAAATTGTGAGAC 670
 GmUCP1b1Sp1 GTGTGCCCAAGGC--GTTACT-CTGGATCAT--TAAATGCT-TATTCAACAAATTGT**TGAGAC** 667
 GmUCP2 GGGTACCTAAGC--GTTATT-CTGGTGCTA---TAGATGCA-TATTTAACTATACTGAGAC 746
 GmUCP3 AGGTCTCAACCCGGTATT-CGGGGCCAT---TTGATGCTCTAACAA-AATTGT**TCGTG** 729
 GmUCP4a CCG-GCACAGCGGCCCAACTACAAGTCCGTGGACGCCAT-CACCGGAATGGCGAAGC 721
 GmUCP4b CCG-GCGCAGCGGCCCAACTACAAGTCCGTGGACGCCAT-CACCGGAATGGCGAAGC 715
 GmUCP5b CCG-ATCCGACAACGGAATTATAAACCGCTCTGACGCCAT-CGCAAGGATGACAAAAG 795
 GmUCP5a CCG-GCGGAGCGTCGCAACTACAACGGCGTGGACGCCAT-ACGGCGCATGAGTAACC 524
 * * * * * * * * * * * * *

GmUCP1a1 **AGG**AAGGAGTTGGGCTCTTGGACTGGGCTTGGCCCCAATATAGCAAGAAATGGTATCA 888
 GmUCP1a2 **AGG**AAGGAGTTGGGCTCTTGGACTGGGCTTGGCCCCAATATAGCAAGAAATGGTATCA 814
 GmUCP1b1 **AGG**AAGGAGTTGGAGCACTTGGACTGGGATTGGCTTGGCCCCAATATAGCAAGAAATGGCATCA 727
 GmUCP1b2 **AGG**AAGGAGTTGGAGCACTTGGACTGGGATTGGCTTGGCCCCAATATAGCAAGGAATGGTATTA 730
 GmUCP1b1Sp1 **AGG**AAGGAGTTGGAGCACTTGGACTGGGATTGGCTTGGCCCCAATATAGCAAGAAATGGCATCA 727
 GmUCP2 **AGG**AAGGAGTAGGGCCTTGTGGACAGGTCTTGGGGCAATATAGCAAGGAATGCAATT 806
 GmUCP3 **CTGAAGGATTTCAGGA**ATTGTGGAAAGGGTGTTCCTAATATC-CAAAGACCTCTTA 788

GmUCP4a	AAGAAGGGCGTCACTAGCCTTGAGAGGC	TCATCGCTTACGGTGAACCGCGCCATGCTC	780
GmUCP4b	AAGAGGGCGTCACTAGCCTGTGGAGAGGC	TCATCGCTTACGGTGAACCGCGCCATGCTC	774
GmUCP5b	ACGAGGGCATCACTAGCCTATGGCGTGT	TCATCGTTAACAGTGAACCGGCCATGTTA	854
GmUCP5a	AAGAAGGGCGTGGTAGCCTGTGGCGGT	TCAGCGCTTACGGTGAACCGCGCGATGATC	583
	*** * * *	* *** * * *	*
GmUCP1a1	-TCAATGCTGCCGAATTAGCCAGCTATGATCAAGTGAAACAGACTATTTT-GAAAATTCC	946	
GmUCP1a2	-TCAATGCTGCTGAATTAGCCAGCTATGATCAAGTGAAACAGACTATTTT-GAAAATTCC	872	
GmUCP1b1	-TTAATGCTGCTGAACATAGCCAGCTATGATCAAGTAAACAGACTATTTT-GAAAATTCC	785	
GmUCP1b2	-TTAATGCTGCTGAACATAGCCAGCTATGATCAAGTGAAACAGACTATTTT-GAAAATTCC	788	
GmUCP1bSp1	-TTAATGCTGCTGAACATAGCCAGCTATGATCAAGTGAAACAGACTATTTT-GAAAATTCC	785	
GmUCP2	-TTAATGCTGCTGAACATAGCCAGCTATGATCAAGTGAAACAGACTATTTT-GAAAATTCC	864	
GmUCP3	GTGACATGGGAGAATTAGCCTGTTATGATCATGCTAAACAATTGTTAT-TAGAAGT--	845	
GmUCP4a	GTGACGGCGTCGCGACGCTCGC	GTACGACCAGTTCAAAGAACGATCTGGAGAACGGC	840
GmUCP4b	GTGACGGCGTCGCGACGCTCGCTTACGACCAGTTCAAAGAACGATCTGGAGAACGGC	834	
GmUCP5b	GTGACGGCGTCGCGACGCTCGCTTACGACCAGTTCAAAGAACGATCTGGAGAACGGC	914	
GmUCP5a	GTGACGGCGTCGCGACGCTCGCTTACGACCAGTTCAAAGAACGATCTGGAGAACGGC	643	
	** * * * * * * * * * * *	** * * * *	*
GmUCP1a1	AGGAT--TCACTGACAATGTTGTAACTCATCTTCTGCTGGCTTGGGGCAGGGTTTTTC	1004	
GmUCP1a2	CGGAT--TCACTGACAATGTTGTAACTCATCTTCTGCTGGCTTGGGGCAGGGTTTTTC	930	
GmUCP1b1	TGGAT--TCACCACAATGTTGTAACTCACCTCTGCTGGCTAGGAGCAGGATTTTT	843	
GmUCP1b2	TGGAT--TCACCACAATGTTGTAACTCACCTCTGCTGGCTAGGAGCAGGATTTTT	846	
GmUCP1bSp1	TGGAT--TCACCACAATGTTGTAACTCACCTCTGCTGGCTAGGAGCAGGATTTTT	843	
GmUCP2	AGGGT--TCATGACAATGTTGTAACTCACCTACTCGTGGCTTAGGAGCAGGATTTTT	922	
GmUCP3	AGGATAGCTGACAATGTTGCTGGCCACACTTTGCTTCCATCAT	GTCAAGGTTAGCG	905
GmUCP4a	ATGATG---CGCGACGGCTCGGGACCCATGTCAGCGCAGCTTCGCGGGGGTTCGT	897	
GmUCP4b	GTGATG---CGCGACGGCTCGGGACCCACGTCAGCGCAGCTTCGCGGGGGTTCGT	891	
GmUCP5b	GTATG---CGTGATGGCTTGGGACCCATGTAACGTCGAGTTTCGCGAGGGGGTTGT	971	
GmUCP5a	TGGATG---GAGGACGGCTTGGGACCCACGTTAGCGAGTTTCGCGAGGGGGTTGT	700	
	** * * * * * * * * * * *	** * * * *	*
GmUCP1a1	GGCGTCTGATTGGCTCCCCAGTTGATGTGGTTAACGTCGAGAATGATG-----	1052	
GmUCP1a2	GCGGTCTGATTGGCTCCCCAGTTGATGTGGTTAACGTCGAGAATGATG-----	978	
GmUCP1b1	GCAGTCTGTTGGCTCCCTGTTGATGTGGTTAACGTCGAGAATGATG-----	891	
GmUCP1b2	GCAGTCTGTTGGCTCCCTGTTGATGTGGTTAACGTCGAGAATGATG-----	894	
GmUCP1bSp1	GCAGTCTGTTGGCTCCCTGTTGATGTGGTTAACGTCGAGAATGATG-----	891	
GmUCP2	GCTGCTTTATTGGTCTCCTGTTGATGTGGTGAATCCAGGATGATG-----	970	
GmUCP3	CCAACGCTTTGAGCTGCCCGGCTGATGTTGAGAAGACTAGAATGATGAATCAGGCAGCT	965	
GmUCP4a	CGCGCGTGGCGTCGAACCCCGTGCAGTGATCAACAGC	GAGGGTGTGAAC	948
GmUCP4b	CGCGCGTGGCGTCACCCCATCGACGTTGATCAAGACAGGGTGTGAAC	942	
GmUCP5b	CGCGCGGTTACGTCGAACCCCGTGCAGTGATCAAGACTAGGGTGTGAAC	1022	
GmUCP5a	GCCTCGATTGCGTCGAACCCCATGGATGTTAAAGACTAGGGTGTGAAC	751	
	** * * * * * * * * * * *	*****	*
GmUCP1a1	-----GGAGAT---TCTAG-----TTACAAGAACACCCCTGATTGTT	1086	
GmUCP1a2	-----GGAGAT---TCTAG-----TTACAGGAACACCCCTGATTGTT	1012	
GmUCP1b1	-----GGAGAT---TCGAG-----TTACAAAAGCACCCCTGATTGTT	925	
GmUCP1b2	-----GGAGAT---TCAAG-----TTACAAAAGCACCCCTGATTGTT	928	
GmUCP1bSp1	-----GGAGAT---TCGAG-----TTACAAAAGCACCCCTGATTGTT	925	
GmUCP2	-----GGGGAT---TCAAC-----CTACAAAAGCACATTGATGCT	1004	
GmUCP3	AAAAAGGAAGGGAAAG---TCTTA-----TATAATAGCTTATGATTGCT	1008	
GmUCP4a	-----ATGAGGGTGGAGCCGGGGCGACGCCCTACGCCGGCGCTTAGATTGTT	1000	
GmUCP4b	-----ATGAGGGTGGAGCCGGGGAGGCCGCGCTACGCCGGCGCTTAGATTGTT	994	
GmUCP5b	-----ATGAAGGTTGAAACCTGGGGCGCGCCGCTATTCCGGCGACTGGATTGCG	1074	
GmUCP5a	-----ATGAAGG---CTGAGG-----CTTACATGGGCCTTGGATTGTT	788	
	** * * * * * * * * * * *	** * * * *	*
GmUCP1a1	TTATCAAAACATTGAGAAATGATGGACCCCTAGCCTTTATAAGGGTTCTCCCAAATT	1146	
GmUCP1a2	TTATCAAAACATTGAGAAATGATGGACCCCTAGCCTTTATAAGGGTTCTCCCAAATT	1072	
GmUCP1b1	TCGTTAACACATTTAAAGATGACCTTTGCTTTATAAGGGTTCTACCAAATT	985	
GmUCP1b2	TCATTAAGACATTTAAAGATGACCTTTGCTTTATAAGGGTTCTACCAAATT	988	
GmUCP1bSp1	TCGTTAACACATTTAAAGATGACCTTTGCTTTATAAGGGTTCTACCAAATT	985	
GmUCP2	TTCTCAAGACTTTGTTAATGAGGGATTTGGCCTTCTATAAGGTTCTTCTAATT	1064	
GmUCP3	TGGTGAAGACAATTAAAGTGAGGAATAAGGACATTGTTGAGAAGGATTCTCCCCACAT	1068	
GmUCP4a	CTCTGAAGACTGTGCGCGCGAGGGTCCCAGGGCTTTATAAGGGTTTATTCTACGA	1060	
GmUCP4b	CTCTGAAGACGGTGCAGCGAGGGTCCCAGGGCTTTATAAGGGTTTATTCTACGA	1054	
GmUCP5b	CCTTGAAGACGGTACCAAAGAGGGCCCATGGCTTTACAAGGCTTTATCCACGA	1134	
GmUCP5a	CTCTCAAGACTGTAGGGCCGAAGGACCTTGGCCCTTATAAGGGTTTACACAA	848	
	** * * * * * * * * * * *	** * * * *	*
GmUCP1a1	TTGGACGGCTGGGATCTTGG-AATGTGATCATGTTCTAACCTTAAAGGTTAGAACAGAC-----T	1199	
GmUCP1a2	TTGGACGGCTGGGATCTTGG-AATGTGATCATGTTCTAACCTTAAAGGTTAGAACAGAC-----T	1125	
GmUCP1b1	TTGGACGGCTAGGATCTTGG-AATGTGATCATGTTCTAACCTTAAAGGTTAGAACAGAC-----T	1038	
GmUCP1b2	TTGGACGGCTAGGATCTTGG-AATGTGATCATGTTCTAACCTTAAAGGTTAGAACAGAC-----T	1041	
GmUCP1bSp1	TTGGACGGCTAGGATCTTGG-AATGTGATCATGTTCTAACCTTAAAGGTTAGAACAGAC-----T	1044	

GmUCP2	TTAGTCGAGTAGGAGCCTGG-AATGTGATTATGTTCTTACCCCTGAACA	AGCA	-----	1117
GmUCP3	GGGCAAGGCTTGGCCCATGGCAAT	---	TTGTGTTCTGGGTTTCCTA	-----T
GmUCP4a	TCTCGAGGGCAGGGACCCTTC	-ACTGTGCTGCTGTCGACACTGAAACAGGT	-----	1113
GmUCP4b	TCTCAAGGCAGGGACCCTTC	-ACTGTGCTGCTGTCGACTCTGAAACAGGT	-----	1107
GmUCP5b	TTTCGAGAACAGGACCCCTTC	-ACTGTGTTCTTCGTCACGTTAGAACAGGT	-----T	1187
GmUCP5a	TTTCAGGCAAGGGCTCTTC	-ACCGTTGTCCTTGTCAACCTCGAACAAAGT	-----C	901
	*	***	***	*
GmUCP1a1	AAAAAGTTCGTCAAAG-----	TTTAGAGTCGT	--CCTGAGGC-----GAGTTCCCG	1244
GmUCP1a2	AAAAGGTTCGTCAAAG-----	TTTAGAGTTGT	--CCTGAGCT-----GAGTTATC	1169
GmUCP1b1	AAAAGTTTCGTCAAAAG-----	TTTGAATCAG	--CTTGACTCTCAAACAAA-TTATCA	1088
GmUCP1b2	AAAAAATTCTGTCAAAAG-----	TTTGAATCAG	--CTTGACCTCAAACAAAACCTTATCA	1092
GmUCP1b1Sp1	GAATACTTGTGATAGC-----	TTTCCATTTT	-- CCTTCCCTCTTATCACCTATCT	1095
GmUCP2	AAGAGAGTTATAAGAGGATAATTGTTGTTAGTTGTTACTCTTCATGATTGAGATTCA	-----	-----	1177
GmUCP3	GAGAAGTTCAGGAAA-----	TTTGCAGGGCT	--CTCTTCTT-----TCTAA	1151
GmUCP4a	CGCAAGTTGCTTAAGGA-----	TTTCTGTGAG	--GATGATGA-----CG	1151
GmUCP4b	CGCAAGTTGCTTAAGGA-----	TTTCTGTGATGA	--TGA-----CG	1139
GmUCP5b	CGAAAGTTGCTTAAGGA-----	TTTCTAA	-----	1211
GmUCP5a	AGGAAGCTCTCAAGGA-----	CTTTGAAATT	--TTTATTTCAT-----TCG	941
	*	*	*	
GmUCP1a1	TTGAGAATT-----TT-----	CT-----	AAGGGGACTGGTTGCAACTGCAAATGTAGTGG	1290
GmUCP1a2	TTGAGAATT-----TT-----	CT-----	ATGGGGACTGGTTGCAATTGCAAATGCACTGG	1215
GmUCP1b1	-GTAGATT-----TT-----	TTTTTGAGGAGACTCCCC-----	TGGATGCAATGGA	1130
GmUCP1b2	-GTAGAATT-----TT-----	TT-----GAGGAGACTCCCC-----	CAAATGCAATGGA	1130
GmUCP1b1Sp1	CATGGAATT -----CTAGTTATTTTATAGCATACTTGTCT-----	TGC-----TGCCTGAGA	1143	
GmUCP2	AGCAAATTAGTGT-----	CTTTTCGGGTGAGTGTACTGCTATCAGATGAAACA	-----	1231
GmUCP3	TATAACATT-----TT-----	ATTATT-----	TATTATATACTAGC	1182
GmUCP4a	AGAAGATGT-----AT-----	GCTACT-----	-----	1168
GmUCP4b	A---AGATGT-----AT-----	GCTACT-----	-----	1154
GmUCP5b	-----	-----	-----	
GmUCP5a	GACACCTTC-----TC-----	-----ACCATTAC-----	-----TAATCGA	968
GmUCP1a1	AA-TTGTAGAAAA-----TAAAGGTCCCTTCTCTTCATTC-----	TGCTAACCA-----GATG	1339	
GmUCP1a2	AAATTGTGAAA-----TAAAGGTCCCTTCTCTTCATTC-----	TGCCAACCA-----GATG	1264	
GmUCP1b1	AA-TTGTCAACAAAATAAAC-----TTCTCTTCATTT-----	TGTTAATTGA-----AATG	1177	
GmUCP1b2	AA-TTGTCAA-----GTAAAAAC-----TTGCTCTTCATTT-----	TGTTAATTGG-----AACG	1173	
GmUCP1b1Sp1	GG-TTA-----GAAGAC-----CCAAAATT-----TG-----	-----	1164	
GmUCP2	GATTTGTAGCAG-----AAAGGTGG-----TTTTCTACATTTACTTCTGCCGTGTGGATGGACG	-----	1287	
GmUCP3	AC-TCA-----TTCATCC-----	-----	-----	1194
GmUCP4a	-----	TTCCCTT-----TCAA-----	-----	1179
GmUCP4b	-----	TTCATTT-----TCAA-----	-----	1165
GmUCP5b	-----	-----G-----	-----	1212
GmUCP5a	TA-----TTCATTC-----	-----TCTAATTGG-----	-----	986
GmUCP1a1	TG-----GTCAACACATTTTTAGGGAGG-----AAAAATTG-ATAGTA-----AAATGA	-----	1384	
GmUCP1a2	TG-----GTCAACACATTTTTAGGGAGG-----AAAAAATTGGATAGTA-----AAATGA	-----	1310	
GmUCP1b1	TA-----TCAAAACATTTTTGGCTGGGG-----AAATTG-AAGTATTAAATAATTGA	-----	1224	
GmUCP1b2	TA-----CAAAACAATTTTGGGGGGGGGGGAATTG-----TAGTA-----ATAATGAT	-----	1224	
GmUCP1b1Sp1	-----CAAACAAATTTTTT-----ATT-----AGTA-----TCA	-----	1190	
GmUCP2	TCACGCTTCATATATTCTAGTCGATGA-----ATAAACCGTCAAATT-----ACCA	-----	1334	
GmUCP3	-----ATAATAAATT-----ACAAGTCA-----CAGC-----CTA	-----	1220	
GmUCP4a	-----TAAGATGCTTTCT-----GTTTGTGTTATGT-----TTT	-----	1210	
GmUCP4b	-----TAAGATGCGTTTG-----GTTTGTCTGTG-----TCT	-----	1196	
GmUCP5b	-----TAGGAT-----	-----G-----	-----	1218
GmUCP5a	-----TTGAGATACATATTCA-----TTCTTTTTTT-----TTT	-----	-----	1018
	*			
GmUCP1a1	GAAT--GCTA-TT-----CATATATACTAGCTTTAGCAATTGC-----CATA-TA	-----	1426	
GmUCP1a2	TAATATGTTA-TT-----CATATATACTAGCTTTAGCAATTGC-----CATA-TA	-----	1354	
GmUCP1b1	GAAGA-GCTA-TG-----CCATCTCCCTGCAATTAA-AATTTT-----ATTGTT	-----	1267	
GmUCP1b2	GAAGA-GCTA-TG-----CGATCCCCCTGCAATTAA-AATTTT-----ATTAGTT	-----	1267	
GmUCP1b1Sp1	AGATT-GCTAATG-----TATTGATAATG-----GTTTAGGAAGCAT-----CTTGGCA	-----	1233	
GmUCP2	TTGCTCTCACTTGGGCCATGTGGACGCCAATTAAAACATTCTGGCTACAATGAATA	-----	1394	
GmUCP3	CAGGGTACTA-----ACACCCAGATT-----ATT-----TCTC	-----	1253	
GmUCP4a	AATAGTACTAGTG-----AT-----GTAGTCTCTAG	-----	1235	
GmUCP4b	AA---TACTAGTG-----AT-----GTAGTCTCTGG	-----	1218	
GmUCP5b	-----AATG-----AT-G-----	-----	-----	1225
GmUCP5a	TTAGGGATTAGTT-----ATTGAGGTTTGGAACTTT-----C	-----	1051	
	*			
GmUCP1a1	TTCTGTGGGATT-----GCATGCCAGT-----TGT-CATGTAT-TTCT	-----	1461	
GmUCP1a2	TTCTGTGGGATT-----GCATGCCAGT-----TTT-CATATGA-TTCT	-----	1389	
GmUCP1b1	GGGCTTGGCCTG-----GGCTGGGACT-----TGGGCATGGAACTTC	-----	1306	

GmUCP1b2	GGTTCTGGGTTG-----GGCTTGGGCT-----TGGGCATAGGGACTTC 1306
GmUCP1b1Sp1	AACTATGAGCT-----GCTTCT-TT-----CAAAGATAAAACCCCTT 1268
GmUCP2	GACCGTGAAATTACATTACTTGAAAGGCATTCACTGTACTGGATCGATAATGTAATGTAT 1454
GmUCP3	AACTTTTAGCT-----CA-----GTGTATACTTT 1277
GmUCP4a	GATGGCAATTTC-----GTTA 1251
GmUCP4b	AATGGTAATTTC-----GTTA 1234
GmUCP5b	-ATGACGA-----1232
GmUCP5a	GATGACTACCTTC-----TTGAGATT-----CATATATGATTA 1084
GmUCP1a1	CTTT---AAA-----CTTT-ATTA-----TGAA-C---CGAG 1485
GmUCP1a2	CTTT---AAA-----CTTT-ATTA-----TGAA-C---CGAG 1413
GmUCP1b1	CTTT---AAAAG-----TCCAAGCCTAGCAGTA-----TGTTTC---CATA 1341
GmUCP1b2	CTTT---AAAAG-----TCCAAGCCTAGCAGTA-----TGTTTC---CATA 1341
GmUCP1b1Sp1	CTCC---AAA-----CTCACTTCTTAACCT-----TGGCTT---CATA 1301
GmUCP2	TTTTGGGAAATAAGTTCGTATTCCCAACTCATTGAATAGACAAATGAAACATG 1514
GmUCP3	TTTG---AGA-----TAAACTA-----CATTAC---TCTTT 1302
GmUCP4a	TTCTA-----TTAACATCA---ATGAGA-----1269
GmUCP4b	TTCTA-----TTAACATCA---ATGAGA-----1252
GmUCP5b	-----AGA-----1235
GmUCP5a	TTCTAA-----TTTCATCA---AATATAT-----TT 1107
GmUCP1a1	CTTG-----GACA-----TGTCAAGAGATTCTG--TTTC----- 1511
GmUCP1a2	CTTG-----GACA-----TGCCATGCGATT----- 1433
GmUCP1b1	TCTA---AGTGAAA-TA---TCAGCTTATGCTTT---TTTTTTA--- 1375
GmUCP1b2	TCCA---AGTAAAAATAAGCTTAGCATATGCTTT---TTTTA--- 1377
GmUCP1b1Sp1	TTCATAATACTCACACTTACCTTCTATCCTATAACTTTCA----- 1344
GmUCP2	TATGAATACTTTAGAGTA---TAGCTTATTACTTCA--TTCAAA--- 1553
GmUCP3	CCTA-----AGAAGA---TTATATTATACT----- 1324
GmUCP4a	-----AGTG---CTGTTTATT-----TTCCGAATT- 1291
GmUCP4b	-----AGCA---CACATTATT-----CTCCGAATT- 1274
GmUCP5b	-----AGAA-----TATG-----TTT----- 1246
GmUCP5a	ACCA-----ACAATG---TAAAACATTAACACTGGTATAGAAATT 1143
*	